

Худайбердиев Э.Н, Насриддинов К.Р,

Самандаров Л. К, Турабова Л.Х.

**ЖАЛПЫ ФИЗИКА  
(АТОМ, ЯДРО ЖӘНЕ  
ЭЛЕМЕНТАР БӘЛШЕКТЕР  
ФИЗИКАСЫ) ЗЕРТХАНАЛЫҚ  
ЖҰМЫСТАР**

ӨЗБЕКСТАН РЕСПУБЛИКАСЫ ЖОГАРЫ БІЛІМ БЕРУ,  
ҒЫЛЫМЖӘНЕ ИННОВАЦИЯЛАР МИНИСТРЛІГІ

Худайбердиев Э.Н, Насридинов К.Р, Самандаров Л. К,  
Турабова Л.Х.

-14019/30-

**ЖАЛПЫ ФИЗИКА**  
**(АТОМ, ЯДРО ЖӘНЕ ЭЛЕМЕНТАР**  
**БӨЛШЕКТЕР ФИЗИКАСЫ)**  
**ЗЕРТХАНАЛЫҚ ЖҰМЫСТАР**  
**(окуқуралы)**

60110700 – Физика және астрономия, қосымша математика

O'ZBEKISTON RESPUBLIKASI OLIY TA'LIM,  
FAN VA INNOVATSİYALAR VАЗIRLIGI  
CHIRCHIQ DAVLAT PEDAGOGIKA UNIVERSITETI  
**AXBOROT RESURS MARKAZI**

Ташкент  
«Olmalik kitob business»

УДК 539.1;811.512.122

КБК 22.3

Х-95

**Худайбердиев Э.Н, Насридинов К.Р, Самандаров Л. К, Турабова  
Л.Х. / Жалпы физика (атом, ядро және элементар болшектер физикасы)  
зертханалық жұмыстар / Оку-құралы, Ташкент: «Olmaliq kitob business»,  
2023. – 212 б.**

**доцент Б.Т.Бисеновың өзбек тілінен аудармасы**

Бұл “Жалпы физика (Атом, ядро және элементар болшектер физикасы) зертханалық жұмыстар” оқуқұралында педагогикалық жоғары оқу орындарының 60110700 – Физика және астрономия, қосымша математика бағыты үшін сонғы пәндік бағдарламаға енгізілген барлық нақты және виртуалды зертханалық жұмыстардың толық баяндамасы, ақпараттық-коммуникациялық технологиялардың көмегімен олардың орындалуы, жұмыстарды орындауда кездесетін қателіктер, тақырыптар бойынша білімдерін одан әрі бекітуге қызымет ететін бақылау сұраптары, зертханалық жұмыстарға байланысты есеп беру формалары туралы толық маглұмматтар берілген.

Оқу құралынан педагогикалық жоғары оқу орындарының 60110700 – Физика және астрономия, қосымша математика бағыты талапкерлері жәнеде академиялық лицей, кәсіп-өнер мектептері оқытушылары да пайдалануы мүмкін.

#### **O'zbek tilidan dotsent Bisenova B.T tarjimasi**

Ushbu “Umumiy fizika (Atom, yadro va elementar zarralar fizikasi)dan laboratoriya ishlari” o‘quv qo‘llanmasida pedagogika oliy ta’lim muassasaları 60110700-Fizika va astronomiya, qo’shimcha matematika ta’lim yo‘nalishi uchun so‘nggi namunaviy fan dasturiga kiritilgan barcha real va virtual laboratoriya ishlari to‘liq bayoni, axborot-kommunikatsiya texnologiyalari yordamida ularning bajarilishi, ishni bajarishda uchraydigan xatoliklar, mavzular bo‘yicha bilimlarni yanada mustahkamlashga xizmat qiluvchi sinov savollari, laboratoriya ishlariga oid hisobot shakllari to‘g‘risida to‘liq ma'lumotlar keltirilgan.

O‘quv qo‘llanmadan pedagogika oliy ta’lim muassasalarining 60110700-Fizika va astronomiya, qo’shimcha matematika ta’lim yo‘nalishi talabalari hamda akademik litsey, kasb-hunar maktablari o‘qituvchiları ham foydalanshlari mumkin.

#### **Перевод с узбекского доцента Бисеновой Б.Т**

В настоящем учебном пособии «Лабораторные работы по общей физике (физика атома, ядра и элементарных частиц)»дается изложение всех реальных и виртуальных лабораторных работ, предусмотренных программой педагогических вузов по подготовке бакалавров по направлению 60110700-Физика и астрономия. Приведены порядок выполнения лабораторных работ с использованием информационно-коммуникационных технологий, методика учета погрешностей при выполнении работ, контрольные вопросы для закрепления знаний и формы отчета по выполнению лабораторных работ.

Учебное пособие может быть использовано студентами педагогических высших учебных заведений по направлению 60110700-Физика и астрономия, а также преподавателями академических лицеев, профессиональных школ.

**Translated from Uzbek by Associate Professor Bisenova B.T.**

This textbook “Laboratory work in general physics (physics of the atom, nucleus and elementary particles)” provides a summary of all real and virtual laboratory work provided by the program of pedagogical universities for the preparation of bachelors in the direction 60110700-Physics and Astronomy. The procedure for performing laboratory work using information and communication technologies, the methodology for accounting for errors in the performance of work, control questions for consolidating knowledge and the report forms for the performance of laboratory work are given.

The textbook can be used by students of pedagogical higher educational institutions in the direction 60110700-Physics and astronomy, as well as teachers of academic lyceums, vocational schools.

ISBN 978-9910-9965-0-4

© Худайбердиев Э.Н ж.б., 2023

©«Olmaliq kitob business», 2023

## МАЗМУНЫ

<b>АЛҒЫ СӨЗ</b>	10
Физикалық шамаларды өлшеудегі қателіктер және олардың түрлері	13
Зертханалық жұмыс № 1. Стефан – Больцман заңы: Абсолют қаралдене сәулелену интенсивтігінің температурага байланыстырығын өлшеу	20
Зертханалық жұмыс № 2. Планк тұрақтысын анықтау	27
Зертханалық жұмыс №3. Жарықтық пиromетрінің көмегімен сәулеленген денелердің накты температурасын анықтау	30
Зертханалық жұмыс № 4. Электронның шығу жұмысын анықтау	41
Зертханалық жұмыс № 5. Сыртқы фотoeffект құбылысын зерттеу	48
Зертханалық жұмыс № 6. Сыртқы фотoeffект және Комптон эффектісі бойынша компьютерлік эксперименттер	56
Зертханалық жұмыс №7. Ядроның планетарлық моделі бойынша компьютерлік эксперименті	67
Зертханалық жұмыс №8. Атомдардың спектрлері бойынша компьютерлік эксперименті	75
Зертханалық жұмыс № 9. Франк-Герц тәжірибесін зерттеу (атомдардың ояну потенциалын анықтау)	85
Зертханалық жұмыс №10. Франк-Герц тәжірибесі бойынша компьютерлік эксперименті	90
Зертханалық жұмыс №11. Электрондардың бір және екі санылаулы бөгөттөн өтуі бойынша компьютерлік эксперименті	92
Зертханалық жұмыс №12. Гелий-неон лазерін зерттеу	103
Зертханалық жұмыс № 13. Жартылай өткізгішті лазерді зерттеу	110
Зертханалық жұмыс №14. Лазер сәулесінің сұйықта жұтылу заңдылықтарын зерттеу	119
Зертханалық жұмыс №15. Ядролық сәулеленулерді тіркеу	

Күрінілгилары – детекторлардың құрылымы және жұмыс істей принципін зерттеу	125
Зертханалық жұмыс №16. Радиоактивті сәулелердің әртүрлі ортадағы жұтылу коэффициентін виртуалды тәжірибеде анықтау	141
Зертханалық жұмыс №17. Альфа бөлшектерінің ауда еркін жүгіру күшінің виртуалды тәжірибеде анықтау	149
Зертханалық жұмыс № 18. Альфа бөлшектер энергиясын виртуалды тәжірибеде анықтау	155
Зертханалық жұмыс № 19. Радиоактивті плутоний-238 изотопының жартылай ыдырау периодын виртуалды тәжірибеде анықтау	157
Зертханалық жұмыс №20. Электронның меншікті зарядын магнетронәндесінде виртуалды тәжірибеде анықтау	163
Зертханалық жұмыстарды орындау және есеп беру бойынша үлгілер	172
<b>Зертханалық жұмыстар бойынша My-test бағдарламасындағы тесттер</b>	185
<b>Қосымшалар</b>	198
<b>Одебиеттер</b>	208

## MUNDARIJA

<b>SO'Z BOSHI</b>	10
Fizik kattalıklarını o'lichashdagı xatoliklar va ularning turlari	13
Laboratoriya ishi № 1. Stefan –Bolsman qonunu: Absolyut qora jism nurlanish intensivligining haroratga bog'liqligini o'lichash	20
Laboratoriya ishi № 2. Plank doimisiini aniqlash	27
Laboratoriya ishi №3. Ravshanlik pirometri yordamida nurlanayotgan jismarning haqiqiy temperaturasini aniqlash	30
Laboratoriya ishi № 4. Elektronning chiqish ishini aniqlash	41
Laboratoriya ishi № 5. Tashqi fotoeffekt hodisasini o'rganish	48

Laboratoriya ishi № 6. Tashqi fotoeffekt va Kompton effektiga doir kompyuter eksperimentlari	56
Laboratoriya ishi №7. Yadroning planetar modeliga doir kompyuter eksperimenti	67
Laboratoriya ishi № 8. Atomlarning spektrlariga doir kompyuter eksperimenti	75
Laboratoriya ishi № 9. Frank-Gers tajribasini o'rganish (atomlarning uyg'onish potensialini aniqlash)	85
Laboratoriya ishi №10. Frank-Gers tajribasiga doir kompyuter eksperimenti	90
Laboratoriya ishi №11. Bir va ikki tirkishli to'siqdan elektronlarning o'tishiga doir kompyuter eksperimenti	92
Laboratoriya ishi №12. Gely-neon lazerini o'rganish	103
Laboratoriya ishi №13. Yarim o'tkazgichli lazerni o'rganish	110
Laboratoriya ishi №14. Lazer nurining suyuqlikda yutilish qonuniyatlarini o'rganish	119
Laboratoriya ishi №15. Yadroviy nurlanishlarni qayd etuvchi qurilmalar-detektorlarning tuzilishi va ishlash prinsipini o'rganish	125
Laboratoriya ishi №16. Radioaktiv nurlarning turli muhitlarda yutilish koeffitsiyentini virtual tajribada aniqlash	141
Laboratoriya ishi №17. Alfa zarralarning havoda erkin yugurish masofasini virtual tajribada aniqlash	149
Laboratoriya ishi №18. Alfa zarralar energiyasini virtual tajribada aniqlash	155
Laboratoriya ishi №19. Radioaktiv plutoniylar-238 izotopining yarim yemirilish davrini virtual tajribada aniqlash	157
Laboratoriya ishi №20. Elektronning solishtirma zaryadini magnetron usulida virtual tajribada aniqlash	163

Laboratoriya ishlarini bajarish va hisobot yozish bo'yicha namunalar	172
<b>Laboratoriya ishlari bo'yicha My-test dasturidagi testlar</b>	185
<b>Novalar</b>	198
<b>Adabiyotlar</b>	208

## СОДЕРЖАНИЕ

<b>ПРЕДИСЛОВИЕ</b>	10
Погрешности измерения физических величин и их виды.	13
Лабораторная работа №1: Закон Стефана–Больцмана: Измерение зависимости интенсивности излучения абсолютно черного тела от температуры.	20
Лабораторная работа №2: Определение постоянной Планка.	27
Лабораторная работа №3: Определение истинной температуры излучаемых тел с помощью светочувствительного пирометра.	30
Лабораторная работа №4: Определение работы выхода электрона.	41
Лабораторная работа №5: Изучение явления внешнего фотоэффекта.	48
Лабораторная работа №6: Компьютерные эксперименты по внешнему фотоэффекту и эффекту Комптона.	56
Лабораторная работа №7: Компьютерный эксперимент по планетарной модели атома.	67
Лабораторная работа №8: Компьютерный эксперимент по атомным спектрам.	75
Лабораторная работа №9: Исследование опыта Франка–Герца (определение потенциала возбуждения атомов).	85
Лабораторная работа №10: Компьютерный эксперимент по опыту Франка–Герца.	90
Лабораторная работа №11: Компьютерный эксперимент по	

прохождению электронов через барьер с одной и двумя щелями.	92
Лабораторная работа №12: Исследование гелиево-неонового лазера.	103
Лабораторная работа №13: Исследование полупроводникового лазера.	110
Лабораторная работа №14: Изучение закономерностей поглощения лазерного излучения в жидкости.	119
Лабораторная работа №15: Изучение принципа работы и устройства детекторов ядерных излучений.	125
Лабораторная работа №16: Определение коэффициента поглощения радиоактивных излучений в различных веществах в виртуальной лаборатории.	141
Лабораторная работа №17: Определение длины свободного пробега альфа – частиц в воздухе в виртуальной лаборатории.	149
Лабораторная работа №18: Определение энергии $\alpha$ - частиц по длине свободного пробега в виртуальной лаборатории.	155
Лабораторная работа №19: Определение периода полураспада изотопа плутония в виртуальной лаборатории.	157
Лабораторная работа №20: Измерение удельного заряда электрона методом магнетрона в виртуальной лаборатории.	163
Образцы выполнения лабораторных работ и составления отчета	172
<b>Тесты в программе My-test по лабораторным работам</b>	185
<b>Приложения</b>	198
<b>Литература</b>	208

## CONTENT

<b>PREFACE</b>	10
Measurement errors of physical quantities and their types.	13
Laboratory work №№. 1: Stefan-Boltzmann law: Measurement of the dependence of the radiation intensity of an absolute black body on	

temperature.	20
Laboratory work №. 2: Determination of the Planck constant.	27
Laboratory work №. 3: Determination of the true temperature of the emitted bodies using a photosensitive pyrometer.	30
Laboratory work №. 4: Determination of the work of the electron output.	41
Laboratory work №. 5: Study of the phenomenon of external photoelectric effect.	48
Laboratory work №. 6: Computer experiments on the external photoelectric effect and the Compton effect.	56
Laboratory work №. 7: Computer experiment on the planetary model of the atom.	67
Laboratory work №. 8: Computer experiment on atomic spectra.	75
Laboratory work №. 9: Investigation of the Frank-Hertz experiment (determination of the excitation potential of atoms).	85
Laboratory work №. 10: A computer experiment based on the Frank-Hertz experience.	90
Laboratory work №. 11: A computer experiment on the passage of electrons through a barrier with one and two slits.	92
Laboratory work №. 12: The study of a helium-neon laser.	103
Laboratory work №. 13: Research of a semiconductor laser.	110
Laboratory work №. 14: Study of the patterns of absorption of laser radiation in a liquid.	119
Laboratory work №. 15: Study of the principle of operation and device of nuclear radiation detectors.	125
Laboratory work №. 16: Determination of the absorption coefficient of radioactive radiation in various substances in a virtual laboratory.	141
Laboratory work №.17: Determination of the free path of alpha particles in the air in a virtual laboratory.	149
Laboratory work №. 18: Determination of the energy of $\alpha$ - particles by the free path length in a virtual laboratory.	155
Laboratory work №. 19: Determination of the half-life of a plutonium isotope in a virtual laboratory.	157
Laboratory work №.20: Measurement of the specific charge of an electron by the magnetron method in a virtual laboratory.	163
Samples of laboratory work and report preparation	172
<b>Tests in the My-test program for laboratory work</b>	185
<b>Applications</b>	198
<b>Literature</b>	208

*Қабілетсіз оқытушы шындықты  
жайгана айтады – қояды, жақсысы  
болса оны табуга үретеді*  
*В.О.Дистервиг*

АЛФЫ СӨЗ

Үздіксіз білім беру жүйесінде физика курсын оқытуда практикалық және зертханалық жұмыстарды теориялық біліммен бірге жүргізу маңызды, ейткені практикалық және зертханалық сабактарда талапкерлердің теориялық білімдері тәжірибе мен есептеулер арқылы одан әрі шындалады.

Біздің мемлекетіміз көп ұлтты болғандығы үшін қазақ мектептері де бар. Осы мектептерді бітірген талапкерлердің пайдаланулары үшін әдебиеттер ете аздығын есепке алған күйде бұл оку құралы жаратылды.

“Жалпы физика (Атом, ядро және элементар бөлшектер физикасы) зертханалық жұмыстар” оку құралының негізгі мақсаты талапкерлердің теориялық білімдерін практикамен байланыстыру, практикалық дағды және іскерлігін және де пысықтау, оларды физика пәніне болған қызығушылығын арттыруға бағытталған.

Бұл оку құралын дайындауда, біріншіден, қазақ тіліндегі жаңа заманаға сай әдістемемен тәміндеу, екіншіден болашақ физика оқытушыларының физикалық заңдар, құбылыстар және кезендерді терең үйренулеріне, олардың тәжірибе өткізу және өлшеулердің қарапайым әдістерін игерулеріне көмектесуді өз алдымызға мақсат етіп қойдық.

Казіргі уақытта Жалпы физика пәнінің Механика, Молекулалық физика, Электромагнетизм және Оптика бөлімдері бойынша қонтекстен зертханалық жабдықтар мен зертханалық кешендер бар, бірақ Атом, ядро және элементар бөлшектер физикасы болімі бойынша зертханалық жұмыстарды өткізу қанағаттанарлық емес, бұл үшін арнайы дайындалған бөлмелер мен арнайы құрылғылар қажет. Осыны ескере отырып, бұл белім бойынша зертханалық

жұмыстарды виртуалды күйде, бүгінгі күннің мүмкіндіктерін пайдалана отырып, компьютерлік техника мен мультимедиялық құралдарды пайдаланған күйде орындауға болады. Осы себепті бұл бөлімнің пәніндегі бағдарламасында виртуалды зертханалық жұмыстар мен компьютерлік тәжірибелердің нақты зертханалық жұмыстармен бірге колдану қарастырылған.

Компьютер көмегінде виртуалды зертханалық жұмыстарды орындау үшін талапкер компьютерлік бағдарламаларды терең менгергенмен, оны колдана білу дағдысы мен іскерлігіне ие болуы жеткілікті. Бұл ретте зертханалық жұмысты орындау кезінде әдістемелік нұсқауларды орындауы, жұмыстың теориялық бөлімімен танысуы, өлшеу құралдарының жұмыс істеу принципін және эксперимент кезінде орындалатын жұмыстардың ретін білуі, есептеу формулаларына енгізілген физикалық шамалардың магынасын түсінуі, бакылау сұраптарына жауап беруі, яғни орындалатын тәжірибелің мақсатын түсінуі қажет. Сонымен, компьютерде виртуалды зертханалық жұмыстарын орындауда талапкерлерге қойылатын талаптар нақты физикадан зертханалық жұмыстарды орындауға қойылатын талаптармен дерлік бірдей болады.

Виртуалды эксперименттерді жүргізуін артықшылығы, ғылымға қызығатын жас талапкерлердің белгілі бір эксперименттік жұмыстарды өз бетінше орындауы үшін арнайы құрал-жабдықтарды іздеудің қажеті жок, олар кез келген жағдайда қажетті эксперименттік жұмысты орындаі алады, бұл үшін тек компьютердің болуы жеткілікті. Қалғаның теориялық бөлімнен оқып, жұмысты орындау тәртібімен және алынған нәтижелерді есептеу жәнеде оларды талдаумен егжей-тегжейлі танысуы жеткілікті.

Бұл оку құралында педагогикалық жоғары оку орындарының 60110700 - Физика және астрономия, қосымша математика” тәлім бағыты пәндей бағдарламасындағы зертханалық жұмыстар жүйелік негізінде қарастырылған. Пәндей бағдарлама сонымен қатар кейір зертханалық

жұмыстардың накты және виртуалды немесе компьютерлік эксперименттерін қамтиды. Мұндай жағдайларда талапкерлерге алдымен осы жұмыстардың виртуалды немесе компьютерлік тәжірибелерін жасап, содан кейін накты зертханалық жұмыстарын орындау үсінілады. Содан кейін бұл жұмыстардың мазмұнын талапкерлердің жақсы менгеруі қамтамасыз етіледі. Оқу құралының сонында зертханалық жұмыстарды орындауга қажетті теориялық білімді бекіту мақсатында MyTest бағдарламасына тест сұраптары енгізілген. Сонымен қатар, виртуалды зертханалық жұмыстың кейір бағдарламаларында осы жұмыска қолайлы тест тапсырмаларын орындау қарастырылған.

Оқу құралына енгізілген барлық виртуалды зертханалық жұмыстарға арналған бағдарламалық нұсқаулықты пайдаланушыларға электронды нұсқада [latibeksamdarov@mail.ru](mailto:latibeksamdarov@mail.ru) электрондық поштасы арқылы үсінілады. Сонымен бірге оқу құралындағы зертханалық жұмыстарын [nuclearphys-edu.uz](http://nuclearphys-edu.uz) интернет-сайты арқылы орындау мүмкіндігі де жаратылған.

Авторлар осы оқу құралына қатысты барлық үсіністар мен ескертулерді ризашылықпен қабылдайды.

## ФИЗИКАЛЫҚ ШАМАЛАРДЫ ӨЛШЕУДЕГІ ҚАТЕЛІКТЕР ЖӘНЕ ОЛАРДЫҢ ТҮРЛЕРИ

Зертханалық тәжірибелердегі кез келген өлшеулер барлық уақытта кейір қателіктермен орындалады. Бұл қателіктер шартты түрде жүйелі, дөрекі және кездессоқ қателіктерге бөлінеді.

1. **Жүйелік қателік** – бұл әрқашан болатын қателік. Жүйелік қателіктер өлшегіш прибордың жетілмелегендігінен, ақауынан, бастапқыда көрсеткіш жебесінің (стрелкасының) нөлде тұрмауынан және өндөу әдістемесінің дұрыс қолданылмауынан пайда болады.

Жүйелік қателік көп жағдайларда аспаптың тұра көрсетпеуінен немесе өлшеу методының анық еместігінен және бірер үздіксіз сыртқы әсер(айналады ортаның әсері) нәтижесінде бір жақтама пайда болады. Мысалы, дене температурасын термометр жәрдемінде өлшеуде нөль нүктесі (репер нүктесі)нің біраз ығысып калғаны нәтижесінде, өлшеу нәтижелеріне қажетті түзетулер енгізілуге дейін жүйелік қателікке жол қойылу қайталанады.

Дәл сондай – ак, таразы жағының Күн сәулелері әсерінде немесе бірер жылулық көзінен келе жатқан жылулық нәтижесінде бір кальпсыз жылытылуы да дене массасын өлшеуде жүйелік қателікке алып келеді. Бірақ бұл қателіктерді анықтау және оны жою өте құрделі мәселе болып есептелінеді. Жалпы алғанда, жүйелік қателік объектив себептерге орай пайда болады.

Жүйелік қателік өлшеу нәтижелеріне тек бір жақтама әсер етеді(өлшеу нәтижесі жүйелік қателік нәтижесінде тек көбеюі немесе кемеюі мүмкін).

Демек, жүйелік қателіктер анық себептер нәтижесінде жүзеге келіп, оның мөлшері қайталанатын өлшеулерде өзгермеуі және белгілі бір заңдылық бойынша өзгеруі мүмкін.

Бір шаманы бірнеше рет қайталап өлшегендеге жүйелік қателіктің шамасы мен бағыты өзгермейді.

Кейбір физикалық шамалардың мәнін кестеден алғанда (тығыздық, меншікті жылулық сыйымдылығы, серпімділік модульдері және т.б.), оларды дөнгелектеу кезінде, сондай-ақ, формулаға енгізілген кейбір тұрактылар ( $\pi$ ,  $e$  – натураł логарифмің негізі,  $g$  – еркін тұсу үдеі және т.б.) дың жуық мәндерін алғанда жүйелік қателікке жол қойылады. Мысалы,  $\pi=3,14159265$  алу орнынап=3;  $\pi=3,1$ ;  $\pi=3,142$ ны, судың сыну көрсеткіші үшін  $n=1,33$ ды алу орнынап=1,3;  $n=1,33$ ды алсак да біз әр жолы жүйелік қателікке жол қойған боламыз. Өлшеу адісін өзгертіп, аспаптың көрсеткіштеріне түзетулер енгізу арқылы жүйелі түрде әсер ететін сыртқы факторларды ескере отырып бұл қателікті азайтуға болады.

**2. Кездейсоқ қателіктер** өлшеу процесінә әсер ететін себептердің кездейсоқ (жүйесіз түрде) өзгеруіне байланысты пайда болады.

**Әр түрлі себептерге орай жүзеге келетін қателік кездейсоқ қателік делинеді.**

Мысалы: сыртқы жағдайдың түптен өзгеруі, электр жүйесіндегі кернеудің ауытқуы, белmedегі температуралың өзгеруі сиякты факторлармен жатады. Өлшеу барысында кездейсоқ қателіктердің шамасы мен бағыты тұракты болмайды. Өлшеулер нәтижесіндегі кездейсоқ қателіктердің кеміту үшін, біріншіден, мұқият өлшеу қажет, екіншіден өлшеулер санын арттыру қажет. Қазіргі заманда өлшегіш приборлар оте дәл болғандықтан көптеген өлшеулерде жүйелік қателіктер кездейсоқ қателіктерге қарғанда әлдеқайда аз болады.

Кездейсоқ қателік субъектив сипатка ие болып, анық бір заңға мойынсұнбайды. Әр бір өлшеудің нәтижесі не артық, не кем болуы мүмкін. Кездейсоқ қателік, негізінде тәжірибе өткізушиңің катесі нәтижесінде (аспап көрсетуін кате көру немесе анық есітпеуі нәтижесінде) жүзеге келеді.

Кездейсоқ қателіктерді де дәл жүйелік қателіктер сиякты толық жойып болмайды. Бірақ өлшеудегі кездейсоқ қателіктерді есепке алатын

ықтималдық заңдылықтарының элементтері жәрдемінде кездейсоқ қателіктерді есептеп, біраз анық нәтижелерге ие болу мүмкін. Кездейсоқ қателікті кеміту тек тәжірибелі көп рет қайталашу нәтижесінде есепке алыныу мүмкін.

Жүйелік және кездейсоқ қателіктерден басқа өлшеулер барысында шаулар кездеседі. Олар бакылаушының өлшеу процесіне қажетті көніл болмеуінен немесе шарттарының өзгеріп кетуінен пайда болады. **Экспериментаторлардың мән бермегені үшін жүзеге келетін қателіктер дөрекі қателік делинеді.** Мысалы, өлшеу приборларының шкаласынан қате жазып алу немесе қате істеуге ұксастар. Шама жағынан ақаулар басқа олшемдерге қарғанда айрықша басым болады. Айтальық, бакылаушы 1,05 деген санның орнына дөптеріне 10,5 деген сан енгізді. Мұндай қателіктерді есептеу нәтижесіне енгізуге болмайды. Бұл дөрекі қателікті жою үшін жазбаларды қайта қарап шығу және өлшеулерді қайта орындау қажет. Кез келген өлшеудегі дөрекі қателікті жоюдың жалғыз жолы - өлшеуді ете мұқият және назар атырып орындау болып табылады.

### Тікелей өлшеу нәтижелерінің қателігі

Физикалық шамалардың орташа мәні, өлшеудің абсолюттік және салыстырмалы қателіктері

Олшеу кезінде өлшеу құралы беретін қателіктен басқа әртүрлі жүйелік қателіктер мен дөрекі қателіктер жоғалады деп есептесек, тікелей өлшеу қателіктері теориясының негізгі ережелерін қарастырамыз. Төмендеберілген қателіктер теориясында кездейсоқ қателіктер сандық мән жағынан жүйелік қателіктерден үлкен болады деп болжанады.

Бірер физикалық шаманың өлшеулер нәтижесінде табылған  $x_1, x_2, x_3, \dots, x_n$  мәндері ішінде шын мәнге ең жақыны осы

$$x = \langle x \rangle = \frac{\sum_{i=1}^n x_i}{n} \quad (1)$$

өрнектен анықталады, бұл жерде  $n$  - өлшеулер саны,  $\langle x \rangle$ -физикалық шаманың орташа мәні.

1. Өлшеу кезінде табылған мәндер бір-бірінен ерекшеленеді және олардың орташа мәннен айырмашылығы кейір өшемдердің **абсолюттік қателігі** деп аталады.

$$\Delta x = |\langle x \rangle - x_i|.$$

Кез келген өшемнің абсолюттік қателігі аз болса, бұл өлшеу дәлірек орындалған болып саналады. Орташа мәннен айтарлықтай айырмашылығы бар дөрекі қателіктер қателікті есептеу кезінде алынып тасталады.

Егер  $n$  қайта өлшеу нәтижесінде  $\Delta x_1, \Delta x_2, \Delta x_3 \dots \Delta x_n$  абсолюттік қателіктер пайда болған болса, өшемдердің орташа абсолюттік қателігі осы қателіктердің абсолютті мәндерінің орташа арифметикалық мәніне тең

$$\langle \Delta x \rangle = \frac{\sum_{i=1}^n \Delta x_i}{n}. \quad (2)$$

Әрине, физикалық шаманың шын мәні табылған орташа мәннен  $\pm \langle \Delta x \rangle$  айырмашылық етеді, яғни  $x = \langle x \rangle \pm \langle \Delta x \rangle$ .

2. Егер тәжірибе кезінде бірқатар физикалық шамаларды өлшеу қажет болса, олардың әрқайсысы үшін өлшеу қателігін анықтау қажет. Алайда әрбір шама үшін абсолюттік қателікті білген күде, шамалар біртекті болмағандықтан оларды өзара салыстыру мүмкін емес. Мұндай жағдайларда қателіктің салыстырмалы мәнімен айналысу қажет. Бірақ шаманың өлшеулер нәтижесінде табылған орташа мәні  $\langle x \rangle$ , абсолюттік қателіктің орташа мәні

$\langle \Delta x \rangle$  болса, салыстырмалы қателікті  $\varepsilon = \frac{\langle \Delta x \rangle}{\langle x \rangle}$  немесе пайызben өрнектесек,

$$\varepsilon = \frac{\langle \Delta x \rangle}{\langle x \rangle} \cdot 100\%$$

болады.

Өлшеулер саны  $n$  жетерлі түрде үлкен болғанда кейір өлшеулер абсолюттік қателігінің  $\langle \Delta x \rangle$  орташа абсолюттік қателікке әсері өте кіші болады. Осындай жағдай үшін  $\langle \Delta x \rangle$  тың болінуі тәмендегі заң көрінісінде өрнектелуі мүмкін:

$$y = \frac{1}{\sqrt{2\pi} \sigma_{\langle x \rangle}} e^{-\frac{(\Delta x)^2}{2\sigma_{\langle x \rangle}^2}}, \quad (3)$$

$$\sigma_{\langle x \rangle}^2 = \lim_{n \rightarrow \infty} \frac{\sum_{i=1}^n (\langle x \rangle - x_i)^2}{n(n-1)} \text{ бұдан,}$$

$$\sigma_{\langle x \rangle} = \sqrt{\lim_{n \rightarrow \infty} \frac{\sum_{i=1}^n (\langle x \rangle - x_i)^2}{n(n-1)}}; \quad (4)$$

$\sigma_{\langle x \rangle}$ -шама орташа қателік немесе орташа арифметикалық мәнің орташа квадраттық қателігі деп аталады.

Түрлі себептерге орай өлшеулер санын өте үлкен ( $n \geq 15$ ) аладын мүмкіншілігі болмайды. Өлшеулер саны шекті болғанда сенім интервалының шкарапалық мәнін белгілейтін Госсет жағынан 1908жылда енгізілген және Стюдент коэффициенті деп аталатын  $t_\alpha(n)$  коэффициент қолданылады. Бұл коэффициенттер өлшеулер саны және сенімділік интервалы мен тәмендегідей байланысқан

$$t_\alpha(n) = \frac{\Delta x}{S_{\langle x \rangle}} \quad (5)$$

бұл жерде,

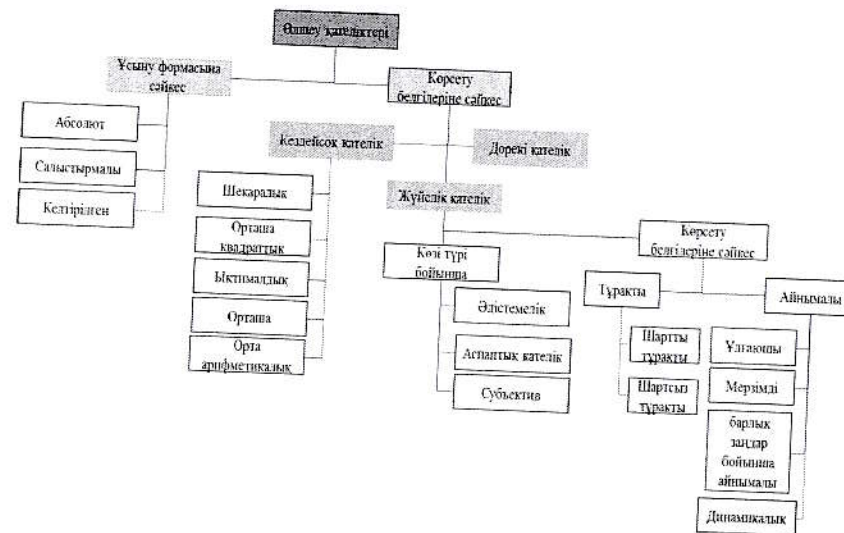
$$S_{\langle x \rangle} = \sqrt{\frac{\sum_{i=1}^n (\langle x \rangle - x_i)^2}{n(n-1)}}, \quad (6)$$

(6) шамамен өлшеу үшін орташа квадраттық қателіктен тұрады, ол шамамен  $\sigma_{\text{ex}}^2$  ге тең. (5) және (6) лар негізінде өлшеулердің абсолюттік қателігі үшін

$$\Delta x = t_{\alpha}(n) \cdot S_{\text{ex}} = t_{\alpha}(n) \sqrt{\frac{\sum_{i=1}^n (\langle x \rangle - x_i)^2}{n(n-1)}} \quad (7)$$

өрнек келіп шыгады.

Физикадан зертханалық жұмыстарды орындау кезінде байқалатын қателіктер және олардың түрлері туралы жалпылама мәліметтер төмендегі 1-суреттегі диаграммада берілген.



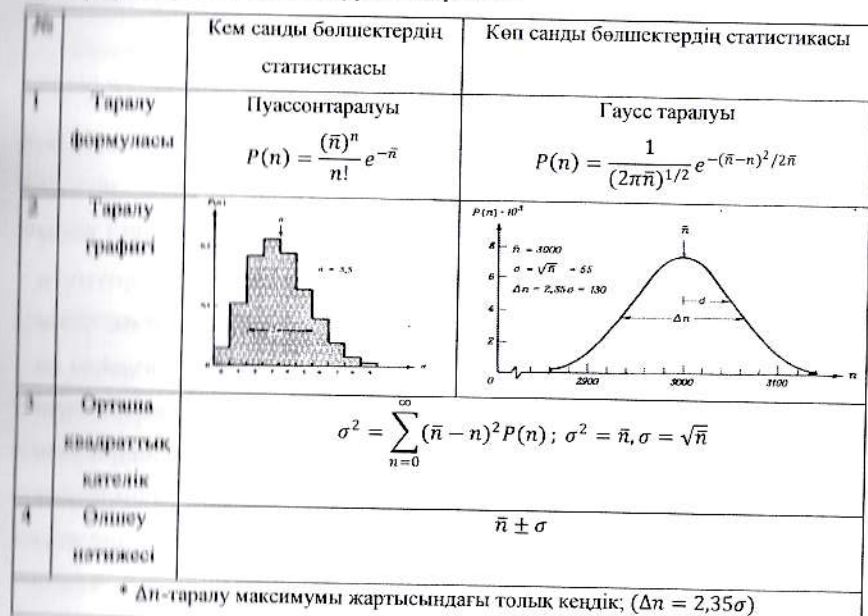
#### 1-сурет. Өлшеу қателіктері және олардың классификациясы

Атомдық және ядролық физика бойынша зертханалық жұмыстар кездейсоқ процестердің көрсетілгендерінде қарастырады. Мысалы, әрқайсысы өздігінші ыдырайтын радиоактивті ядролардың жиынтығы немесе сцинтиляциялық детектор фотокөбейткішінің катодынан электрондардың пайдасы болу процестері бұған айқын мысал бола алады. Мұндай жағдайларда нәтижелерді математикалық статистикалық әдістер арқылы талдау керек. Әрбір түскен фотон фотокатодта  $n$  фотоэлектрондың сондиріледі делік. Егер өлшеулер саны  $N$

рет қайталанса және әрбір  $i$ -ші өлшемде  $n_i$  электрондарды шыгарылса, шыгарылған электрондардың орташа саны

$$\bar{n} = \frac{1}{N} \sum_{i=1}^N n_i$$

орнек арқылы анықталады. Эксперимент нәтижелерін статистикалық талдаудың мақсаты алынған нәтижелердің осы орташа мәннің айналасында болай болынеттін анықтау болып табылады. Бұл қүйде екі жағдай бар: а) алынған орташа мән шағын саннан тұрады; б) шыгарылатын электрондар саны алдеқаіда коп; Бірінші жағдайда  $n$  мәнін байқау ықтималдығы  $P(n)$  Пуассон таралуына, ал екінші жағдайда қалыпты немесе Гаусс таралуына бағынады. Қарастырылған жағдайлардың таралу функциялары мен графиктері томендегі 2-суретте берілген.



2-сурет. Эксперимент нәтижелерінің статистикалық талдауы

**ЗЕРТХАНАЛЫҚ ЖҰМЫС № 1. СТЕФАН – БОЛЬЦМАН ЗАҢЫ:  
АБСОЛЮТТІ ҚАРА ДЕНЕ СӘУЛЕЛЕНУ ИНТЕНСИВТІГІНІң  
ТЕМПЕРАТУРАҒА БАЙЛАНЫСТЫЛЫҒЫН ӨЛШЕУ**

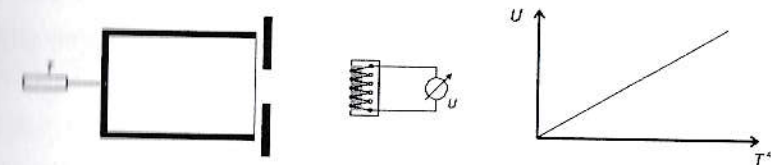
**Жұмыстың мақсаты:** Молл термоэлементінен пайдаланып 300-750 K температура интервалында «абсолютті қара дене» ретінде қарастырылатын электр пешіндегі сәулеленудің салыстырмалы интенсивтілігін өлшеу. Стефан-Больцман заңын тексеру үшін сәулелену интенсивтілігінің абсолютті температурага тәуелділігінің графигін күрү.

**Қажетті құрал-жабдықтар:** 220V да жұмыс орындағының электр пеші, абсолютті қара дене деталдары, электр пешінің жабдықтары, бір жағы ашық сандық термометр, NiCr-Ni температура датчигі, молль термоэлементі, микровольтметр, шағын оптикалық орындық.

**Косымша ұсынылады:** Иммерсиялық сұйықты сорғы, силикон құбырлар.

### Теориялық бөлім

Барлық қыздырылған заттар жылу шығарады. Бұл жылу электромагниттік сәулеленудің интенсивтілігі температурานың артуымен жогарылайды және сонымен бірге объектінің бетіне байланысты. Дене берілген толқын ұзындығында сәулені негұрлым жақсы жұтса, соғұрлым ол жылу шығарады. Барлық толқын ұзындықтағы жылулық сәулеленуін жұтатын дене **абсолютті қара дене** деп аталады. **Кирхгофф** бірінші болып жабық кеңістікті виртуалды абсолютті қара дене ретінде пайдалануды ұсынды. Абсолютті қара дене ең үлкен жұтылу коэффициентіне ие және берілген температура мен толқын ұзындығында максималды мүмкін болған сәуле шығару қабілетіне де ие.



Стефан-Больцман заңы абсолютті қара дененің шыгаратын жалпы сәулеленуі абсолютті температураның T төртінші дәрежесіне пропорционал екенін растайды. Дәлірек айтқанда, сәулелену көзінің сәулеленгіштігі, яғни сәулеленген беттің ауданына қатысты беттің бір жағындағы сәулеленудің жалпы күтінін томендеғі түрде аныкталады:

$$\varepsilon = \sigma \cdot T^4; \quad (1)$$

$$(\sigma = 5,67 \cdot 10^{-8} \left( \frac{W}{m^2} \right) K^4 \text{ Стефан-Больцман тұрақтысы})$$

Сонымен қатар абсолютті қара дене де коршаган ортадан жарыкты жүтеді. Осылайша, біз жалпысәуле шығару қабілеті -  $\varepsilon$  емес, абсолютті қара дененің сәуле шығару қабілетінен алынған  $\varepsilon'$  сәулелену көзінің сәуле шығару қабілетін өлшейміз. Коршаган ортадан жұтылатын сәулеленудің сәуле шығару қабілеті мынаган тен:

$$\varepsilon_0 = \sigma \cdot T_0^4; \quad (2)$$

Сондыктan, томендеғіні жазуға болады:

$$\varepsilon' = \sigma(T^4 - T_0^4); \quad (3)$$

Бұл тәжірибеде «абсолютті қара дене» ретінде электр пеші колданылады. Абсолютті қара дененің бөлшектері жылтыратылған мыс цилиндрден және экраннан тұрады. Бір ұшы оқшауланған мыс цилиндрі электр пешінен салынып, қажетті температураға дейін қызады. Қажет болған жағдайда электр пешінің алдына қайнап жатқан пештің сыртқы қабыргаларының сәулеленуін емес, тек жылтыратылған цилиндрдің жылу сәулеленуін олисеуге болатындей етіп сумен салындылатын экран өрнәтылады. Температура датчигі NiCr-Ni мыс цилиндріндегі температуранны

өлшеу үшін қолданылады. Жылулық сәулеленуі микровольтметрге қосылған Молл термоэлементі арқылы өлшенеді. Термоэлемент жалғанған терможұлтар тізбегінен тұрады. Өлшенген нүктeler түсken жарықты толығымен жұтады, ал анықтамалық нүктeler коршаған орта температурасында болады. Осылайша, сәулелену көзінің M'-салыстырмалы сәуле шығару кабілетінің өлшемі ретінде термоэлектрлік батареялардың шығыс кернеуін алуға болады.

#### **Эксперименттік құрылғы туралы қысқаша ескертулер:**

Өлшенген қарқындылық өте төмен және сондықтан ол қоршаған денелерден сәулелену интерференцияларына өте сезімтал:

- Өлшеу кезінде ешқашан термоэлектрлік батареяларды ұстамаңыз.
- Термоэлектрлік батареялардың жаңында, әсіресе олардың алдында жұмыс істеменіз.
- Тәжірибе кезінде бөлме температурасының взгеруіне жол берменіз.
- Басқа сәулелену көздерінің араласуынажол қойман; қажет болса, температура датчигін (құрастыруды) картонмен корғаңыз.
- Қажет болса, бөлмені караңғылаңыз.

#### **Техникалық қауіпсіздік нұсқаулары**

- Бұл зертханалық жұмыста күйіп қалу қаупі бар: электр пешінің сыртқы қабырғасының температурасы 200 °C жоғары болуы мүмкін.
- Ұстық электр пеште терінің күйіп қалуынан сактанаңыз.
- Электр пешін тек жабдықпен бірге іске қосыңыз.
- Электр пешін пайдалану жөніндегі нұсқаулықты мұқият оқып шығыңыз және нұсқауларды толығымен орындаңыз.
- Иммерсиялық сорғысының двигатель ішіне ағып кірген су қысқа тұйықталуды тудыруы мүмкін.
- 17 см батыру терендігінен аспаңыз.
- Пайдаланылған дымқыл сорғыны басымен сактамаңыз.

\* Иммерсиялық сорғысын пайдалану жөніндегі нұсқаулықты мұқият оқып шығыңыз және нұсқауларды дәл орындаңыз.

\* *Интерференциялық сәулелену* термоэлектрлік батареяның көрнекінан тікелей жылу сәулеленуінен, шағылыштың беттерден (мысалы: ви түтіп кімдерден), жылу алмастырыштардан, күн сәулесінен және басқа жарық көздерінен сәулеленудің шағылышынан туындауы мүмкін.

*Тәжірибелі бастамас бұрын микровольтметрді 10 минут қыздырыңыз.*

Микровольтметрді құрылғының артқы жағында орналасқан негізгі қосынты пайдаланып желіге қосыңыз.

#### **Сумен салқыннату кезінде:**

\* Силикон тұтікті иммерсиялық сорғысина және экранға сондай косу қажет, экранға судың ағып келуі төменгі тұтіктен, шығуы болса экранның негінітүтігі арқылы сыртқа шығатындаі етіп қосыңыз.

\* Резервуарды сумен толтырыңыз және суға түсетін сорғыны монтаждау ынсанының комегімен су ыдысының шетіне кіріс толығымен суға батып, накенмалды батыру тереңдігі 17 см-ден аспайтын етіп бекітіңіз (1.2-суретті қаранды). Басқа мүмкіндігі бар монтаж үшін пайдалану бойынша нұсқаулықты қарыңыз).

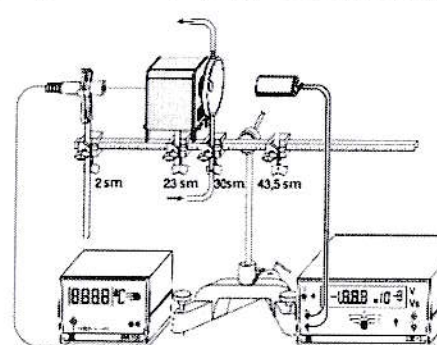
#### **Содан кейін:**

\* Электр пешін, абсолютті қара дene жинағы экранын және термоэлектрлік батареяны 1.1-суретте көрсетілгендей етіп орнатыңыз, сонда термоэлектрлік аккумулятордың озегі электр пешінің ашық жағының алдында шамамен 15 см қашықтықта орналасады.

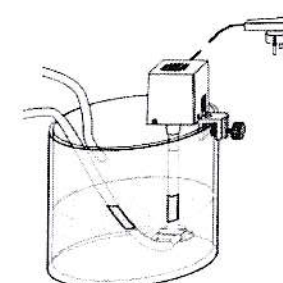
Абсолютті қара дene жинағы экранын электр пешінің алдына металл жағын термоэлектрлік батареяга қаратып, шамамен 5-10 мм ге қойыңыз.

*Ескертпе: Шыны тесік қысқа толқынды сәулеленуге қараганда ұзын толқынды сәулеленуді көбірек жұтады, сондықтан сәулелену қарындылығының температурага тәуелділігін өлиеуді жүйелі түрде өрнөттейді.*

- Термоэлектрлік батареяның шыны тесігін алып тастаңыз.
- Температура датчигін NiCr-Ni цифрлық термометрімен жалғап, оны жылтыратылған мыс цилиндрінің ортасындағы тесікке мүмкіндігінше тереңірек енгізіңіз.
- Температура датчигін әмбебап қысышпен (S) орнатыңыз және сандық термометрді қосыңыз (өлшеу диапазоны  $> 200^{\circ}\text{C}$ ).
- Электр пешінің ашық жағын, кара дене жинағы экранын және термоэлектрлік катушканы жылу сәулесі тікелей ашық термоэлектрлік катушкаға түсетіндей етіп туырланыз.
- Суды салқындау кезінде суға батыру сорғысын пайдаланыңыз.
- Термоэлектрлік аккумуляторды микровольтметрмен қосыңыз (1.1-суретте көрсетілгендей) (өлшеу диапазоны  $10^{-4}$  В); термоэлектрлік батареядагы қызыл клемма микровольтметрдегі қызыл клеммага қосылғанына көз жеткізіңіз.
- «Автокомпенсация» түймесін басу арқылы ауысымды өтеніз; қажет болса, сандық дисплейді нөлге келтіру үшін потенциометрмен дәл реттеңіз (микровольтметр нұсқауларын қаралыңыз).



1.1-сурет: Стефан-Больцманның жылудықтан сәулелену заңын зерттеуге арналған тәжірибелік құрылғысы



1.2-сурет: Суы бар ыдыска иммерсиялық сорғысын орнату үлгісі

### Жұмысты орындау тәртібі:

1. Мыс цилиндрінің температурасын ( $t$ ) және термоэлектрлік батареяның бастапқы шығыс кернеуін ( $U_0$ ) өлшеңіз және бұл мәндерді тәжірибе деңгейінде жазыңыз.
2. Электр пешін косыңыз және температура әр  $25^{\circ}\text{C}$  жоғарылаған түрін, і және  $U$  дың мәндерін өлшең, тәжірибе дәптерінізге жазыңыз.
3. Температура  $400^{\circ}\text{C}$  және  $500^{\circ}\text{C}$  аралығындағы деңгейге жеткенде:
3. Электр пешін ажыратыңыз; және температураның әрбір  $25^{\circ}\text{C}$  төмөндеуі үшін тәжірибе дәптерінізге  $t$  және  $U$  мәндерін жазып алыңыз.
4. Температура  $100^{\circ}\text{C}$  және білме температурасы арасында төмөндеғендегі, электр пешінен температура датчигін алыңыз, білме температурасын өлшеңіз және бұл мәнді тәжірибе дәптерінізге жазыңыз.
5. Термоэлектрлік батареяны қаранды картонмен корғаңыз, вольтметр нөлге тен екенин тексеріңіз және бұл мәнді тәжірибелік кестенізге жазыңыз.

### Олшеу үлгілері

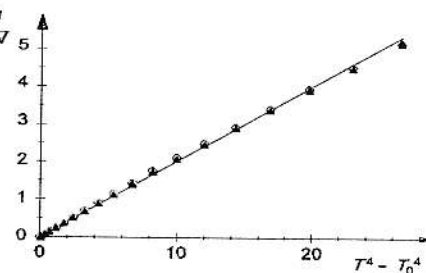
I-кесте. Жылу және салқындау кезіндегі өлшенген мәндер.

$t$ ( $^{\circ}\text{C}$ )	$T$ (K)	$T^4 - T_0^4$ ( $K^4$ )	$U_{\text{II}}$ (mV)	$U_{\text{II}}$ (mV)
24	297	0	0	0
30	323	0,31	0,06	0,06
35	348	0,69	0,13	0,14
100	373	1,16	0,23	0,24
125	398	1,73	0,35	0,36
150	423	2,42	0,51	0,52
175	448	3,25	0,7	0,67
200	473	4,23	0,92	0,89
225	498	5,37	1,15	1,13
250	523	6,7	1,43	1,41

275	548	8,24	1,74	1,72
300	573	10	2,11	2,07
325	598	12,01	2,51	2,46
350	623	14,29	2,93	2,89
375	648	16,85	3,41	3,38
400	673	19,74	3,94	3,92
425	698	22,96	4,52	4,5
450	698	26,55	5,15	5,16

Шенберлер кыздыру кезінде олшенген мәндерге және салқындану кезінде үшбұрыштарға сәйкес келеді.

1.3-суретте термоэлектрлік батареяның шығыс кернеуі  $U$  пештің дәрежелі абсолютті



1.3-сурет:  $U$  шығыс кернеуінің  $T^4 - T_0^4$  функция ретіндегі графигі.

температура  $T$  және тортінші дәрежелі абсолютті бөлме температурасы  $T_0$  арасындағы айырмашылық функциясы ретінде берілген. Бұл қатынас Стефан-Больцман заңы болжагандай шамамен тұзу сызық болып табылады. Егер кисықтық мұқият зерттелсе, біз жақсы сәйкес келетін тұзу сызыктан сәл ауытқуды байқай аламыз. Бұл келесі әсерлерге байланысты: термоэлектрлік ұяшыктардың өлшемдеріне коршаған ортадағы конвекция мен радиациялық шығындарәсіреле, шыны тесігі жойылған кезде әсер етеді.

Бұған қоса, пеш температурасы көтерілген кезде термоэлектрлік батареяның аныктамалық нүктелеріндегі жылудың артып баруын толығымен жоя алмаймыз.

### Бақылау сұралтарты:

1. Дененің сәулелену қабілеті мен жұтылу қабілеті дегеніміз не?
2. Абсолютті кара дененің сәулелену заңдылықтарын сипаттаңыз.
3. Саулеленудің тағы қандай түрлерін білесіз?
4. Пирометрдің құрылымын және оның электрлік және оптикалық схемасын сыйыныз. Пирометрдің және қандай түрлерін білесіндер?
5. Қандай температура жарықтық температурасы дәп аталады?

### ІЕРХАНАЛЫҚ ЖҰМЫС № 2. ПЛАНК ТҮРАКТЫСЫН АНЫҚТАУ

**Жұмыстың мақсаты:** Планк түрактысының мәнін эксперименттік бақылау адістерінің бірімен танысу, талапкерлердің физикалық тәжірибелер жүргізу дәдіндары және іскеңлігін қалыптастыру.

**Қажетті құрал-жабдықтар:** Жартылай өткізгішті жарық диоды, ток өйткі, вольтметр, реостат және қосқыш сымдар.

### Теориялық бөлім

Жарық диодының (LED) жұмыс істей принципі электр энергиясын электромагниттік сәулеленуге түрлендіруге негізделген, оның спектрі электрлік көріністін (оптикалық) немесе инфрақызыл диапазонында болуы мүмкін. Жарық диодының (LED) түзілісі электрондық-кемтіктің отуден тұрады, ондағы салалардың бірі мысалы, p-эмиттер, басқасы p-сала база болып табылады. Жартылай өткізгішті қосымша бос зарядтар тудырмайтын, бірақ жарықтың пайда болуына себеп болатын негізге арналы қосылыс болып табылады. p-n откелі дұрыс полярлық кернеумен қамтамасыз етілгенде, электрондардың әмиттерден базага ауысыбы басталады. Осы кезде әмиттердің базадан әмиттерге ауысыбы басталады. Заряд төмімділдүшілардың рекомбинациясы базада да, әмиттерде де жүреді, бірақ базада келіп түсстің электрондардың энергиясы сәулелену энергиясына айналады. Кванттық теорияга сәйкес, базалық аймақта ауыскан электрон

кемтіктермен рекомбинация процесінде сәулелену энергиясының кванттын шығарады. Алынған жарық кванттының энергиясы ( $h\nu$ ) тыйым салынған энергетикалық аймақтың кеңдігіне тең (валенттілік пен бос энергия аймақтары арасындағы энергия айырмашылығы). Рекомбинация процесінде электрон р-п аудиосындағы энергияны ( $E_{эл}$ ) алады. Бұл энергияның мәні электронды зарядты ( $e$ ) жарық диодының (LED) р-п өтуіне қолданылатын дұрыс кернеу мәніне ( $U_d$ ) көбейту арқылы анықталады:

$$E_{эл} = eU_d.$$

$$h\nu = E_{эл}, \text{ екендігінде } h\nu = eU_d$$

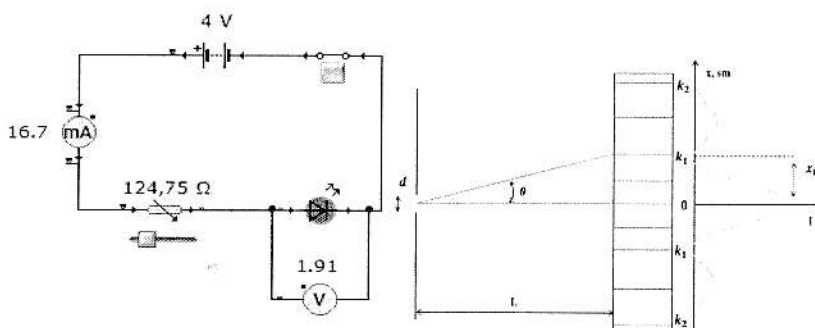
Осы өрнектен Планк тұрақтысын анықтауга арналған жұмысшы формуласы шығады.

$$h = eU_d / \nu \quad (1)$$

(1) формуладан электрон зарядын ( $e$ ) біле отырып, Планк тұрақтысын анықтау үшін жарық диодына түсірілген кернеуді ( $U_d$ ) және жарық диоды (LED) ның сәулелену жиілігін ( $\nu$ ) өлшеу қажет екендігін көрсетеді.

### Тәжірибе құрылғысы

Планк тұрақтысын жарық диодыарқылы анықтауга арналған тәжірибелік құрылғының схемасы төмендегі 2.1-суретtekерсетілген.



2.1-сурет. Зертханалық құрылғының түзіліс схемасы

### Жұмысты орындау тәртібі:

I. Ұсынылған тізбекте жарық диодын (LED) ток ағынының дұрыс бағыттымен қуат козіне косыңыз. Тізбек үшін  $R=100\Omega$  резисторды, 9В қуаттің және цифрлық вольтметрді немесе мультиметрді пайдаланыңыз.

II. Жарық диодының дұрыс кернеуін елшеніз.

III. Жарық диодының сәулелену жиілігін ( $\nu$ ) периоды 1 мін болатын 100 штук болған дифракциялық тордың көмегімен анықтаңыз (оптика бөлімінде дифракциялық тордың көмегімен жарық жиілігін анықтау бойынша зертханалық жұмысты қайта үйренің).

IV. Дифракциялық тордан экранга дейінгі қашыктық ( $L$ ), шкала центрінен к ретті дифракциялық максимумға дейін болған қашыктық ( $x_k$ ) және дифракциялық торға дейінгі қашыктық тұрақтысын ( $d$ ) деп белгілесек, жарық диодының жиілігін ( $\nu$ ) төмендегі формула көмегінде анықтаймыз:  $\nu = \frac{c}{d}$ , бұл жерде,  $c$  – жарықтың вакуумдегі жылдамдығы.

V. Тізбек элементтерінің әртүрлі параметрлерінде немесе жарық диодының сәулелену жиілігін анықтау кезінде тәжірибелі параметрлерін (дифракциялық тордың периоды, дифракциялық тордан шкалала дейінгі қашыктық) өзгерту арқылы тәжірибелі кемінде үш рет кайталаңыз.

VI. Қажетті олшемдерді орындағаннан кейін,  $v_{\text{эксп,орт}}$  жарық диодының сәулелену жиілігінің орташа мәні үшін формула (1) арқылы Планк тұрақтысын анықтаңыз.  $h_{\text{эксп,орт}} = eU_d / v_{\text{эксп,орт}}$

VII. Алынған мәнді кесте мәнімен ( $h_{\text{теор}}$ ) салыстырыңыз және өлшемдердің салыстырмалы қателігін анықтаңыз:

$$\rho = \frac{|h_{\text{эксп}} - h_{\text{теор}}|}{h_{\text{теор}}} \cdot 100\%, \text{ бұл жерден } h_{\text{эксп}} \text{ және } h_{\text{теор}} \text{ сәйкесінше тәжірибелінде және кестедегі Планк тұрақтысының мәндері.}$$

№	$R(\Omega)$	$U_d(V)$	$h_{\text{эксп}}$ (Дж · с)	$h_{\text{теор}}$ (Дж · с)	$h_{\text{эксп,орт}}$ (Дж · с)	$\varepsilon \%$
1						
2						
3						

7. Жұмыс бойынша қорытынды және есеп жазың.

#### Бақылау сұрақтары:

- Планк тұрақтысының физикалық мәғынасын түсіндіріңіз.
- Жарық диодының құрылымы мен жұмыс принципін түсіндіріңіз.
- Тәжірибелік құрылғының схемасын және оған кіретін элементтердің қызметін түсіндіріңіз.
- Жарық диодының сәулелену жиілігін анықтаудың тәжірибелік схемасын сыйыңыз және түсіндіріңіз.
- Айнымалы ток көзімен тәжірибе жүргізуге бола ма?
- Жарық диодын кері бұрап эксперимент жүргізуге болады ма? Физикалық процессті түсіндіріңіз.
- Планк тұрақтысын анықтаудың қандай әдістерін білесіз?
- Жарық сәулесінің жиілігін анықтаудың қандай әдістерін білесіз?

### ЗЕРТХАНАЛЫҚ ЖҰМЫС №3. ЖАРЫҚТЫҚ ПИРОМЕТРИНІҢ КӨМЕГІМЕН СӘУЛЕЛЕНГЕН ДЕНЕЛЕРДІҢ НАҚТЫ ТЕМПЕРАТУРАСЫН АНЫҚТАУ

**Жұмыстың мақсаты:** Жылулық сәулелену құбылысы негізінде оптикалық пирометрдің құрылымымен және жұмыс істеу принципімен танысу, оның көмегімен абсолютті температуралы анықтау.

**Қажетті құрал-жабдықтар:** Оптикалық пирометр, сәулелендіргіш объект, ток көзі, ажыратқыш, реостат.

#### Теориялық белім

Заттың атомдары мен молекулаларының жылулық қозгалысы нәтижесінде пайда болатын электромагниттік сәулелену жылулық сәулелену деп аталады.

Барлық қыздырылған қатты және сұйық заттардың жылулық сәулеленуі когерентті спектр береді. Спектрдегі энергияның таралуы температурага байланысты, ал төмөнгі температурада жылулық сәулеленуінегізін инфракызыл сәулелерден, ал жоғары температурада көрінетін және ультракүлгін сәулелерден тұрады.

Егер дене қоршаган денелерден жарық немесе жылуды жүту арқылы үшін сәулелену энергиясын қалпына келтірсе, онда сәулелену процесі тепе-тендікте болады. Бұл кезде сәуле шығаратын дененің күйін тұракты температура  $T$ -мен сипаттауга болады. Сондыктan жылулық сәулеленуді тепе-тендік сәулелену деп те атайды. Жылулық сәулелену тенденстілген процесс болғандықтан, ол термодинамика принциптерінен алынған кейір жалпы заңдарға бағынады. Осы заңдармен қысқаша танысайық.

**1. Кирхгоф заңы.** Бұл заңды сипаттамас бұрын келесі екі ұғыммен танысайық. Сәуле шығару және сәулежүтулы процестерін сандық бағалау үшін дененің сәуле шығару және сәулежүтулукабілеті туралы түсініктер сиптіледі. Сәулеленген дene бетінің бірлік жағынан бір мезгілде сәулеленетін жарық энергиясы дененің толық (интегралдық) сәулелену қабілеті  $R_3$  немесе энергетикалық жарықтандыру деп аталады. Дене жұтқан жарық ағынының осы денеге түсетін жарық ағынына қатынасымен өлшенетін  $A_3$  шамасы дененің толық (интегралдық) жарық жүту қабілеті деп аталады.  $R_3$  және  $A_3$  мәндері дененің табигаты мен температурасына байланысты. Тәжірибе көрсеткендей, дene шығаратын және жұтқан жарық энергиясы әртүрлі толқын ұзындықтары үшін әртүрлі бөлінеді. Сондыктan  $r_{\lambda T}$  спектрлік сәулелену және дененің  $a_{\lambda T}$  спектрлік жарықты жүту қабілеті туралы түсініктер сиптілген. Дененің толқын ұзындықтағы спектрлік жарық шығару

(сәулежүту) қабілетіл  $-\frac{\Delta\lambda}{2}$ ден  $\lambda$  +  $\frac{\Delta\lambda}{2}$  гедейін қыска  $\Delta\lambda$  дейін интервалда жарық шыгару (сәуле жүту) қабілетін білдіреді. Барлық накты денелердің жарықты жұтылу қабілеті бірден кіші. Кез келген температурада бетіне түсетін барлық жарық энергиясын толығымен жұта алатын дene абсолютті қара дene деп аталады. Абсолютті қара денелер үшін  $a_{\lambda T} = 1$ . Жоғарыда келтірілген ұғымдарға сүйене отырып, Кирхгоф заңына төмендегідей аныктама беруге болады: Денелердің сәуле шыгару қабілетінің жұту қабілетіне қатынасы табигатына қарамастан барлық денелер үшін езгермейтін шама болып табылады және ол толқын ұзындығы мен температуралың біркелкі (эмбебап) функциясы болып табылады, яғни:

$$r_{\lambda T}/a_{\lambda T} = f(\lambda, T) \quad (1)$$

Абсолютті қара дene үшін  $a_{\lambda T} = 1$  деп есептесек, (1) формула  $r_{\lambda T}$  ның  $f(\lambda, T)$  ға тең екендігін білдіреді. Демек, Кирхгофтың эмбебап функциясы  $f(\lambda, T)$  абсолютті қара дененің сәуле шыгару қабілетінің озі болып табылады.

2. Стефан – Больцман заңы. Абсолютті қара дененің  $R_s$  жалпы эмиссиясы оның абсолютті температурасының төртінші дәрежесіне тұра пропорционал:

$$R_s = \sigma T^4 \quad (2)$$

Бұл жерде,  $\sigma$  – Стефан-Больцман тұрақтысы, оның мәні  $\sigma = 5,67 \cdot 10^{-8} \frac{W}{m^2 \cdot K^4}$  дең.

3. Виннің орын аудостыру заңы. Абсолюттік қара дененің сәулелену спектрінің максималды мәніне сәйкес келетін  $\lambda_{max}$  толқын ұзындығы абсолютті температураның жоғарылауына кері пропорционал қыска толқындар саласына қарай ығысады, яғни:

$$\lambda_{max} = b/T \quad (3)$$

Бұл жерде,  $b$ -Вин тұрақтысы деп аталады, оның мәні  $b = 0,28979 \cdot 10^{-2} m \cdot K$ .

4. Планк формуласы. Абсолютті қара дененің спектрлік сәуле шыгару қабілеті

$$r_{\lambda T} = \frac{2\pi hc^2}{\lambda^5} \frac{1}{e^{hc/\lambda kT} - 1} \quad (4)$$

формуласы арқылы анықталады. Бұл жерде,  $\lambda$  – сәулелену толқынының ұзындығы,  $c$  – вакуумдегі жарықтың таралу жылдамдығы,  $k$  – Больцман тұрақтысы,  $h$  – Планк тұрақтысы,  $T$  – абсолютті температура. Егер (4) формула сәулеленудің барлық толқын ұзындықтары бойынша интегралды болса, абсолютті қара дененің интегралды сәулелену қабілеті (немесе энергетикалық жарықтығы) шығарылады, яғни

$$R_e = \int_0^{\lambda} r_{\lambda T} d\lambda = \int_0^{\lambda} \frac{2\pi hc^2}{\lambda^5} \frac{1}{e^{hc/\lambda kT} - 1} \quad (5)$$

Интеграцияның итогесі төмендегідей болады:

$$R_e = \frac{2\pi^5 k^4}{15 c^2 h^3} \cdot T^4 \quad (6)$$

(6) ернекті Стефан-Больцман заңымен (2) салыстыру арқылы Стефан-Больцман тұрақтысы  $\sigma = \sqrt{\frac{2\pi^5 k^4}{15 c^2 h^3}}$  келіп шыгады, бұдан Планк тұрақтысын  $b = \sqrt{\frac{2\pi^5 k^4}{15 c^2 \sigma^3}}$  табуға болады.

Қызыздырылған заттардың температурасын олардың сәулелену спектрі арқылы анықтауда болады. Температураны анықтаудың бұл әдісі **оптикалық пиromетрия**, ал сәйкес құрылғылар **оптикалық пирометрлер** деп аталады.

Температураны анықтаудың кең тараған әдісі белгілі бір  $\Delta\lambda$  толқын ұзындығы интервалындағы сәуле шығаратын дene спектрінің сәулеленуін сол аралықтагы абсолютті қара дene спектрінің сәулеленуімен салыстыруға негізделген. Әдетте  $\lambda = 0,66$  ұшамасында жатқан спектрдің қызыл бөлігі колданылады. Температураны осылайша анықтау үшін жойылатын талшық пиromетрі деп аталатын жарықтық пиromетрі колданылады.

### Пирометрдің схемасы 3.1-

суретте көрсетілген. Бұл жағдайда 1-шамның жарты шеңберлі талшығы аспап осіне перпендикуляр жазықтықта жатады. 2- линза талшық жатқан жазықтықта зерттелген сәулелену бетінің бейнесін жасайды. Жарық фильтрі 4 (кызыл фильтр) окуляр 3-ке тек монохроматикалық сәулені откізеді.

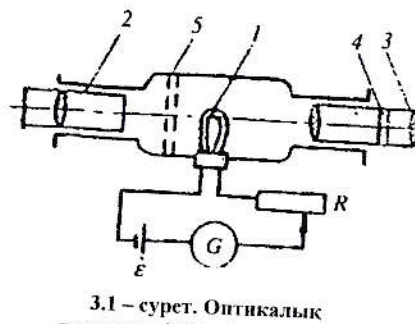
Пирометрдің окулярына қарасақ, оның талшық жарықтығы R реостат көмегімен сәулеленген заттың жарықтығымен бірдей болғанша өзгертіледі. Талшықтың жарықтылығы сәулеленген объектінің жарықтығына тен болғанда, талшық сәулелену фонында сезілмейтін болып қалады, яғни «жоғалады». Құрал абсолютті қара дене температурасына сәйкес калибрленген және сәйкес температура мәндері гальванометр шкаласының G бөлімдеріне сәйкес °C көрсетілген.

Егер бақыланатын дene абсолютті қара болса, анықталған температура оның нақты температурасы T болады. Абсолюттік емес қара денелер үшін осылай анықталған  $T_{жар}$  температурасы жарықтық температурасы деп аталады. Осы екі температура арасындағы байланысты анықтау үшін энергетикалық жарықтандыру деп аталағын  $B_3$ -шамасы енгізіледі.  $\Phi$  - жарық ағыны,  $R$ -жарықтандыру және В-айқындық сияқты фотометриялық шамалар арасындағы байланыс  $\Phi_3$ - энергия ағыны,  $R_3$ - энергетикалық жарықтық және  $B_3$ - энергетикалық айқындық сияқты энергетикалық шамалар үшін де жарамды. Сондықтан,

$$R_E = \pi B_E \quad (8)$$

деп жазуға болады Содан кейін (2) абсолютті қара дененің  $B_3^*$  энергетикалық айқындығы үшін

34



3.1 – сурет. Оптикалық пирометрдің ішкі құрылымы

$$B_3^* = \frac{\sigma}{\pi} T^4 \quad (9)$$

өрнек құрастырамыз. Энергетикалық айқындық сонымен қатар толқын үшіндигы мен температуралық функциясы болып табылады. Абсолюттік емес қара денелер үшін пирометр абсолютті қара дененің толқын үшіндигына λ сәйкес келеді  $B_3(\lambda, T_{жар})$ , T - зерттелетін дененің нақты температурасы  $B_3(\lambda, T)$  айқындыққа тен, яғни

$$B_3^*(\lambda, T_{жар}) = B_3(\lambda, T) \quad (10)$$

$T_0$  - сол уақыттағы температуралық көрсетеді. (9) қатынас әрбір спектрлік компонент үшін жарамды. Сондыктан (8) әрбір спектрлік құрамадас үшін  $B_3(\lambda, T) = \frac{1}{\pi} r_{\lambda T}$  түрінде жаза аламыз. Бұл өрнек Кирхгоф заңына негізделген

$$B_3(\lambda, T) = \frac{1}{\pi} a_{\lambda T} \cdot f(\lambda, T) \quad (11)$$

деп жазуға болады,  $a_{\lambda T}$  — сәуле шығаратын дененің жарықты жүту қабілеті. Абсолютті қара дene үшін  $a_{\lambda T} = 1$  деп болжасак

$$B_3^*(\lambda, T_{жар}) = \frac{1}{\pi} \cdot f(\lambda, T_{жар}) \quad (12)$$

болады. (10), (11) және (12) формулаларынан

$$a_{\lambda T} = \frac{f(\lambda, T_{жар})}{f(\lambda, T)} \quad (13)$$

Бұл орнектен  $a_{\lambda T}$  — зерттелетін объектінің λ толқын үшіндигынан өтетін жарық фильтрі үшін нақты температуралық жүту қабілеті шығады. (4) Планк формуласына негізделген (13) өрнек  $f(\lambda, T) = r_{\lambda T}$  абсолютті қара дene спектрлік сәуле шығару қабілеті деп есептесек, оны төмендегідей жазуға болады:

$$a_{\lambda T} = \frac{e^{hc/\lambda kT} - 1}{e^{hc/\lambda kT_{рав}} - 1}$$

Бұл орнекте  $e^{hc/\lambda kT}$  шамал =  $0,66 \mu$ ,  $T \approx t_{жар} \approx 3000 K$  де біреуден әлдеқайда үлкен болғандыктан, оны елемеуге болады. Бұл жағдайда

35

$$a_{\lambda T} = e^{\frac{hc}{\lambda k} \left( \frac{1}{T} - \frac{1}{T_{\text{жар}}} \right)}$$

болады, мұндағы  $T$  - логарифмдеу нәтижесіндегі нақты температура үшін

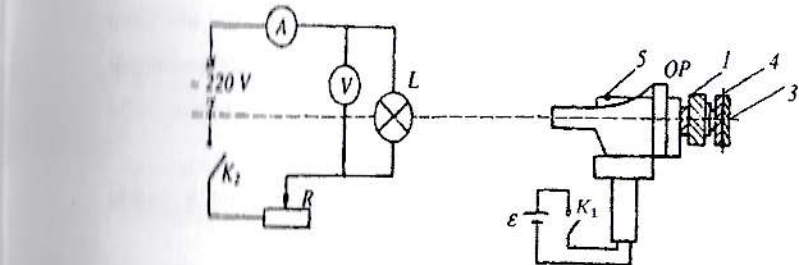
$$T = \frac{c_1 \cdot T_{\text{рав}}}{\lambda T_{\text{рав}} \cdot \ln a_{\lambda T} + c_1} \quad (14)$$

осы қатынасты аламыз,  $c_1 = 1,432 \cdot 10^{-2} \text{ мК}$ ,  $a_{\lambda T}$  — шаманың мәні кестелерде берілген. Мысалы, вольфрам үшін  $900^\circ\text{C} \div 2000^\circ\text{C}$  температура аралығында  $a_{\lambda T} = 0,43$ .

Пирометрді колдану  $T_{\text{жар}}$ ны өлшеп, (14) формуладан сәүлеленгсін деңеңің нақты температурасын  $T$  есептеуге болады. Пирометрде екі температура шкаласы бар, біреуі  $700 \div 1400^\circ\text{C}$ , екіншісі  $1200 \div 2000^\circ\text{C}$  аралығындағы температуралыны өлшеуге арналған. Пирометр шамының температурасы  $1500^\circ\text{C}$  аспауы керек. Сондыктan екінші шкалалы пайдаланған кезде 2-объектив пен 1-талшық арасына 5 бұлдыңғырлық фильтрі енгізіледі (3.1-сурет).

#### Жұмысты орындау тәртібі:

1. 3.2-суретте көрсетілген схема бойынша тізбек құрыныз.
2. ОП пирометрін  $L$  қыздыру шамынан 1 м қашықтықта орналастырып, пирометрдің объективін шамының талшығына бағыттаңыз.
3. Пирометр реостатының I бұралу сакинасына ақ нөлдік белгіні оның кабығындағы бірдей белгіге қарсы қойыңыз (3.3-сурет), бұл жағдайда пирометрдің көрсеткіші шкалалың нөлдік белгісіне қарама-қарсы болуы керек.
4.  $K_1$  кілтін жалғап, сакинаны I пирометр шамының талшығының температурасы шамамен  $1200^\circ\text{C}$  болғанша сағат тілімен бұраңыз. 6-шкаладан температура мәнін жазып алыңыз (3.3-сурет).



3.2 – сурет. Құрылғының схемасы

5. Окулярды З аспаптың оптикалық осі бойымен жылжыту арқылы пирометр шамыталшығының анық көрінісін алыңыз, содан кейін  $K_1$  ақыратқышыны ажыратыңыз.

6. 4 басынпайдаланып, көру өрісіне қызыл түстегі фильтрді енгізіңіз.

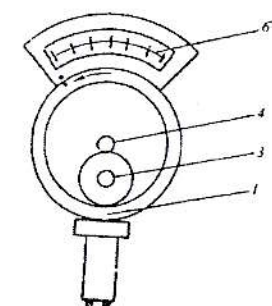
7. 5 басындағы «20» деп белгіленген көрсеткіштен ширек айналымға буру арқылы құнғарттеу фильтрін алыңыз.

8.  $K_2$  косқышын пайдаланып қыздыру шамын  $L$  көзге косыңыз.

9.  $K_1$  пернесін қосып, пирометрдің шамыталшығының органды бөлігінің жарықтылығы (3.2-сурет) қыздыру лампасының  $L$  жіппесінің жарықтылығымен бірдей болғанша сакинаны анырын бұраңыз. 6 - шкаладан температураны жазың (3.3-сурет).

10. Пирометр шамының жарықтығын аздал жогарилату немесе азайту арқылы қыздыру шамының  $L$  талшығының температурасын уш рет өніп, орташа мәнін алыңыз.

11.  $R$  реостатының көмегімен  $L$  шамына әртүрлі көрнекілер беру арқылы токтың әртүрлі мәндері үшін шам талшығының температурасын анықтаңыз.



3.3 – сурет.  
Оптикалық  
пирометрді  
дәрежелеу

12. Кыздыру шамының  $L$  талшығының температурасы  $1400^{\circ}\text{С}$ ден жоғары болғанда, енгізілген күнгірттеу фильтрі 5 (3.1-сурет) арқылы олшесуді орындаңыз. Күнгірттеу фильтріненгізу үшін нұктені 5-басқа (3.2-сурет) «20» индексіне койыңыз.

13. (14) формула бойынша кыздыру шамының талшығының нақты температурасын есептеңіз.

№	$T_{\text{жар}}(K)$	$C_1$	$\lambda(\text{нм})$	$a_{\lambda T}$	$T(K)$	$T_{\text{опт}}(K)$	$\varepsilon(\%)$
1							
2							
3							

14. Ток пен температура арасындағы байланыстылық графигін салыңыз.

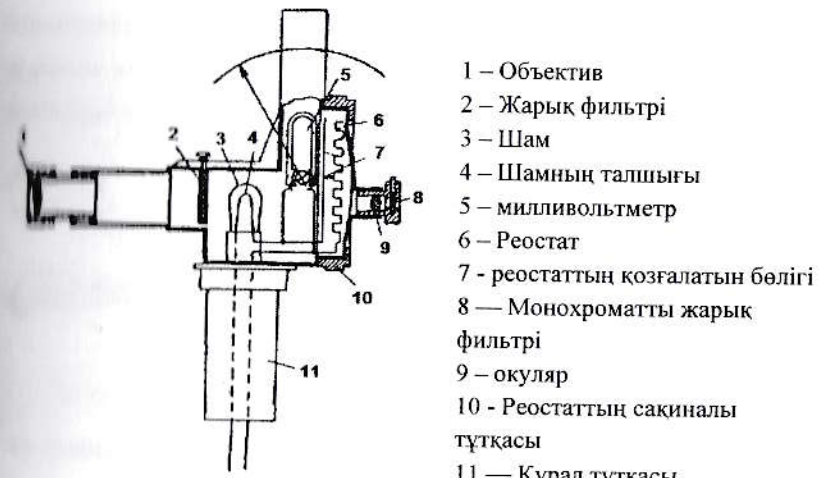
#### Өздігінше оқу үшін тапсырма

Қазірге оптикалық пиromетрлердің құрылымы мен жұмыс принципін зерттеу:

Пираметрлер заттардың температурасын контакттыз әдіспен аныктау үшін колданылады. Жұмыс принципі бойынша пираметрлер екі түрге белінеді:

1. Көрінетін сәулелерде жұмыс істейтін
2. Инфрақызыл сәулеленуде жұмыс істейтін

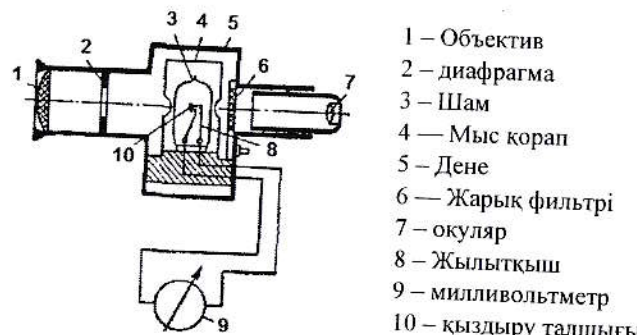
Оптикалық (көрінетін) диапазонда жұмыс істейтін пираметрдің құрылымы төмендегі 3.4-суретте көрсетілген.



3.4-сурет. Көрінетін сәуледе жұмыс істейтін пираметрдің түзілісі

Оптикалық пираметрдің жұмыс істеу принципі объектінің сәулеленуінің жарықтығын сәулеленуі алдын ала белгілі талшықтың жарықтығымен салыстыруға иеізделген. Бұл жағдайда кыздырылған денеден түсегін жарық аспаптың объективіне түседі де, окуляр арқылы объективтің жарықтығы мен талшығының жарықтығы салыстырылады. Мұндай салыстыру арнайы жарық фильтрінің комегімен алынған монохроматикалық жарықта жүргізіледі. Галышқа батареямен қызыды және реостат арқылы басқарылады. Денениң температурасы пираметрдегі температурага дәрежеленген милливольтметрдің комегімен анықталады.

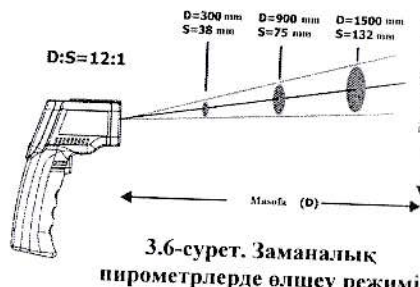
Радиометрдің құрылымы (инфрақызыл сәулеленуде жұмыс істейтін пираметр) төмендегі 3.5-суретте көрсетілген.



3.5-сурет. Инфракызыл сәулеленде жұмыс істейтін пиromетрдің күрылымы

Бұл пиromетрлердің жұмыс істеу принципі төмендегідей: қыздырылған денеден келетін жылу сәулеленуі термопарамен қосылған күрылғының сезімтал элементіне бағытталған күрылғы линзасы бар корпустан тұрады. Пиromетрдің сезімтал бөлігі термобатарея түрінде жасалған 4 термопары бар крест тәрізді платина пластина түрінде жасалған. Термопарлар пиromетрдің сезімтал элементі салқындаған немесе қызған кезде де қызды. Термопар платина пластиналары сәулеленуді сезімтал элементке откізетін саңылаулары бар мыс кораппен қоршалған шыны шамның ішінде орналасқан. Шам шығыстары мен термопара шығыстары қыскыштарға қосылған. Қазіргі пиromетрлер қолданылу саласына қарай портативті немесе стационарлық, жогары температуралы ( $>400^{\circ}\text{C}$ ) немесе төмен температуралы ( $>-30^{\circ}\text{C}$ ) болып белгінеді.

Заманауи пиromетрлерде өлшеудерді орындаған кезде объектінің ауданы өлшеу кимасының ауданынан үлкен болуы керек (3.6-сурет). Объект негұрлым кіші болса, пиromетр согұрлым жақын болуы керек. Қазіргі



пиromетрлер үшін объектіге дейінгі қашықтықтың өлшеу кимасының ауданына қатынасы (12:1), (10:1) болуы мүмкін. Бұл қатынас пиromетрдің нұсқауларында және күрылғының өзінде көрсетілген болады.



3.7-сурет. а) Портативті пиromетрлер б) стационарлық пиromетрлер

Стандартты пиromетрлердің көрінісі 3.7 а, б-суретте көрсетілген. Бұл пиromетрлерде сұйық кристалды индикатор болып, өлшенетін температура параметрлері туралы акпаратты көрсетеді.

#### Бақылау сұрақтары:

1. Дененің сәулелену қабілеті мен жұту қабілеті дегеніміз не?
2. Абсолютті қара дененің сәулелену заңдылықтарын сипаттаңыз.
3. Сәулеленудің тарғы қандай түрлерін білесіз?
4. Пиromетрдің күрылымын және оның электрлік және оптикалық өлемасын сыйызыз.
5. Пиromетрдің тарғы қандай түрлерін білесіндер?
6. Қандай температураны жарықтық температурасы деп атайды?
7.  $T = f(I)$  графікті салудың мақсаты қандай?

### ЗЕРТХАНАЛЫҚ ЖҰМЫС № 4. ЭЛЕКТРОННЫҢ ШЫҒУ ЖҰМЫСЫН АНЫҚТАУ

**Жұмыстың мақсаты:** Металдардан электрондардың шығу жұмысын тәжірибе арқылы анықтау және қойылған сұрақтарға жауап беру, өлшеу көтөліктерін бағалау.

**Қажетті құрал-жабдықтар:** Компьютер, электрондардың шығуын анықтауға арналған құрылғы, бейнепроектор, экран, виртуалды зертханалық жұмысы бар диск.

### Теориялық бөлім

Қатты материалдардағы атомдар арасындағы қашықтық ете аз болғандықтан, олар бір-бірімен электромагниттік әсерлеседі. Нәтижесінде атомдар сыртқы валенттілік электрондарын жогалтып, иондарға айналады, ал бұл иондар металл кристалдық торын құрайды. Валенттік электрондар бүкіл кристалдық торға жатады және төрдүң ішінде еркін қозғалады. Атомдардагы валенттік электрондар дискретті энергия деңгейлеріне мүмкіндік береді. Кристалда бұл энергия деңгейлері рұқсат етілген энергетикалық аймақтарды құру үшін өзара әрекеттесу нәтижесінде біріктіріліп, кенейеді. Энергетикалық аймақтарды бір-бірінен тыым салынған аймақтармен (жартылай откізгіштерде және диэлектриктерде) бөлуге болады. Тыым салынған энергетикалық аймақтарда электрондардың энергиясы жоқ (бұл кристалда ақаулар мен коспалар болған жағдайдаған болуы мүмкін). Энергетикалық және жолақ ені әртүрлі заттарда әртүрлі және олар қатты дененің электрлік және фотоэлектрлік қасиеттері сиякты әртүрлі қасиеттерін анықтайды. 4.1-суретте кристалдардағы энергетикалық жолақтардың ең карапайым диаграммасы көрсетілген. Суреттеге  $\Delta E$  кең аймақ, валенттік аймақ және қозған аймақтар жолағы көрсетілген.

Қозған аймақты өткізгіш аймақ деп те атайды. Валенттік аймактарды сыртқы электр өрісінің әсерінен ток тудырмайды. Валенттік



электрон сыртқы күштің әсерінен қозған аймаққа ауысқанда, сыртқы электр өрісінің әсерінен ток тудыруы мүмкін.

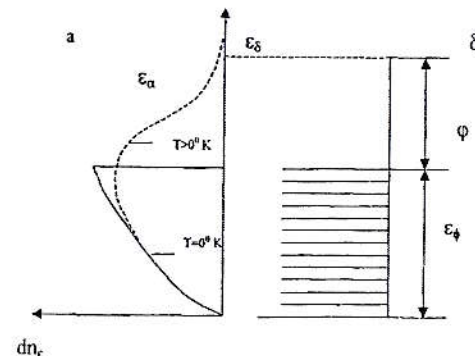
Металды қызылған кезде топ түйіндерінде орналасқан иондардың тернияттық тербелісі жогарылады және олармен соқтығысқан еркін электрондардың кинетикалық энергиясы да артады. Нәтижесінде бос электрондардың энергиясының таралуы взгереді. 4.2-суретте  $T=0$  K электрондардың энергиясының таралуы үздіксіз қисықпен көрсетілген. Бұл таралу Ферми-Дирак статистикасының көмегімен алынған және нүктелі есептегендегі формуламен орнектеледі:

$$dn_e = C \frac{\varepsilon^{1/2} d\varepsilon}{\exp\left[\frac{\varepsilon - \varepsilon_\phi}{kT}\right] + 1} \quad (1)$$

Бұл жерде,  $dn_e$  — энергия ененең десаңылаудағы металдың бірлік температуралық бос электрондар саны,  $T$ -металл температурасы,  $k$ -Больцман тұрақтысы,  $S$ -тұрақты шама.

Электронның металданышуаушының металданыштың электрон полюсумының

делтаплатын жұмыстырының үсерек, АВ-тыым салынған аймақтың кеңдігі 3 эВ-тен кийін болған денелер жартылай откізгіштер және 3 эВ-тен улкен болса



4.2-сурет. Электрондардың энергетикалық таралуы

электрлік дең саналады және оларды мұндай ажырату шартты есептеледі. Өзіншітерде валенттік аймақты электрондармен толтыру мүмкін емес немесе валенттілік пен қозған жолақтар біріктірілуі мүмкін.

Металл арқылы еркін қозғалатын электрондар одан құтыла алмайды. Металл бос электрондар үшін потенциалды тосқауыл ретінде әрекет етеді (4.2-сурет).  $T=0\text{K}$  кезінде электрондар Паули принципі бойынша потенциалдық қеңістіктегі энергия деңгейлерін ретімен толтырады.  $T=0\text{ K}$  кезінде потенциалдық қабаттағы электрондардың максимал энергиясы – Ферми энергиясы деп аталады.

Металдағы электрондардың энергиясы әртүрлі. Бірақ энергиясы Ферми энергиясына жақын электрон металдан оңай құтылады. Демек, энергиясы Ферми энергиясына тең электронның металдан шығуына кажетті энергия электронның жұмысына тең деп есептеледі. 4.2-суретте электронның шығыс жұмысы фарқылы белгіленеді және  $\varphi=\varepsilon_a-\varepsilon_f$ , т.е. әртүрлі металдар үшін  $\varphi$  әртүрлі мәнге ие, ал электронның барлық металдар үшін шығу жұмысы бірнеше эВ диапазонында жатыр. Металды қыздырған кезде электрондардың энергиясының таралуы өзгереді, ал олардың металдан шығу жұмысы азаяды, бұл олардың металдан шығуын женилдетеді (4.2-сурет).

#### Эксперименттік құрылғының сыйбасы және жұмыс істеу принципі

Электрондық жұмысты әртүрлі тәсілдермен өлшеуге болады. Мында екі электродты электронды шамда өндірілген термоэлектрондардың қаныгу тогын өлшеу арқылы электрон жұмысын өлшейміз. Термоэлектрондардың қаныгу тогы Ричардсон формуласымен берілген:

$$J = AT^2 \exp\left(-\frac{\varphi}{kT}\right) \quad (2)$$

бұл жерде,  $A$  – тұракты,  $T$  – температура. (2) формуладан көрініп тұрандай, термоэлектронды қанықтыру тогы температурага тәуелді. Диодтың вольт-амперлік сипаттамасын өлшеу арқылы катод температурасының  $T_1$  және  $T_2$  мәндеріне сәйкес келетін термоэлектрондардың  $J_1$  және  $J_2$  қаныгу токтарының мәндерін және электронның шығу жұмысын анықтай, катодты материалдан электронның шығу жұмысын табуга болады. Шындығында,

$$J_1 = AT_1^2 \exp\left(-\frac{\varphi}{kT_1}\right),$$

$$J_2 = AT_2^2 \exp\left(-\frac{\varphi}{kT_2}\right)$$

тәндеудерден

$$\frac{J_1}{J_2} = \left[ \frac{T_1}{T_2} \right]^2 \exp\left(-\frac{\varphi}{k} \left[ \frac{T_2 - T_1}{T_1 T_2} \right] \right) \quad (3)$$

тұнадайы. (3) тәндеудің екі жағы  $(T_2/T_1)^2$ -көбейтіп, содан кейін логарифмдесек, шығу жұмысының төмендегі формуласын аламыз:

$$\ln\left(\left(\frac{T_2}{T_1}\right)^2 \frac{V_1}{V_2}\right) = -\frac{\varphi}{k} \left( \frac{T_2 - T_1}{T_1 T_2} \right)$$

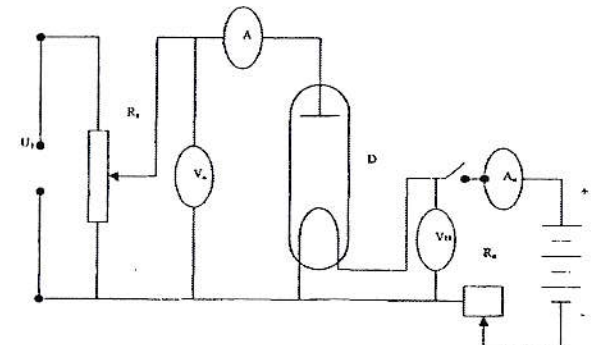
$$\varphi = -k \frac{T_2 T_1}{T_2 - T_1} \ln\left(-\frac{J_1}{J_2} \left[ \frac{T_2}{T_1} \right]^2\right) \quad (4)$$

4.3-суретте құрылғының схемасы көрсетілген. D-диодты катод  $U_2$  үзілінен алынатын және

вакууметрийнің көмегімен 0-ден 6 В-ка дейін өзгертуге болатын  $U_0$  көрнеуімен таралған.

Катодтық токты  $A_N$  амперметрі арқылы анызуға болады. Диодтың катоды мен

анодының арасындағы анидтық көрнеу  $U_1$  көзінен алынады, оны  $R_A$  реостатының комегімен 0-ден 300 В-ка дейін өзгертуге болады. Анод көрнеуі мен ток  $I_A$  вольтметр мен амперметр А көмегімен өлшеннеді.  $U_1$  және  $U_2$  үзіліретінде ОИР-2 дең пайдаланылады.



4.3-сурет. Зертханалық құрылғының

Катод кернеуінің үш немесе төрт мәніндегі анондық кернеуді өзгерту арқылы сәйкес анондық ток өлшенеді және 4.4-суретте көрсетілген диодтың вольт-амперлік сипаттамалары алынады. Суретте екі вольт-амперлік сипаттамалық кисықтар көрсетілген. Вольт-амперлік сипаттамаларының бірер  $U_a$  анондық кернеуіне сәйкес келетін қаныгу токтарының мәні  $J_1$  және  $J_2$  анықталады. (4.4-суреттегі А және В нүктелеріне сәйкес келетін қаныгу тогы).

Анондық қанығу тогына сәйкес катод температурасы төмендегі формула бойынша анықталады:

$$R_t = R_0(1 + \alpha t) \quad (5)$$

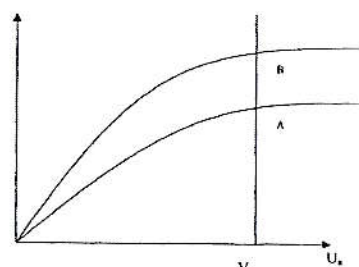
Бұл формулада  $R_0$  – диодтың ішкі кедергісі, ал  $\alpha$  – кедергінің температуралық коэффициенті.  $R_0$  және  $\alpha$  берілген диод үшін белгілі. Бұл жағдайда

$$t = \frac{R_t - R_0}{\alpha R_0} \quad (6)$$

(6) формуладагы  $R_t$  мәні төмендегі формуладан табылады:

$$R_t = \frac{U_n}{J_n}$$

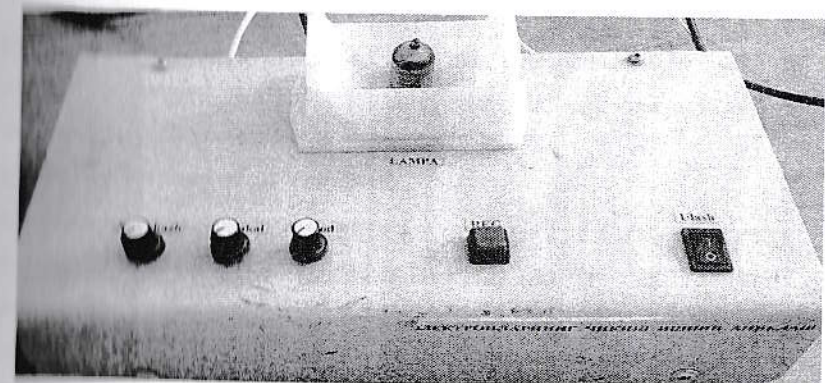
( $J_n$ -А амперметр арқылы өлшенеді, ал  $U_n$  вольтметр арқылы өлшенеді). Эрине, (4) формуладағы Кельвинмен өлшенген катод температурасының мәні (6)-дан анықталатын және Цельсий бойынша алынған температураның мәніне негізделген деп есептеу керек. Осылайша,  $J_1$  және  $J_2$ ,  $T_1$  және  $T_2$ ны біле отырып, электронның шығу жұмысы (4) формула арқылы есептеледі.



4.4-сурет. Диодтың вольт-амперлік сипаттамасы.

### Жұмысты орындау тәртібі:

1. Зертханалық күрылғыны ток көзіне, компьютерге қосыңыз және күрылғының жұмысқа дайындалуын 2 минут күтіңіз (4.5-сурет).
2. «Оптика» зертханалық бағдарламасынан «Электрондардың шығу жұмысын анықтау» тапсырмасын таңдаңыз.
3. «Вход» пернесін басыңыз.
4. «Выбрать» пернесінен «СОМ 1» таңдаңыз және «Подключить» пернесін басу арқылы жұмысты бастаңыз.
5. Күрылғыдағы «Өлшеу» түймесін №1 ге койың және «накал» пернесін басу арқылы накал кернеуін енгізіңіз.
6. «Анод» пернесі арқылы анондық кернеуді жоғарылату кезінде «Rec» пернесін басу арқылы истижені кестеге енгізіңіз.
7. 5-6 пункттерді қайталау арқылы 1-кестеге өлшеулерді енгізіңіз.
8. «Отключить» пернесін пайдаланып зертханалық күрылғыны отіріңіз.



4.5-сурет. Зертханалық жабдықтар

### Өлшеу үлгілері

1-кесте



### Бақылау сұрақтары:

1. Электрондық эмиссия түрлерін түсіндіріңіз.
2. Термоэлектрондық эмиссия құбылысын түсіндіріңіз.
3. Электронның шығу жұмысы дегеніміз не?
4.  $I_a = f(U_a)$  байланысын түсіндіріңіз.
5. Жұмыс формуласын шығарыңыз.
6. Қанығу тогы және оның температурага қатынасын түсіндіріңіз.
7. Шығу жұмысын анықтаудың басқа жолдарын білесіз бе?
8. Катод түрлері дегенді калай түсінесіз?

### ЗЕРТХАНАЛЫҚ ЖҰМЫС № 5. СЫРТҚЫ ФОТОЭФФЕКТ ҚҰБЫЛЫСЫН ЗЕРТТЕУ

**Жұмыстың мақсаты:** сыртқы фотоэффект заңдылықтарын эксперименттік зерттеу.

**Қажетті қурал-жабдықтар:** компьютер, видеопроектор, экран, виртуалды зертханалық жұмыс жазылған диск.

### Теориялық белім

Жарық  
эсерінен

электрондардың заттардан шығу

құбылысы **фотоэлектрлік**

**эффект** немесе қыска

фотоэффект құбылысы деп

назады. Бұл құбылысты Г.Герц

1897 жылы газдардагы разряд

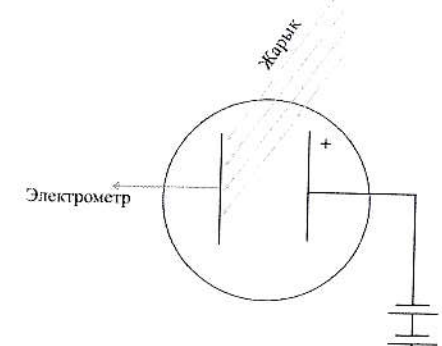
құбылысын зерттеу барысында

анализан. **Фотоэффект**

құбылысын зерттеуде

коинциденттың тәжірибелік

нұрылдының негізгі сыйбасы 5.1- суретте көрсетілген.



5.1-сурет. Фотоэффект құбылысының күзетілу принципі

Катодты жарықпен жарықтандырғанда, одан болінген фотоэлектрондар

анодқа қарай ығысады және

шарттуда фотоэлектрлік токтың

нанай болуын тудырады.

Фотоэффект құбылысын беті

жеке тараптылған және вакуумге

принеастырылған металдардан

бақылау ышғайлы. Түскен

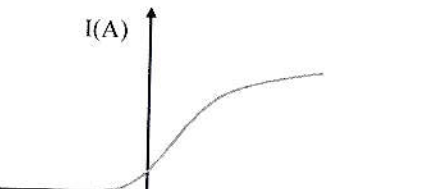
шарының карқындылығы мен

жөнгін тұрақты үстай отырып, катод пен анод арасындағы U

көрнеуінде, пайдада болған фототок пен көрнеу арасындағы байланыс 5.2-

суреттөң көрсетілген кисық сзығып сипатталады. Бұл қатынас

фотоэлементтің вольт-амперлік сипаттамасы деп аталады.



5.2-сурет. Фотоэлементтің вольт-амперлік сипаттамасы

Көрнеу U=0 болғанда да фототоктың болуы катодтан шығатын электрондардың белгілі бір жылдамдықка ие болуымен түсіндіріледі. В

пүштесінен бастап U одан әрі арткан сайын фототок күші өзгермейді.

Өзгеріссіз қалатын фототоктың мәні **қаныққан фототок** деп аталады. Катол пен анод арасындағы  $U > U_B$  кернеу мәндерінде жарық түсken барлық фотоэлектрондар анодка жетеді, нәтижеде қанығу фототогы пайда болады.

Орыс ғалымы А.Г. Столетов фотоэффект күбылысын зерттеп, төмендегі заңдылықты ашты: **Фотоэффект кезінде пайда болған қанығу тогының мәні жұтылатын жарықтың интенсивтілігіне пропорционалды** өзгереді.

Ленард және басқа ғалымдар жүргізген біркатор тәжірибелер нәтижесінде фотоэлектрондардың кинетикалық энергиясы түсken жарықтың интенсивтілігіне тәуелді емес, тек жарық жиілігіне тәуелді екендігі анықталды. Сонымен, фотоэлектрондардың кинетикалық энергиясы жарық жиілігіне пропорционал өзгереді. Бұл жағдайды жарықтың корпускуларын сипаты негізінде, яғни жарық фотондар ағынынан тұрады деген көзкарас негізінде түсіндіруге болады. Түсken жарық фотон өзінің барлық энергиясын металда немесе атомда байланысқан электронға береді, ал электрон атомнан немесе металдан бөлініп, белгілі бір кинетикалық энергиямен ұшып шыгады. Егер фотоэффект металда жиі кездесетін бос электрондарда пайда болса, электронның кинетикалық энергиясының бір бөлігі электронды металдан шыгару үшін қажетті  $A_{\text{шығушығу}}$  жұмысына жұмсалады. Фотоэлектрон металл атомдарымен соқтығысып, энергиясының бір бөлігін жогалтады және оның жылуына себеп болады. Егер бұл жогалту орын алмаса, электрон максималды кинетикалық энергиямен металдан ұшып шыгады:

$$\frac{1}{2} m_e v_{\max}^2 = h\nu - A_{\text{шығу}} \quad (1)$$

бұл жерде,  $A$  – қарастырылып отырган металл үшін сипаттамалық шығу жұмысы,  $m_e$ -электронның массасы,  $h\nu$ -фотон энергиясы. Бұл формуланы алғаш рет Эйнштейн шыгарған, сондықтан бұл формула Эйнштейннің атымен аталған.

Эйнштейннің формуласы эмпирикалық түрде Расталған төмендегі еki корытындыға әкеледі:

1. **Фотоэффект нәтижесінде шығарылған электрондардың максимал кинетикалық энергиясы жарық жиілігіне сыйықты байланысты және оның интенсивтілігіне тәуелді емес. Бір қызығы, жиілік осіне көткесті формуланы (1) сипаттайтын тұзу сыйықтың ауытқу бұрышының тангенсі Планк тұрақтысын береді. Планк тұрақтысын осылайша өлшеуге болады.**

2. **Фотоэффекттің  $\nu_0$  жиілік шегі соншалықты аз, сондықтан фотоэффект төмениң жиіліктерде байқалмайды.**

Шындығында, (1) формуладағы А ны  $h\nu_0$  тенденсептесек,

$$\frac{1}{2} m_e v_{\max}^2 = h(\nu - \nu_0) \quad (2)$$

болады.

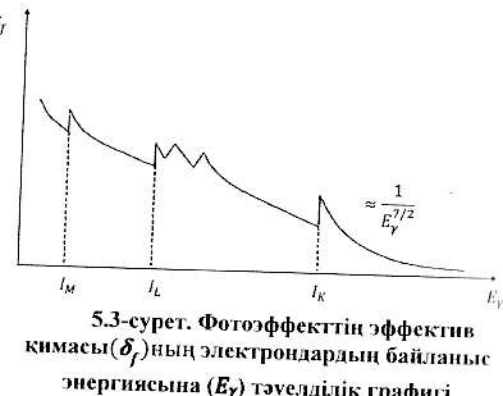
$\nu < \nu_0$  бұл тендеудің он жағы теріс болады. Бірақ бұл мүмкін емес, ойткені фотоэлектронның кинетикалық энергиясы  $\frac{1}{2} m_e v_{\max}^2 > 0$  болуы тиіс. Сонымен,  $\nu < \nu_0$  фотоэффект күбылысы болмайды.  $\nu_0$  және фотоэффект күбылысының төмениң жиілік шегіне сәйкес келеді. Осылайша, жарық фотонның энергиясы  $h\nu_0$  фотоэффект күбылысы ең аз энергиядан үлкен болғанда гана пайда болады. Осы энергияға сәйкес келетін жарық толқын үзүндігінің мәні  $\lambda_0$ -фотоэффекттің қызыл шегі деп аталады.

Жоғарыда қарастырылған металдарда болатын фотоэффект күбылысы **сыртқы фотоэффект** деп аталады. Сонымен қатар, жартылай өткізгіштер мен диэлектриктерде болатын мешікті фотоэффект деп аталағын қүбылыс та бар. Бұл жағдайда жарықтың әсерінен электрондардың бір бөлігі валенттік аймақтан өткізгіштік аймагына ауысады. Нәтижеде жартылай өткізгіштегі немесе диэлектрикегі зарядты тасымалдаушы электрондардың концентрациясы артып, фотоөткізгіштік пайда болады, яғни жарық әсерінен шығарылған электр откізгіштік артады.

Фотоэффекттің пайда болу ықтималдығы атомдағы электронның байланыс энергиясына байланысты. Атомдағы электронның байланыс энергиясы негұрлым көп болса, фотоэффекттің пайда болу ықтималдығы

согұрлым жоғары болады,  $\delta_f$  соншалықты улкен болады. Сондықтан, атомның ертүрлі қабаттарында орналасқан электрондардаболатын фотoeffекттің тималдығы ертүрлі. Нәтижеде, фотoeffекттің эффективтікимасының фотон энергиясы ( $E_\gamma$ ) байланысын көрсететін кисықтың тақтартозгерістер байкалады (5.3-сурет).

Суреттегі  $J_k$ ,  $J_l$ ,  $J_m$  дер  $K$ ,  $L$  және  $M$  қабаттарындағы электрондардың ардың байланыс энергиясы (иондану потенциалы)  $E_\gamma > J_k$  де  $\delta_f \sim Z/E_\gamma^{7/2}$  болады, яғни фотoeffекттің кимасы ыорта атомдарының реттік санына  $-Z^{-1/2}$



5.3-сурет. Фотоэффекттің эффективтікимасы ( $\delta_f$ )ның электрондардың байланыс энергиясына ( $E_\gamma$ ) тәуелділік графигі

катьыт гаузелдік және фотон энергиясының  $E_\gamma^{7/2}$  мәнінекеріп пропорционал езгереді.  $E_\gamma < J_k$  болғанда фотонның есерінен қабаттыңдағы электрондардың шарылмайды және фотоэффект  $L$ ,

Мәнебасқа қабаттарда орналасқан электрондардаболуымүмкін. Бұл сияқты  $E_\gamma < J_l$  болғанда

К

және  $L$  қабықшаларындағы электрондар фотoeffект процесінекатыспайды және т.б.

Кванттық механикалықесептеулернегізінде ертүрлі атомдардың ертүрлі қабаттарында орналасқан электрондар шашын фотoeffектимасының фотон энергиясымын байланысын көрсететін формулаларлынды. Мысалға,  $E_\gamma$  кішірек жағдайда шашын

$$\delta_f^K = 1,09 \cdot 10^{-16} Z^5 \left[ \frac{13,61}{E_\gamma} \right]^{7/2} \quad (3)$$

$$шашын E_\gamma \gg m_e c^2,$$

әмбеттің фотонның энергиясытыныштықтағы электронның энергиясына сәйкескеле  $m_e c^2 = 0,511 \text{ МэВ}$  энергиядан алдекайдаулкен болғанда

$$\delta_f^K = 1,34 \cdot 10^{-33} \frac{Z^5}{E_\gamma \approx n\gamma} \quad (4)$$

реттіндекорсетілген.

Мұнда,

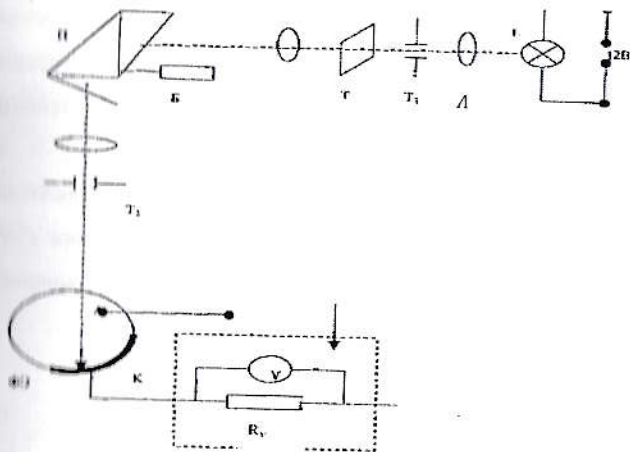
$E_\gamma$  қабықтагы электрондардаболатын фотoeffекттің эффективтікимасы.  $\delta_f$  (3) формула да  $Z$ -де, ал (4) формула да  $M$   $\text{MэВ}$ -де алғынады.

#### Эксперименттік құрылғының жүмыспринципі және схемасы

Бұлжұмысқанықан фототоктың

(немесекернеудің)

түркін жарықтарындағы иментолқынұзындығынабайланыстықалайөзгеретін пінгерттейді. Құрылғының сыйбасы 5.4-суретте көлтірілген.



5.4-сурет. Сыртқы фотoeffект құбылыштарының шашындарының зерттеуге арналған құрылғы

Оның негізгі боліктері UM-2 монохроматоры, STSV-4 фотоЭлементтері, L-қыздыру шамы және V-шам вольтметрі. L-қыздыру шамынан шыққан шашын динге A арқылы өтіп, монохроматордың  $T_1$  кіріс ойығына түседі.

Монохроматордың ішінде орналасқан Т тосқауылдың көмегімен жарық сәулесінің Р призмалар жүйесіне жолын жауып, ашуға болады. Призмалардың орны Р барабан бұрандасы В көмегімен өзгертіледі. Призмалардың орнын барабанда орналасқан градиурленген шкала арқылы анықтауга болады. Р призмасынан өткеннен кейін спектрге болған монохроматикалық жарық шоғы монохроматордың  $T_2$  санылауынан шығып, ауасы сорылған шыны шарда орналасқан фотоэлементтің К фотокатодының түседі. Шыны шардың ортасына фотоэлемент аноды А орналастырылған.

Фотоэлементте пайда болған қанығу фототогының күші колбалық вольтметрдің көмегімен өлшеменеді.

**Лампалывольтметрінің жұмыспринципі**

Лампаның вольтметріндегі көстриодтардың торларына сыртқы кернеуберілмессе,

olandың қанодтарындағы потенциал бірдей болады және олардың арасында тоқжұмыс рмейді.

Егер триодтардың торларына сыртқы кернеуберілссе, анодтық тоқкүшінің зеруінебайланыстысайкеса нодтық кернеуде өзгереді жән емиллиамперметр арқылы торғаберілген кернеуге пропорционал тоқтөтебастайды.

Триодтарына коқосылған кедегіркүлшіліктерге фототоктың өтүінебайланысты торға берілетін кернеуге өзгереді. Триодтың торына коқосылған кедегіркүтешеуі  $(10^7 \text{ Ом})$  болғандықтан, тіптішагын фототоктордың кернеуінің үлкен өзгеруіне әкеледі. Бұл триодтың қанодтары арасындағы тоқтың күшінде оған өзгереді.

Осылайша,

лампалы вольтметрі фотоэлементтің қанодын дапайдаболатын нәлсіз (кіші) тоқтың күшінде діжәне онышеуге мүмкіндік береді.

#### **Жұмысты орындау тәртібі:**

- Екінші тапсырма қанығу фототогының жарық интенсивтілігін тәуелділік зерттеледі. Ол үшін  $T_1$  санылауы максимумга дейін ашилады және барабан бұрандасын айналдыру арқылы фототоктың максималды мөнине

позиция табылады. Содан кейін  $T_1$  санылау аралығы белгілі бір барабанға азайды және сәйкес фототок жазылады. Фотоэлементке түсстін тарының интенсивтілігі  $T_1$  (d) санылауының енін тұра пропорционал болғандықтан,  $T_1$  санылауының ені мен фототок арасындағы байланыстылықтуу жеткілікті. Өлшемдердегі ойықтар аралығын 0,2 мм қадаммен өзгерту жақсы.

Фотоэффекттің қызыл шегіне сәйкес әжелжәне оған сәйкес фотозондардың шығу жұмысы төмөндегі формула бойынша есептеледі.

$$\varphi = \frac{hc}{\lambda_0}$$

Дұл жағдайда санылау 2мм, барабан  $3500^0$ ; фототокпен  $\lambda$  арасындағы байланысының, зерттеледі.

Жұмыс аяқталғаннан кейін құрылғының ток көзін өшіруді ұмытпаңыз.

#### **Бақылау сұраптары:**

- Фотоэффект күбылышын түсіндір?
- Ішкі және сыртқы фотоэффект күбылышының ортақтығы мен айнапайтындығы.
- Фотоэффект үшін Эйнштейн теңдеуін түсіндір?
- Фотоэффекттің қызыл шегін түсіндір?
- Сакталу зандарын пайдаланып, бос электронда фотоэффект болмайтынын дәлелдендер.

## **ЗЕРТХАНАЛЫҚ ЖҰМЫС № 6. СЫРТҚЫ ФОТОЭФФЕКТ ЖӘНЕ КОМПТОН ЭФФЕКТІСІ БОЙЫНША КОМПЬЮТЕРЛІК ЭКСПЕРИМЕНТТЕРІ**

### **Жұмыстың мақсаты:**

*Тәжірибе 1:* Компьютерлік тәжірибе арқылы сыртқы фотоэффекттің күбілісін бақылау, сұраптарға жауап беру және өлшеу қателіктерін бағалау;

*Тәжірибе 2:* Компьютерлік тәжірибе арқылы Комптон эффектін бақылау, сұраптарға жауап беру және өлшеу қателіктерін бағалау.

**Қажетті құрал-жабдықтар:** Компьютер, видеопроектор, экран, виртуалды зертханалық жұмыс жазылған диск.

### **Тәжірибе 1. Сыртқы фотоэффектке байланысты компьютерлік эксперименті**

#### **Теориялық бөлім**

Төмен энергиялы фотонның атом электронымен әсерлесуінде екі жағдайды бөлек қарастыру керек: 1) электрон атоммен күшті байланысқанда, бұл жағдайда негізінен фотоэффект күбілісі байқалады; 2) электрон атоммен әлсіз байланысқанда, бұл жағдайда негізінен Комптон эффектісі байқалады.

Фотоэффект күбілісі туралы толық мәліметтер №5 зертханалық жұмыста берілген.

#### **Құрылғының құрылышы және пайдалану жоніндегі нұсқаулық**

Егер фотоэлементтің эмиттеріне (электрон шыгаратын электрод) жеткілікті қысқа толқын ұзындығындағы жарық түссе, осы электродтан электрондар шыгады. Эйнштейннің теориясына сәйкес фотон металл бетіндегі электронга соғылады. Бұл жағдайда фотонның барлық энергиясы

электронға аудиады және фотон жоғалады. Барлық электрондар металлда құндық күштердің әсерінен ұсталатындықтан, электронды металл бетінен шығару үшін белгілі бір  $A_0$  жұмыс орындалуы қажет (бұл жұмыс шығу жұмысы деп аталады, ал көптеген металдар үшін бұл мән бірнеше электронды-волт тәртібінде болады). Атомның төменгі жағында орналасқан электрондар атомның сыртқы электрондарына қарағанда бөліну үшін көбірек энергияны қажет етеді.

Егер түскен сәулениң жиілігі аз болса, онда  $h\nu < A_0$  болып, фотонның энергиясы электронды металл бетінен шығару үшін жеткіліксіз. Егер  $h\nu > A_0$  болса, онда электрондар металл бетінен шығады және мұндай процесте энергияның сақталу заңы төмендегідей болады:

$$h\nu = W_{kin} + A_0 \quad (1)$$

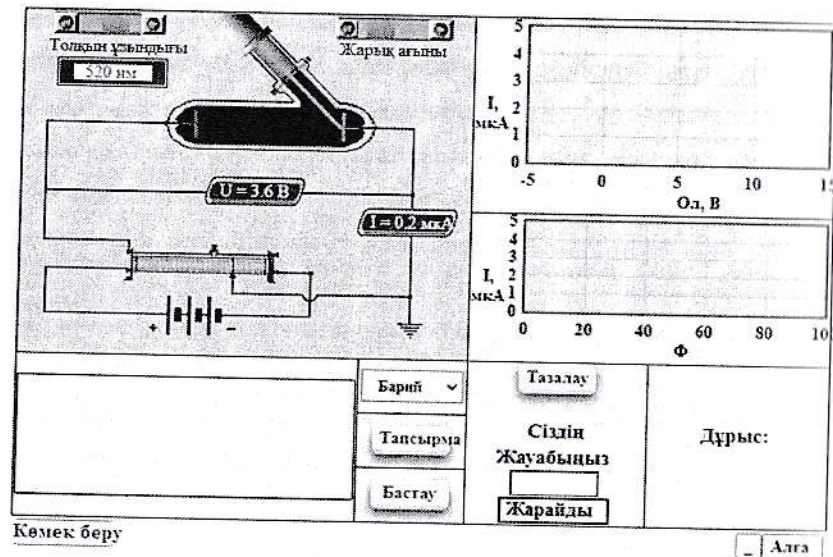
немесе

$$h\nu = mv^2/2 + A_0, \quad (2)$$

бұл жерде,  $m$  – электронның массасы, ал  $v$  – оның жылдамдығы.

Менохроматикалық жарық шоғырында барлық фотондардың барлық энергиясы бар. Жарық сәулесінің интенсивтілігінің артуы сәуледегі фотондар санының көбейін білдіреді, бірақ жиілік өзгеріссіз қалса, олардың энергиясына әсер етпейді.

Осылайша, фотондар теориясы жарықтың әдеттегі қасиеттеріне (инфрация және поляризация) жана қасиеттер қосады. Бұл жарық туралы (екі) әдебиет база тартууды қажет етпейді; ол фотондар түсінігін электромагниттік толқындар түсінігімен біріктіруді талап етеді.



6.1-сурет. Виртуалды тәжірибе құрылғысы.

Фотоэффект дегенде, сәулеленудің әсерінен электрондардың метали бетінен үшіп шығуна айтылады. Фотоэффект басқа материалдарда байкалғанымен, металдарда оңай байқалады.

Фотоэффект электромагниттік сәулеленудің кванттық табигатын түсіндіру үшін маңызды. Эйнштейн 1921 жылы «теориялық физикага косқан үлесі үшін және әсіресе фотоэффект заңын ашқаны үшін» Нобель сыйлығын алды.

Бұл тәжірибелік жұмыста фотоэффект құбылысын зерттейтін құрылғы бар. Вакуумдық шыны колбаның ішінде кернеу көзіне жалғанған екі пластина, ал сол тізбекке ток өлшектін құрал жалғанған. Жарық ағыны диафрагма арқылы баскарылады. «Тапсырма» пернесін басу арқылы виртуалды эксперимент экранындағы тәжірибелерді орындаңыз және сұрақтарға жауап беріңіз (6.1-сурет).

## Тәжірибе 2. Комптон эффекті бойынша компьютерлік эксперименті

**Жұмыстың мақсаты:** Комптон эффекті құбылысын компьютерлік экспериментіарқылы бақылау, сұрақтарға жауап беру және өлшеу көзіндеңдерін бағалау.

**Қажетті құрал-жабдықтар:** компьютер, видеопроектор, экран, виртуалды зертханалық жұмысжазылған диск.

### Теориялық болім

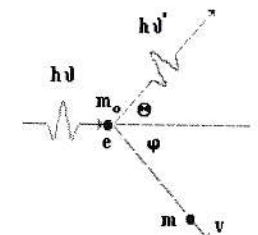
Фотозеффект тәжірибелерінен электрондардың зат атомдарымен байланысқандығы және байланыс энергиясы бірнеше электрон-вольт ретінен болатыны белгілі. Комптон өз тәжірибесінде энергиясы 17,5 кэВ рентгендік фотондарды пайдаланды. Бұл энергия электрондардың байланыс энергиясынан одескайда жоғары болғандықтан, бұл электрондарды бос бишенштер ретінде қарастыру айтартықтай қателік емес.

Тыныштықтагы электронға энергиясы  $h\nu$  фотон түссін (6.2-сурет). Нергі мен импульстің сакталу зандарын өрнектейтін теңдеулерді жазамыз:

1) энергияның сакталуы: соктығысуға дейінгі энергия (фотон энергиясы  $h\nu$  және электронның тыныштық энергиясы) соктығысдан көнінің энергияга тең болуы керек (шашылған фотон  $h\nu'$  және реактивті электронның толық энергиясы).

$$h\nu + m_0 c^2 = h\nu' + mc^2, \quad (3)$$

Бұл жерде,  $m_0$  – тыныштық күйіндегі электронның массасы,  $m$  – козгалатын электронның массасы,  $c$  – жарық жылдамдығы;



6.2-сурет. Фотонның электрондағы комптондық шашырауы

2) түсken фотон бағыты бойынша импульс компонентінің сақталуы: түсken фотонның импульсі  $p = \frac{E}{c} = \frac{h\nu}{c}$  электронның импульс компоненттерінің және түсken фотон бағыты бойынша шашыранқы фотон импульстарының қосындысына тең болуы керек.

$$p = p' \cos\theta + m v \cos\varphi; \quad (4)$$

3) түсken фотонның бағытына перпендикуляр импульс күраушыларының сақталуы: соқтығысқанға дейінгі көлденең бағыттарда импульс болмаса, соқтығысқаннан кейінгі фотон мен электронның толық импульсі нөлге тең болуы керек. Басқаша айтқанда, шашыранқы фотон мен реактивті электрон импульстерінің көлденең күрамдас бөліктері сандық жағынан тең және бағыты бойынша қарама-қарсы болуы керек.

$$0 = p' \sin\theta + m v \sin\varphi; \quad (5)$$

4) реактивті электрондардың жылдамдығы жоғары болғандыктан, салыстырмалылық теориясы бойынша қозғалатын электрон массасының релятивистік өзгерісін ескеру қажет:

$$m = \frac{m_0}{\sqrt{1 - (v/c)^2}} \quad (6)$$

Қажетті математикалық амалдарды орындай отырып, шашыранқы фотонның жиілігінің, түсken фотонның жиілігінің және шашырау бұрышының өрнегін табамыз:

$$\frac{1}{v} = \frac{1}{v'} + \frac{h(1 - \cos\theta)}{m_0 c^2}, \quad (7)$$

немесе жиіліктен толқын ұзындығына дейін,

$$\lambda = \lambda' + \frac{h(1 - \cos\theta)}{m_0 c}. \quad (8)$$

$h/m_0 c$  — шама электронның Комптон толқын ұзындығы деп аталады, оның сандық мәніл  $\frac{h}{m_0 c} = 2,4263096(15) \cdot 10^{-12}$  м.

Бұл толқын ұзындығы электронның тыныштық энергиясына тең энергиясы бар фотонның толқын ұзындығы.

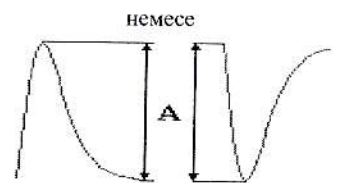
Тепкі электрондық қозғалыстың бағытын білдіретінфұрышты табу үшін жоғарыдағы теңдеулерден төмендегі ернекті аламыз:

$$\operatorname{tg}\varphi = \frac{1}{1 + \frac{h\nu}{m_0 c^2}} \operatorname{tg}\left(\frac{\theta}{2}\right). \quad (9)$$

### Күрылғының түзілісі және жұмысты орындау бойынша нұсқаулар

Фотон детекторга түсkenде детектордың шығысында электрлік импульс (ток пен кернеудің қысқа мерзімді өзгеруі) пайда болады. Бұл импульстің амплитудасы ( $A$ ) (6.3-сурет) жұтылған фотон энергиясына  $h\nu$ ге пропорционал болады.

Тәжірибе кезінде импульстік анализатордың аткарған жұмысының нәтижесі экранда көрсетіледі: абсцисса осінде – импульс амплитудасы, ордината осінде – осындай амплитудасы бар импульстар саны (далек айтқанда,  $A \pm \Delta A$ ) койылады.



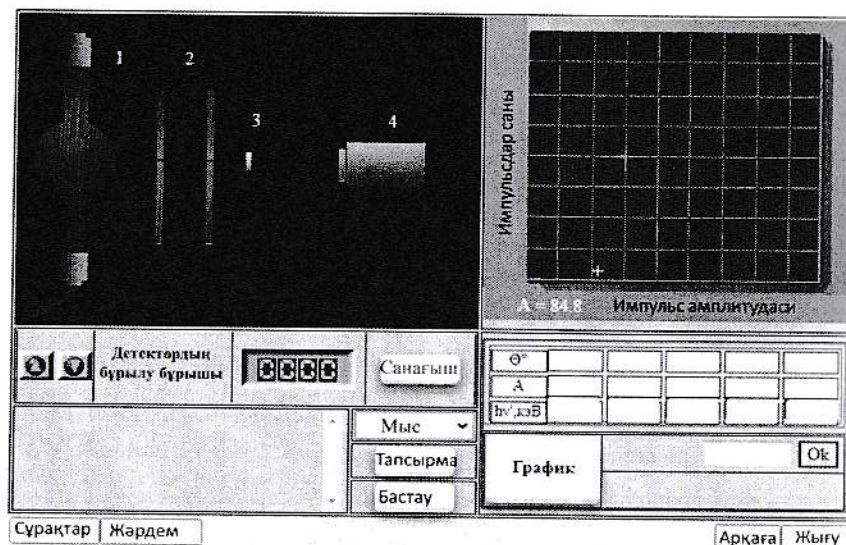
6.3-сурет.

Детекторга фотон жазылған кезде анализатор детектордың шығысындағы импульс амплитудасын өлшейді және алынған мәнге сәйкес осы амплитудасы бар импульстар санына біреуін қосады. Анализатордың дәрежелеге үшін белгілі энергияның фотондарын өлшеу керек. Біздің күрылғыда шашырамаған фотондардың энергиясы 100 кэВ деп есептеледі. Віринші тәжірибеде детекторды тік күйде өлшеу керек. Импульс амплитудасы энергияга тұра пропорционал деп есептеп, амплитуданы энергияға байланыс коэффициентін анықтаңыз. Қозғалмайтын фотон энергиясының әртүрлі флукутациясына (ауытқуына) байланысты амплитудалардың белгілі бір таралуы қалыптасады. Сондықтан энергияны орташа амплитуда арқылы анықтаймыз.

Толқындар кері серпілгенде немесе тосындарды айналып өткенде, толқын ұзындығы немесе жиілігі өзгермейді. Сондықтан атомдарда

шашыранкы рентген сәулелерімен жүргізілген Комптон тәжірибесінде бастапқы жиіліктен  $\nu_0$  ерекшеленетін  $\nu'$  жиіліктің пайда болуы түсініксіз болды. Жиіліктің мұндай өзгерісімен (ығысуымен) байқалатын шашырау Комптон эффектісі деп аталады. Дұмәні өте аз болғандықтан, Комптон эффектісі қысқа толқынды сәулеленуде ғана байқалады. Бұл тәжірибенің нәтижелерін фотонның импульсінің болуы және оның электрондармен соқтығысқан екі сфера сияқты әрекеттесуі арқылы түсіндіруге болады.

Комптон эффектісін зерттеу күрілгесі (6.4-сурет) рентгендік түтіктен (1), монохроматикалық рентген сәулесінің жұқа шоғын бөлөтін екі диафрагмадан (2), зерттелетін заттан жасалған фольгадан (3) және сәулеленуді тіркеу детекторы (4)нан тұрады.



6.4-сурет. Комптон эффектісін зерттеуге арналған тәжірибелік күрілгі

Детекторды фольгаға қатысты айналдыруға болады. Артур Комптон озінің тәжірибелері және олардың нәтижелерін түсіндіріп бергені үшін (1922) 1927 жылы Нобель сыйлығын алды.

Виртуалды эксперимент күрілгесінде «тапсырма» пернесін басу арқылы сұрақтарға жауп беріліп және «сұрақтар» пернесін басу арқылы шеңберде пайда болатын тәмендегі тест сұрақтарына жауп беріліп жауап беріліп.

#### Тест сұрақтары

1-сұрақ. Фотоэффекттің нәтижесінде газ толтырылған камерада электрон шығарылады, оның энергиясы кванттық энергиядан 13,6 эВ аз. Камера қандай газбен толтырылған?

- А) Дұрыс жауп беру үшін аппарат жеткіліксіз
- Б) интрий бұзы
- В) циний бұзы
- Г) гелий
- Д) бүтегі

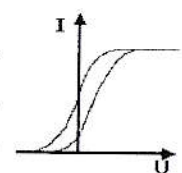
Дұрыс жауапты белгілең және “енгізу” пернесін басыңыз.

2-сұрақ. Басқа заттардан алыс орналаскан мырыш шарын толқын үшандығы 200 нм ультракүлгін сәулемен сәулелендіру арқылы қандай фоторезисторда зарядтауға болады? Мырыштың жұмыс өнімділігі 3,74 эВ.

- А) санылау пайда болғанға дейін (диэлектрілік санылау, жарқыл)
- Б) 4,0 В
- В) 3,5 В
- Г) 6,2 В
- Д) шар зарядтаlmайды

Дұрыс жауапты белгілең және “енгізу” пернесін басыңыз.

3-сұрақ. График вакуумдық фотоэлементтің вольт-амперлік спекттамаларын көрсетеді. Никель-катод монохроматикалық жарықпен жарықтандырылады. Қисық



сызықтардағы айырмашылыктардың себебі неде?

- түскен жарық карындылығы
- анод материалы
- жарық жиілігі
- накты жауап жок
- Сұраққа жауап беру үшін ақпарат жеткіліксіз

Дұрыс жауапты белгілең және "енгізу" пернесін басыңыз.

**4-сұрақ.** Комптондық шашырауда электрон импульсі ... тен.

- артады
- $\gamma$ -квант импульсіне тең
- нольге кемиді
- озгерісіз қалады
- нөлдік емес мәнге дейін төмендейді

Дұрыс жауапты белгілең және "енгізу" пернесін басыңыз.

**5-сұрақ.** Комптон эффектісінің нәтижесінде атомның бір электроны энергияға ие болды. Электронның энергиясы-кванттық энергияға тең болуы мүмкін бе?

- ол атомның реттік санына байланысты
- мүмкін емес
- мүмкін
- ол электронның негізгі кванттық санына байланысты
- олу-кванттың бастапқы энергиясына тәуелді

Дұрыс жауапты белгілең және "енгізу" пернесін басыңыз.

**6-сұрақ.** 10 кэВ энергиялы рентген сәулелерінен корғау үшін алюминийден емес қорғасын экранды колданған дұрыс, ейткені

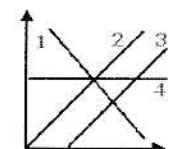
Дұрыс жауап жок.

- корғасын атомында контеген электрондар бар.
- корғасын ядроның заряды үлкен және электрондар қатты байланысады.
- корғасын соуделенуді күштірек шашыратады.
- корғасын атомының мөлшері үлкен.

Дұрыс жауапты белгілең және "енгізу" пернесін басыңыз.

**7-сұрақ.** Суретте түзу сызықтардың бірі фотоэлектрондардың максимал интенсивтік энергиясының жарық жиілігіне тәуелділігін көрсетеді. Екіншесі?

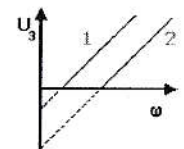
- накты жауап жок
- 1
- торт
- бір
- 3



Дұрыс жауапты белгілең және "енгізу" пернесін басыңыз.

**8-сұрақ.** Суретте тормоздалу кернеуі көрсетілген. Ол түскен жарыктың жиілігіне байланысты. Бұл сызықтардың шығарылу шарттары қалай ерекшеленеді?

- түскен жарық карындылығы
- жарық жиілігі
- Сұраққа жауап беру үшін ақпарат жеткіліксіз
- қатодты материал
- накты жауап жок



Дұрыс жауапты белгілең және "енгізу" пернесін басыңыз.

**9-сұрақ.** Фотоэффекттік тәжірибелері нәтижелері бойынша қандай фундаментал тұрғастының мәнін табуға болады?

- С Ридберг тұрақтысы
- С Больцман тұрақтысы
- С Планк тұрақтысы
- С барлығы
- С жок

*Дұрыс жауапты белгілең және "енгізу" пернесін басыңыз.*

- 10-сұрақ.** Комптон шашырауында γ-кванттық толқын ұзындығы...
- өзгеріссіз қалады
  - С үздіксіз нөлге дейін төмендейді
  - С дискретті түрде  $h/2\pi k\hbar$  болады
  - С артады
  - С минимумға дейін азаяды

*Дұрыс жауапты белгілең және "енгізу" пернесін басыңыз.*

#### **Бақылау сұрақтары:**

1. Фотоэффект құбылысын сипаттаңыз.
2. Комптон эффектісін сипаттаңыз.
3. Комптон эффектісін зерттеу үшін тәжірибелік қондырығы мен жұмыс істеу принципін түсіндіріңіз.
4. Фотоэффект пен Комптон эффектінің айырмашылығы неде?

#### **ЗЕРТХАНАЛЫҚ ЖҰМЫС №7. ЯДРОНЫҢ ПЛАНЕТАРЛЫҚ МОДЕЛІ БОЙЫНША КОМПЬЮТЕРЛІК ЭКСПЕРИМЕНТІ**

**Жұмыстың мақсаты:** Компьютерлік эксперименті арқылы Томсон модель мен Резерфорд тәжірибесін бақылау және сұрақтарға жауап беру, оның көзделістіктерін бағалау.

**Қажетті құрал-жабдықтар:** компьютер, видеопроектор, экран, виртуалды зертханалық жұмыс жазылған диск.

#### **Теориялық болім**

Атом созі «бөлінбейтін» дегенді білдіреді. Бұған көнсө заманнан бері сенін көлінген. XIX ғасырдың соңғы онжылдығында атомдардың күрделі күршымды екенин түсінуге әкелген бірқатар жаңа науқарлар (рентген сәулелері, гамма радиоактивтілік, элементар заряд тасушы – электронның болуы) нақлады.

Атомның бірінші моделін Дж.Томсон ұсынған: он заряд атомның бүкіл қалемін алады, ал электрондар онда біркелкі таралады. Резерфорд пен оның аспирантері істің нақты жағдайын анықтауды өздерінен алды. Олар атомдарды альфа-болшектерімен зерттеу үшін эксперименттер жүргізді. Бұл бөлшектер радиоизотоптерден зерттеуде қолданылған, яғни толық иондалған гелий атомдарынан, яғни толық иондалған гелий атомдарынан тұрады. Альфа-болшектін массасы электроннан шамамен 8000 есе үлкен, сондыктan олар электрондармен соктығысқан кезде бағытта айтартылтай өзгеріс болады деп күттеге болмайды. Шашырау (козгалыс бағытының өзгеруі) атомның он тұратын болігінде гана болуы мүмкін. Соқтығыс кезінде тебілү бүршішінің мәні, дәлірек айтқанда, шашыраңы болшектер санының  $N(\phi)$  шашырау бүршішіна тәуелділігі атом ішіндегі он заряд пен массаның таралу спектрин анықтай алады. Шашырау  $180^\circ$ -ка жақын бүршішта пайдаланылған, Резерфорд атомның негізгі бөлігі мен он заряд өте аз

көлемде — атом ядросында шоғырланған деп күдіктенді. Ядроның олинемі атом өлшемімен салыстырганда шамалы деп есептей отырып, Резерфорд N(φ) теориялық тәуелділігін есептеді. Алынған нәтижелердің эксперименттегілерімен сәйкестігін компьютерлік эксперимент жүргізу арқылы тексеруге болады. Экранда эксперименталды құрылғының қыскана сипаттамасы көрсетіледі.

Тәжірибелер мен есептеулер нәтижесінде атомның центрінде оң зарядты ядро орналасқан және оның айналасында электрондар қозғалатыны белгілі болды. Төмендегі сұрақ туындауды: атомда электрондар қалай қозғалады? Олардың ядро айналасындағы әр түрлі нүктелерден табылу ықтималдығы қандай?

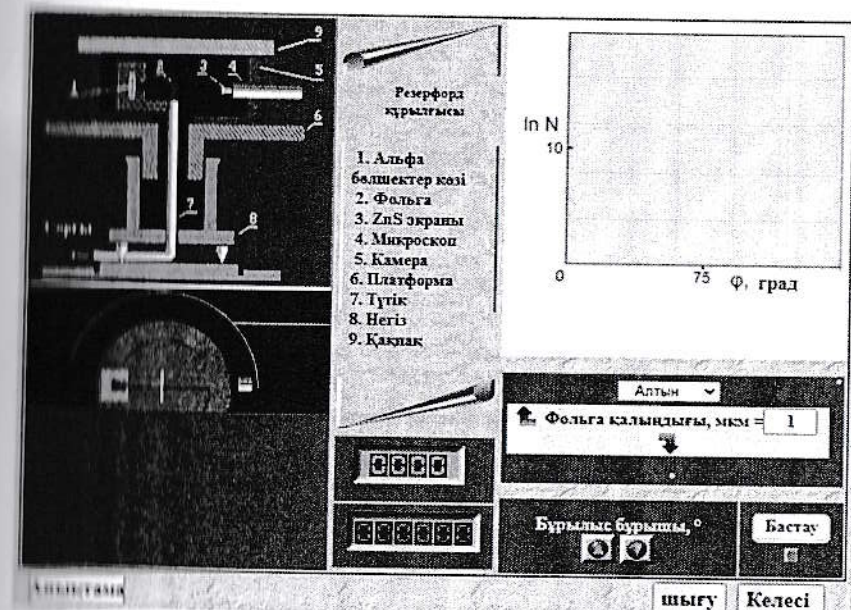
Нильс Бор электрондар тұракты орбиталарда қозғалады деп есептеді. Бұл гипотеза оған сутегі спектрінің бұрын белгілі заңдарын түсіндіруге мүмкіндік берді. Жиілікті есептеудің дәлдігі миллионга бір боліктегі тәжірибемен сәйкес келеді.

Бірақ кейінгі тәжірибелер атомдағы электрон қозғалысының табигаты Күн жүйесінің планеталарымен бірдей емес екенін көрсетті. Мұны әртүрлі теориялық модельдер негізінде бөлшектердің шашырауы эксперименттерінің нәтижелерін есептеу арқылы тексеруге болады. Тәжірибеде сәуле шыгаратын бөлшектер ретінде жеңіл электрондарды алған жән. Олардың қозғалысының бастанқы бағыттан ауытқуы атом электрондарының саны мен орналасуына сезімтал. Альфа бөлшектері сиякты, шашыраган электрондардың N(φ) бұрыштық таралуын өлшеу қажет. Осылайша, эксперимент идеясы қарапайым және келесі тәртіpte жүзеге асырылады: біз атомдардағы электрон қозғалысының сол немесе басқа әдісін орнатамыз, шашыраган электрондардың бұрыштық таралуын есептейміз және эксперимент жүргіземіз. Теориялық және эксперименттік қатынастарды салыстырганнан кейін біз қозғалыс моделін қабылдаймыз немесе қабылдамаймыз және жаңа модель аламыз.

### Бөлшектердің шашырауы. Резерфорд тәжірибесі

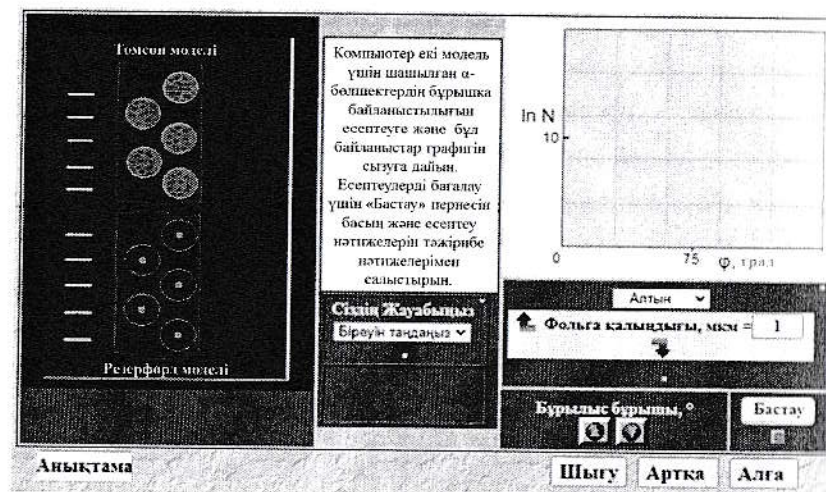
Бұл зертханалық жұмыста атом құрылышын зерттеу үшін бөлшектердің шашырауы бойынша компьютерлік тәжірибе (7.1-сурет) ұсынылады. Бұл тәжірибені алғаш рет 1906 жылы Резерфорд жасады. Жұка фольгага шашыраган α-бөлшектердің N саны шашырау бұрышына φ тәуелді болатыны көрттеді. Алынған тәжірибелік байланыс сыйығы Томсон моделімен (атомдағы оң және теріс зарядтардың бірдей таралуы) және Резерфорд моделімен (оң зарядтар атомның центрінде шоғырланған) салыстырылады.

Тәжірибені фольга материалы мен қалындығын таңдау арқылы бастаңыз. Содан кейін детектордың әртүрлі күйінде (φ әр түрлі мәндерінде) шашыраган α-бөлшектердің санын өлшеңіз. Эксперимент нәтижелері туралы корытынды жазың.



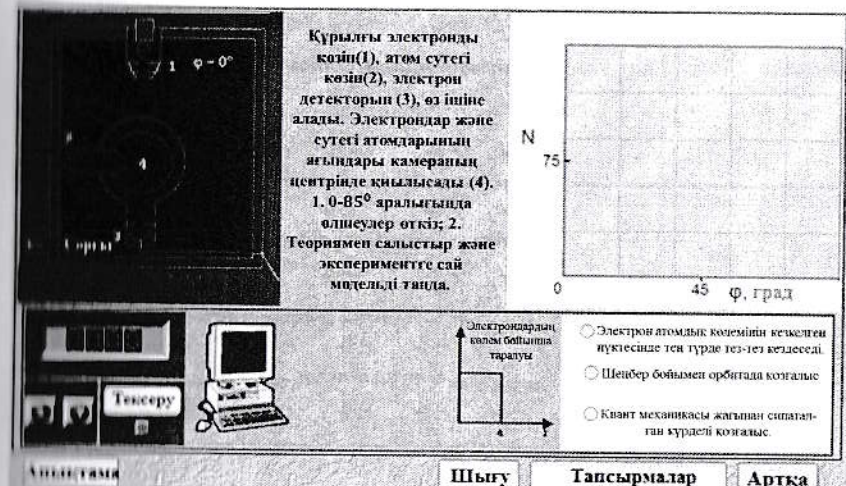
7.1-сурет. α-бөлшектердің шашырауы бойынша компьютерлік тәжірибе

«Келесі» пернесін басып, Томсон моделі мен Резерфорд моделін салыстырыңыз. Компьютер екі модель үшін де шашыранқы  $\alpha$ -бөлшектердің бұрыштық тәуелділігін есептеуге және осы байланыстар графигінсізгүз амумкіндік береді (7.2-сурет). Есептеулерді бағалау және есептеу нәтижелерін эксперимент нәтижелерімен салыстыру үшін *санаупернесін* басыңыз.



7.2-сурет. Виртуалды эксперимент кезінде Томсон және Резерфорд модельдерін салыстыру

*Келесі* пернесін басыңыз, сонда экранда 7.3-суреттегі кескін шыгады. Есептеулерді бағалау және есептеу нәтижелерін эксперимент нәтижелерімен салыстыру үшін *санаупернесін* басыңыз.



7.3-сурет. Сүтегі атомдарындағы электрондардың шашырауы бойынша компьютерлік тәжірибе

### Электрондардың шашырауы

Енді «Атомдағы электрондардың қозғалысы қандай? – деген сұрапқа жауап береміз. Электрондар қандай көлемді алады, қай жерде азырақ келдеседі? Бұл сұраптарға жауап беру үшін біз электронды шашырау эксперименттерінің нәтижелерін әртүрлі модельдер негізіндегі есептеулердің нәтижелерімен салыстырамыз. Ол үшін атомды жеңіл бөлшектермен – электрондармен сәулелендіру кажет, ейткені олардың бастапқы бағыттан шынтық атом электрондарының орнына өте сезімтал. Альфа бөлшектерімен күрілген тәжірибелердегідей,  $N(\phi)$  шашыранқы электрондардың бұрыштық таралуы олшенеді.

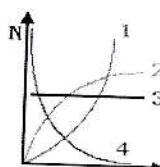
Алдымен электрондардың шашырауы бойынша тәжірибесін орындаңыз және оны нәтижелерді атомдағы электрондардың қозғалысының үлгісімен салыстырыңыз. Теориялық және эксперименттік  $N(\phi)$  байланыстарының тәкестігіне сүйене отырып, тандалған модельдің дұрыстығы туралы корытынды жасаңыз. Бұл тәжірибені басқа үлгілер үшін қайталаңыз. «Тапсырмалар» пернесін басу арқылы компьютер экранында пайдаланып

тест сұрақтарына жауап беріңіз және өз біліміңізді тәжірибе арқылы бағалаңыз.

### Тест сұрақтары:

**1-сұрақ.** Қай кисық сзық сандау жылдамдығының ядролардың зарядына көтүнешін көрсете алады?

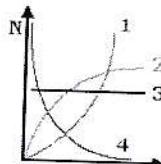
1. ♂ төрт
2. ♂ 3
3. ♂ Барлығы да мүмкін
4. ♂ Т.Ж.Ж
5. ♂ бір



Дұрыс жауапты белгілең және “енгізу” пернесін басыңыз.

**2-сұрақ.** Графиктіңкайқысық сзығысанау жылдамдығының шашырау бұрышын аттаудың ділігін көрсете алады?

1. ♂ 2
2. ♂ Барлығы да мүмкін
3. ♂ Т.Ж.Ж
4. ♂ 3
5. ♂ төрт



Дұрыс жауапты белгілең және “енгізу” пернесін басыңыз.

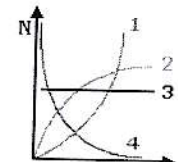
**3-сұрақ.** Егер ядролар зарядтары бірдей атомдар мөлшеріне дейін ұлғайса, біз оны аныктай аламыз ба?

1. ♂ нақты жауап жоқ
2. ♂ жоқ, ойткені детектордың сандау жылдамдығы оте аз өзгереді
3. ♂ на, ойткені детектордың сандау жылдамдығы оте аз өзгереді
4. ♂ жоқ, ойткені детектордың сандау жылдамдығы өзгермейді
5. ♂ на, ойткені детектордың сандау жылдамдығы артады

Дұрыс жауапты белгілең және “енгізу” пернесін басыңыз.

**4-сұрақ.** Графиктіңкайқысық сзығысанау жылдамдығымен дененің шашыранысындағы байланыстык көрсетеді?

1. ♂ 2
2. ♂ Т.Ж.Ж
3. ♂ төрт
4. ♂ Барлығы да мүмкін
5. ♂ 3



Дұрыс жауапты белгілең және “енгізу” пернесін басыңыз.

**5-сұрақ.** Шашырау бұрышын 5-тен 10 градусқа дейін арттырыңыз ...

1. ♂ шашыранды болшектердің санын екі есе арттырады
2. ♂ шашыранды болшектердің санын шамамен 16 есе азайтады
3. ♂ шашыранды болшектердің санын 2 есе азайтады
4. ♂ шашыранды болшектердің санын өзгертийді
5. ♂ шашыранды болшектердің санын 4 есе азайтады

Дұрыс жауапты белгілең және “енгізу” пернесін басыңыз.

**6-сұрақ.** Нейтрондардың шашырауын сипаттау үшін Резерфорд формуласы қолайлы ма?

1. ♂ бұл олардың бастапқы энергиясына байланысты
2. ♂ на, ойткені олардың массасы шамамен протондардың массасына тең
3. ♂ Бұл максат материалға байланысты
4. ♂ на, ойткені олар протондар сияқты ядролық әсерге ие
5. ♂ жоқ, ойткені нейтрондар кулондық әсерлесуге катыспайды

Дұрыс жауапты белгілең және “енгізу” пернесін басыңыз.

**7-сұрақ.** Дененің материалы мен қалыңдығы өзгертілді, ал десеге түсетін бөлшектердің жылдамдығы өзгерген жоқ. Бұл жағдайда шашыраган бөлшектердің санау жылдамдығы өзгермеуі мүмкін бе?

1.  иә, егер еіз тек мақсатты қалыңдықты арттырасаңыз
2.  бұл олардың барапқы энергиясына байланысты
3.  Бұл мақсат материалга байланысты
4.  бұл өзгерістер санау жылдамдығына әсер етпейді
5.  иә, егер мақсатты қалыңдық Z ұлттайған сайын азайса

Дұрыс жауапты белгілең және “енгізу” пернесін басыңыз.

**8-сұрақ.** Дене қалыңдығын 5-тен 10 мкм-ге дейін ұлгайту ...

1.  шашыранды бөлшектердің санын өзертпейді
2.  шашыранды бөлшектердің санын көбейтеді
3.  шашыраган бөлшектердің санын азайтады, себебі бөлшектердің детекторға жетуі киңінірек
4.  нақты жауап жоқ
5.  шашыранды бөлшектердің саны азаяды, себебі мақсаттағы энергияның жоғалуы артады

Дұрыс жауапты белгілең және “енгізу” пернесін басыңыз.

**9-сұрақ.** Баска параметрлерді өзертпей барапқы сәулеленің энергиясын арттыру ...

1.  детекторларды санау жылдамдығын томендедеді
2.  бөлшектердің түріне байланысты санау жылдамдығын өзгертеді
3.  мақсат материалға байланысты санау жылдамдығын өзертеді
4.  детектордың санау жылдамдығын өзертпейді
5.  детектордың санау жылдамдығын арттырады

Дұрыс жауапты белгілең және “енгізу” пернесін басыңыз.

**10-сұрақ.** Графиктіңқайсызығы

денедегі

адролараныңың оның тұзғызығынабайланыстыекендігін көрсете?

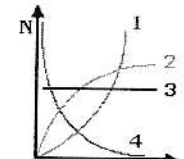
1.  Барлығы да мүмкін

2.  Т.Ж.Ж

3.  торт

4.  3

5.  2



Дұрыс жауапты белгілең және “енгізу” пернесін басыңыз.

**Бақылау сұрақтары:**

1. Ядронның планетарлық моделі туралы не білесің?
2. Томсон моделі дегеніміз не?
3. Резерфорд моделін түсіндіріңіз?
4. Томсон моделінің Резерфорд моделінен айырмашылығы неде?

## ШЕРХАНАЛЫҚ ЖҰМЫС № 8. АТОМДАРДЫҢ СПЕКТРЛЕРИ БОЙЫНША КОМПЬЮТЕРЛІК ЭКСПЕРИМЕНТИ

**Жұмыстың мақсаты:** Атомдардың сәулелену спектрлері құбылысын компьютерлік эксперимент арқылы бақылау және сұрақтарға жауап беру, шашынша көтөліктерін бағалау.

**Қажетті құрал-жабдықтар:** компьютер, видеопроектор, экран, виртуалды зертханалық жұмыс жазылған диск.

### Теориялық бөлім

Сирек газдарды олар өздерінен сәуле шығару үшін қоздырылуы мүмкін. Бұган карқынды қыздыру немесе газ разряд трубасына жоғары бернеуді колдану арқылы қол жеткізуге болады. XIX ғасырдың басында

сирек кездесетін газдардың сәулелену спектрі сзықты, яғни белгілі бір толқын ұзындығы үшін сәулелену қарқындылығы нөлден өзгеше болатыны аныкталды. Дегенмен, әрбір атомның өз толқын ұзындығы бар. Сутегі – ядро мен бір электроннан тұратын ең қарапайым атом. Сутегінің спектрі си қарапайым көріністе болады. Спектрдің көрінетін бөлігіндегі сзықтар арасындағы қашықтық 1885 жылы швейцариялық мектеп мұғалімі және сонымен бірге Basel университетінің докторы Иоганн Балмер ашкан заңда сәйкес азаяды:

$$\frac{1}{\lambda} = R \left( \frac{1}{2^2} - \frac{1}{m^2} \right)$$

Бұл жерде,  $m = 3, 4, 5, \dots$ ,

$R = 1,097 \cdot 10^7 \text{ м}^{-1}$  (Ридберг тұрақтысы).

Кейінірек ультракүлгін және инфрақызыл аймақтарда толқын ұзындығы ұқсас формуламен сипатталатын сзықтардың басқа қатарлары бар екендігі аныкталды. Сәулелену спектрінің сзықты сипатын түсіндіру үшін Н.Бор атомның дискретті энергетикалық стационарлық күйлері түсінігін енгізді. Осындаи спектрлік заңдылықтар сутегі атомдарында да байқалады. Атомға үлкен энергия берілгенде оның иондануы, яғни электронның атомнан бөлінуі байқалады. Сутегі атомның спектріндегі сәулелену қатары (8.1-сурет). Толқын ұзындығы үшін Бальмердің жалпыланған формуласын қолдануға болады.

$$\frac{1}{\lambda} = R \left( \frac{1}{n^2} - \frac{1}{m^2} \right)$$

Бұл жерде,  $n = 1, 2, 3, \dots, m = n + i, i = 1, 2, \dots$

Layman сериясы:  $n = 1, m = 2, 3, 4, \dots$

Бальмер сериясы:  $n = 2, m = 3, 4, 5, \dots$

Пашен сериясы:  $n = 3, m = 4, 5, 6, \dots$  және тағы басқа.

Н.Бор атомдагы электрон жоғары энергиялық күйден төменгі энергиялық күйге откенде сәуле шығарады және бұл күйлердің энергиялары дискретті

ден есептеді. Әрбір аудису кезінде шығарылатын фотонның энергиясы төмендегі формуламен аныкталады (энергияның сақталу заңы).

$$h\nu = E_m - E_n,$$

бұл жерде,  $m$  – жоғары энергиялық күйдің реті, ал  $n$  – аз энергиялық күйдің реті.

Егер кванттық энергия электрон вольттен өрнектелсе, фотон энергиясы үшін төмендегі өрнекті қолдануға болады:

$$h\nu = 13,6 \left( \frac{1}{n^2} - \frac{1}{m^2} \right) \text{ эВ.}$$

Егер екі заряд бір-бірінен шексіз алыс болса, олардың әсерлесу күші нөлге тең болады. Потенциалды энергия (өзара әсерлесу энергиясы) зарядтардың бір-бірінен жақындау үшін энергияны жұмсау қажет болса, он деп саналады. Атомға қосылған электрондар ядроға тартылатындықтан, олардың энергиясы теріс ( $E < 0$ ):

$$E = \frac{13,6}{n^2} \text{ эВ,}$$

$$n = 1, 2, 3, \dots$$

Ядроға бір электрон қосылған иондалған атомдар ( $\text{He}^+, \text{Li}^{++}, \dots$ ) сутегі атомдары деп аталады және олардың спектрлері сутегі спектрінде ұқсас, бірақ олардың сәйкес жиіліктері сутегі спектріндегі жиілікten  $Z^2$  ессе артық ( $Z$ -адродагы протондар саны):

$$h\nu = 13,6 Z^2 \left( \frac{1}{n^2} - \frac{1}{m^2} \right) \text{ эВ,}$$

Бұл жерде,  $n = 1, 2, 3, \dots$

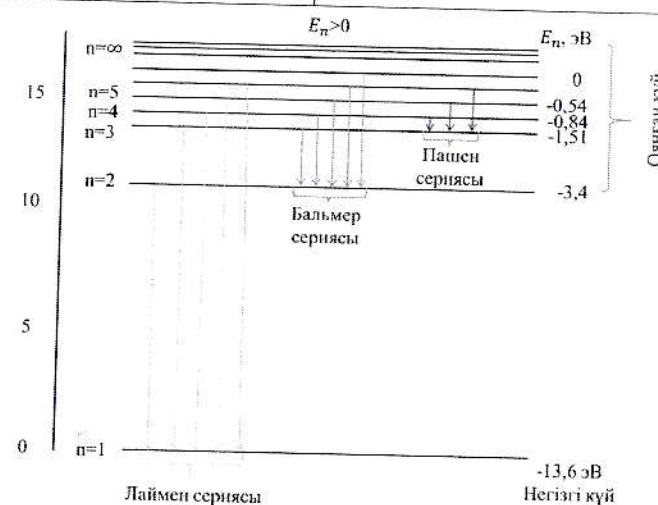
$$m = n + i, \quad i = 1, 2, \dots$$

Электрондарды атомнан бөлуге қажетті минималды энергия электронның байланыс энергиясы немесе  $E_i$ - атомның иондану энергиясы деп аталады. Егер жұтылған кванттың энергиясы электронның байланыс энергиясынан үлкен болса, онда бұл энергия айырмашылығы кинетикалық энергия түрінде беріледі (энергияның сақталу заңы қолданылады!).

$$\frac{mv^2}{2} = h\nu - E_i$$

Сынап спектрінің ең жарқын сзықтары

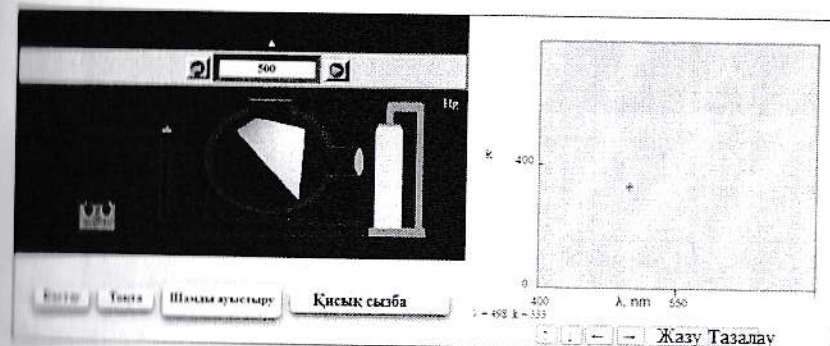
Спектр сзығы	Толқын ұзындығы (нм)
Бірінші күлгін	404.6
Екінші күлгін тұс	407.8
Көк (көк отбасындағы ең жарқын тұс)	435.8
Бірінші көк	491.6
Екінші көк	494.0
Жасыл тұс	546.1
Бірінші сары	577.0
Екінші сары	579.0
Қызыл (сонғы қызыл)	690.7



8.1-сурет. Сүтегі атомының сәулеленуінің спектрлік сериялары

### Құрылғының құрылымы және жұмыс тәртібі

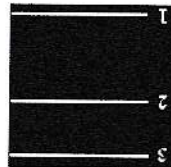
Тәжірибелік құрылғы (8.2-сурет) бастапқыда сынап буымен толтырылған түтіктен (кварц шынысынан), жоғары вольтты конвертор - Румкорфф катушкаларынан және 400 ~ 700 нм толқын ұзындығында жұмыс істейтін спектрографтан тұрады. Коммутаторды тізбекке қосу арқылы түтікке жоғары кернеу беріледі және онда газ разряды пайда болады. Газ атомдарының сәулеленуі спектрлерге бөлінеді. Кезкелген сзықтың толқын ұзындығын бұл спектрлік сзықты ығыстыру және бұл сзықты көрсеткіш түрсының көрсеткішінде анықтау мүмкін. Спектрографты дәрежелеу үшін сынап шамы қажет («анықтамада» сынаптың ең жарқын сзықтарының толқын ұзындығы берілген). Графикте дәрежелеу салынып сыйылады. «Бастау» пернесін басу арқылы тәжірибелі бастаңыз.



8.2-сурет. 400 ~ 700 нм толқын ұзындығы диапазонында жұмыс істейтін спектрограф

«Жалғастыру» пернесін басыңыз. Бұл жағдайда тәжірибелі құрылғы, жоғарыда айтылғандардан айырмашылығы, сынап буымен толтырылған түтіктен (кварц шыны), жоғары вольтты конвертор - Румкорфф катушкаларынан ультракүлгіннен инфрақызыл салага 90 ~ 5000 нм лі спектрлерді бақылауга мүмкіндік беретін мінсіз спектрографтан тұрады (8.3-сурет). Қолті тізбекке қосу арқылы түтікке жоғары кернеу беріледі және

“*Людина-бесідник*” як ідея “*єгзист*” неподільна.



- f <= 2

и на фотографии кратчайшем пути?

(*Любые коммерческие цели, «хэш» не имеет юридической силы.*)

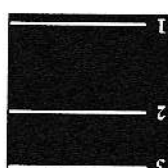


- 411 HM
  - 434 HM
  - 365 HM
  - 486 HM
  - 636 HM

3. *Лінгвістична та літературна етнографія*

*„Gespräch“ zwischen Atomphysikern und Astronomen über die Erforschung des Universums*

*(The word *quadrilateral* is also often used in geometry, though it is not a standard term in chemistry.)*



- 1 <= i <= 3  
1 <= j <= 1  
2 <= k <= 3  
3 <= l <= 2  
4 <= m <= 1

Enige gepubliceerde markante foto's van deze soort zijn er niet.

Chparracyptateionhrishepi nullehtenjepijnarpmacbycphipfear.Kahjanueii

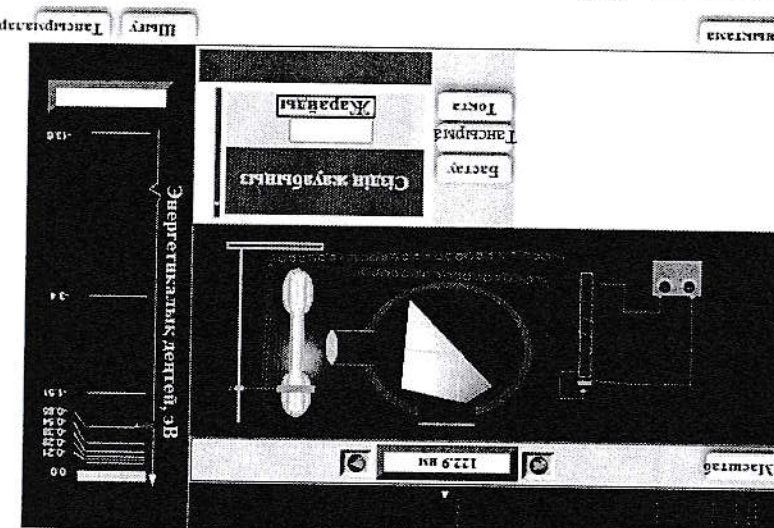
- 1

Tech Cyprus API

«(1) *anibipma*» ikehechin oacy apkribiti komplote spaphibitza naniia Gomina tecet cyphatapbia kayan Gebihis kehe rekypnge tyanbi gilimihizi li 6asajahiba.

CRYPTOGRAPH

83-cyber. 90 ~ 3000 m təqribin yəqinlaşdırılmışdır. Kəmərliyə qədəmliyi icretini



*llepheciñ ñacy apkpulri teakipnbehi bacrahipi.*

**4-сұрақ.** Сүтегі атомындағы бірінші энергетикалықденгейден бесінші электрондардың энергия деңгейіне ауысуы үшін ең тәменгі жылдамдық кандай болуы тиіс?

1. ⚡ 2,06 мм /с
2. ⚡ 2,19 мм /с
3. ⚡ 2,12 мм /с
4. ⚡ 2,14 мм /с
5. ⚡ 1,89 мм /с

Дұрыс жауапты белгілең және "енгізу" пернесін басыңыз.

**5-сұрақ.** Сүтегі атомының бірінші энергетикалық күйден үшіншісіне ауысуы кезінде оның энергиясынеше рет өзгереді?

1. үш есе артады
2. ⚡ Дұрыс жауап жок
3. ⚡ тоғыз есе артады
4. ⚡ тоғыз есе азайды
5. ⚡ үш есе азайды

Дұрыс жауапты белгілең және "енгізу" пернесін басыңыз.

**6-сұрақ.** Сүтегі атомы гамма квантын жұтып, екінші энергетикалық денгейден үшінші энергетикалық деңгейге етті. Түсіп жатқан сәулеленудің толқын ұзындығы қандай?

1. ⚡ 486 нм
2. ⚡ 434 нм
3. ⚡ 656 нм
4. ⚡ 411 нм

1. ⚡ 365 нм

Дұрыс жауапты белгілең және "енгізу" пернесін басыңыз.

**7-сұрақ.** Толқын ұзындығы 498 нм болған фотонмен сәулелендесүтегі атомындағы электронның энергиясы қанша өзгерді?

1. ⚡ 2,40 әВ
2. ⚡ 2,34 әВ
3. ⚡ 2,22 әВ
4. ⚡ 2,63 әВ
5. ⚡ 2,50 әВ

Дұрыс жауапты белгілең және "енгізу" пернесін басыңыз.

**8-сұрақ.** Сүтегі атомын иондандыру үшінқандай максималды толқын ұзындықтарынан көнілген оны сәулелендіру керек?

1. ⚡ 102,6 нм
2. ⚡ 66,8 нм
3. ⚡ 40,2 нм
4. ⚡ 121,6 нм
5. ⚡ 91,2 нм

Дұрыс жауапты белгілең және "енгізу" пернесін басыңыз.

**9-сұрақ.** 1897 жылы астроном Пикеринг жұлдыздар спектріндегі пайыз формуласы мен ернектелуі мүмкін болған, бірақ кванттық сандарын = 3; 3; 3,5; 4; 4,5 болған сыйықтар жинағын тапты. Осы серияның пайда болу себебі ...

1. ⚡ ильис жұлдыздагы процестерде энергияның сакталмауы
2. ⚡ гелий иондары эмиссиясы

- сілтілік металдардың буласының болінуі
- күбылыстың түсіндірмесі жұмбак күйінде қалды
- сутегі атомдарының ерекше күйдегі сәулеленуі

Дұрыс жауапты белгілең және “енгізу” пернесін басыңыз.

**10-сұрақ.** Сутегі атомының екінші стационарлық күйден бірінші күйге ауысукезінде шығарылатын жарықжайлігі қандай? R — Ридберг тұрақтысы, e — жарық жылдамдығы.

- $3Rc/4$
- $8Rc/9$
- $Rc/2$
- $Rc/4$
- $2Rc/3$

Дұрыс жауапты белгілең және “енгізу” пернесін басыңыз.

#### Бақылаусұрлактары:

1. Сутегі атомы үшін Бор теориясының негізгі идеялар түсіндір.
2. Сутегі атомы спектрлік сериялары үшін Бальмердің жалпыланған формуласын түсіндір.
3. Бальмердің жалпыланғанформуласының меншікті күйлерін түсіндір.

#### ШЕРТХАНАЛЫҚ ЖҰМЫС № 9. ФРАНК-ГЕРЦ ТӘЖІРИБЕСІН ШЕРТТЕУ (АТОМДАРДЫҢ ОЯНУ ПОТЕНЦИАЛАНЫ АНЫҚТАУ)

**Жұмыстың мақсаты:** Нильс Бор теориясының дұрыстығын Франк және Герц тәжірибелері негізінде тексеру.

**Қажетті құрал-жабдықтар:** Аргон толтырылған ТГ-1-0,1/0,3 тиаратрон, (10-30)В қа молшерленген вольтметрлер, 160  $\mu$ A ге молшерленген микроамперметр, 1A ге молшерленген амперметр.

#### Теориялық болім

Атомның дискретті энергетикалық деңгейлерінің болуы Франк пен Герцтің тәжірибелерінде дәлелденді. Бұл тәжірибедегі құрылғының принципиалды схемасы 9.1-суретте көрсетілген.

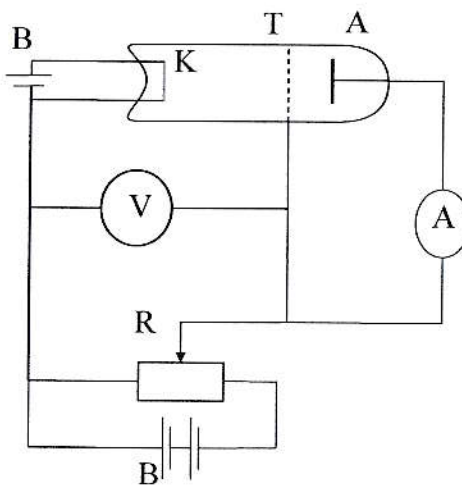
Аудасы сорылған шыны тұтікке 1 мм сынап бағанасының қысымымен сынап буласы толтырылып, оған катод (K), анод (A), тор (T) қызметтің атқаратын электродтар койылады. Термоэлектрондық эмиссия нәтижесінде катодтан үшатын электрондар катод пен тор арасындағы потенциалдар айрымы (U) есебінен торға қарай үдетіледі. Бұл потенциалдар айрмасын потенциометр (P) комегімен біркелкі өзгертуге болады. Тор арқылы өтетін электрондардың анодқа қарай қозғалысын тежеу үшін тор мен анод арасында азот электр орісі пайда болады.

Анод тізбегіндегі I ток күші Гальванометрмен өлшенеді және оның U кернеуіне тәуелділігі анықталады. Тәжірибеден алғынған нәтижелер 9.2 - суретте көлтірілген. Суреттен көруге болады, кернеу жогарылағанда ток күші өлдімін монотонды түрде артады,  $U=4,9$  В жеткенде күрт тәмендейді және минимумға түседі, кернеуді арттыра барсақ, ток күші және арта бастайды, оны төрізді ток күшинің күрт тәмендеулері кернеудің 9,8 В, 14,7 В және т.б. мәндерінде қайталанады.

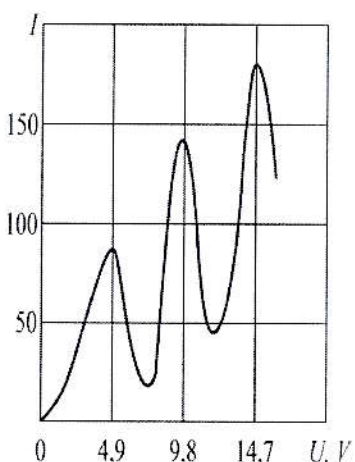
Токтың жогарыда аталған кернеу мәндерінде күрт тәмендеуі және ең тәменді мәндерге дейін түсіү атом энергиясы деңгейлерінің дискреттілігімен

түсіндірледі, яғни атомдар энергияны тек белгілі бір бөліктер түрінде қабылдай алады. Бұл тәжірибеде термоэлектрондардың энергиясы  $\Delta W = 4.9$  эВ жеткенше сынап атомдарымен серпімді соқтығысады. Бұл кезде кернеудің жоғарылауына байланысты ток күші әдеттегі заң бойынша еседі. Кернеу 4.9

В жеткендес соқтығыс серпімсіз болады, бұл жағдайда электронды атом мөзінің барлық энергиясын беруді жалғастырады. Мұндай электрондаран однакожа тәулік майды, олар торда үстеліндерди. Нәтижесінде анондтық ток күрттөмендейді. Егер электрондар энергия алуы жалғастыrsa, электрондар соқтығыс кезінде сынап атомына энергиясының бір белгін береді, жеткілікті артық энергияны



9.1-сурет Тәжірибе құрылғысының схемасы



9.2-сурет. Тәжірибе нәтижелері

сақтайды және анодқа жету үшін тор мен анод арасындағы тежеу ерісін женеді. Нәтижесінде анодтық ток қайтадан артады. Ток күшінің артуы электродтар арасындағы кернеудің мәні 9,8 В жеткенше жалғасады, кернеу  $U=9,8$  В жеткенде ток қайтадан күрт тәмендейді. Ток мәнінің күрт тәмендеуі

$U=14,7$  В және т.б. Электронның атоммен серпімсіз соқтығысу үшін қажетті потенциалды атомның критикалық потенциалы немесе ояту потенциалы деп атайды. Мысалы, сынап атомының ояту потенциалы 4,9 В; 9,8 В; 14,7 В және т.б. тен. Осындай потенциалдар айырмасын кесіп өткен электрон атоммен серпімді емес соқтығысады және оны қалыпты күйден қозған күйге ауыстырады. Атомның қалыпты күйден бірінші қозған күйге штундес сәйкес келетін потенциал ( $U=4,9$  В) атомның бірінші ояту потенциалы немесе резонанслық потенциалы деп аталауды. Сондай-ақ, екінші ( $U=9,8$  В), үшінші ( $U=14,7$  В) т.б. потенциалды ояту туралы айтуда болады. Сонымен, Франк пен Герцтің тәжірибелерінен атомдарда дискретті энергетикалық деңгейлердің бар екендігін тікелей растауда болады және мұндай тәжірибе арқылы атомның ояту потенциалдарын тәжірибе жүзінде анықтауда болады. Электронмен серпімсіз соқтығысу кезінде энергия алған атом бұл энергияны оте қысқа уақытка ( $\sim 10^{-8}$  с) сақтайды, содан кейін бұл энергияны өзүлешену энергиясы түрінде немесе басқа түрде қайтарады, яғни ол қалыпты жағдайына оралады. Егер газ қысымы жеткілікті аз болса, ең ықтимал ауысу энергияны жарық ретінде шығару болып табылады. Бұл жағдай Бор постулаттарын эксперименталды түрде тексеруге тағы да мүмкіндік береді. Сынап атомының бірінші ояту потенциалы 4,9 В болғандықтан

$$\Delta W = W_2 - W_1 = eU = 4,9$$

бұның болуы керек,  $W_1, W_2$ —тиісінше қалыпты, бірінші қозған күйдегі сынап атомының энергетикалық деңгейлері.

Бордың екінші постулаты бойынша атом өзінің қалыпты күйіне өткенде бұл энергия  $\Delta W$ .

$$\Delta W = h\nu = \frac{hc}{\lambda}$$

Найда болуы керек. Осылдан

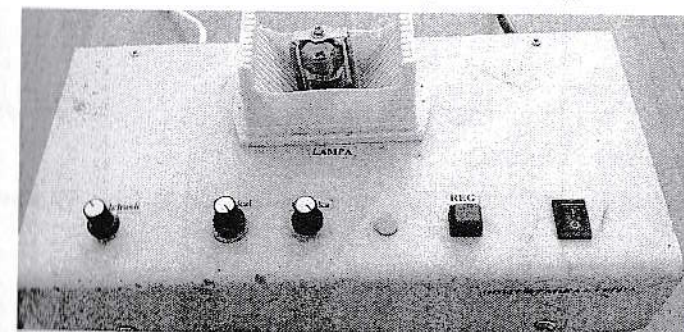
$$\lambda = \frac{hc}{\Delta W} = 2520 \text{ Å}$$

Сонымен, егер теория дұрыс болса, онда энергиясы 4.9 эВ электрондар ағынымен сәулеленетін сынап буы толқын ұзындығы  $\lambda=2520\text{\AA}$  бір гана ультракүлгін сзықтан тұратын спектрді беруі керек. Шынында да, тәжірибеде Бор постулатын растайтын  $\lambda=2537\text{\AA}$  болатын жалғыз ультракүлгін сзықтадағы. Оптикалық қозу тәжірибелері негізінде атом бірінші қозған құйден қалыпты құйге өткенде бұл сзықтың пайда болуына көз жеткізуге болады. Егер сұйылтылған сынап буы  $\lambda=2537\text{\AA}$  монохроматикалық жарықпен жарықтандырылса, онда жоғарыда айтылғандай, сынап атомдары  $W_2 = +4,9\text{ эВ}$  энергиямен қалыпты құйден қозған құйге өтуі керек. Бірақ  $10^{-8}$  секундтан кейін қалыпты құйге оралған кезде жарық бірдей толқын ұзындығы бар бір спектрлік сзықты шығаруы керек. Бұл ойдан да дұрыс екенін тәжірибе дәлелдеп отыр. Мұндай спектрлік сзықтар резонанстық сзықтар деп аталады, өйткені олардың толқын ұзындығы оптикалық қозу кезінде жұтылатын толқын ұзындығына тұра тен. Сондықтан резонанстық сзықтардың толқын ұзындығын анықтау арқылы бірінші ояту потенциалын есептеуге болады.

#### Жұмыс тәртібі:

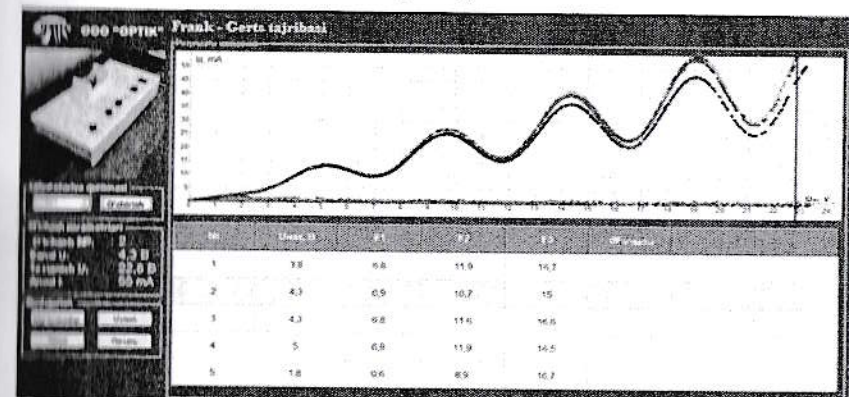
1. Зертханалық құрылғыны (9.3-сурет) қуат көзіне, компьютерге косыңызжәне құрылғыны жұмысқа дайындау үшін 2 минут күтіңіз.
2. “Оптика” зертханалық бағдарламасынан “Франк Герц” атты жұмысты таңдаңыз.
3. “Вход” пернесін басыңыз.
4. “Выбрать” пернесінен “СОМ 1” және “Подключить” пернесін таңдау арқылы жұмысты түсіндіру.
5. Құрылғыдағы “Өлшеу” түймесін №1 етіп орнатыңызжәне “накал” түймесі арқылы арнаның кернеуі “Rec” түймесі арқылы енгізіңіз.
6. “Setka” түймесі арқылы анод кернеуін арттыру арқылы, “Rec” пернесін басу арқылы нәтижені кестеге енгізіңіз.
7. 5-6 кадамдарды қайталау арқылы кестеге өлшемдерді енгізіңіз.

8. “Отключить” пернесін пайдаланып зертханалық құрылғыны өшіріңіз.



9.3-сурет. Зертханалық құрылғы

#### Тәжірибе ұлтісі



9.4-сурет. Франк-Герц тәжірибесі нәтижелерінің компьютер экранындағы көрінісі

No	$R_H$ ( $\Omega$ )	$R_A$ ( $\Omega$ )	$U_A$ (V)	$R_c$ ( $\Omega$ )	$U_c$	$I_A$ (A)	$U_{c,опт}$ (V)	$I_{A,опт}$ (A)	$U$ (A)
1									
2									
3									

### Бақылау сұрақтары:

1. Франк пен Герц тәжірибесінің мазмұнын түсіндіріңіз.
2. Тиатрон шамының сәулелену себебін анықтаңыз.
3. Электрондар мен атомдардың серпімді және серпімді емес соқтығысы қандай жағдайда пайда болады?
4. Неліктен резонанс атомның бірінші ояту потенциалы болып табылады?

### ЗЕРТХАНАЛЫҚ ЖҰМЫС №10. ФРАНК-ГЕРЦ ТӘЖІРИБЕСІ БОЙЫНША КОМПЬЮТЕРЛІК ЭКСПЕРИМЕНТІ

**Жұмыстың мақсаты:** Франк-Герц тәжірибесінде компьютерлік тәжірибе арқылы әртүрлі заттардың атомдарының козуын қандай кернеу мәндерінде болатынын бақылау, сұрақтарға жауап беру, өлшеу қателіктерін бағалау.

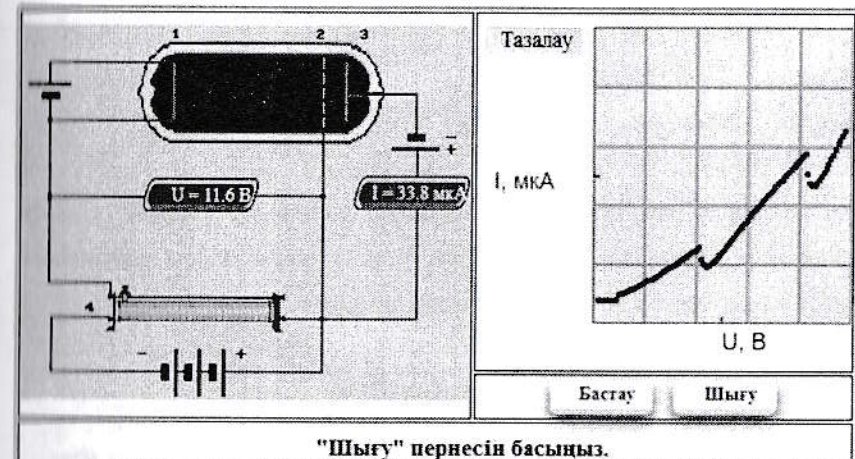
**Қажетті құрал-жабдықтар:** компьютер, видеопроектор, экран, виртуалды зертханалық жұмыс жазылған диск.

#### Теориялық болім

Бұл зертханалық жұмыстың теориялық мәліметтері №9 зертханалық жұмыста толық қамтылған.

#### Құрылғыны пайдалану бойынша нұсқаулар

Вакуумдық шардан ауа сорылады және оған синап буы (немесе баска зат) 1 мм.см қысыммен енгізіледі. Қыздырылған катодтан шығатын электрондар катод (1), тор (2) және анод (3) арасындағы тұракты электр өрісінің әсерінен үдетеді. ~1 эВ шағын баяу кернеу тор мен анод арасында колданылады. Сондықтан коллекторға (анодқа) энергиясы 1 эВ жоғары электрондарға түсे алады. Коллекторлық ток микроамперметр көмегімен өлшенеді. Үдемелі кернеуді реостат (4) көмегімен өзгертуге болады. Тәжірибелі көрсету «бастау» пернесін басу арқылы басталады (10.1-сурет).



"Шығу" пернесін басыңыз.

10.1-сурет. Эксперименттік құрылғының схемасы және тәжірибе итәжиелері

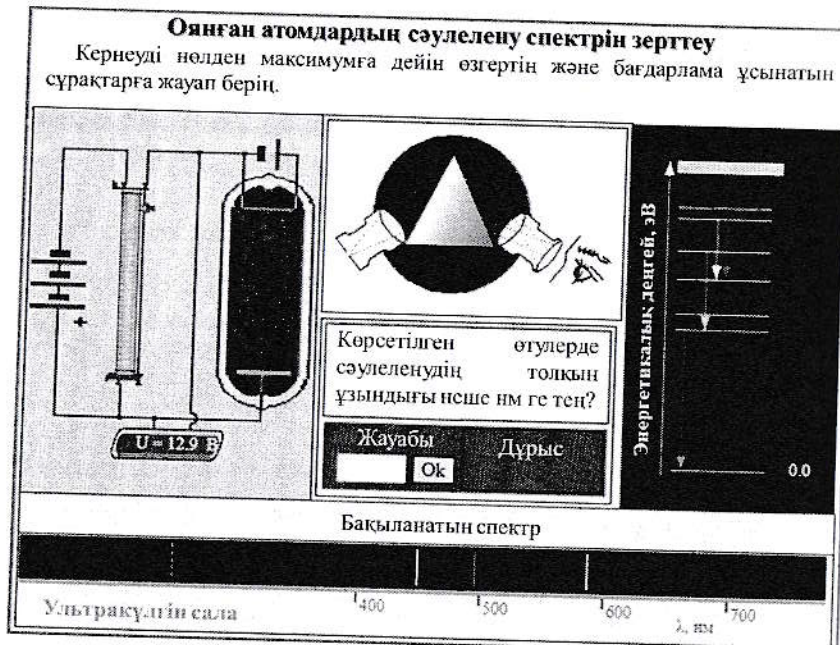
Бұл жағдайда біз тізбекті қосамыз және электрондарды жеделдететін



10.2-сурет. Атомдардың энергетикалық деңгейлерді зерттеу

кернеуді арттырамыз.

Тәжірибелің 2-ші және 3-ші кезеңдерінде атомдардың энергетикалық деңгейлері және козған атомдардың сәулелену спектрлері зерттеледі. Тәжірибелің 2-кадамында сұрақтарға жауап беріп, 10.2-суретте берілген «бастау» пернесін басу арқылы сәйкес спектрлерді бақылаңыз. Тәжірибелің 3-ші кезеңінде экрандағы электромагниттік толқындар шкаласы арқылы оянған атом деңгейлері мен олардың толқын ұзындықтары арасындағы ауысуларға сәйкес сәулеленуді анықтаңыз (10.3-сурет).



10.3-сурет. Оянған атомдардың сәулелену спектрін зерттеу

#### Бақылау сұрақтары:

1. Қандай жағдайда электрондар мен атомдар арасында серпімді және серпімсіз соқтығысулар болады?

2. Компьютерлік тәжірибелік құрылғының жұмыс істеге принципін түсіндіріңіз.
3. Франк-Герц тәжірибесінің мазмұнын түсіндіріңіз.
4. Тиатрон шамының сәулелену себебін анықтаңыз.
5. Неліктен атомның бірінші ояту потенциалы резонансстық потенциал деп те аталады?

### ШЕРХАНАЛЫҚ ЖҰМЫС №11. ЭЛЕКТРОНДАРДЫҢ БІР ЖӘНЕ ЕКІ САҢЫЛАУЛЫ БӨГЕТТЕН ӨТҮІ БОЙЫНША КОМПЬЮТЕРЛІК ЭКСПЕРИМЕНТИ

**Жұмыстың мақсаты:** Компьютерлік тәжірибеде электрондардың бір және екі саңылаулы кедергі арқылы өтүі кезіндегі дифракция құбылысының бақылау арқылы микробөлшектердің толқындық касиеттерін және микроалем құбылыстарының кванттық механикалық касиеттерін зерттеу.

**Қажетті құрал-жабдықтар:** компьютер, видеопроектор, экран, виртуалды зертханалық жұмыс жазылған диск.

#### Теориялық бөлім

1923 жылы француз физигі Луи Де-Бройль (1892-1987) корпускулалық-толқындық дуализмінің әмбебаптығы туралы гипотеза жасады, яғни кез келген микроскопиялық объект толқындық және корпускулалық қасиеттерді көрсете алады. Бірқатар оптикалық құбылыстарды (шагылу, қысым және ыны) корпускулалық теориямен де, жалпы толқындық теориямен де түсіндіруге болады. Осы жағдайларды талдай отырып, Луи Де-Бройль жарықта корпускулалық-толқындық дуальділікке ие болса, онда бөлшектерде толқындық-корпускулалық дуализм болуы керек деген гипотеза жасады.

Де-Бройльдің идеясы бойынша, бір жағынан микрообъектілер 1-енергиясы және Р-импульсі бар корпускулалық қасиетке ие болса, екінші жағынан  $\omega$ -жүйелік және  $\lambda$ -толқын ұзындығы бар толқындық қасиеттерге ис.

Жарықтың корпускулярлық-толқындық дуализміне сәйкес жарық фотоны үшін келесі қатынастар орындалады:

$$\varepsilon = \hbar \omega, \quad (1)$$

$$p' = \hbar k', \quad (2)$$

бұл жерде,  $\hbar = h / 2\pi = 1,054 \cdot 10^{-34}$  Дж · с-Планк тұрақтысы;  $k' = 2\pi/\lambda'$ -толқын векторы;  $p'$ ,  $\varepsilon$ ,  $\lambda'$  — фотон импульсі, энергиясы және толқын ұзындығы.

Жарықтың қасиеттеріне ұқсас бұл қатынасты Де-Бройль материяның микробөлшектері үшін орындағытының көрсетті. Сонда (2) формулаға сәйкес келесі өрнекке ие боламыз:

$$p = \hbar \cdot k = \hbar \cdot \left( \frac{2\pi}{\lambda_B} \right) = h/\lambda_B, \quad (3)$$

бұл жерде,  $h = 6,62 \cdot 10^{-34}$  Дж · с-Планк тұрақтысы;  $\lambda_B$ - Де Бройль толқын ұзындығы.

Осылайша, импульсі бар кез келген бөлшек толқын ұзындығы  $\lambda_B$ -Де Бройль толқынына сәйкес келеді.

$$\lambda_B = 2\pi\hbar/p, \quad (4)$$

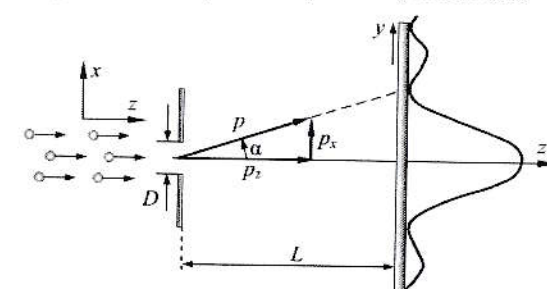
Релятивистік жағдай үшін:

$$\lambda_B = \frac{2\pi\hbar}{p} = \frac{h\sqrt{1 - v^2/c^2}}{m_0 v}, \quad (5)$$

болады, мұнда,  $m_0$ - тыныштықтағы бөлшектің массасы;  $v$ -бөлшектердің жылдамдығы.

Де-Бройльдің гипотезасы материя қасиеттерінің симметриясына негізделген және ол кезде тәжірибемен расталмаған. Бірақ бұл материалдық

объектілердің табигаты туралы жаңа идеяларды дамытуға қүшті революциялық серпін болды. Осы идеяны негізге ала отырып, 20 ғасырдың атақты физиктері – В.Гейзенберг, Э.Шредингер, П.Дирак, Н.Бор және бақылары кванттық механика деп аталатын жаңа ғылымның теориялық негіздерін жасады. Толқындық түрғыдан алғанда электрондардың дифракциясы дифракциялық тордағы жарықтың дифракциясынан еш айырмашылығы жоқ. Дифракция құбылыстары дифракцияланатын тосқауылдың өлшемдері толқын ұзындығына сәйкес келгенде айқын корінеді. Бұл кез келген физикалық құбылыстарға, әсіресе электронды толқындарға қатысты. Де-Бройль толқындары үшін табиги дифракциялық тор ретінде кристалдық тордың атомдары арасындағы саңылаулар қызмет етеді (0,1 нм). Мұндай өлшемдегі тосқауыл (мысалы, мөлдір экрандағы тесік) жасанды түрде жасалмайды, бірақ Де-Бройль толқындарының табигатын түсіну үшін ой эксперименттерін жасауға болады.



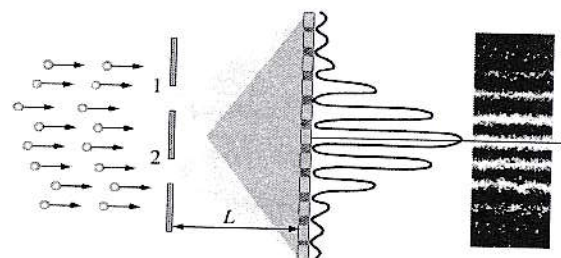
11.1-сурет. Бір саңылаудағы бөгетдегі электрондардың дифракциясы (Оң жақтагы график фотопластинкадағы электрондардың таралуын орнектейді)

Ені  $D$  саңылаудағы электрондардың дифракциясын қарастырайық (11.1-сурет). Жарық арқылы өтетін барлық электрондардың 85%-дан астамы орталық дифракциялық максимумға түседі. Бұл максимумның жарты ені бүршіни келесі шарттан табылады:

$$D \sin \alpha = \lambda. \quad (6)$$

Бұл шарт толқындар теориясының формуласына сәйкес келеді.

Тағы бір ойлау тәжірибесін қарастырайық — екі саңылаулы кедергідегі электронды сәуленің дифракциясы (11.2-сурет). Бұл тәжірибелің схемасы Юнгтың оптикалық интерференциялық экспериментінің схемасына сәйкес келеді.



11.2-сурет. Екі саңылаулы бөгетдегі электрондардың дифракциясы

Бұл экспериментті талдау кванттық теорияда туындастын логикалық қындықтарды көрсетуге мүмкіндік береді. Осылан ұқсас мәселелер Юнгтың фотондар тұжырымдамасына негізделген оптикалық тәжірибесін түсіндіруде туындауды. Екі саңылаулы тосқауылдағы электрондардың дифракциясын байқау үшін тәжірибеде саңылаулардың бірі жабылса, интерференциялық сзықтар жойылып, фотопластинка бір саңылаулы кедергідегі электрондардың дифракциясын жазады (11.1-сурет). Бұл жағдайда барлық электрондар ашық саңылау арқылы фотопластинаға түседі. Екі саңылау да ашық болса, интерференциялық сзықтар пайда болады. Бұл жағдайда электрондар қай ұшық арқылы өтеді?

Психологиялық тұрғыдан бұл сұраққа бір ғана жауап болуы мүмкін екенін кабылдау өте қыын: электрон екі саңылаудан да өтеді. Біз интуитивті түрде микробөлшектердің ағынын шагын сфералардың бағытталған қозғалысы ретінде елестетеміз және бұл қозғалысты сипаттау үшін классикалық физика заңдарын колданамыз. Бірақ электронның (және басқа микробөлшектердің) корпускулалық ғана емес, сонымен қатар толқындық қасиеттері де бар. Юнгтің оптикалық тәжірибесінде электромагниттік жарық

толқынының екі саңылау арқылы қалай өтетінін елестету оңай, өйткені толқын кеңістікте локализацияланбаган. Бірақ фотондар ұғымын қабылдайтын болсақ, әрбір фотон бір нүктеде орналаса бермейтінін мойындауымыз керек.

Фотонның қай саңылау арқылы үшатынын көрсету мүмкін емес, өйткені фотопластинкадағы фотонның қозғалыс траекториясын қадағалап, оның түсінін жерін көрсету мүмкін емес. Тәжірибе көрсеткендегі, фотондар интерферометр арқылы белек ұшқанда, көптеген фотондар бір уақытта ұшқанда интерференциялық көрініс пайда болады. Сондыктан, кванттық физикада «фотон өзіне кедергі жасайды» деген қорытынды жасалады. Жоғарыда айтылғандардың барлығы екі саңылаулы бөгет арқылы өтетін электрондар тәжірибесіне де қатысты. Кейір эксперименттік фактілерді әрбір электронның Де-Бройль толқыны екі тесіктен бір уақытта өтетін ескерсек қана түсіндіруге болады. Мұндай бөгеттер арқылы электрондардың жеке ұзақ өтуі көптеген электрондардың бір мезгілде өтуіне сәйкес келеді. Бұдан «электрон фотон сияқты өзіне кедергі жасайды» деген қорытынды жасауга болады.

### Эксперимент адістемесі

Бұл жұмыста виртуалды зертханалық құрылғыларда алынған дифракциялық спектрлерді ондеу негізінде Де-Бройль толқын ұзындығы әлемнің талған. Бөлшектердің бір саңылаудағы дифракциясы кезіндегі дифракцияның максимумдарын байқау шарты төмендегідей:

$$\Delta x \sin \alpha = \pm (2n + 1) \frac{\lambda_B}{2}, \quad (7)$$

бұл жерде,  $n = 0, 1, 2, \dots$  — дифракция тәртібі,  $\Delta x$ -саңылаудың көндігі.

Екі саңылаулы бөгетде бөлшектер дифракциясы күйінде негізгі дифракциялық минимумдарды құзету шарты төмендегідей:

$$\Delta x \sin \alpha = \pm n \lambda_B, \quad (8)$$

бұл жерде,  $n = 1, 2, 3, \dots$  — дифракция тәртібі,  $\Delta x$ -саңылаудың көндігі.

Негізгі дифракция максимумы жақын орналасқан екі негізгі минимум арасында орналасқаны анық.

Сонымен қатар, кейбір бағыттағы екі саңылау арқылы отетін сәулелердің өзара интерференциясы салдарынан олар бір-бірін әлсіретеді, яғни қосымша минимумдар пайда болады. Саңылаулардың саны  $N$  болғанда, екі негізгі максимум арасында әлсіз фон құрайтын қосымша максимумдармен бөлінген  $N-1$  қосымша минимумдар болады.  $N$  саңылаулардың саны негұрлым көп болса, соғұрлым жарық энергиясы тор арқылы өтеді және соғұрлым көршілес негізгі максимумдар арасында соғұрлым көп минимумдар калыптасады, ал максимумдардың карқындылығы мен тіктігі жоғары болады.

$N > 1$  саңылаулардан тұратын дифракциялық торда негізгі дифракциялық максимумдардың түзілу шарты төмендегідей:

$$ds \sin \alpha = \pm n\lambda, \quad (9)$$

бұл жерде,  $n = 0, 1, 2, \dots$  — дифракция тәртібі,  $d$  — дифракциялық тордың периоды.

(7) - (9) формулаларды пайдалана отырып, белгілі бір параметрлері бар саңылауларда алынған дифракция сызықтары арқылы Де-Бройль толқын ұзындығын анықтауга және бұл нәтижелер Де-Бройль теориясын мәнмен салыстыруға болады:

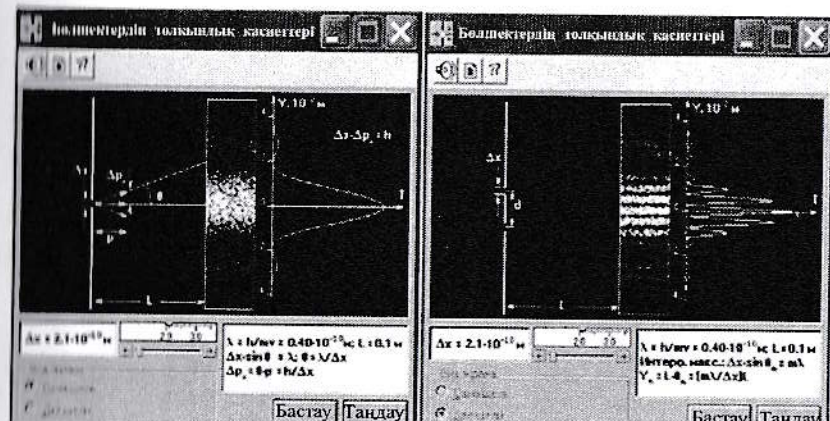
$$\lambda_{\text{Бтеор}} = \frac{2\pi\hbar}{mv}, \quad (10)$$

бұл жерде,  $m$  — бөлшектің массасы мен жылдамдығы.

Сәйкес нәтижелер Де-Бройль теориясының дұрыстығын дәлелдейді.

### Жұмыс тәртібі

1. Open Physics бағдарламасын іске қосыныз. «Кванттық физика» күрамынан «Бөлшектердің толқындық қасиеттері» модель таңдаңыз (11.3, а-сурет).



11.3-сурет. Бір саңылаулы (а) және екі саңылаулы (б) бөгеттегі электрондардың дифракциясын бақылау

2. Саңылау кеңдігінің мәндерін мұғалімнен алынған нұсқага сәйкес  $\Delta x_1$ ,  $\Delta x_2$ ,  $\Delta x_3$  т.б. 1-кестеден таңдаңыз және оларды 2 — кестеге жазыңыз.
3. «Экран көрінісі» қосыышын «Бір саңылау» күйіне орнатыңыз.
4. Тышқаншамаркерін саңылау кеңдігі сырғытпасының үстінен жылжытыңыз  $\Delta x_1$  саңылау кеңдігін орнатыңыз.
5. «Бастау» пернесін басып, бір саңылаудағы электрондардың дифракциясын бақылаңыз. Өлшеудің дәлдігін арттыру үшін компьютерлік эксперимент кезінде эксперименттің ұзактығы 1 минуттан кем болмауы керек.
6. «Токтату» пернесін басып, дифракциялық түзулердің максимумдарының координатасы мен ретін  $Y$  осінің он бағытымен анықтаңыз, оларды 2-кестеге жазыңыз.
7. «Таңдау» пернесін басыңыз, кілтті «екі саңылау» күйінсі койыңыз (11.3 б-сурет).
8. «Бастау» пернесін басып, қос саңылаулы бөгеттегі бөлшектердің дифракциясын бақылаңыз. Өлшеудің дәлдігін арттыру үшін компьютерлік

эксперимент кезінде эксперименттің ұзақтығы 1 минуттан кем болмауы керек.

9. «Тоқтату» пернесін басып, дифракциялық түзулдердің максимумдарының координатасы мен ретін  $Y$  осінің оң бағытымен анықтаңыз, оларды 2-кестеге жазыңыз.

10. Санылаудардың ені  $\Delta x_2$ ,  $\Delta x_3$  құндылыктар үшін 4-9 пунктдегіамалдарды қайталаңыз. Алынған нәтижелерді 2 кестеге жазыңыз.

#### Өлшеу нәтижелерін өндөу

1. (8) формуланы колданатын негізгі максимумдардың координаттары  $Y_{\text{мак.эксп.есептеніз}}$ .  $Buندасi\alpha = \frac{Y}{\sqrt{Y^2+L^2}}$ , және барлық эксперименттерүшін  $L = 0,1$  м. Алынған нәтижелерді 2-кестегенгізіңіз.

2. (7) формула бойынша Де-Бройль толқынының теориялықмәнішін ( $\lambda_{\text{Б.теор}} = 4$  ·

10–11 мнегізгі максимумдардыңкоординаталары  $Y_{\text{мак.эксп.есептеніз}}$ . Осы нәтижелерді  $Y_{2,\text{саылау}}$  мәнімен салыстырыңыз зәне төмендегі есептеулердеосымәндердіескеріңіз.

$Y_{1,\text{саылау}}$  және  $Y_{\text{мак.эксп.багандардағы}}$  мәндерді салыстырыңыз және алынғаннәтиженітүсіндіріңіз.

3.  $Y_{2,\text{саылау}}$  (10) формулага негізделген Де-Бройль толқын ұзындығының мәнін пайдалану.  $\lambda_{\text{Бесептен}}, 2$ -кестегенгізіңіз.

4.

Алынғаннәтижелердіңорташамәндері  $\lambda_{\text{Б.орта}}$ есептеужәнегеория  $\lambda_{\text{Б.теор}}$  мәнімен салыстыру, корытындыжасау. Есептеунәтижелері 2-кестегенгізілген.

5. (10) формулабойыншаәрбіртәжірибеүшін Де-Бройльтолқынұзындығын  $\lambda_{\text{Бесептеніз}}$  және алынғанмәндерді 2-кестегенгізіңіз.  $Muндасi\alpha = \frac{X}{\sqrt{X^2+L^2}}$  жәнебарлық эксперименттерүшін  $L = 0,1$  м.

6.

(10)

әрбірэкспериментүшінДе-

бройльтолқынұзындығыныңтеориялықмәндері  $\lambda_{\text{Б.теор}}$  алынғанмәндердіесептен, 2-кестегенгізіңіз.

7.

бройльтолқынұзындығыныңтеориялықжәнетәжірибелікмәндерінсалыстырың ызжанекорытындыжасаңыз.

1-кесте. Зертханалық жұмыстың нұсқалары.

№	Дифракциялық санылаудың кеңдігі $10^{-10}$ м			Топ периоды $10^{-10}$ м	Электрондар жылдамдығы $10^7$ м/с		
	$\Delta x_1$	$\Delta x_2$	$\Delta x_3$		$d_1$	$v_1$	$v_2$
1	2	2,8	3,6	1	1,5	1,9	2,25
2	2,1	2,9	3,5	1,1	1,55	1,95	2,3
3	2,2	3	3,7	1,2	1,6	2	2,35
	2,3	3,1	3,8	1,3	1,65	2,05	2,4
	2,4	3,2	3,9	1,4	1,7	2,1	2,45
	2,5	3,3	4	1,5	1,75	2,15	2,5

2-кесте. Бір және екі санылаулы кедергілердегі бөлшектердің дифракциясы үшін Де - Бройль толқын ұзындығын есептеу.

$\Delta x, 10^{-10}$ м	Максимумдар тәртібі	$Y_1$ саылау	$Y_2$ саылау	$Y_{\text{мак.эксп.}}$	$Y_{\text{мин.эксп.}}$	$\lambda_B$	$\lambda_{B,\text{орта}}$	$\lambda_{B,\text{теор}}$
		$10^{-2}$ м	$10^{-2}$ м	$10^{-2}$ м	$10^{-2}$ м	$10^{-11}$ м	$10^{-11}$ м	$10^{-11}$ м
1								4
2								
3								

### **Бақылау сұрақтары:**

1. Де- Бройльгипотезасының мәнінеде?
2. Электронга сәйкескелетін Де- Бройль толқын ұзындығын тәжірибекүзінде анықтауформуласыншығарыңыз.
3. Электрондар дифракциясы кезіндегі интенсивтіліктің максималды таралу бағыты қандай шартты қанағаттанырады?
4. Дифракция тәртібі қандай?
5. Гейзенбергтің белгісіздік катынасын түсіндіріңіз?
6. Планк тұрақтысының мағынасын түсіндіріңіз?
7. Неліктен біз айналамыздағы заттардан көрінетін толқындық қасиеттерді байқамаймыз?

### **ЗЕРТХАНАЛЫҚ ЖҰМЫС №12. ГЕЛИЙ-НЕОН ЛАЗЕРІН ЗЕРТТЕУ**

**Жұмыстың мақсаты:** Компьютерлік эксперимент арқылы лазерлерді, олардың құрылымын және жұмыс істеу принципін бақылау, сұрақтарға жауап беру, өлшеу көтөліктерін бағалау.

**Қажетті құрал-жабдықтар:** компьютер, видеопроектор, экран, виртуалды зертханалық жұмыс жазылған диск.

Лазерлер – жұқа монохроматикалық сәуле шыгаратын бірегей жарық көзі. Бұл жағдайда еріксіз сәулелену күйі атомдардың деңгейлері кері толтырылған ортада колданылды. Бұл тәжірибеде өздігінен сәулеленудің қасиеттері алдымен 1-тапсырмада зерттеледі. 2-тапсырмада деңгейлердің кері толтырылған күйге жететіні көрсетілген. 3-тапсырмада He-Ne лазерінде лазерлік сәулеленуді алушың қажетті шарттары зерттеледі.

### **Теориялық бөлім**

Лазер - ете қыска толқын ұзындығы диапазонында жоғары монохроматикалық жұқа сәуле шыгаратын жарық көзі. Сәулелену үзіліссіз

немесе  $10^{-12}$  с аз қыска мәндерге дейін бірнеше миллисекунд ұзақтығымен қысқа импульстар түрінде болуы мүмкін. Лазерлік сәулеленудің ерекшелігі можбурлі сәулеленудің қасиеттеріне, деңгейлерді кері толтыруды колдану арқылы генерациялау механизмінің ерекшелігіне және резонатордағы сәулеленудің күшеюіне байланысты қол жеткізіледі. Ең кең тараған лазерлердің бірі гелий-неон (He-Ne) лазері болып табылады.

### **Оз-озінен (Спонтанды) және еріксіз сәулеленулер**

Шілдің әлем микробөлшектердің - ядролардың, атомдардың және молекулалардың энергиялары еркіті мәндерді қабылдай алмайтындағы етіп күралымдалған. Олар энергия деңгейлері деп аталатын белгілі бір мәндерді ғана қабылдай алады. Бұл мәндердің  $E_1$  жиыны болшектердің әрбір түрі үшін өртүріліп біреуі сутегі атомы үшін, екіншісі гелий үшін. Әрбір болшектің күйі мен энергиясы басқа болшектермен немесе электромагниттік өріспен өрекеттескенде өзгеруі мүмкін.  $E_2$  энергиясы бар күйден өткенде жарық үзілістегі соуле (фотон) шығарады.

$$h\nu = E_2 - E_1 \quad (E_2 > E_1)$$

Жоғары деңгейге көтерілген кезде болшектер сырттан келетін бірдей үзілістегі электромагниттік толқындарды сініре алады.

А.Эйнштейн жарықтың затпен әсерлесуінің кванттық теориясын жасады. Контеңен тәжірибелер таңғаларлықтай расталған бұл теорияға әйкес, электромагниттік толқындардың затпен әрекеттесу процесі үш элементар өрекеттен тұрады - фотондардың жұтылуы және олардың өздігінен немесе еріксіз сәулеленуі. Бөлшек сергек күйде болса, яғни оның энергиясы 0-минималды мәнінен жоғары болса, онда бұл күй ұзаққа созылмайды. Бөлшек сыртқы әсерлерден толығымен оқшауланған болса да, біраз уақыттан кейін ол фотон шығарады және төмен энергиялық күйге өтеді. Мұндай өту спонтанды сәулелену деп аталады. Жеке болшектер дербес шығарылады, сәулеленудің бағыты және оның фазасы кездесеок. Мұндай тербелістерді

косқанда интерференциялық құбылыстар байқалмайды, сондықтан мұндай тербелістерді когерентсіз деп атайды. Барлық дәстүрлі жарық көздері өздігінен жарық шығарады. Әйтпесе, еркісіз сәулелену пайда болады. Егер атом энергиясы  $E_2$  және қозған күйде болса

$$v = (E_2 - E_1)/h,$$

егер ол жоғары жиілікті фотондармен сәулелендірлсе, ол сыртқы жақтан келетін фотонның  $E_1$  энергетикалық қүйіне дейін жиілігі, фазасы және тарапу бағыты бірдей фотонды шығара алады. Сыртқы сәулеленудің қарқындылығы неғұрлым жоғары болса, соғұрлым еркісіз ауысу орын алады. Мұндай сәулелену когерентті деп аталады, ейткені еркісіз ауысу кезінде пайда болатын электромагниттік толқындардың фазалары сыртқы толқындардың фазасымен катаң үйлестіріледі. Когерентті толқындар қосылғанда интерференция құбылысы байқалады.

### Денгейлердін инверс толуы

Қалыпты заттагы күйдің энергиясы неғұрлым жоғары болса, осы күйдің бөлшектері соғұрлым аз кездесетін белгілі. Демек, атомдардың қозған күйге отуі кезінде фотондардың жұтылуы төменгі күйге өткен кезде байқалатын еркісіз сәулеленуден көп болады. Нәтижесінде коршаган ортадағы резонанс жиілігі сөнеді. Еркісіз сәулелену жұтылудан үлкен болуы үшін сыртқы энергия көзінің есебінен тәменгі энергетикалық күймен салыстырғанда қозған күйдің суперзарядталған (кері) күйіне жету керек. Сонда орта белсенді күйде болады және резонанс жиілігінің толқындарын күшету мүмкіндігіне ие болады. Белсенді ортада резонанс жиілігі бар кванттардың қозғалысында, мысалы, өздігінен ауысу нәтижесінде олардың санының артуы – күшету байқалады, бірақ бір реттік кезде күшету коэффициенті ете аз (3-5%). Тұтқын ұштарында шағылыстыратын айналар орналастырылса, фотондардың белсенді орта арқылы көп рет өтүіне байланысты жоғары күшетуге қол жеткізуге болады.

Бұл жағдайда тұтқытің осі бойымен қозгалатын сәулелену ғана күшнейеді, ейткені басқа бағыттағы фотондар тутіктен шығады. Айналардың арасындағы қашықтық еркіт болуы мүмкін емес: айнага түсетін толқындар және олардан қайтып келетін (шағылған) толқындар бір-бірін күшетуі үшін жарты толқын ұзындығының бүкіл саны жол ұзындығына сәйкес келуі керек.  $(2k + 1) = \frac{\lambda}{2\pi}$ . Бір-бірінен алшақ орналасқан екі жалпақ айналар (мұнда  $k$ -бүтін) құрылғы резонатор деп аталады. Сәулеленуді болдырмау үшін олардың біреуінің шағылысы коэффициенті біреуден (0,97-0,98) кіші етіп жасалады.

### Не-Не лазері

*Лазер жұмыс іштейінде*

*шамендеғелдер қажет:*

*Инверс толтырылған*

*күй жасалған орта;*

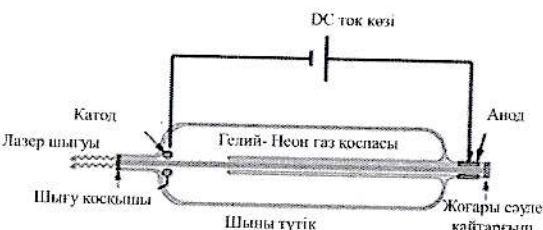
*бөлшектерді ояңған*

*метатұракты күйге*

*пуштетуру үшін*

*энергия көзінің және ортандың “белсенді” бөлшектерінің*

*синхронды жұмысын қамтамасыз ететін резонатор.*



12.1-сурет. Не-Не лазерінің түзілісі

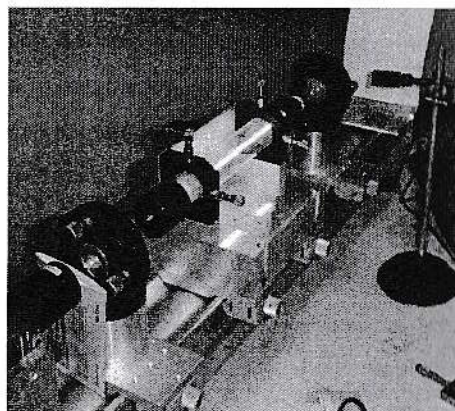
Не-Не лазері 15% гелий мен 85% неонның газ қоспасын пайдаланады. Бұл қоспа екі газдың да қасиеттерінің қолайлы комбинациясына байланысты белсенді орта болып табылады (12.1-сурет). Арапастырыш тұтікке берілген жоғары кернеу газда жыпылықтайтын электр разрядын тудырады. Разряд процесі кезінде гелий атомдарының бір белгілі электрондардың эсерінен өзінін, энергиясы 20,6 эВ болатын  $E_2$  метатұракты күйге көшеді. Неон атомдары негізгі күйден жоғары энергиясы 20,66 эВ болатын ұзак өмір өзүретін  $E_3$  күйіне ие. Гелий атомдары соктығысу кезінде өз энергиясын неон атомдарына оздігінен сәуле шығарусыз жиі береді. Мұндай энергияның

берілуі резонанстық қозғалтқыштың көзінде оның атомдарының тұрғындағы күйінен жаңайылған болады. Осы соктығыстардың нәтижесінде гелий атомдары  $E_1$  күйіне, ал неон атомдары қозған  $E_3$  метатұрақты күйге ауысады. Шагын энергия тапшылығы ( $0,05$  эВ) қозғалтқыштың атомдардың кинетикалық энергиясымен етеді. Нәтижесінде неон атомының метатұрақты күйі  $E_3$ -ден күйіне қарағанда көбірек толтырылған болып шығады, ал лазердің жұмысына қажетті кері толтыру орын алады. Осылайша, Не-Не лазеріндегі гелий гелийден неонға резонанстық түрде тасымалданатын ояту резервуары ретінде қызмет етеді. Шығатын тұтқыншылықтары, біріншіден, қажетсіз шағылыштарды болдырмау үшін, екіншіден, поляризацияланған сәулеленуді алу үшін бұктеледі. Резонатордың күрайтын бейметалдардың орнын баптау құрылғыларының көмегімен реттеуге болады. Электр зарядын ұстап тұру үшін тұтік ішіндегі электродтарға қуат көзінен жоғары кернеу қолданылады. Не-Не лазер (12.2-сурет) үздіксіз режимде жұмыс істейді, бұл көптеген практикалық қолданбаларға ынғайлыш. Не-Не лазерлерінің қуаты бірнеше ондаған милливаттқа жетеді.

Жақсы жобаланған лазерде сәуленің бұрыштық дивергенциясы дифракциямен ғана шектеледі және  $\lambda/D$ ретті, мұндағы  $\lambda$  - сәулелену толқынының ұзындығы және  $D$  - шығыс айнасының диаметрі.

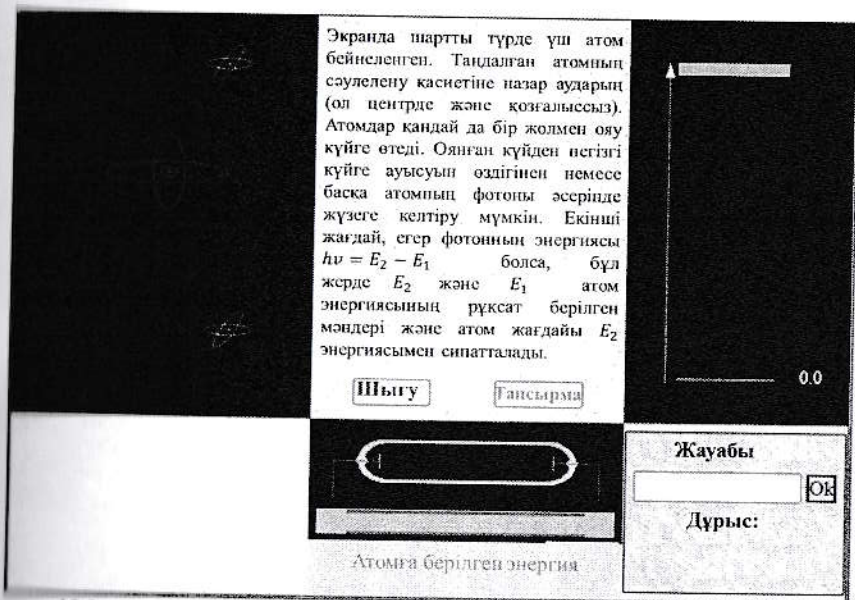
### 1-тапсырма

Экранда шартты түрде үш атом бейнеленген (12.3-сурет). Таңдалған атомның сәулелену қасиетіне назар аударыңыз (ол центрленген және



12.2-сурет. Не-Не лазер құрылғысының көрінісі

козғалмайтын). Атомдар қандай да бір түрде ояу күйге етеді. Қозған күйден негізгі күйге ауысу өздігінен немесе басқа атомның фотонының эсерінен болуы мүмкін. Екінші жағдай, егер фотон энергиясы  $h\nu = E_2 - E_1$  болса, мұндагы  $E_2$  және  $E_1$  атом энергиясының рұқсат етілген мәндері және атомдық күй  $E_2$  энергиясымен сипатталады.



12.3-сурет. 1-тапсырма бойынша тәжірибелік құрылғының көрінісі

Гапсырма пернесін басып, дұрыс жауапты таңдаңыз

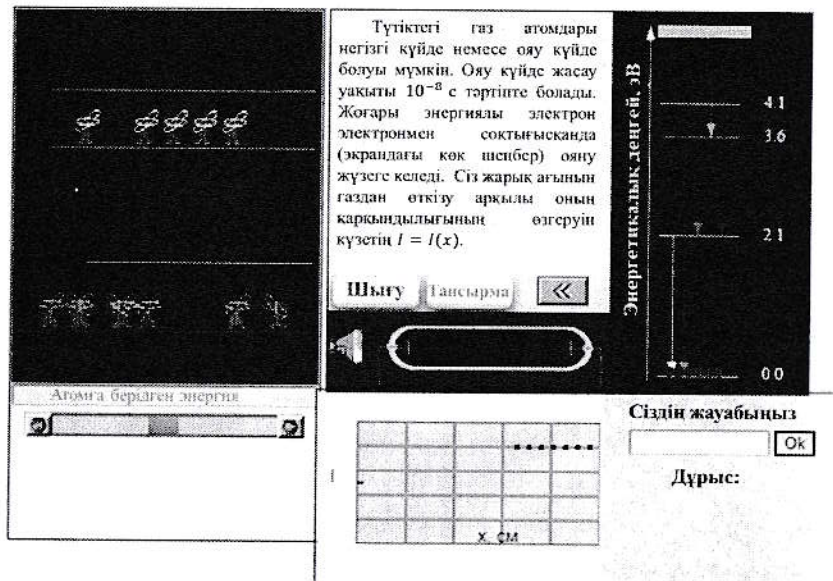
- Отілетін жарық қарқындылығы тым төмен
- Мұндай жүйеде атомдардың оянуы байқалмайды
- Атомдардың көпшілігі ояу емес
- Ояу күйдегі атомдар саны өте көп

### 2-тапсырма

Тұтіктері газ атомдары негізгі күйде немесе қозған күйде болуы мүмкін. Ояу откізілген уақыт  $10^{-8}$  секундтар ретімен болады. Ояну энергиясы жоғары

электрон электронмен соқтығысқанда пайда болады (12.4-суреттегі кок шенбер). Газ аркылы жарық шоғын өткізіп, оның қарқындылығының өзгеруін байқауга болады  $I = I(x)$ .

“Тапсырма” пернесін басып, жоғарыдағы сұраптарға жауап берініз



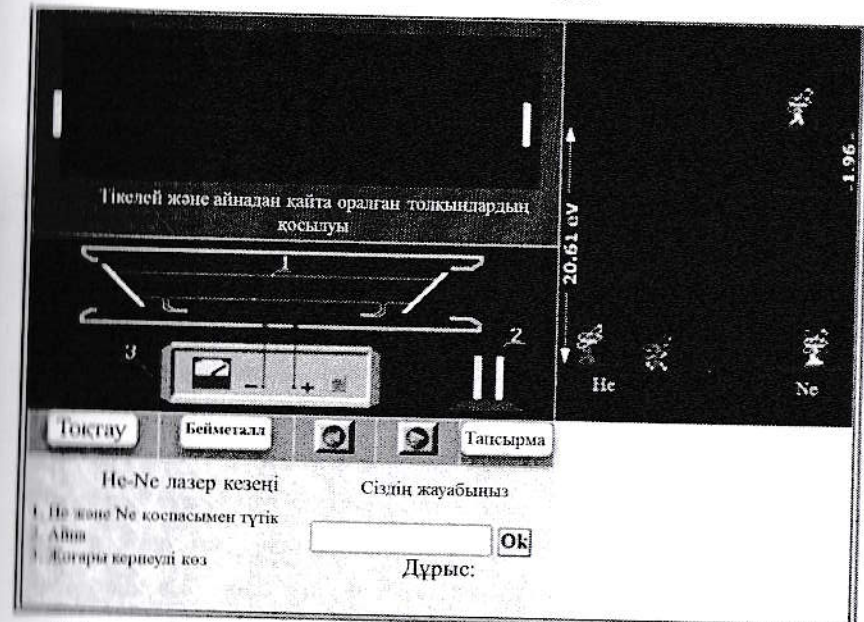
12.4-сурет. 2-тапсырма бойынша тәжірибелік құрылғысының көрінісі

### 3-тапсырма

#### Жұмысты орындау тәртібі:

- Сізге лазерлікжұмысын модельдеу құрылғысында тапсырмалар ұсынылады (12.5-сурет).
- Алдымен лазерлік құрылғымен танысыңыз.
- Содан кейін жоғары кернеу көзін қосып, газ түтігінің ұштарына металл болмаган айналар орнатыңыз.
- Енді алынған жүйені реттеуінізкәжет (“Айналарды реттей”).

- Ол үшін айналардың бірінің көлденен осі бойымен сәйкес түймелерді жылжытыңыз және тікелей және шағылысқан жарық толқындарының интерференциясының графигін зерттеңіз және талдаңыз.
- Айна позицияларының бірінде лазер жарық сәулесін шығара бастайды.
- Бұл жағдайда қалай сипаттар едіңіз?
- Гелий мен неон атомдары арасындағы энергия алмасуды сипаттайтын модельді әзірлеуді қарастырыңыз.
- Әрбір атом кандай рөл аткарады?
- 10-тапсырмалардың сұраптарына жауап берініз.
- 11.Қысқаша мазмұны мен баяндамасын жазыңыз.



12.5-сурет. 3-тапсырма бойынша тәжірибелік құрылғысының көрінісі

#### Бақылау сұраптары:

- Атомдардың өздігінен сәулелену процесін түсіндіріңіз?

- Атомдардың еріксіз сәулеленуі дегеніміз не және оның физикалық мағынасын түсіндіріңіз?
- Денгейлердің кері толыктауы дегенді қалай түсінесіз?
- Лазер сөзінің кеңейтілген мағынасын түсіндіріңіз?
- Лазерлер мен лазерлердің бір-бірінен айырмашылығы?
- Не-Не лазерінің құрылымы мен жұмыс істей принципін түсіндіріңіз?
- Лазердің кандай түрлерін білесіз?
- Рубин лазері мен Не-Не лазерінің айырмашылығын түсіндіріңіз?

### **ЗЕРТХАНАЛЫҚ ЖҰМЫС № 13. ЖАРТЫЛАЙ ӨТКІЗГІШТІ ЛАЗЕРДІ ЗЕРТТЕУ**

#### **Жұмыстың маңызы:**

- Жартылай өткізгішті лазерлердің құрылымы мен жұмыс істей принципін зерттеу;
- Жартылай өткізгішті лазерлердің толқын ұзындығын дифракциялық тор арқылы анықтау.

**Қажетті құрал-жабдықтар:** Жартылай өткізгішті лазер, оптикалық негіз, дифракциялық тор, миллиметрлі қағаз.

#### **Теориялық бөлім**

Жартылай өткізгішті лазер - қатты күйдегі лазердің ерекше түрі. Кері басып алудың қалыптасуын және осы типтегі лазерлерде когерентті сәулеленуді қабылдауды энергия денгейлері мен энергетикалық ерістер негізінде түсіндіруге болады. Кванттықфизика негіздері бойынша қатты денені құрайтын атомдардагы электрондар олардың ішінде болады, ядролармен электрлік күштер арқылы байланысады, ал байланыс энергиясы дискретті мәндерді қабылдайды. Ядрога ең жақын электронның ең аз дискретті энергиясы бар және оны ең қатты энергетикалық денгейде деп

сияуга болады. Бұл ядрога ең жақын ядродан ең алыстағы электронның энергиясы тұрған (яғни, ең төменгі энергетикалық денгейде орналасқан) электронның энергиясынан үлкен және ол жоғары энергетикалық денгейде орналасқан деп болжауга болады. Электрондар орналасқан көптеген денгейлер бар және қатты денелердің жолақ теориясына сәйкес бұл денедегі атомдардың энергетикалық денгейлерінің жиынтығы қатты денениң энергетикалық жолақтарын құрайды.

Атомдагы әрбір электронның құйі төрт кванттық санмен сипатталады.

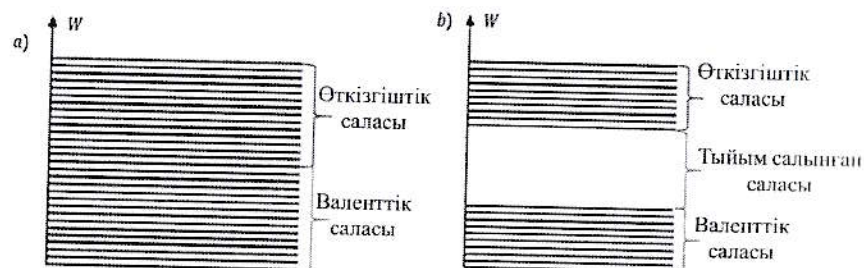
Бас кванттық саны  $n$  ( $n = 1, 2, 3, 4, \dots$ )

Орбиталық кванттық саны  $l$  ( $l = 0, 1, 2, 3, 4, \dots$ )

Магниттік кванттық саны  $m$  ( $m = -l(-l+1), \dots, 0, 1, 2, \dots, +l$ )

Спин кванттық саны  $m$  ( $m = \pm 1/2$ )

Қатты атомдардың электрондық қабатындағы электрондар ядромен байланысқандықтан валенттік электрондар деп аталады, ал олар орналасқан энергия денгейлерінің жиыны валенттілік өрісі деп саналады. Тыйым салынған аймақ валенттілік өрісінің жоғарғы жағында орналасқан электрондардың байланыс энергиясына тән энергетикалық санылау болып саналады. Бұл аймақ валенттік зона мен өткізгіштік зонаның арасында орналасқан және энергия бойынша тыйым салынған жолақтың ең өткізгіштік зонаның төменгі шегінің энергиясына қараганда валенттіймақтың жоғарғы шекарасының энергетикалық айырмасына тән. Электрондық энергия денгейлері мен аймақтарының схемалық диаграммасы 13.1-суретте берілген.



13.1-сурет. а) металларда; (б) диэлектриктердегі энергетикалық зоналардың диаграммалары

Жартылай откізгіш материалдарда энергетикалық салалар диаграммасы да 13.1-суретте көрсетілген. Тыйым салынған саланың кеңдігі ғана диэлектриктікінен аз, ал оның мәні бір электрон вольт айналасында болады. Жартылай откізгіштікристалдарғанегізделгенқаттықүйдегілазерлер жартылай откізгіштілазерлердепаталады.

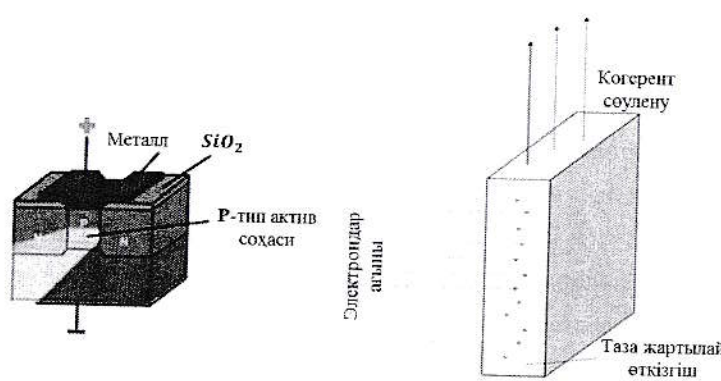
Бұл лазерлерде рұқсат етілген энергетикалық салалардағы сәулеленуі кванттық ауысулардан пайдаланады. Жартылай откізгішті белсенді ортада үлкен оптикалық күшету көрсеткішіне ( $10^4 \text{ см}^{-1}$ ) кол жеткізуге болады. Бұл лазерлерде резонатордың ұзындығы  $50 \mu\text{m} - 1 \text{ mm}$  аралығында болады. Жартылай откізгішті лазерлер (ЖӨЛ) өте кішкентай, бірақ сонымен бірге инертсіздігі ( $10^{-9} \text{ с}$ ), ПӘК жогарылығы (30%), спектрлік құрамды реттеу мүмкіндігі, белсенді орта ретінде қолданылатын заттардың көп мөлшері, сәулелену толқын ұзындығы  $l = 0,3 - 30 \mu\text{m}$  болуымен, олар басқа лазерлерден ерекшеленеді. Жартылай откізгішті лазерлердегі белсенді бөлшектер - бос электрондар мен санылаулар, олар белсенді ортада инъекцияға, диффузияға және дрейфтеуге болатын бос заряд тасымалдаушылар болып табылады. Жартылай откізгішті лазерлерде негізгі допинг әдісі электр энергиясын тіkelей анық когерентті сәулелену энергиясына түрлендіретін  $n$  - рөтуі немесе гетеро өтуарқылы инжекция болып табылады. Бұл инжекциялық лазер деп аталады.

Электрлік тесіп өту әдістері (стримерлік лазер), электронмен атқылату әдісі (электрондық қоспамен) және оптикалық қоспа әдістері бар. Н.Г.Басов және оның әріптестері ұсынған оптикалық қоспалы жартылай откізгішті лазерлер  $n$  - рөтуде GaAs кристалындаалғаш рет Р.Холл, М.И.Нейтен (АҚШ), ал электрондық қоспалы жартылай откізгіш лазерлерді Басов және оның қызметкерлері жасаган.

### Жартылай откізгіштердегі тепе-тендік емес құйлер салаларынарасындағы ауысулардағы сәулелену рекомбинациясы

Идеал жартылай откізгіште абсолютті нөлден жоғары температурада ток (немесе откізгіштік) генерациясы жылулық қозғалыс арқылы откізгіштік аймагында электрондардың генерациясында шешуші рөл атқарады. Басқаша айтқанда, оң абсолютті температурада өрістер арасындағы жылу балансының пайда болуына байланысты откізгіштік өрісте электрондар пайда болады. Жылулық тепе-тендіктегі жартылай откізгіштер лазерлер үшін жарамсыз. Лазерлерде қолдану үшін жартылай откізгіштегі заряд тасымалдаушылар тенгерімсіз қүйде болуы керек. Жартылай откізгіштерді бұл қүйге әртүрлі төсілдермен ауыстыруға болады. Лазерлерде қолданылатын жартылай откізгіштер осы мақсат үшін үш әдісті қолданады:

- 1) жартылай откізгіштер оптикалық релаксацияны, яғни қуатты когерентті немесе когеренттісіз сәулелердегі жарық кванттарымен жартылай откізгіш атомдарды сәулелендіруді пайдалана отырып, жоғары жиілікті сыртқы сәулеленумен (оптикалық қозу әдісімен) жарықтандырылады; (13.2-а, сурет)



13.2-сурет. а) оптикалық түндірүү әдісі

б) Электрондар ағынымен түндірүү әдісі

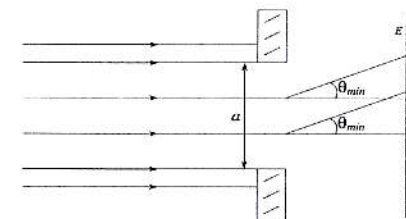
2) жартылай өткізгіштер электронды токпен сәулеленеді; электрондарды қозу әдісімен, яғни электрондардың жылдам ағыны бар жартылай өткізгіш арқылы атқылату; (13.2 б-сурет)

3) Сыртқы электр ерісі колданылады: оны  $p - n$  өткеліне дұрыс кернесу бергенде заряд сініргіштердің айдау арқылы байқауга болады;

Соңғы жағдайда  $p - n$  өткелдерін қолдану ең тиімді. Заряд тасымалдаушылардың концентрациясы тенгерілмеген жартылай өткізгіштердегі радиациялық рекомбинацияны қарастырайық. Рекомбинация процесі – бос заряд тасымалдаушылардың электронды және санылау жүптарының жоғалуын тудыратын процесс. Жалпы алғанда, рекомбинация нәтижесінде бөлінетін энергия үш түрлі процесс түрінде өтеді: фотонды генерациялау (радиациялық рекомбинация), торлы қыздыру (фонондық генерация), заряд тасымалдаушылардың кинетикалық энергиясының артуы (Оле рекомбинациясы). Лазерлік сәулелену осы процестердің біріншісіне, сәулелену рекомбинациясына жатады.

Дифракция құбылысы – жарық сәулесінің кішкене санылаудан өтуі немесе кедергіні айналып өтуі.

Жарық толқындарының дифракциясы қалыпты жағдайда байқалмайды. Жарық дифракциясын бақылау үшін арнайы жағдай жасау керек. Мұның себебі, біріншіден, жарықтың толқын ұзындығы  $\lambda$  кедергілердің (немесе санылаулардың) өлшемдерінен бірнеше есе аз. Сондықтан дифракцияны бақылау, яғни жарықтандырудың қалыпты кескіннен (геометриялық оптика негізінде) кедергіден үлкен қашықтықтағы айырмашылығы ( $l \geq \frac{a^2}{\lambda}$ ) мүмкін болады. Мысалы, айнымалы санылау ені арқылы жалпақ толқындық фронты бар жарықтың (лазер сәулесінің сәулесі) өтуі кезінде келесі кескінді байқауга болады (13.3-сурет). Санылаудың көндігің салыстырмалы үлкен болғанда ( $l \gg \frac{a^2}{\lambda}$ ) санылау көндігін азайту кескін өлшемін азайтады. Санылаудың көндігің толқын ұзындығына тең болады ( $l \geq \frac{a^2}{\lambda}$ ) кескіннің өлшемі бақыланатын қашықтыққа қарай артады және бірнеше кескінге бөлінуі мүмкін.



13.3-сурет. Шекті сәуле шогырының бұрыштық таралуы

Дифракция құбылыстарын Гюйгенс-Френель принципі негізінде түсіндіруге болады. Осы принципке сүйене отырып, толқын бетінің эрбір нүктесін екінші реттік сфералық толқындардың көзі ретінде қарастыруға болады. Сондықтан, экранның белгілі бір нүктесіндегі жарық тербелістерін осы нүктеге келетін екінші реттік толқындардың амплитудасы мен фазаларын ескере отырып, олардың косылуы ретінде қарастыруға болады.

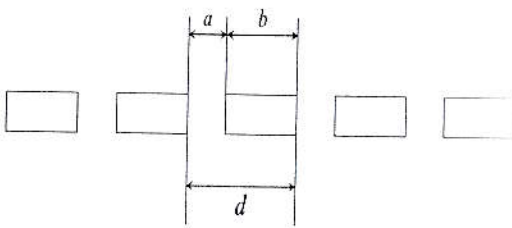
Жарықтандырғандағы құбылысты тудыратын дифракциялық торды пайдалануда байқауыныз мүмкін. Дифракция шығымдатор мәлдір деп

айтсақ, мезгіл-мезгіл шыны пластинаға параллельді, өткізбейтін қара сзықтар сзылады және олардың арасында өткізгіш оптикалық күрылғыға жатады. Сондыктан қара жолдарды саңылаулар ретінде қарастыруға болады (саңылаулардың саны 1 мм-де 1700-ге дейін болуы мүмкін). Дифракциялық тордың  $d$  периоды қара сзықтардың ені  $b$  болатын саңылаулардың а енінде косындысы болып табылады (13.4-сурет).

Сонымен,

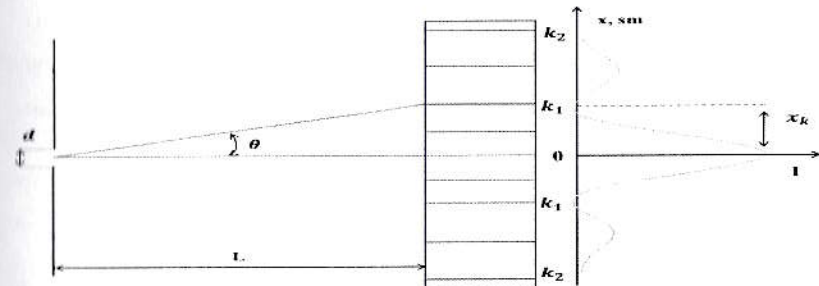
$$d = a + b. \quad (1)$$

Сәулелер шоғы (жазық толқындар) дифракциялық тордың бетінен параллель түссін. Гюйгенс-Френель принципі бойынша дифракциялық тордағы саңылаулардың әрбір нүктесін әртүрлі бағыттағы жарықтың шашырау центрі ретінде қарастыруға болады.



13.4-сурет. Дифракциялық тор сипаттына байланысты

Саңылаудан шыққан сәулелер бір-біріне кедергі келтіреді және бір бағытта бір-бірін күшетіп, басқа бағытта әлсірей алады. Дифракцияланған сәулелердің интерференциясы нәтижесінде линзаның фокустық жазықтығында орналасқан экранда айқын максимум және минимум қарқындылығы бар дифракциялық көрініс пайда болады (13.5-сурет).



13.5-сурет. Зертханалық күрылғының схемасы

Көріністегі негізгі максимумға  $\theta_n$  бағыттары (олардың фокустық жазықтықтағы орны) іргелес саңылаулардан екінші реттік толқындардың озара күшеюінен анықталады (жол айырмасы толқын ұзындығының бүтін есеплілігіне тең):

$$ds \sin \theta_n = \pm k \lambda, \quad (2)$$

бұл жерде,  $k$  – кез келген бүтін сан ( $0, \pm 1, \pm 2, \dots$ ). Бұл сан орталық максимумдардан бастап қалған максимумдардың ретін көрсетеді.

Негізгі максимум үшін  $k = 0$ ,  $\sin \theta = 0$  және оның жарықтығы жогары. Оның сол және оң жағында бірінші, екінші және т.б. реттік жарықтандыру максимумдары орналасқан. Егер дифракцияланған жарық монохроматикалық болса, максималды диапазон жұқа күнгірт жолактармен белінеді.

Дифракциялық тордан экранга дейінгі қашықтықты ( $L$ ), нөлдік және  $k$  ретті максимумдар арасындағы қашықтықты ( $x_k$ ) және дифракциялық тор тұрақтысы ( $d$ ) анықтай отырып, жартылай өткізгіш лазердің толқын ұзындығын ( $\lambda$ ) анықтаудың жұмыс формуласын аламыз.

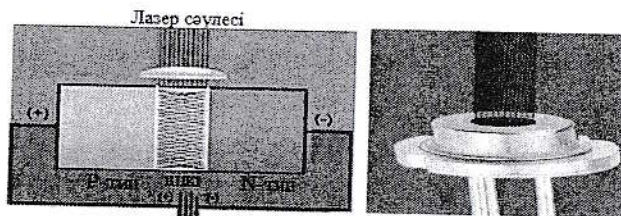
Кіші дифракция бұрыштарында  $\operatorname{tg} \theta_n \approx \sin \theta_n$  болатынын көреміз.

$$\operatorname{tg} \theta_n \approx \frac{x_k}{L} \quad (3)$$

Сондыктан (2) және (3) формулалардан келесі қатынасты алуға болады:

$$\lambda = \frac{x_k \cdot d}{L}. \quad (4)$$

Бұл өрнектен көрініп тұрғандай, дифракциялық тордан экранға дейінгі қашықтықты ( $L$ ), нөлдік және  $k$  ретті максимумдар арасындағы қашықтықты ( $x_k$ ) және дифракциялық тор константасын ( $d$ ) өлшеу арқылы жартылай өткізгіш лазердің толқын ұзындығын ( $\lambda$ ) анықтаймыз.



13.6-сурет. Жартылай өткізгішті лазердің ішкі құрылымы және көрінісі

#### Жұмысты орындау тәртібі:

- Құрылғыны 13.5-суретте көрсетілгендей жинаңыз.
- Оптикалық негізге дифракциялық тор орнатылған.
- Жартылай өткізгішті лазер ток көзіне қосылған және дифракциялық тор арқылы дифракциялық көрініс байқалады.
- Экраннан дифракциялық торға дейінгі қашықтықты ( $L$ ) өлшеніз.
- Нөл мен реттік  $k$  максимум арасындағы қашықтықты ( $x_k$ ) өлшеніз.
- Кіші бұрыштар үшін  $tg\theta_n \approx \sin\theta_n$  болғандықтан  $tg\theta_n = \frac{x_k}{L}$  қатынасы табылады және (4) формула бойынша толқын ұзындығын есептейміз.
- Өлшеу және есептеу нәтижелерін төмендегі кестеге жазамыз.

№	Түсі	$d$ , (м)	$k$	$L$ , (м)	$x_k$ (м)	$\lambda$ , (м)	$\lambda_{\text{орт}}$ , (м)	$\Delta\lambda$ , (м)	$\Delta\lambda_{\text{орт}}$ , (м)	$\varepsilon_r$ , (%)
1	Кызыл									
2	Жас									

	ыл									
3										

9. Тәжірибедегі өлшемдердің қателіктері анықталады.

#### Бақылау сұрақтары:

- Дифракция құбылысын түсіндіріңіз және дифракцияны бақылау шартын жазыңыз.
- Гюйгенц және Гюйгенц-Френель принциптерін түсіндіріңіз.
- Бір саңылау арқылы дифракциялық көріністі сынан және дифракциялық максимумдары мен минимумдарының пайда болуын түсіндіріңіз.
- Дифракциялық тордың максимум және минимум шарттарын жазыңыз.

#### ЗЕРТХАНАЛЫҚ ЖҰМЫС №14. ЛАЗЕР СӘУЛЕСІНІҢ СҮЙЫҚТА ЖҰТЫЛУ ЗАҢДЫЛЫҚТАРЫН ЗЕРТТЕУ

##### Жұмыстың мақсаты:

- Лазерлік сәулеленудің негізінде жатқан физикалық процестерді зерттеу;
- Жұтылған және өтетін сәулелердің интенсивтілігінің өзгеру зандылықтарын эксперименттік зерттеу.

**Қажетті құрал-жабдықтар:** LG-104 типті гелий-неонды газ лазері, фотоэлемент, әртүрлі ұзындықтағы екі жақты мелдір түтіктер, штатив, универсал микрометр, корганыс қабығы.

##### Теориялық негіздеме

Электромагниттік толқындар сұйықтыққа түскенде, олар ішінара жұтылады және ішінара беріледі.

Алдымен оптикалық біртекті орта арқылы өтетін электромагниттік толқындар процесін талдаң көрейік.

Электромагниттік толқын оптикалық біртекті зат арқылы өткенде толқын энергиясының бір бөлігі электрондардың тербелісін арттыруға жұмсалады. Бұл энергия электрондар жасаған екінші реттік толқындар түрінде сәулеленуге ішінара оралады, ал ішінара энергияның басқа түріне айналады. Сонымен, жарық зат арқылы өткенде оның интенсивтілігі төмендейді — жарық затпен жұтылады.

Тәжірибе көрсеткендегі, жарық қарқындылығының өзгеруі  $dx$  қашықтықка және түскен жарық интенсивтілігіне  $J$  пропорционал болады:

$$dJ = -k J dx \quad (1)$$

Бұл өрнекте  $k$  — жұту коэффициенті, ол жұтатын заттың қасиеттеріне байланысты. Минус таңбасы жарық интенсивтілігі  $dx$  қашықтықта  $dJ$  төмендейтінін көрсетеді.

$J$  жұтатын қабатқа түсетін жарықтың қарқындылығы болсын. Заттың қалындығы  $dx$  қабаты арқылы өтетін жарықтың  $dJ$  интенсивтілігін табайық. Ол үшін (1) өрнекті айнымалыларға бөлеміз, содан кейін біріктіреміз:

$$\int_{J_0}^J \frac{dJ}{J} = -k \int_0^x dx$$

Болғандықтан,  $\ln J - \ln J_0 = -kl$  осыдан қалыптасады

$$J = J_0 \cdot e^{-kl} \quad (2)$$

(2) катынасы Бугер заңы деп аталады. Бұл заңға сәйкес жұтатын затта жарықтың интенсивтілігі экспоненциалды турде төмендейді.  $l = 1/k$  болғанда қарқындылығы  $J_0$ -ден не сезеаз. Осылайша, жұтылу коэффициенті — қабаттың қалындығына керіпропорционалшама, ол еттін жарықтың қарқындылығыне ессеазайтады.

Жұтукоэффициенттік толқынұзындығынабайланыстыл.

Атомдарынемесемолекулалары өзара іс-кимылжасамайтындерлік заттардағы (газдардағы)

жұтукоэффициенттік ернестінаймақтың толқынұзындығы үшіннелгежакын, откір максимумдары өткесе (λ < 3000 Å) спектрлік толқынұзындығындағанabolады.

Осы максимумдарғаса жескелеттің жіліктератомдағы электронтербелістерінің резонанстық жіліктерінесә жескеледі.

Абсорбция максимумдары қопатомды молекулалар үшінде олардың кұрамындағы электрондардың тербелістерінесә жескеледі.

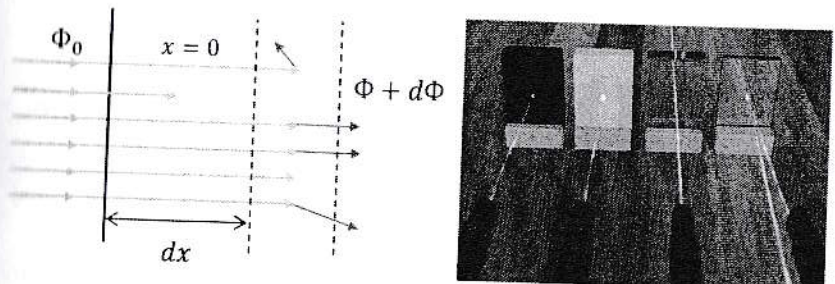
Молекулалары әлсізәрекеттесетінерітінділер үшін сініру коэффициенті. Абсорбция максимумдары қопатомды молекулалар үшінде олардың кұрамындағы электрондардың тербелістерінесә жескеледі.

Молекулалары әлсізәрекеттесетінерітінділер үшін сініру коэффициентік интенсивтіліктердебайқалады.

$$k = k' n \quad (3)$$

бул жерде,  $n$  — ерітіндінің концентрациясы, ал  $k'$  — бірлік концентрация үшін сініру коэффициенті. Бұл өрнек Beer заңы деп аталады. (3) өрнегін (2) орынна койып, шешімдер үшін Бугер-Ламберт заңының корінісін аламыз:

$$J = J_0 \cdot e^{-n l k'} \quad (4)$$



14.1-сурет. Зертханалық құрылғысының жұмыс істеу принципі және сыртқы корінісі

Жоғарыда көлтірілген (2) және (4) өрнектер оптикалық біртекті орта үшін жарамды. Оптикалық біртекті емес ортада екінші реттік электромагниттік толқындардың бір бөлігі барлық бағытта шашыраны

болады. Осы шашырау нәтижесінде бастапқы жарық ағынының энергиясы азаяды.

Жұтатын орта арқылы таралатын параллель жарыктың кең шоғын қарастырайық.  $x = 0$  жағындағы бастапқы жарық ағыны  $\Phi_0$  арқылы анықтайық. Ортадагы  $dx$  қабаты арқылы өткенде жұтылу мен шашырау есебінен жарық ағыны азаяды, ал оның  $\Phi(x)$  мәні бастапқы  $\Phi_0$ -мен салыстырғанда төмендейді. Ортандың ені  $dx$  бөлігінен өтетін немесе  $x + dx$  қабаты арқылы өтетін ағын  $\Phi + d\Phi$ -ке тең және оның шамасы  $\Phi_0$ -ден аз. Сонда жарық ағынымен өрнектелген *Бугер-Ламберт* заңының көрінісі келесідей болады:

$$\Phi(x) = \Phi_0 \cdot e^{-k_0 x} \quad (5)$$

бұл жерде,  $k_0$ - жарық ағынының әлсіреу коэффициенті, жұтатын ортандың табиғатына тәуелді шама, шашыраудан жарық ағынының әлсіреуі.

$$k_0 = k + \mu \quad (6)$$

түрінде жазуга болады.

Осылайша, жарық ағыны мәлдір орта арқылы өткенде әлсірейді. Егер жарыктың жұтылуы мен шашырауын көрсететін  $k_0$ -ді жұту және шашырау коэффициенттеріндәркесек:

$$\Phi(x) = \Phi_0 \cdot e^{-(k+\mu)x}, \quad (7)$$

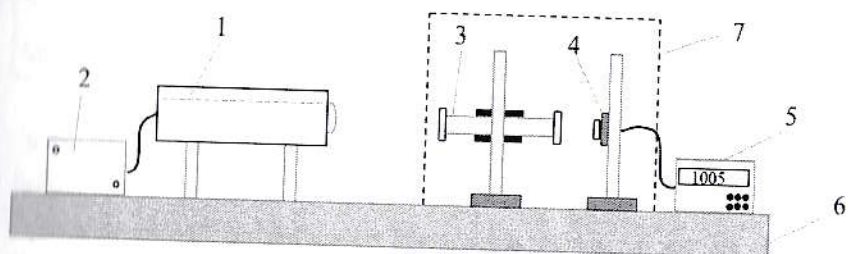
(2), (4) және (7) өрнектерінен мәлдір сұйықтықтардағы жарыктың жұтылуын зерттеу үшін күшті жарық ағыны пайда болуы керек екені анық.

Сұйықтардағы лазер сәулесінің жұтылу зандалықтарын зерттеу үшін қуаттылығы аз гелий-неон газды лазерін колданамыз. Өйткені сұйықтар арқылы жогары энергиялы электромагниттік толқындар өткенде сыйыкты емес құбылыстар орын алып, сұйық молекулалары үзіліу мүмкін.

#### Экспериментал құрылғы және жұмысты орындау тәртібі:

Сұйықтардағы жарық толқындарының жұтылу зандалықтарын зерттеу мақсатында құрастырылған құрылғы гелий-неонды газ лазерінен 1, ток

көзінен 2, екі жағына зерттелетін сұйық орналастырылған әр түрлі ұзындықтарға мәлдір түтіктерден 3, а. оптикалық негіз 6, корғаныс қабығы 7, фотоэлемент 4 және микроамперметр 5 (14.2 -сурет).



14.2-сурет. Зертханалық құрылғының түзілісі

Жұмысты орындау алдында газ лазерінің, сұйық түтіктің және фотоэлементтің бір оптикалық осыте орналасуы қамтамасыз етіледі. Біз білетіндей, лазер сәулесі когерентті толқын болып табылады. Сұйықтардағы осы когерентті жарық толқындарының әлсіреуін зерттеу сұйықтықтардың жарыктың сіңірумен байланысты қасиеттерін ашады.

Сондай қасиеттердің бірі сұйықтан өтетін жарық ағынының сұйық концентрациясына тәуелділігі.

Зертханалық жұмыста жарық ағынын жазу үшін жартылай өткізгіш фотоэлемент қолданылады. Фотоэлементте оған түсетін жарық мөлшеріне пропорционал фототок пайда болады (Столетов заны). Мұндай фотоэлементтің таңдау оның лазерлік толқын ұзындығы диапазонында електрлік сезімталдығының жоғары болуына негізделген. Фототок сұйық кристалдарға негізделген жоғары сезімталдықты цифрлық микроамперметр көмегімен жазылады. Жарыктың әлсіреу зандалықтарын зерттеу үшін сұйық ретінде дистилденген су, ас тұзы мен қанттың судағы ерітіндісі қолданылады. Өлшеу сыртқы жарықтан корғайтын жабын астында немесе қарангыда жүргізілуі керек. Бұл жұмыста сұйықтардағы лазер сәулесінің жұтылуы когерентті жарық толқындарын жұтатын ортандың калындығы мен концентрациясына байланысты екенін зерттеуге болады.

### Жұмыс тәртібі:

- Газ лазері ток көзіне қосылып, 5-10 минут қыздырылады;
- Концентрлі сұйық немесе тазартылған суды алып, ұзындығы әртүрлі 9-10 түтікке құяды.
- Бос түтік арқылы өтетін лазер сәулесі тудыратын фототоктың максималды мәні микроамперметр көрсеткішінен жазылады.
- Құрамында белгілі концентрациядағы сұйық бар түтіктің ең кіші ұзындығынан бастап, штативтің көмегімен түтіктер лазер сәулесінің жолына бір-бірден орналастырылады және әрбір ұзындықтағы микроамперметр көрсеткіші жазылады.
- Әрбір түтік ұзындығы үшін тәжірибелі 3-4 рет қайталаныз және фототоктың орташа мәнін анықтаңыз.
- Алынған нәтижелер негізінде  $I_{\text{opt}} = f(l)$  график салынады.
- Енді бірдей ұзындықтағы 7 – 8 пробирканы алып, оған концентрациясы  $n_0, n_0/2, n_0/4, n_0/8, n_0/16, n_0/32$  сұйықтарын салынды.
- Әрбір концентрациядағы сұйық лазер сәулесінің жолына орналастырылады және эксперименттерді қайталау арқылы фототок мәндерінің  $I_{\text{opt}}$  орташа мәнін табады.
- Сұйықтың берілген ұзындығы үшін  $I_{\text{opt}} = f(n)$  байланыс графигі салынады.
- Өлшеу қателіктерін бағалаңыз.
- Алынған эксперимент нәтижелерін теориямен салыстырыңыз.

№	$l$ (м)	$I$ (А)	$n_0$ ( $\text{m}^{-3}$ )	$k$
1(бос ыдыс)		$I_0$	0	
2			$n/2$	
3			$n/4$	
4			$n/8$	
5			$n/16$	

6			n/32	
7			n/64	
8			n/128	
9			n/512	
Орташа				

### Бақылау сұрақтары:

- Лазерлік сәулеленуде болатын процестерді түсіндіріңіз.
- Лазердің қандай түрлерін білесіз?
- Гелий-неонды лазердің жұмыс істеу принципін түсіндіріңіз.
- Жарық сәулелері заттар арқылы өткенде шағылған, жұтылған және өтетін саулелердің интенсивтілігінің озгеру заңдылықтарын түсіндіріңіз.
- Қоршаган ортадағы жарықтың жұтылуы жұтатын органдың калындығына байланысты және ол концентрацияга қалай тәуелді?

### ЗЕРТХАНАЛЫҚ ЖҰМЫС №15. ЯДРОЛЫҚ СӘУЛЕLENУЛЕРДІ ТІРКЕУ ҚҰРЫЛҒЫЛАРЫ – ДЕТЕКТОРЛАРДЫҢ ҚҰРЫЛЫМЫ ЖӘНЕ ЖҰМЫС ИСТЕУ ПРИНЦИПІН ЗЕРТТЕУ

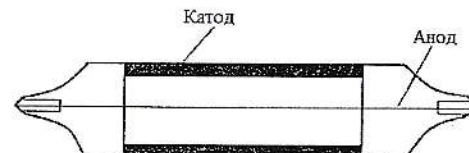
**Жұмыстың мақсаты:** әртүрлі сәулелену көздерінен ядролық саулеленуді тіркесу әдістерімен, тіркейтін құрылғылар-детекторлардың құрылымы мен жұмыс істеу принциптерімен танысу.

**Қажетті құрал-жабдықтар:** Гейгер-Мюллер есептегішінің, әцинтилиятордың, фотокөбейткіштің және басқа детекторлардың мысалдары, ДП-5 А, Б, В радиометрі, детекторлардың жұмыс істеу принципін түсіндіреді: диаграммалар және басқа да суреттер.

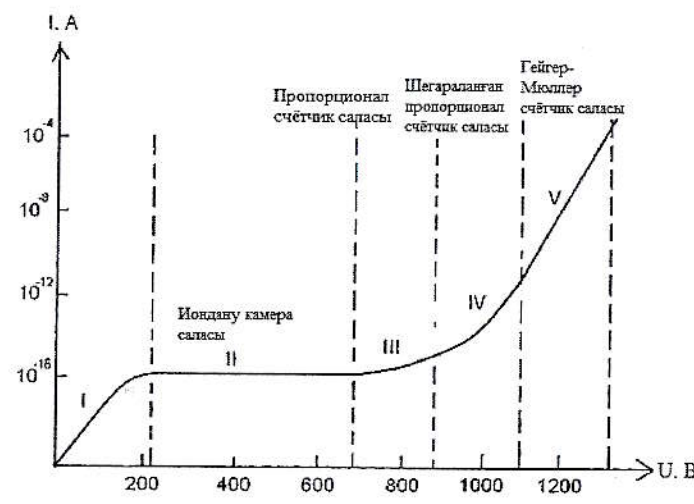
### Теориялық болім

Гейгер-Мюллер санағышы

Гейгер-Мюллер санауыштарының иондану камерасынан пропорционалды есептегіштерден негізгі айырмашылығы ток импульсінің мәні біріншілік зарядтарға тәуелді емес. Сондыктan осы санауыштардың көмегімен тек сәулелену ағынының тығыздығын анықтауда болады. Бөлшектердің интенсивтілігі мен энергиясы туралы ақпарат алу мүмкін емес. Жұмыс істеу принципін разряд механизмінің көмегімен түсіндіруге болады. Сәулеленуден пайда болатын бастапқы зарядтар есептегіште разрядты жасау үшін қажет. Содан кейін разряд тәуелсіз түрде жалғасады. Бұл процесс орын алу үшін есептегішке жеткілікті кернеу беру керек. Сондыктan Гейгер-Мюллер есептегіштерінің жұмыс кернеулері пропорционалды есептегіштердің жұмыс кернеулерінен үлкен. Бұл есептегіштің жұмыс аймағы 15.2-суретте көрсетілген графиктегі (V) ауданға сәйкес келеді.



15.1-сурет. Гейгер-Мюллер санауышының құрылымы



### 15.2-сурет. Вольт-амперлік сипаттамалары бойынша ядролық сәулеленуді тіркеу құрылғыларының жұмыс салалары

Егер разрядтарды сөндіру шаралары қабылданбаса, есептегіштің уақыт бойынша ажырату мүмкіндігі болмайды. Разрядтарды сөндірудің бірқатар адістері әзірленді.

Оздігінен сөндіретін есептегіштерде негізгі газ құрамына қосынша газдар қосылады, ал газдар разрядты сөндіру қызметін атқарады. Жалпы газдың 90%-ы негізгі газ, ал қалған 10%-ы сөндіргіш газ болып табылады. Көмекші газ ретінде көбінесе спирттің булары мен эфир колданылады. Сөндіргіш газ келесі талаптарға сай болуы керек. Сөндіргіш газдағы бастапқы иондану потенциалының мәні әрқашан негізгі газдағы бастапқы иондану потенциалынан жоғары болуы керек. Есептегіштің жұмысы келесідей: бірінші реттік зарядталған бөлшекті газ атомдарымен әрекеттеседі және оларды иондайды. Электрондар анодтық электродка қарай жылжиды және  $10^{-8}$  секаралықта жиналады. Анод талшығының айналасында он көністік заряды пайда болады. Бұл көністік заряды анод талшығының алдындағы электр өрісінің шамасын азайтады. Нәтижесінде электрон-фотоидық күшті процесс сөнеді. Есептегіш келесі бөлшекті жазуға дайын болады. Он зарядтар келесі бөлшекті жазуға дайын болу үшін анодтан белгілі бір сини қашықтықты етуі керек. Сондаған электр өрісі өзінің бастапқы мөніне дейін көтеріледі. Бұл уақыт аралығы санауышты қалпына келтіру уақыты деп аталады. Екі дәйекті келетін бөлшектерді жазуға болатын уақыт аралығы санауыштың уақытты ажырату мүмкіндігін анықтайды.

Оздігінен сөнетін есептегіштер әртурлі бөлшектерді тіркеу үшін колданылады. Есептегіштің жазу мүмкіндігі бөлшектердің түріне байланысты. Зарядталған бөлшектерді жазу мүмкіндігі 100%-га жакын. Атақтылықты келесі өрнек арқылы табуға болады:

$$\varepsilon = 1 - \exp(-\omega LP / P_0)$$

Бұл жерде, қалыпты қысымда 1 см кашықтықта бөлшектің бастапқы меншікті иондану мөлшері; L- санауыштагы бөлшектің жүріп өткен жолы; R- есептегіш ішіндегі газдың қысымы. Гейгер-Мюллер санағышы арқылы  $\alpha$ - $\beta$ - $\gamma$ -сәулелерді тіркеуге болады. Бұл есептегіштердің төмен кернеулерде жұмыс істейтін және галогендік есептегіштер деп аталатын нұсқалары бар. Гелийге немесе неонға аз мөлшерде аргон газы қосылады. Разряд механизмі басқа формада болады. Неонның бірінші қозған күйі метатұракты, ал неон атомдарын электрондар қозғау үшін шағын электр өрісі жеткілікті.

Төмендегі кестеде дозиметрлік құрылғыларда қолданылатын кейбір есептегіштер көрсетілген.

#### Дозиметрлік құрылғыларда қолданылатын есептегіштер

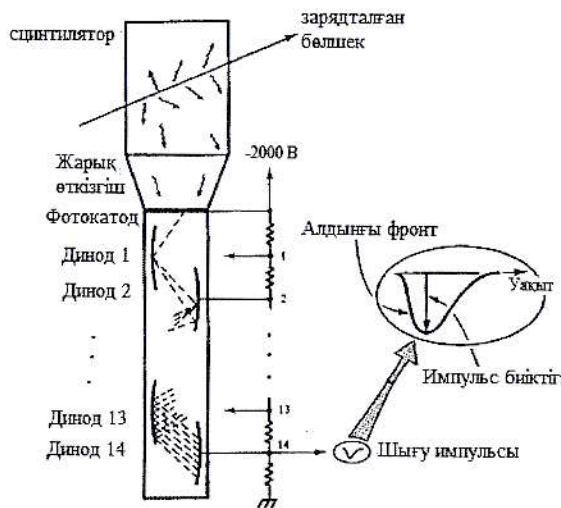
Шамалар	Өлшем бірлігі	SBT-7	MST- 17	SI- 3BG	STS-5	SI- 34G
Жұмыс кернеуі	V	380	1300	390	390	300
Санак басталатын кернеу	V	300	1200	300	300	300
$\gamma$ -сәулеленуге сезімталдық	имп/с	-	-	235	27	50
Сәулеленудің ең үлкен қуаты	P/h	-	-	300	0,5	500
Есептегіштемаксималды ток мәні	$\mu$ A	-	-	20	-	15
Фон	имп/с	1	1	-	-	-

#### Сцинтиляциялық детекторлар

Алғашқы сцинтиляциялық детектор-спинтарископты 1903 жылы Уильям Крукс жасаған. Бұл құрал мырыш сульфидімен ( $Zn S$ ) қапталған экран мен микроскоптан тұрады. Альфа бөлшектері экранға түскенде

жарықтың жынысындауы байқалып, жарқыл жазылды. Адам көзінің инериттілігіне байланысты бұл әдісті қолдану ұзак уақыт бойы қолданылмады. 1944 жылға қарай адам көзінің орнына фотокөбейткіш қолданыла бастады, сцинтиляциялық детекторлар танымал болды.

Заманауи сцинтиляциялық детектордың құрылымы және одан алған электрлік сигналдың көрінісі 15.3-суретте көрсетілген. Бұл құрылғыда сцинтиляциялық жарық өткізгіш арқылы фотокөбейткішке қосылады. Сцинтилятор арқылы өткен бөлшек өз атомдарын қозған күйге келтіреді. Оның атомдар фотон шығару арқылы бастапқы энергетикалық күйіне оралады. Шығарылған фотондар арнайы пішінді жарық өткізгіш арқылы фотокөбейткіштің фотокатодына беріледі. Фотокатодка соқтығысқан фотондар одан электрондарды шығарады. Бұл электрондар электр өрісінде үдетілген және фотокөбейткіштің 1-ші динодына фокусталған. Динодқа түскен әрбір біріншілік электрон  $2 \div 5$  екінші реттік электрон шығарады. Екінші реттік электрондар екінші динодқа келіп, үшінші реттік электрондарды шығарады және процесс осылай жалғасады. Бұл құрылғыларда 14-ке дейін фотокөбейткіш сатысы бар, олар сигналды  $10^9$  есеге дейін күшейте алады, осылайша фотокөбейткіштің шығысында олшеуге ыңғайлы өлшемдегі сигналды алады. Фотокөбейткіштің соңғы динодында алған толқын пішіні 15.3-суретте бөлек көрсетілген.

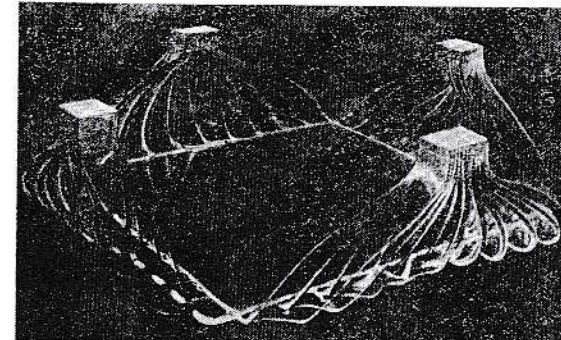


15.3-сурет. Сцинтиляциялық детектордың құрылымы және фотокөбейткіштегі қабылданған электрлік сигнал

Қазіргі уақытта натрий йоды және пластикалық сцинтиляторлар кеңінен қолданылады. Натрий йодид кристалының люминесценция орталығы қызметін атқаратын таллий (Tl) элементі аз мөлшерде қолданылады. Сондыктан оның формуласы былай жазылады: NaI(Tl).

Бұл бейорганикалық кристалдар гамма-сәулелерге өте сезімтал болғанымен, жарқылдың ыдырауы өте баю ( $\sim 0,25\mu s$ ). Сонымен қатар, NaI (Tl) қосылысы ылғалға өте сезімтал (гигроскопиялық) және үлкен кристалдар өте қымбат.

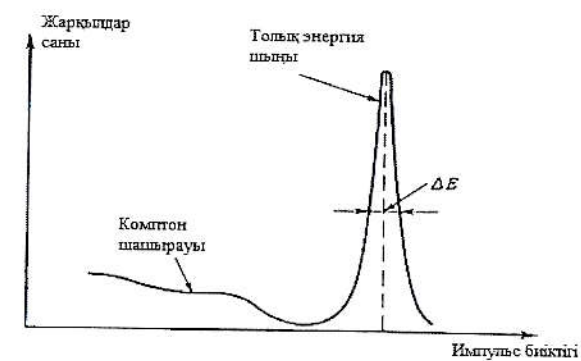
Полицирин сияқты пластикалық сцинтиляциялық есептегіштер салыстырмалы түрде арзан. Бұл заттарды пленка түрінде алуға және ерікті пішінді беруге болады (15.4-сурет). Пластикалық сцинтиляторлардың жарқыл ыдырау уақыты өте қысқа (бірнеше наносекунд), бірак олардың фотонды анықтау сезімталдығы тәмен. Сондыктан, мұндай детекторлар негізінен зарядталған бөлшектерді тіркеу үшін қолданылады.



15.4-сурет. Арнайы жасалған сцинтилятор үлгісі

NaI(Tl) кристалында гамма-сәулелерді тіркеу механизмі келесідей: энергиясы 1 МэВ-ден аз гамма-сәулелердің энергиясы негізінен фотоэффект пен Комптон эффектісіне жұмсалады. Фотоэффект кезінде түзілетін электрондардың энергиясы  $E_3 = E_{ж} - E_{байт}$ , бұл жерде,  $E_{бай}$ -ядродагы электронның байланыс энергиясы.

Бұл электрондар карсы кристалда толығымен жұтылады, олардың энергиясы фотондар түрінде фотокөбейткішке беріледі және электронның бастапқы энергиясы  $E_3$  пропорционалды және белгілі  $\Delta E$  кендікте импульс пайда етеді. Фотоэффект арқылы пайда болатын мұндай импульс немесе толық энергетикалық импульс 15.5-суретте көрсетілген.



### 15.5-сурет. Сцинтиляция детекторының шығыс импульсі

Комптон эффектісінде электронның алатын энергиясы электронның шашырау бұрышына тәуелді болғандықтан 15.5-суретте көрсетілгендей спектрлік таралуға ие.

Толық энергия импульсінің жарты ені детектордың рұқсатын анықтайды. Детектордың анықтау қабілеті келесі түрде анықталады.

$$R = \frac{\Delta E}{E_j} \cdot 100\%$$

Сцинтиляциялық детекторларға арналған ажыратымдылық  $E_j = 100$  кэВ да  $R = 20\%$ ,  $E_j = 1$  МэВ да  $R = 6 \div 8\%$ , тен. Гамма кванттық энергия 1 МэВ-ден жоғары болса, электрон-позитрон жұбы түзіледі, электрондар кристалда жұтылады, ал екі позитрон 0.51 МэВ фотонға айналып, кристалдан кетуі мүмкін. Сонымен, фотондар кристалға толық жұтылған жағдайда ғана кристалдың алатын энергиясы гамма-кванттық энергияға тең болады. ( $E = E_{\text{ж}}$ ). Егер бір фотон шығарылса,  $E = E_{\text{ж}} - m_e c^2$ , егер позитрон аннигиляциясы нәтижесінде пайда болған екі фотон да шығарылса,  $E = E_{\text{ж}} - 2m_e c^2$  тең болады.

Детекторда жазылған бөлшектердің энергетикалық болінуі – детектордың бөліну қабілеті ядролық физика эксперименттерінің маңызды мәселелерінің бірі болып табылады. Жоғарыда көрсетілген  $R = 10\%$ , кейбір жағдайларда болу жеткілікті болғанымен, ұқсас энергиялардың гамма-сәулелерін тіркеуде ол жетіспейді.

Детектор қатесінің себептерін түсіну үшін ондағы процестердің ретін білу қажет:

Негізгі – квант оның энергиясына дерлік тең фотоэлектрон шығарады ( $E_a \approx E_{\text{ж}}$ ). Түзілген фотоэлектрон атомның козуы мен иондалуына қатысады,  $n_{1q}$  – Түзілген фотоэлектрон атомның козуы мен иондалуына қатысады  $E_{1q} \approx 3$  эВ ( $\lambda \approx 400$  нм).

Жарық кванттарының саны төмөндегідей анықталады:

$$n_{1q} \approx \frac{E_{\gamma}}{E_{1q}} \cdot \varepsilon_{\text{жарық}}$$

Бұл жерде,  $\varepsilon_{\text{жарық}}$ -ояту энергиясын жарық кванттына айналдыру тиімділігі.

Экспозиция арқылы  $n_{1q}$ -жарық қалыптасады, оның бір белгі ғана фотокөбейткіштің кванттынан катодына түседі ( $\varepsilon_{\text{соқтығысы}}$ ). Фотокатодқа түсестін жарықтың әрбір кванттың  $\varepsilon_{\text{катод}}$ -электронды нокаутка түсіруі мүмкін. Осылайша, фотокөбейткіштің кірісінде түзілетін электрондар саны келесі түрде анықталады.

$$n_t \approx \frac{E_{\gamma}}{E_{1q}} \cdot \varepsilon_{\text{жарық}} \cdot \varepsilon_{\text{соқтығысы}} \cdot \varepsilon_{\text{катод}}$$

Берілген формуладагы тиімділік коэффициенттері келесі мәндерді қабылдайды.

$$\varepsilon_{\text{жарық}} \approx 0.1; \varepsilon_{\text{соқтығысы}} \approx 0.4; \varepsilon_{\text{катод}} \approx 0.2$$

Жоғарыда келтірілген бағалауларға негізделген энергия 1 МэВ болдыру кванттық жұтылу кезінде фотокатодтан болінген электрондар саны  $n_e \approx 3 \cdot 10^4$  тең болуы керек.

NaI(Tl) кристалы үшін  $\varepsilon_{\text{жарық}} \approx 0.1$  пластикалық сцинтиляторлар үшін  $\varepsilon_{\text{жарық}} \approx 0.03$  тең. Осы бағалауларды зерделеу кезінде қарастырылатын процестердің статистикалық сипатта болатынын ескеру қажет. Статистикалық үлестірімдерге сүйене отырып, сцинтиляциялық детекторларда байқалатын сәулелік импульс енінің теориялық бағалаулары мүндай детекторлардың рұқсат ету мүмкіндігінен  $6 \div 8\%$  аз емес екендігін көрсетеді.

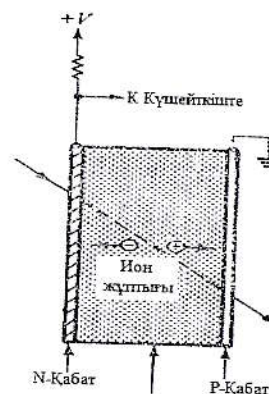
### Жартылай өткізгішті детекторлар

Жартылай өткізгішті детектордың жұмыс істеу принципі зарядталған бөлшектер қатты дене арқылы өткенде келесі формула бойынша анықталатын иондық жұптардың пайда болуына негізделген.

$$n_{\text{ион}} = \frac{E_e}{W}$$

Бұл өрнекте  $W$  – бір ион жұбының түзілүіне қажетті энергия мөшері.

Түзілген иондарды электр өрсінің көмегімен беліп, бірдей таңбалы зарядтардың косындысын өлшесек, жоғарыдағы формула бойынша бастапқы электрондардың энергиясын анықтауга болады. Жартылай өткізгіштерде жалғыз иондық жұптың құрайтын  $W$  энергиясы германий (Ge) үшін 2.9эВ, кремний үшін (Si). 3.5 эВ болып табылады Мұндай аз иондану энергиясы жартылай өткізгіштердің электрондық құрылымының ерекшелігімен байланысты. Жартылай өткізгішті детектордың жұмыс принципі мен құрылымы 15.6-суретте көрсетілген.

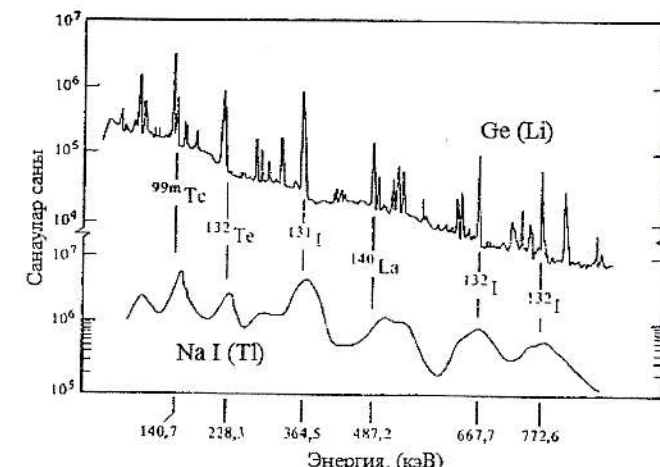


15.6-сурет. Жартылай өткізгішті детектордың жұмыс принципі және құрылымдық схемасы

Жартылай өткізгішті пластинаның бүйірлерінде орналасқан электр өрсі артүрлі бағыттағы зарядтарды ажыратып, ток импульсін құрайды. Алынған ток импульсі төмен шулы қүшеткішке беріледі. Болмыс температурасындағы термиялық ауытқулар құрылғыда қажетсіз импульстарды тудырады. Сондықтан жартылай өткізгішті детекторлар сүйық азот температурасына дейін салқындастылады.

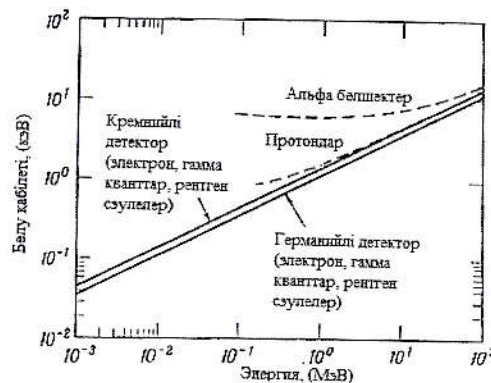
Жартылай өткізгішті детекторларда иондану энергиясы аз және барлық иондарды жинау мүмкіндігі осы детекторлардың жоғары ажыратымдылығына экеледі.

Төмендеғ 15.7-суретте сцинтиляциялық (NaI(Tl)) және жартылай өткізгіш (Ge(Li)) детекторларымен алынған кешенді спектр көрінісі көрсетілген.



15.7-сурет. Сцинтиляциялық және жартылай өткізгіш детекторлардагы радиоактивті үлгінің сәулелену спектрінің көрінісін салыстыру

Бұл спектрлерден көрініп тұргандай, жартылай өткізгіш детекторлардың ажырату қабілетті айтарлықтай жоғары. Детекторлар үшін Ge (Li) және Si (Li) жартылай өткізгішті бөлу қабілетінің жазылған бөлшектер энергиясына тәуелділігі 15.8-суретте көрсетілген.



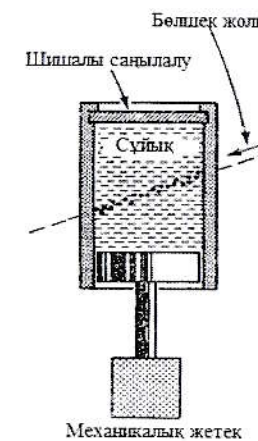
15.8-сурет. Жартылай откізгішті детектордың энергетикалық ажыратымдылығының графигі

### Көпіршікті камералар

Сцинтиляциялық және жартылай откізгіш детекторлар тек олар арқылы өтетін бөлшектердің энергиясы мен саны туралы ақпарат береді. Егер бұл детекторларға бір уақытта екі детектор келсе, олар бұл фактін анықтай алмайды.

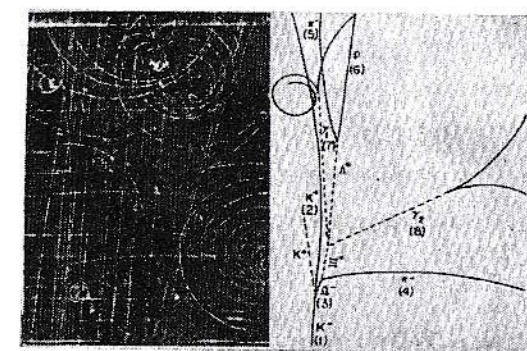
1952 жылы М.Глейзер жасаган көпіршікті камералар элементар бөлшектердің қасиеттерін зерттеуде маңызды рол аткарды. Глейзер көпіршікті камерада өтетін физикалық процесстерді билай сипаттады: «Көпіршікті камера өте қызыған мөлдір сүйықтықпен толтырылған ыдыстан тұрады және ол арқылы өтетін иондауыш бөлшек бұл сүйықтықты кайнатады, осылайша көпіршіктер тізбегін құрайды. оның жолы».

Қатты қыздырылған сүйықтық - бұл температура мен қысымдағы сүйықтық, оның қысымы бірдей жағдайларда оның буының қысымынан әлдеқайда төмен болады. Сүйықтықтың мұндай күйі тұраксыз, ол арқылы өтетін сүйықтықта бу көпіршіктерінің пайда болуын тудырады. (15.9-сурет)



15.9-сурет. Көпіршікті камераның жұмыс принципі және құрылымы

Сүйық бастапқыда өте қызып кету үшін тепе-тендік қысымында болады, содан кейін қысым поршеньді төмен итеру арқылы кенеттеп төмендейді және камера бірнеше миллисекунд бойы сезімтал күйде болады. Бұл сезімталдық уақыты бөлшектердің үдегіштін камераға түс уақытымен синхрондалады. Фотоаппаратта пайда болған көпіршіктер электронды жарқылмен жарықтандырылып, олардың стереофотографиялық бейнесі алынады (15.10-сурет).



15.10-сурет. Көпіршікті камерада элементар бөлшектер қалдырган жолдар

Көпіршікті камераларда сұйық сутегі жіңі пайдаланылады және жарылыс қаупі бар. Мұндай камералардың тиімділігін арттыру үшін олар күшті магнит ерісіне орналастырылады. Бұл жағдайда камераға түсетін бөлшектердің траекториясы кисық болады және олардың массасы мен энергиясы туралы ақпарат алуға болады.

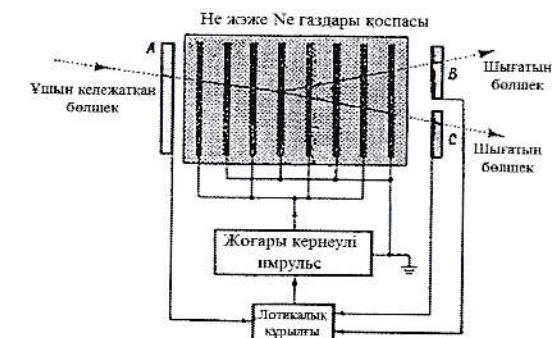
### Ұшқын камералары

Көпіршікті камералардың көлтеген артықшылықтары болса да, олардың бір кемшілігі бар: олар біз қалаған процесті бақылағымыз келген кезде іске косылмайды. Мұның себебі, көпіршікті камераны тез іске косу мүмкіндігі жоқ, ейткені ондағы сұйықтық өте қызған күйде болуы керек.

Ұшқын камераларын біз бақылайтын процесті қызықтыратын сәтте косуға болады.

Ұшқын камералары өте қарапайым құбылысқа негізделген жұмыс істейді: бір-бірінен 1 см қашықтықта параллель орналасқан екі металл пластина арасындағы кернеу критикалық мәннен асып кетсе, электр заряды басталады. Егер осы уақытта пластиналардың арасынан иондаушы бөлшек өтсе, иондық жұлтар түзіліп, заряд бөлшектің траекториясы бойынша таралатын ұшқын түрінде болады. Егер түзілген иондар бірнеше микросекунд бойына орнында болатынын ескерсек, ұшқын камерасына бөлшек камерадан өткеннен кейін де қуат беруге болатын сияқты. Осылайша, ұшқын камерасын автоматты түрде іске қосылатын детектор ретінде карастыруға болады.

Қарапайым ұшқын камерасының құрылымы 15.11-суретте көрсетілген.



15.11-сурет. Ұшқын камерасының құрылымы және жұмыс істеу принципі

Мұндай камералардың көмегімен камераға түсетін бөлшектің атом ядронымен соқтығысуы және кем дегендеге екі зарядталған бөлшек түзетін реакцияларды байқауга болады. Бұл жағдайда 15.11-суреттегі А, В, С сцинтиляциялық детекторлар бір уақытта үш зарядталған бөлшекті тіркейді. Бұл процесс орын алған кезде логикалық құрылғы кернеудің секіруін тудыратын сигнал шығарады және жоғары кернеулі импульс (10-20 кВ) камера пластинкаларына 50нс-тен аз уақытта беріледі. Электр зарядынан пайда болған ұшқын арналары стереофотография көмегімен бейнеленеді.

Жоғарыда көрсетілген стандартты ұшқын камерасы құрылғысы әртүрлі физика есептерін шешу үшін әртүрлі модификацияларда қолданылады. Мысалы, жұқа пластиналы ұшқын камералары зарядталған бөлшектердің траекториясын анықтау үшін, ал қалың корғасын тақталары гамма-сәулелерді зерттеу немесе мюондардан электрондарды болу үшін қолданылады. Электрондардың мюондардан айырмашылығы олар корғасында бөлшектер ағынын құрайды.

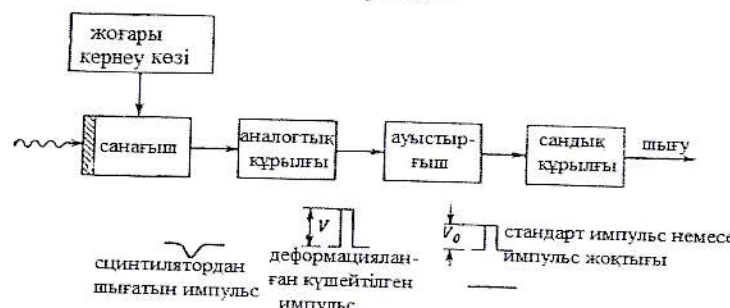
Шағын масштабты ұшқын камералары ядролық физикада әртүрлі мақсаттарда колданылады, ал ұлкен масштабты камералар негізінен нейтриноларды жазу үшін қолданылады.

Оптикалық үшкін және көпіршікті камераларда бөлшектердің траекторияларының немесе тректерінің фотосуреттерінен тәжірибе нәтижелерін алудың кемшілігі бар. Бұл процесс оте ыңғайсыз болғандыктан, қазіргі уақытта электронды жазба камералары колданылады. Бұл камераларда пластиналар координаталық торды құрайтын өткізгіштермен ауыстырылады. Пайда болған үшкіндар өткізгіштерде импульс жасайды және феррит өзектерінде магниттелу түрінде жазылады және электронды есептеуіш машинаға беріледі.

#### **Детекторларға арналған электронды құрылғылар**

Барлық заманауи детекторларда электронды құрылғылар бар. Электрондық құрылғының мысалы ретінде сцинтиляциялық детектормен колданылатын келесі электрондық схеманы көлтіруге болады (15.12-сурет). Фотокөбейткіштің шығыс сигналы аналогтық құрылғыда белгілі бір формага түрлендіріліп, күштейтіледі. Бұл жағдайда қабылданған импульстің амплитудасы бастапқы импульстің амплитудасына пропорционал болады.

ADC-де (аналогты-цифрлық түрлендіргіш) импульстар цифрлық көрініске түрлендіріледі. Мұнда амплитудасы  $V_0$  және  $V_0 + \Delta V$  аралықта жататын импульстарға тәркеледі. Яғни, импульс осы интервалға жататын болса, түрлендіргіш құрылғы стандартты сигнал шыгарады, әйтпесе түрлендіргіш ешқандай сигнал шыгармайды.



15.12-сурет. Ядролық саулеленулерді тіркеу құрылғысының принциптік схемасы

140

Сандық құрылғы тек стандартты сигналдарды жазады. Бұл құрылғы әрбір 10 немесе  $10^n$  ( $n$ -бүтін) кіріс сигналын бір деп санай алады. Бұл жағдайда оның шығысындағы сигнал белгілі бір энергетикалық интервалға сәйкес келетін  $10^n$  бірліктердегі кіріс сигналдарының санын көрсетеді. Берілген электрондық схеманы зертханада құрастыру күнін емес, өйткені оның құрамдас блоктары дайын және сатылған. Эксперименттік физикке тек оларды тандау және қажетті бөлшектерді жинау ғана талап етіледі. Электрондық схемадан сигналдар көп арналы анализаторға немесе дербес компьютерге беріледі, ал жазылған сәулелену спектрін дисплейде көруге болады (15.7 суретті қарастыр).

#### **Бақылау сұрақтары:**

1. Радиоактивті саулелер және олардың түрлерін түсіндіріңіз.
2. Табиғи және жасанды радиоактивті тұқымдастарды түсіндіріңіз.
3. Газды разрядтау детекторларының құрылымы мен жұмыс істеу принципін түсіндіріңіз.
4. Сцинтиляциялық детекторлардың құрылымы мен жұмыс істеу принципін түсіндіріңіз.
5. Детектордың ажырату мүмкіндігін не деп атайды?
6. Сцинтиляторлардың түрлерін және олардың сипаттамаларын түсіндіріңіз.
7. Жартылай өткізгішті детекторлардың құрылымы мен жұмыс істеу принципі.
8. Көпіршікті камералардың құрылымы мен жұмыс істеу принципін түсіндіріңіз.
9. Үшкін камераларының құрылымын, жұмыс істеу принципін түсіндіріңіз және олардың артықшылықтарын айтыңыз.
10. Детекторларға арналған электронды құрылғылардың қызметін түсіндіріңіз.

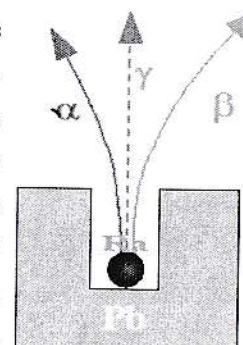
## ЗЕРТХАНАЛЫҚ ЖҰМЫС №16. РАДИОАКТИВТІ СӘУЛЕЛЕРДІҢ ӘРТҮРЛІ ОРТАДАҒЫ ЖҰТЫЛУ КОЭФФИЦИЕНТІН ВИРТУАЛДЫ ТӘЖІРИБЕДЕ АНЫҚТАУ

**Жұмыстың мақсаты:** әртүрлі заттардағы радиоактивті сәулеленудің жұтылу коэффициентін, материалдың калындығына қарай радиоактивті сәулелену карқындылығының өзгеруін анықтау және талапкерлерде ақпараттық-коммуникациялық технологиялар негізінде радиоактивті сәулеленудің қасиеттері туралы білімдері мен дағдыларын қалыптастыру.

**Кәжетті құрал-жабдықтар:** компьютер, видеопроектор, экран, виртуалды зертханалық жұмыс жазылған диск.

### Теориялық негіздеме

Француз физигі А. Беккерель уран тұздарында жарыктың әсерінен фосфоресценция күбілісі байқалғандай, Рентген сәулелерінде да осы құбылыштардың, жокпа, соны білу мақсатында жарыктың уран тұздарына әсерін зерттей бастады. 1896 жылы 1 наурызда уран тұзы фотопластиинканың қарауына байланысты күшті енетін қасиетке ие көрінбейтін сәулелер шығаратынын анықтады. Көп ұзамай Беккерель уранның өзінде жарық шығару қасиеті бар екенін анықтады. Сонда ол мұндай құбылыштың торий атомында да бар екенін байқады. Радиоактивтілік – сыртқы әсерлерден жарыктың өздігінен шығуы. Радиоактивтілік Д.И.Менделеевтің периодтық жүйесінің ең ауыр элементтеріне тән. 1898 жылы француз ғалымдары М.Складовская-Кюри мен П.Кюри уран минералынан уран мен торийден әлдекайда радиоактивті екі жаңа затты бөліп алды. Олар полоний және радий деп аталды. Радиоактивтілік процесінде үш түрлі сәулелер



16.1-сурет

таралады:  $\alpha$ ,  $\beta$ ,  $\gamma$  - сәулеленулер.  $\gamma$  - сәулеленулерге магнит және электр өрістері әсер етпейді (16.1-сурет). Магнит және электр өрістері  $\alpha$  және  $\beta$  -сәулелеріне әсер етеді. Әсер нәтижесінә қарай  $\alpha$ -сәулелер он және  $\beta$ -сәулелер теріс зарядтарға ие екендігін білу мүмкін. Шындығында да,  $\alpha$ -сәулелері иондастан гелий атомдары,  $\beta$ -сәулелері электрондардан тұратындығы анықталған.  $\gamma$ -сәулелер ең қысқа толқын ұзындыққа ие болған үлкен энергиялық электромагниттік толқындар болып саналады. 1903-жылы Э. Резерфорд және Ф. Содди радиоактивтілік процесінде бір химиялық элемент басқа химиялық элементте өтуін анықтаган. Радиоактивтілік процесінде энергия ажыралып шығады. Мысалы, 1 г радиийден сәулелену процесінде 600 Дж энергия ажыралып шығады.

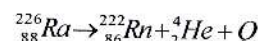
Альфа-бөлшектің табигаты оның зарядын анықтаудан басталды. Ол электрометр көмегімен анықталады. Осы жолмен анықталған альфа-бөлшектің зарядының шамасы  $3,19 \cdot 10^{-19}$  Клғатен, бұл электрон зарядынан екі есе үлкен. Оның таңбасы он.  $\frac{e}{m}$  қатынасадан  $\alpha$ -бөлшектің массасы анықталды. Оның шамасы  $6,62 \cdot 10^{-24}$  г тен. Бұл сутегі атом массасы  $1,62 \cdot 10^{-24}$  г нан төрт есе үлкен. Мұндай тәжірибелік дәлелдер негізінде  $\alpha$ -бөлшектек гелий атомы екендігін дәлелдейді.

Магнит өрісінде  $\alpha$ -бөлшектің қозғалысын үйрену процесінде, оның жылдамдығы анықталды.  $\alpha$ -бөлшектің орташа жылдамдығы  $1,6 \cdot 10^7$  м/с қа тен. Жылдамдық шамасы изотопқа және радиоэлементке байданысты.  $\alpha$ -бөлшектің кинетикалық энергиясы бір неше электрон вольтқа тең, ол атом түзілісін үйренуде идеал снаряд міндеттін орындаиды.

Атом ядронынан  $\alpha$ -бөлшектек шыкканда, атом ядроның заряды екіге, массасы болса төрт атом бірлігіне кемиді. Радиоактивті ыдырау процесінде оған үлкен энергия ажыралады. Мысалы, радий атомы ( $Z = 88$ ,  $A = 226$ )  $\alpha$ -

бөлшек шыгару нәтижесінде радон атомы ( $Z = 86$ ,  $A = 222$ ) пайда болады.

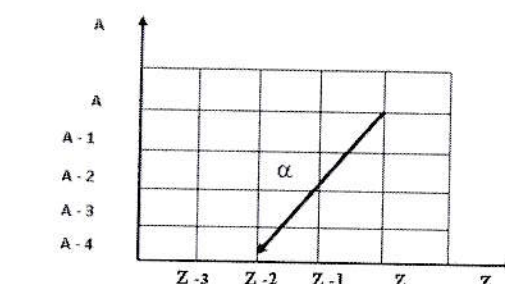
Бұл ыдырау тәмендегідей жазылады:



$Q$  — ыдырау кезінде бөлінетін энергия.

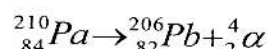
Тендеудің сол жағында бастапқы атом ядросы, он жағында алынған атом ядросы орналасқан. Бұл тендеудің он жақ жоғарғы және төменгі индекстерінің қосындысы сол жағындағы атомдық көрсеткішке тең болуы керек, яғни  $222 + 4 = 226$  массасынң сакталу заңы және  $86 + 2 = 88$  зарядтың сакталу заңы орынды болып табылады. Бөлшектердің атом массасын білген күйде ыдырау энергиясы  $Q$  — мәнін анықтау мүмкін.

$\alpha$ -бөлшектер тек масса саны  $A$  үлкен ( $A > 200$ ) болған атом ядроларынан шығады. Мысалы, радий атом ядросы  $\alpha$ -ыдырау пайда болғанда радонядросы пайда болады. Нәтижеде тәмендегі ығысу заңы орындалады:  $A - 4; Z - 2; N - 2$ .

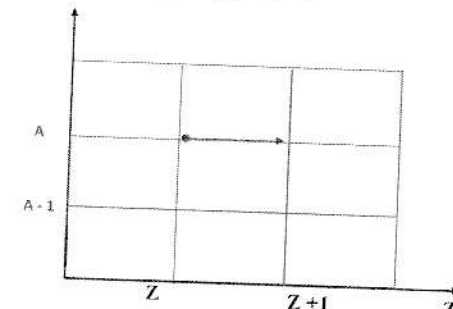
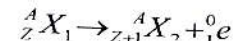


16.2-сурет.  $\alpha$ -ыдырауда ығысу ережесінің орындалуы

Мысал ретінде радиоактивті протактиний (Pa) атомы  $\alpha$  — бөлшекшыгарғанда қорғасын (Pb) атомы пайда болуын қарайық:



Радиоактивті изотоп ( $\beta$ )-бөлшек шыгару нәтижесінде ыдыраса, атом ядросының заряды бірлік он зарядқа артады, бірақ масса саны өзгермейді.  $A = Z + N$  тендік орынды болғандығы нәтижесінде радиоактивті изотопда нейтрондар саны бірге кемиді. Реакция тәмендегідей жазылады:

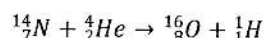


16.3-сурет.  $\beta$ -ыдырауда ығысу ережесінің орындалуы

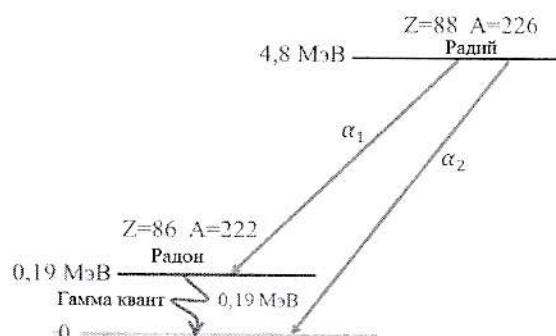
Мысалы, полоний изотопы  $^{210}_{84}Po$  пайда болуында висмут изотопы  $^{210}_{83}Bi \rightarrow ^{210}_{84}Po + \beta$  өзінен  $\beta$ -бөлшек шыгаруы қажет. Реакция 16.3-суреттегі график көрінісінде болады. Графикден көрініп түргандай, атомнан  $\beta$ -бөлшектердің оның он заряды бір бірлікке артады, бірақ атом массасы  $A$  өзгермейді.  $\beta$ -бөлшектердің спектрі үздіксіз болады.  $\beta$ -бөлшектердің олардың жылдамдықтары кіші мәндерден үлкен мәндерге дейін өзгереді, яғни олар үздіксіз энергияның таралуына ие.  $\beta$ -ыдырау процесінде ядродың нейтрон протонға және электронға бөлінеді, ал электрон ядродан шығады. Бірақ бұл  $\beta$ -бөлшектердің энергия бойынша үздіксіз таралуын түсіндірмейді. Қыйыншылықты 1931-жыл Паули шеше алды. Паулидің пікірі бойынша  $\beta$ -ыдырауда электроннан басқа бөлшек шығуы керек. Бұл бөлшек нейтрино екені аныкталды. Нейтриноның массасы электронның массасымен салыстырылганда ете аз және оның заряды жок, сондыктан ол электрлік бейтарап болшек. Нәтижесінде толық энергия электрон мен нейтрино энергиялары арасында бөлінеді. Егер электрон жоғары энергиямен шықса,

нейтринो төмөн энергиямен шығады және керісінше. Оның бар екендігі жанама әдістермен дәлелденеді.

Гамма сәулелену атом ядроның ыдырауы кезінде пайда болады, ожәнең-бөлшектер мен бірге бақыланады. Интерференциялық және дифракциялық тәжірибелер нәтижесінде γ-сәулелердің табигаты рентген сәулелерінің табигатына сәйкес келетін анықталды. Оның энергиясы жанама фотоэффект, Комптон эффекті әдістерімен анықталады. Гамма сәулелерінің толқын ұзындығы атом ядроның энергетикалық құйінің өзгеруіне байланысты өте қыска электромагниттік толқындар болып есептеледі. Атом ядроның, β — бөлшектер шыққанда жаңа ядро пайда болады, оның энергиясы алдынғы жағдайынан үлкен. Жаңа ядро бастапқы құйіне қайтудау сәулелер шығарады. 1919 жыл Резерфорд α — бөлшекпен белгілі бір атомды атқылатқанда, екінші атомды жүзеге келтіреді. Мысалы, α — бөлшекпен азот газын атқылатқанда оттегі және сутегі атомдары пайда болады. Бұл реакция төмөндегідей жазылады:



Альфа және гамма сәулеленулердің бірге бақылануына төмөндегі Ra – Rn радиоактивті ыдырауыны мысал ретінде келтіру мүмкін.

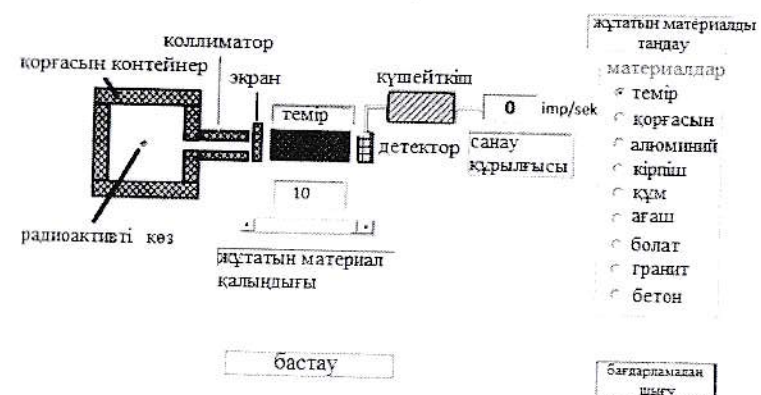


16.4-сурет. Ra-Rn радиоактивті ыдырау схемасы

### Жұмысты орындау тәртібі:

1. Талапкерлер зертханалық жұмыстың сипаттамасымен танысып, жұмыстың мақсаты мен жұмышы формулаларын дәптерлеріне жазып алады.
2. Зертханалық жұмыстың электронды нұсқасы талапкерлерге компьютер, видеопроектор, экран арқылы кескінделеді. Оқушыларға суреттегі көрініс түсіндірледі.

Түрлі заттарда радиоактив сәулеленулердің жұтылу коэффициентін анықтау



16.5-сурет. Зертханалық жұмыс құрылғысының компьютер экранындағы көрінісі

3. Зертханалық жұмысты орындау үшін тышқаншаның көмегімен жұтатын материалдың түрі таңдалады және оның қалындығы белгілеп анында.
4. “Старт” пернесінтышканшаның көмегімен басу арқылы виртуалды зертханалық құрылғы іске косылады. Бұл жағдайда контейнер саңылауының алдындағы экран козғалады және детектор зат арқылы ететін сәулеленудің карқындылығын санайды. Виртуалды зертханалық жұмыста есептегіш берілген шарттарда 1 секундта карқындылықты (белсенділік) көрсетеді.
5. Радиоактивті көзден шығатын сәулеленудің бастапқы карқындылығын анықтау үшін жұтатын зат қалындығы нөлге теңестірледі.

Бұл жағдайда есептелген қарқындылық көздің қарқындылығы болып, барлық тәжірибелер үшін бірдей мәнге ие болады.

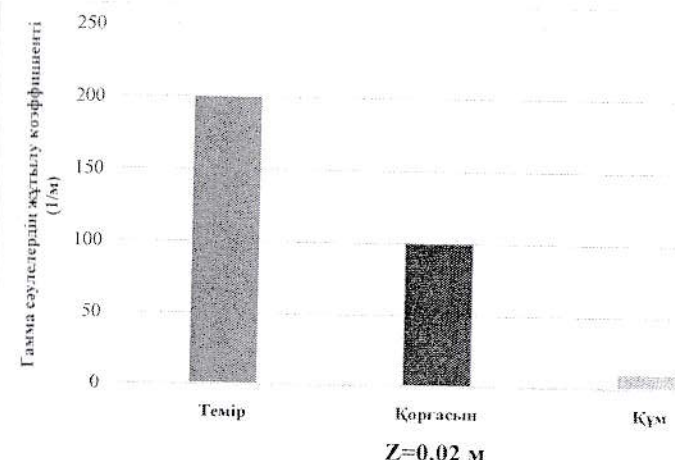
6. Эрбір таңдалған заттың белгіленген қалындығы үшін өлшеулер 3 рет қайталаңады және алынған нәтижелер 1-кестеде түсіріледі. Бұл өлшемдерде топ талапкерлері шағын топтарға бөлінеді және мұғалім белгілеген әртүрлі материалдар үшін жұтылу коэффициенттері анықталады.

1-кесте

Өлшеулер			Есептеулер				
Материал түрі	Z, (м)	I <sub>0</sub> , (имп/сек)	I, (имп/сек)	μ, (1/м)	μ <sub>орт</sub> , (1/м)	Δμ	ε(%)

Кестенің бірінші бөлігінде тәжірибе кезінде жұтатын материалдың таңдалған параметрлері және өлшеу нәтижелері көлтірілген. Кестенің екінші болігінде тәжірибе нәтижелері бойынша есептелген жұтылу коэффициенті, оның орташа мәні, абсолютті және салыстырмалы қателіктері енгізіледі.

Виртуалды өлшеулер нәтижесінде бірінші кестеге енгізілген мәліметтер негізінде бір қалындықтағы әртүрлі заттардың гамма-сәулелерін жұтылу коэффициенті арнағы компьютерлік бағдарлама арқылы диаграмма түрінде салыстырылады.



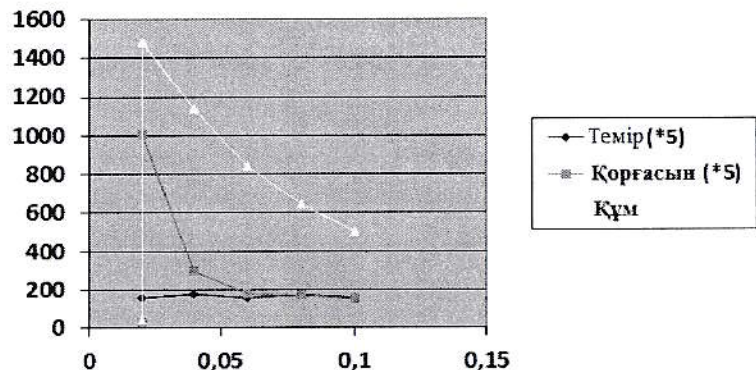
16.6-сурет. Бірдей қалындықтағы түрлі заттар үшін гамма сәулелердің жұтылу коэффициентін салыстыру

Таңдалған материалдың қалындығы өзгеріліп, алынған нәтижелер 2-кестеге түсіріледі.

2-кесте

Z, (м)	0,02	0,04	0,06	0,08	0,01
I, (имп/сек)	0,02	0,04	0,06	0,08	0,01
Темір					
Коргасын					
Күм					

Отетін сәулелердің интенсивтілігі мен материалдың қалындығы арасындағы байланыстың графигі ( $I = f(z)$ ) сзылады (16.7-сурет).



16.7-сурет. Жұтатын затданеттің сәулеленуқарқындылығының материал қалындығына байланысы

#### Бақылау сұрақтары:

- Гамма-сәулеленудің табиғаты мен қасиеттерін түсіндіріңіз.
- Радиоактивті заттарды сақтау және пайдалану ережелерін түсіндіріңіз.
- Неліктен әртүрлі заттар радиоактивті сәулелерді әртүрлі жұтады?
- Заттардагы радиоактивті сәулеленудердің жұтылу коэффициентін анықтау формуласын жазып, түсіндіріңіз.
- Заттағы гамма-сәулелердің жұтылуында негізінен қандай физикалық процестер байқалады?
- Заттағы гамма-сәулелердің жұтылуында байқалатын физикалық процестер сәулелену энергиясымен қалай байланысты?

## ЗЕРТХАНАЛЫҚ ЖҰМЫС №17. АЛЬФА БӨЛШЕКТЕРИНІҢ АУАДА ЕРКІН ЖҮГІРУ ҚАШЫҚТАҒЫНЫ ВИРТУАЛДЫ ТӘЖІРИБЕДЕ АНЫҚТАУ

**Жұмыстың мақсаты:** радиоактив изотоптардың  $\alpha$ -ыдырауында шығатына- бөлшектердің ауадағы еркін жүгіру қашықтығын анықтау.

**Қажетті құрал-жабдықтар:** компьютер, видеопроектор, экран, виртуалды зертханалық жұмыс жазылған диск.

#### Теориялық негіздеме

##### 1. Қозғалыстағы альфа бөлшектердің заттармен әсерлесуі

Үлкен бастапқы жылдамдыққа ие болған ( $v \approx 10^6$  м/с), ауыр және оң зарядталған бөлшек өз энергиясын жұтатын заттың электрондарымен және ядроларымен әсерлесуіне жұмсайды. Жылдам қозғалатын альфа-бөлшек өз энергиясын үш түрлі жолмен жогалтады: а) жұтатын заттың атомдарын иондау және ояту арқылы; б) соккы ядроларды тұзу арқылы; в) тормоздалу электромагниттік толқындарды шыгару арқылы.

**2. Иондалу процесіндегі шығындар.** Зарядталған бөлшектердің жұтатын заттың атомдарымен соқтығысуы кезінде олар осы атомның электрондарын жоғары энергетикалық деңгейлерге шыгаруға (атомды оятуға) немесе бұл электрондарды атомнан ұрып шыгаруға (ионизацияға) жеткілікті энергия алуы мүмкін. Бұл жағдайларда жұмсалатын энергия иондану процесіндегі шығындарде аталауды. Мұндай әрекеттесулерде альфа бөлшектерінің энергиясы салыстырмалы түрде аз потенциалдармен жогалады. Мысалы, ауа атомдары мен молекулаларының иондану потенциалы 35 эВ-ке тең. Альфа-бөлшектің ауадағы қозғалысындағы иондану процесі бөлшек энергиясы зат молекулаларының иондану потенциалынан аз болғанша жалғасады. Осыдан кейін ғана альфа-бөлшегі екі электронды иелеп, бейтарап гелий атомына айналады. Альфа-бөлшектің ішінде тығыздығы қозғалыс жолының сонында артып баратын иондар тізбегі пайда болады. Пайда болатын иондар санын альфа-бөлшек энергиясы

(4 ÷ 8) МэВ) ты орташа ояну потенциал энергиясына бөлу арқылы бағалау мүмкін. Ауа үшін бұл мән  $\approx 10^5$  ты құрайды. Дәл сол себепті альфа радиактивті заттармен физикалық организмдердің закымдануы ете қаупіті.

**Сокқы ядроның түзілудегі энергия шығыны.** Оң зарядталған альфа-бөлшектердің зат ядроларымен әсерлесуі де серпімді соктығыс болуы мүмкін. Бұл жағдайда бөлшектің жылдамдығының бағыты мен мәні өзгереді, ал жұтатын заттың ядроны болса, тепе-тендік күйінен қозгалады. Бұл ядролық **сокқы ядро** деп аталады. Егер жұтатын зат идеалды кристалдан тұрса, одан альфа бөлшектері өткеннен кейін кристалдық тордың нүктелік ақаулары пайда болады.

Ауда қозгалатын альфа бөлшектері үшін сокқы ядроға жұмсалатын энергия иондану энергиясына салыстырганда есепке алмайтын дәрежеде кіші, ойткені альфа бөлшектерінің ядролармен соктығысу ықтималдығы ете аз.

**Электромагниттік сәулеленулерге жұмсалатын шығындар.** Белгілі болғандай, зарядталған бөлшектің үдемелі қозгалысы оның электромагниттік сәулеленуді шыгаруына себеп болады, оны *тормоздалу сәулеленуі* деп атайды. Бөлшектер энергиясының электромагниттік сәулеленуге жұмсалуы *электромагниттік сәулеленулер (радиация) ға жұмсалған шығын* деп аталады.

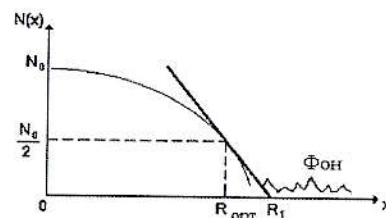
Альфа-бөлшектер үшін радиацион шығындар атомдар мен молекулалардың оянуы мен иондалуы үшін энергия шығындарына салыстырганда ете аз.

Сонымен, ауда қозгалатын альфа бөлшектерінің энергиясы негізінен атомдар мен молекулаларды оятуға және иондауға жұмсалады. Альфа-бөлшектің массасы электронның массасынан  $\approx 10000$  есе үлкен болғандықтан, оның траекториясы дерлік түзу сзықты болады және ол зат ядроларымен соктығысқандаған ауытқиды.

### 3. Заттардагы альфа-бөлшектердің жұтылуы

Альфа-бөлшектердің жылулық қозгалысының жылдамдығына дейін (100 м/с) тәжелу кезеңінде жүретін жолы **толық жүгіру қашықтығы** деп аталады. Бірақ бірдей бастапқы жылдамдықтағы бөлшектердің еркін жүгіру жолдары зат атомдарының концентрациясының ауытқуына және әрбір әсер ету актісінде энергия жоғалтуларының ауытқуына байланысты ерекшеленеді. Сол себепті заттардағы бөлшектердің жұтылуын зерттеуде осы бөлшектердің жартысы жұтылатын еркін қозгалыстың орташа қашықтығы қолданылады. Бұл қашықтық заттагы бөлшектердің жұтылуу графигі  $N = f(x)$  арқылы анықталады. Бұл график белгілі бір уақыт аралығында санау құрылғысымен тіркеледі. Ол monoэнергетикалық бөлшектер санының қабат қалындығының функциясынан тұрады (17.1-сурет).

Орташа жүгіру қашықтығын тек monoэнергетикалық бөлшектердің жұқа коллимацияланған шоғы үшін ағын карқындылығы екі ессе төмендейтін қашықтық ретінде қарастыру орынды. Мұны орындау еркін жүгіру қашықтығы үшін нақты мәннен кіші мәнге ие болуына алып келеді. Соңдықтан коллимацияланбаған бөлшектер шоғыры жағдайында  $R_1$  экстраполяцияланған жүгіру қашықтығы қолданылады (17.1-сурет).



17.1-сурет. Альфа бөлшектердің заттарда жұтылуу графикі. x-санау құрылғысы және радиоактив коз арасындағы қашықтық,  $R_{\text{opt}}$ -ортша жүгіру қашықтығы,  $R_1$ -экстраполяцияланған жүгіру қашықтығы

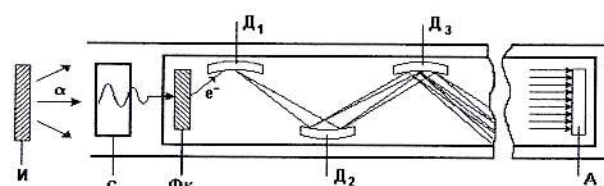
Мұны анықтау үшін  $N = f(x)$  графиктің ең тік нүктесіне жанама откізіледі және бұл жанаманың x осі мен қысымын нүктесі анықталады. Практикалық жағынан алып караганда экстраполяцияланған жүгіру

қашықтығы ретінде фон сәулеленуі болмaganда тіркелініп жатқан бөлшектер саны нольге тең болған қашықтық алынады.

#### 4. Эксперименттік болім

##### 4.1. Эксперименттік құрылғының сипаттамасы

Тәжірибелік өлшем ұяшығының жұмыс принципі мен конструкциясы сәйкесінше 17.2 және 17.3-суреттерде көрсетілген. Өлшеу ұяшығы коргасын контейнер (1) және оның үстіндегі жылжымалы штокке бекітілген үлгіге орналастырылған кіші мөлшердегі радиоактивті элементтен тұрады. Ұяшықтағыштоқтыңғысыуыннан (3) көмегімен жүзеге асырылады, ал альфа-радиактивті препараттың сцинтиляциялық есептегішке (4) қатысты орны миллиметрлік сызығыштың (5) көмегімен анықталады.

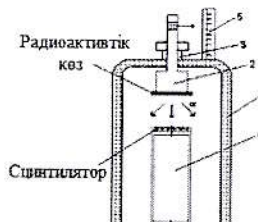


17.2-сурет. Олшеу ұяшығының істеу принципі

1. Коргасын контейнер
2. Радиоактивті көзді ұстайтын қозғалатын шток
3. Штокты ығыстыратын винт
4. Сцинтиляциялық санау құрылғысы
5. Сызығыш

##### 4.2. Сцинтиляциялық санау құрылғысының жұмыс істеу принципі

Бөлшектерді тіркейтін санағыш құрылғысы эксперименттік болімнен табылады. Альфа бөлшектері



17.3-сурет. Өлшеу ұяшығының конструкциясы

радиоактивті көзден (И) сцинтиляторға (3) тұскенде ол жарқыл жасайды. Фотоэффекттің нәтижесінде фотокатодтан( $\Phi_k$ ) бір немесе бірнеше фотоэлектрондар ұшып шығады. Фотокатодтан болінген электрондар үдеу потенциалы есебінен қосымша энергия алып, бірінші электродка (бірінші динод  $D_1$ ) тұседі. Электрондар динодқа соктығысынан екіншеге электрондар лақтырылады. Фотокөбейткіш кернеуі ( $U=1500\text{V}$ ) болу схемасы жәрдемінде динодтан динодқа электрондар санының артуы нәтижесінде фотокөбейткіштің шығуы-анодда санау құрылғысымен тіркелетін жоғары қуатты электр импульсі пайда болады. Фотокөбейткіш шағын инерциялық құрылғы болғандықтан, жарқылдар саны құрылғымен тіркелген импульстар санына қатан пропорционалды.

#### 4.3. Жұмысты орындау тәртібі

Бұл виртуалды зертханалық жұмыста плутоний-238 изотопын ( $T_{1/2}=87,75\text{жыл}$ ) зерттеу модельденген. Бұл зертханалық жұмыста экспериментаторға өлшеулер ретін, экспозиция уақытын және тәжірибелер санын ынгайлы таңдау мүмкіндігі берілген.

1. Курсорды «өлшеу» пернесіне экеліп, тышқаншаның сол жақ пернесін басыңыз. Мұнда компьютер өлшеу ұяшығының схемасын, секундомерді, импульсті есептегіш тактанды, көзben санағыш арасындағы x қашықтықты басқаруға арналған құрылғыны, әрқайсысы 2 mm дең болған 20 болімнен тұратын шкаланы және қашықтықты (X) көрсетеді.

2. Альфа-радиактивті затты сцинтиляторға өте жақын орналастырып, синақ өлшемдері ( $x = 0$ )  $t = 3,4,5\dots$  сек да откізіледі. Бұл жағдайда «тоқтату» пернесін қажетті уақытта басуға үлгеру қажет. Индексация уақытын әрбір экспериментатор өзіне ынгайлы түрде таңдайды және барлық өлшеулер бір уақытта жүргізіледі.

3. Таңдалған қашықтық пен уақыт үшін өлшеулер 5 рет қайталаңады. Өлшенген импульстердің орташа мәні  $\langle N(x) \rangle = \frac{1}{5} \sum N_i(x)$  анықталады және өлшеу нәтижелері 1-кестеге түсіріледі.

4. Өлшеу курсордың көмегімен қайталаңады, әр жолы радиоактивті препаратты 2 мін-ге жылжытады. Өлшеу импульстердің орташа мәні тұрақты мәнге жеткенше жалғасады. Бұл тұрақты шама ( $N_f$ ) табиги фон деп аталады және әрбір  $X$  қашықтығы үшін  $\langle N(x) \rangle - \langle N_f \rangle$  айырма есептеліп, кестеге енгізіледі. Сонымен қатар, әрбір өлшемде алынған нәтиже бірлік денелік бұрышқа нормалануы керек, яғни қашықтықтың үлғауымен денелік бұрыштың төмендеуіне түзету енгізілуі керек:

$$(\langle N(x) \rangle - \langle N_f \rangle)/\Omega \approx N'(x) > (2)$$

Бұл жерде,  $\Omega$ -қашықтықтың артуымен денелік бұрыштың кемуіне енгізілген түзету болып, берілген құрылғы үшін есептелген және кестеге келтірілген. Осы жолмен алынған нәтижелер кестеге енгізіледі және миллиметрлі қағазда  $\langle N(x) \rangle = f(x)$  жұтылу графигі сыйылады.

5. Тәжірибе нәтижелері негізінде сыйылған график(17.1)тен альфа бөлшектерінің аудағы экстраполяцияланған жүгіру жолын анықталады.

6. Орындалған зертханалық жұмыс бойынша корытынды жазылады.

#### Бақылаусұралстары:

1. Альфа-бөлшектің негізгі қасиеттерін түсіндіріңіз.
2. Альфа-бөлшектердің орта арқылы өтуі кезіндегі энергия шығыны түрлерін түсіндіріңіз.
3. Альфа-бөлшектердің орташа, экстраполяцияланған және келтірілген жүгіру жолдарын түсіндіріңіз.
4. Неліктен альфа-бөлшектердің жүгіру жолын бағалау кезінде денелік бұрышқа түзету жасалады?
5. Фотокөбейткіштің жұмыс принципін түсіндіріңіз.

#### ЗЕРТХАНАЛЫҚ ЖҰМЫС № 18. АЛЬФА БӨЛШЕКТЕР ЭНЕРГИЯСЫН ВИРТУАЛДЫ ТӘЖІРИБЕДЕ АНЫҚТАУ

**Жұмыстың мақсаты:** Виртуалды тәжірибелерде альфа-бөлшектердің энергиясын олардың аудағы еркін жүгіру қашықтығы анықтау.

**Қажетті құрал-жабдықтар:** компьютер, видеопроектор, экран, виртуалды зертханалық жұмыс жазылған диск.

#### Теориялық негіздеме

**Ядролардың радиоактивті а-ыдырауы.** Ядролардың радиоактивті а-ыдырауында екі протон мен екі нейтроннан тұратын а-бөлшек гелий ядросы лактырылады. а-бөлшектің массасы  $6,644 \cdot 10^{-27}$  кг, спин және магнит моменті нөлге тең. Бұл бөлшектің заряды оның құрамындағы протондардың зарядымен анықталады және  $+2e$  ге тең ( $e = 1,644 \cdot 10^{-19}$  Кл). а-ыдырауда бастапқы  $Z$  зарядты және  $A$  массалық санына ие болған «ана» ядросы реттік номірі  $Z-2$  және массалық саны  $A-4$  болатын «қызыз» ядрога айналады.

Қазіргі уақытта 150-ден астам а-радиоактивті ядролар анықталды, олардың көпшілігі элементтердің периодтық жүйесінің соңында орналасқан.

α-радиоактивті ядролардың және олар шығаратын α-бөлшектердің негізгі сипаттамалары ретінде жартылай ыдырау периоды-  $T_{1/2}$ , кинетикалық энергия  $E_a$  және еркін жүгіру қашықтығы  $R$  қарастырылады.

Ядролардың жартылай ыдырау периоды уақыт бойынша белсенділіктің томендеуі немесе ғасырлық (секуляр) тендеу негізінде анықталуы мүмкін. Нәкты тәжірибелерде α-бөлшектердің еркін жүгіру қашықтығы Вильсон камерасы немесе көпіршікті камера арқылы анықталады. Виртуалды зертханада альфа-бөлшектердің еркін жүгіру қашықтығын анықтау 17-зертханалық жұмыста толық сипатталған.

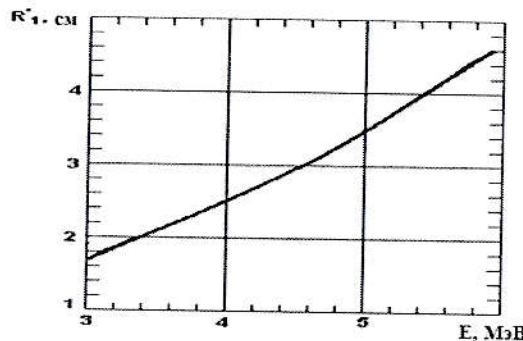
Альфа-бөлшектердің энергиясын тікелей және дәл өлшеу магниттік спектрометрлердің көмегімен жүзеге асырылады. Бұл құрылғылар ~5 кэВ дәлдіклен энергияны өлшеуге мүмкіндік береді.

Көптеген тәжірибелер мен теориялық зерттеулердің нәтижесінде альфа-бөлшектердің еркін жүгіруінің қашықтығы мен энергиясы арасында төмендегі катынас анықталды:

$$R \approx 0,3 E_{\alpha}^{3/2} \quad (1)$$

Бұл катынасты пайдалана отырып, альфа-бөлшектердің энергиясын еркін жүгіру қашықтығы арқылы жанама түрде анықтауга болады. Альфа-бөлшектердің еркін жүгіру қашықтығын анықтау әдісі 17-зертханалық жұмыста сипатталған.

Аудағы альфа-бөлшектердің экстраполяцияланған жүгіру қашықтығының энергияға байланысты эмпирикалық графигі 18.1-суреттеге көрсетілген.



18.1- сурет. Аудағы альфа-бөлшектердің экстраполяцияланған жүгіру қашықтығының олардың энергиясына байланысы

Альфа-бөлшектердің энергиясын анықтау үшін 17-зертханалық жұмысадағы 17.1-суреттегі жұтылу графигінен экстраполяцияланған жүгіру қашықтығы  $R_1$  табылады. Сонда (1) формула бойынша сыйылған 18.1-суреттегі графиктен осы шамага сәйкес энергия анықталады.

#### Эксперименттік бөлім

##### 1. Эксперименттік құрылғының сипаттамасы

Экспериментал өлшеу үяшығының құрылышы 17-зертханалық жұмыста сипатталған.

#### 2. Жұмысты орындау тәртібі

1. 17-зертханалық жұмыста берілген виртуалды эксперимент құрылғысының көмегімен альфа бөлшектерінің еркін жүгіру қашықтығы анықталады.

2. Тәжірибеде анықталған еркін жүгіру қашықтығына радиоактивті кез үстіне қапталған титан оксидінің ( $TiO_2$ ) қабықшасындағы жұтылу түзетіліу енгізіледі.

3. Альфа-бөлшектердің энергиясы тәжірибеде анықталған экстраполяцияланған жүгіру қашықтығы негізінде анықталады.

4. Тәжірибеде анықталған альфа бөлшектерінің энергиясы нақты тәжірибелер нәтижесімен салыстырылады және қателіктер есептеледі.

5. Тәжірибедегі бөлшектің энергиясын анықтаудың салыстырмалы қателігі  $\gamma = \frac{E_{\text{теор}} - E_{\text{эксп}}}{E_{\text{теор}}} \cdot 100\%$  формуладан табылады. Теориялық және эксперименттік нәтижелер күргөрекшеленетін болса, экспозиция уақытын кобейту арқылы тәжірибелерді қайталау қажет.

6. Орындалған зертханалық жұмыс бойынша жазылады.

#### Бақылау сұрақтары:

1. Альфа-бөлшектің негізгі касиеттерін түсіндіріңіз.
2. Ядроның жартылай ыдырау периоды альфа-бөлшектер энергиясымен қалай байланысты?
3. Альфа-бөлшектердің орта арқылы өтуі кезіндегі энергия шығыны түрлерін түсіндіріңіз.
4. Альфа-бөлшектердің орташа, экстраполяцияланған және көлтірілген жүгіру жолдарын түсіндіріңіз.
5. Неліктен альфа-бөлшектердің жүгіру қашықтығын бағалау кезінде денелік бұрышқа түзету жасалады?
6. Фотоэлектрон көбейткіштің жұмыс принципін түсіндіріңіз.

**ИЗОТОПЫНЫң ЖАРТЫЛАЙ ҮДҮРАУ  
ПЕРИОДЫН ВИРТУАЛДЫТӘЖІРИБЕДЕАНЫҚТАУ**

**Жұмыстың маңызы:** плутоний изотопының  $\alpha$ -үдүрауын зерттей отырып, Гейгер-Неттол формуласы арқылы жартылай үдүрау периодын анықтау.

**Қажетті құрал-жабдықтар:** компьютер, видеопроектор, экран, виртуалды зертханалық жұмыс жазылған диск.

**Теориялық негізде**

**Ядролардың радиоактивті  $\alpha$ -үдүрауы.** Ядролардың радиоактивті  $\alpha$ -үдүрауында екі протон мен екі нейтроннан тұратын  $\alpha$ -бөлшек гелий ядросы лақтырылады.  $\alpha$ -бөлшектің массасы  $6,644 \cdot 10^{-27}$  кг, спин және магнит моменті нөлге тең. Бұл бөлшектің заряды оның құрамындагы протондардың зарядымен анықталады және  $+2e$  ге тең ( $e = 1,602 \cdot 10^{-19}$  Кл).  $\alpha$ -үдүрау кезінде бастанкы  $Z$  зарядты және Амассалық санына ие болған «ана» ядроның реттік номірі  $Z-2$  және массалық саны  $A-4$ -болған «қызы» ядроға айналады.

Қазіргі уақытта 150-ден астам  $\alpha$ -радиоактивті ядролар анықталды, олардың көпшілігі элементтердің периодтық жүйесінің соңында орналасқан.

$\alpha$ -радиоактивті ядролардың өмір сүру ұзақтығы өте үлкен диапазонда жатады:  $3 \cdot 10^{-7}$  секунд ( $^{212}_{84}Po$ ) –  $1,4 \cdot 10^{10}$  жыл ( $^{232}_{90}Th$ ).  $\alpha$ -бөлшектердің кинетикалық энергиялары болса  $2,0 - 8,8$  МэВ кіші диапазонда жатады. Тәжірибе көрсеткендегі, радиоактивті ядроның өмір сүру уақыты неғұрлым кіші болса, түзілетін  $\alpha$ -бөлшектердің энергиясы соғұрлым үлкен болады. Бұл шамалар арасындағы мөлшерлі катынас Гейгер-Неттол заңымен өрнектеледі:

$$\log_{10} \tau = \frac{148}{\sqrt{E}} - 53,6 \quad (1)$$

бұл жерде,  $\tau$ - берілген изотоптың альфа-радиоактивті ядронының орташа өмір сүру уақыты (сек),  $E$ - альфа-бөлшектің кинетикалық энергиясы (МэВ).

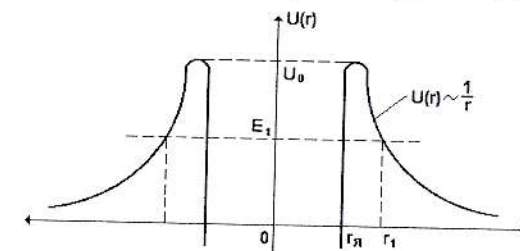
Гейгер-Неттол заңын пайдалана отырып,  $\alpha$ -бөлшектердің энергиясын біле отырып, берілген изотоптың орташа жасау уақытын және жартылай үдүрау периодын анықтау мүмкін.

$$T = \tau \ln 2 \approx 0,69 \tau \quad (2)$$

Ядро ішінде пайда болған  $\alpha$ -бөлшекті тек  $\sim 10^{-15}$  м қашықтықта әсер ететін электрлік емес ядролық құштермен ұстап тұрылады. Ядроның сыртында  $\alpha$ -бөлшек пен жаңа ядро арасында Кулондық тебіліс құштері бар. Бұл әсерлесудің потенциалдық энергиясы томендеғі түрде өрнектеледі:

$$U(r) = \frac{(Z-2)2e^2}{4\pi\varepsilon_0 r} \quad (3)$$

Кванттық механикалық елестерге сәйкес альфа бөлшектері 19.1-суретте көрсетілген потенциалдық кедергіден туннель эффектісі арқылы өтеді.



**19.1-сурет. Альфа-бөлшектердің потенциалдық кедергілердің ынтымалытуы**

**(Туннельэффектісі)не байланысты сызба**

Бұл потенциалды кедергіге және альфа-бөлшектің энергиясына байланысты күйде томендеғі үш жағдай болуы мүмкін:

- $E \leq 0$  болса, альфа-бөлшек ядроның ішінде орналасады.
- $E \geq U_0$  болса, альфа-бөлшек ядромен байланыспаған күйде кез келген қашықтыққа алыстауы мүмкін.
- $0 < E < U_0$  болғанда, альфа-бөлшектің ядродан тыс табылу ынтымалдығы бар.

Бөлшектердің потенциалдық кедергі арқылы «агу» құбылысын *туннель эффектісі* деп атайды.

Массасы  $m_\alpha$  және энергиясы  $E_i$  болған бөлшектің кеңдігі  $\Delta r = r_i - r_s$  ядролық кеңдіктегі кедергі арқылы ету ықтималдығы төмендегі кванттық механикалық қатынаспен өрнектеледі.

$$D \approx \exp \left[ -\frac{2}{\hbar} \int_{r_s}^{r_i} \sqrt{2m_\alpha [U(r) - E_i]} dr \right] \quad (4)$$

(4) өрнектен бөлшектер энергиясының жоғарылауымен туннельэффектісінің ықтималдығы артып, ядроның орташа жасау уақыты азаятынын көргө боловады.

#### 4. Эксперименттік болім

##### 4.1. Эксперименттік құрылғының сипаттамасы

Тәжірибелік құрылғының өлшеу үшіншілік конструкциясы 17-зертханалық жұмыста сипатталған.

##### 4.2. Жұмысты орындау тәртібі

1. 17 және 18 зертханалық жұмыстарда ұсынылған виртуалды тәжірибе құрылғысының көмегімен альфа-бөлшектердің еркін жүгіру қашықтығы мен энергиясы анықталады. Бұл зертханалық жұмыста әрбір талапкер 17 және 18 зертханалық жұмыстарда өзі алған нәтижелерін пайдалана алады.

2. Альфа-бөлшектердің энергиясы үшін тәжірибеде алынған нәтижелер негізінде Гейгер-Неттол заңынан пайдаланып берілген изотоптың орташа жасау уақыты мен жартылай ыдырау периоды анықталады.

3. Зерттелетін радиоактивті изотоптың жартылай ыдырау периоды үшін виртуалды тәжірибеде алынған нәтижелер нақты тәжірибемен салыстырылады және қателіктер есептеледі.

4. Зертханалық жұмыс нұсқаулығында берілген үлгі бойынша есеп жазылады.

5. Орындалған зертханалық жұмыс бойынша корытынды жазылады.

#### Бақылау сұрақтары:

1. Альфа-бөлшектің негізгі қасиеттерін түсіндіріңіз.

2. Ядроның жартылай ыдырау периоды альфа-бөлшек энергиясымен қалай байланысты?
3. Альфа-бөлшектердің орта арқылы етуі кезіндегі энергия шығыны түрлерін түсіндіріңіз.
4. Альфа-бөлшектердің орташа, экстраполяцияланған және келтірілген жүгіру жолдарын түсіндіріңіз.
5. Неліктен альфа-бөлшектердің жүгіру қашықтығын бағалау кезінде деңелік бұрышқа түзету жасалады?
6. Фотоэлектрон көбейткіштің жұмыс принципін түсіндіріңіз.

#### ЗЕРТХАНАЛЫҚ ЖҰМЫС №20. ЭЛЕКТРОННЫҢ МЕНШІКТІ ЗАРЯДЫН МАГНЕТРОН ӘДІСІНДЕ ВИРТУАЛДЫ ТӘЖІРИБЕДЕ АНЫҚТАУ

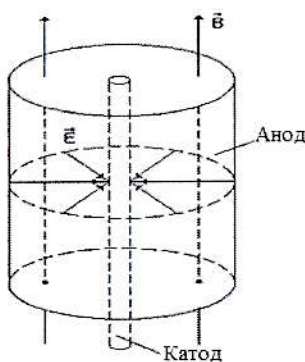
**Жұмыстың мақсаты:** электронның меншікті зарядын магнетрон әдісінде анықтау және өлшеу қателіктерін бағалау.

**Қажетті қурал-жабдықтар:** компьютер, видеопроектор, экран, виртуалды зертханалық жұмыс жазылған диск.

#### Теориялық негіздеме

1. **Магнетрон ішіндегі электрондардың қозғалысы:** Бөлшектің меншікті заряды оның зарядының ( $q$ ) массасына ( $m$ ) қатынасы ретінде анықталады.

Ең қаралайым магнетрон – цилиндрлік анод пен оның осіндегі орналасқан катодтан тұратын екі электродты электронды радиошам (диод) (20.1-сурет).



20.1- сурет. Магнетрон құрылымы

Бұл шам оның осінің бойымен бағытталған нөрісіне орналастырылады. Бұл жұмыста магнит өрісі лампалы диод айналасына оралған цилиндрлік катушка-соленоид арқылы жасалады. Бұл өрістің магниттік индукция векторы  $\vec{B}$  соленоидтағы токтың  $I_0$  өзгеруіне байланысты өзгереді.

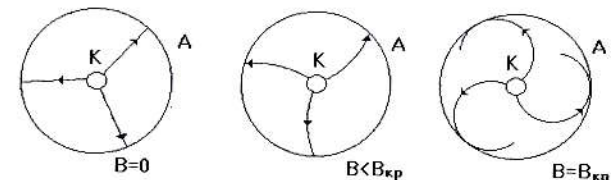
Электронның менишкіті заряды  $\frac{e}{m}$  (тәжірибе арқылы анықталған) радиошамдағы анодтық тогының  $I_a$  соленоидтағы  $I_c$  тогына байланысы  $I_a = f(I_c)$  арқылы анықталады.

Шамның ішіндегі катодтан анодқа қарай қозгалатын электронға екі күш әсер ететін белгілі:

- 1) Электр өрісі жағынан әсер ететін күш  $\vec{F}_E = e\vec{E}$  (1)
- 2) Магнит өрісі жағынан әсер ететін күш  $\vec{F}_M = e[\vec{v}\vec{B}]$  (2)

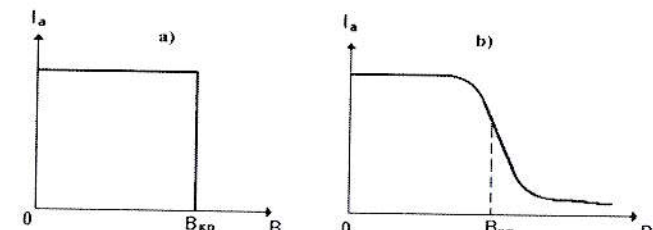
Бұл жағдайда бірінші күш радиус бойымен катодтан анодқа бағытталған болса, ал екіншісі жылдамдық пен магнит өрісінің индукция векторларына перпендикуляр бағытталған болады. 20.2-суретте магнит өрісінің индукция векторларының әртүрлі мәндеріндегі электрондардың траекториясы көрсетілген. Магниттік индукцияның жоғарылауымен электрондардың траекториясы кисық болып, магнит индукцияның белгілі бір критикалық

мәні  $B_{kp}$  кезінде электрондар анодқа жетпейтінін және бұл жағдайда анодтық токтың күрт төмендейтінін көруге болады.



20.2-сурет. Магнит өрісінің электрондар қозгалыс траекториясына әсері ( $B$  векторы қағаз жазықтығына перпендикуляр бағытталған)

20.3(a) және 20.3(b) суреттерде кескінделген анод тогы ( $I_a$ ) ның магнит индукциясы ( $B$ ) векторға байланысы магнетронның түсү сипаттамасы деп аталады.



20.3-сурет. Магнетронның идеалды (а) және нақты (б) түсү сипаттамалары

Магнетронның идеалды түсү сипаттамасы электрондардың бірдей жылдамдығымен қатаң біртекті өрісте байқалады. Бірақ шын мәнінде анодтық ток кенеттен токтамайды, бірақ бірте-бірте азаяды. Бұл жағдайда магниттік индукция векторының критикалық мәні  $I_a = f(B)$  сызықтың бұрылыс нүктесіне сәйкес келеді.

Егер лампаның катодының радиусы ( $r_k$ ) анод радиусынан ( $R_a$ ) өлдекайда аз ( $\frac{r_k}{R_a} \ll 1$ ) болса, электрон негізінен катодқа жақын кеңістікте жеделдестіледі, өйткені электр өрісінің кернеулігі катодтың айналасында іс

жүзінде нөлге тең емес. Сондықтан, электронның жылдамдығын тұрақты ( $v \approx const$ ) деп қабылдауға болады және траекториясы шенберден тұрады, ал критикалық траекторияның диаметрі анодтың радиусына тең:

$$2r_{kp} = R_a \quad (3)$$

## 2. Есептеу формуласын келтіріп шығару

Ньютоның 2-ші заңы бойынша магнит өрісінің электронга әсер ететін күші оған нормаль үдеу береді:

$$F_M = ma_n \text{ yoki } |e|vB_{kp} = \frac{mv^2}{r_{kp}} \quad (4)$$

бұдан

$$r_{kp} = \frac{mv}{|e|B_{kp}}. \quad (5)$$

Екінші жағынан

$$\frac{mv^2}{2} = eU_a, \quad (6)$$

( $U_a$  — катод және анод арасындағы потенциалдар айырмашылығы) екендігін есепке алсақ,

$$v = \sqrt{\frac{2eU_a}{m}} \quad (7)$$

(7) ны есепке алған күйде (4) формуладан электронның меншікті заряды үшін төмендегі өрнекті аламыз:

$$\left(\frac{|e|}{m}\right) = \frac{8U_a}{R_a^2 B_{kr}^2} \quad (8)$$

Шекті үзындықтағы өзегі жок соленоид жағынан өндірілетін магнит өрісі индукциясы төмендегі формула мен анықталады:

$$B = \frac{\mu_0 N I_c}{\sqrt{D^2 + L^2}} \quad (9)$$

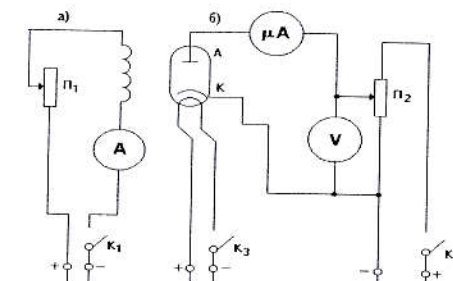
бұл жерде:  $\mu_0 = 4\pi \cdot 10^{-7}$  Гн/м — магнит тұрақтылық,  $N$  — соленоидтегі орамдар саны;  $L$  — соленоид ұзындығы;  $D$  — соленоид диаметрі;  $I_s$  — соленоидтегі ток күші.

(9)-ескере отырып,

электронның меншікті зарядынесептеуформуласытөмендегі көрініске ие болады:

$$\left(\frac{|e|}{m}\right) = \frac{8U_a(L^2 + D^2)}{R_a^2 \mu_0^2 I_c^2 p N^2} \quad (10)$$

## 3. Зертханалық жұмыстың тәжірибелік құрылғысының электрлік схемасы



20.4-сурет. Тәжірибе құрылғысы схемасы

Құрылғының электр тізбегі екі бөліктен тұрады: а) соленоид тізбегі, б) диод тізбегі.

Бұл схемада  $A$ -соленоидтегі ток күшін өлшейтін амперметр;  $\mu A$  — анодтық токты өлшейтін микроамперметр;  $V$  — анодтық кернеуді өлшейтін вольтметр;  $P_1$  және  $P_2$  — ток және кернеуді басқару құрылғылары.

Зертханалық жұмыстың тәжірибелік құрылғысында біртекті магнит өрісін құруга мүмкіндік беретін салыстырмалы ұзын соленоидтың ішіне қарапайым радиошам — диод орналастырылған.

Бұл зертханалық жұмыстың компьютерлік нұсқасында эксперименттік откізу жағдайлары максималды дәлдікпен модельдестірілген. Компьютердің

дисплейінде радиошамдағы анодтық токты өлшеттің микроамперметр және соленоидтағы токты өлшеттің амперметр көрсетіледі. Осы өлшеу құралдарының көрсеткіштеріне сүйене отырып, магнетронның тұсу сипаттамасын құруға болады.

Тәжірибелікізде экспериментатордан өлшеу нәтижелерінің есептеулері мен қателіктерін мұқият және дұрыс орындау талап етіледі. Өлшеулерді соленоид тогын монотонды түрде арттыру немесе азайту арқылы жасауга болады. Ол тек клавиатуражәнетышканшамен жүзеге асырылады. Бірақ виртуалды зертханалық жұмысын орындаудан алдын иұқсаулықтың теориялық бөлігін мұқият оқып, бақылау сұраптарына жауап беруге болады. Бақылау сұраптарына қанағаттанарлық жауап берген талапкер зертханалық жұмысты орындауға кіріседі.

#### 4. Жұмысты орындау тәртібі

1. Курсорды “Өлшеу” пернесіне апарып, тышканшаның сол жақ клавишиның басыныз, компьютер дисплейінде жоғарыда аталған амперметр мен микроамперметр пайда болады.

2. Өлшеу құралдарымен танысқаннан кейін есептің «Өлшеу құралдары және олардың сипаттамалары» кестесі толтырылады.

3. Есепберуге магнетронның параметрлері енгізіледі. Өлшеулер анод кернеуінің  $U_a = 6 \pm 0,1V$  мәні бойынша жүргізіледі.

4. Курсорды соленоид тогын басқару тұтқасына келтіру арқылы анодтық тогы  $I_a$  ишін соленоид тогы  $I_s$  ға байланысы анықталады. Өлшеулер 18 мәннен кем болмауы керек, ал алынған нәтижелер есептің 2 кестесіне енгізіледі.

5. Алынған нәтижелер бойынша  $I_a = f(I_c)$  байланыс графигі салынады. Бұл графикten соленоидтағы токтың критикалық мәні  $I_{kp}$  графикалық дифференциалдау әдісімен анықталады.

Графикалық дифференциациялаутемендегідей орындалады.

Соленоидтық токтың жақын нүктелері үшін  $|\Delta I_a|$  және  $\Delta I_c$  алынады,  $\frac{|\Delta I_a|}{\Delta I_c}$  қатынасы анықталады және үшінші кестеге енгізіледі. Миллиметрлі қағазға  $\left| \frac{\Delta I_a}{\Delta I_c} \right| = f(\langle I_c \rangle)$  график сызылады. Бұл жағдайда  $I_s$  - алынған екі нүктеге сәйкес келетін соленоидтық токтың орташа мәні, яғни соленоидтық токка сәйкес нүктеге іргелес нүктелер алынуы керек.

Графиктегі максимумға сәйкес абсцисса осіндегі нүкте соленоидтағы критикалық токты береді.

6. Алынған тәжірибе нәтижелерін негізгі есептеу формуласына (10) койып, электронның меншікті электр заряды анықталады. Алынған нәтиже кестенің мәнімен салыстырылады.

7. Есепте берілген формулалар негізінде абсолютті және салыстырмалы қателіктер анықталады. Тәжірибе нәтижелері кестедегі мәннен айтартылған ерекшеленетін жағдайларда тәжірибелер қайталанады.

8. Екінші косымшада келтірілген үлгі бойынша есеп дайындалады және оқытушыға тексеруге ұсынылады.

І-косымша.

Озегі жоқ соленоидтың магнит өрісінің индукциясы төмендегі формуладан табылады:

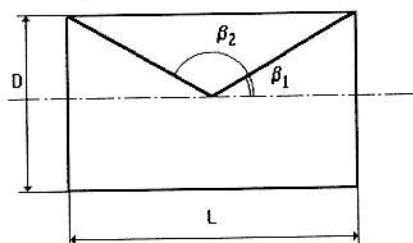
$$B = \frac{\mu_0 I_c N}{2L} (\cos \beta_1 - \cos \beta_2)$$

$N$  — соленоидтағы орамдар саны;  $I_c$  — соленоидтағы ток күші;  $L$  — соленоидтың ұзындығы;

$\beta_1$  және  $\beta_2$  — соленоидтың осі және шеткі нүктелерге өткізілген радиус-векторлар арасындағы бұрыштар.

20.5-суретте көрсетілген,

$$\cos \beta_1 = \frac{L}{\sqrt{D^2 + L^2}}, \cos \beta_2 = -\frac{L}{\sqrt{D^2 + L^2}}.$$



20.5-сурет. Соленоид магнит индукциясын есептеуге байланысты сыйза

Сонымен, магнит индукциясы үшін тәмендегі өрнекке не боламыз:

$$B = \frac{\mu_0 I_c N}{\sqrt{D^2 + L^2}}.$$

Егер  $D < L$  (үшін соленоид) болса,  $B = \mu_0 I_s \frac{N}{L}$ .

$$\frac{e}{m} = \frac{8 \cdot 5,9 \left( (50 \cdot 10^{-3})^2 + (33,4 \cdot 10^{-3})^2 \right)}{(5 \cdot 10^{-3})^2 (12,5 \cdot 10^{-7})^2 (93 \cdot 10^{-3})^2 (1700)^2} = \frac{47,2 (2500 \cdot 10^{-6} + 1115,56 \cdot 10^{-6})}{25 \cdot 10^{-6} \cdot 156,25 \cdot 10^{-14} \cdot 8649 \cdot 10^{-6} \cdot 289 \cdot 10^4} = \\ = \frac{170654,432 \cdot 10^{-6}}{9763,91 \cdot 10^{-16}} = 17,47 \cdot 10^{-10}$$

Соленоидтың токтың ортаса мәндері үшін магниттік индукцияны есептейміз және оған сәйкес анодтың токтың мәндерін екінші кестеге енгіземіз.

2-кесте

№	$I_s, mA$	$B, T_B$	$I_{A,\text{опт}} (\mu A)$
1	18,75	66,94	185
2	43,75	156,19	165
3	68,75	245	145
4	93	332	128
5	117,5	419,48	110
6	142	506,94	90
7	167,5	598	72
8	193,5	690,8	54

### Бақылау сұрақтары:

- Зарядталған бөлшектердің электр және магнит өрісіндегі қозғалысын түсіндіріңіз.
- Магнетронның жұмыс принципі мен құрылымын түсіндіріңіз.
- Магнетронның идеалды және нақты тұсу сипаттамаларының айырмашылығы неде?
- Зертханалық жұмыстағы жұмысшы формуласын түсіндіріңіз.
- Тәжірибе құрылғысын түсіндіріңіз.
- Жұмысты орындау тәртібін түсіндіріңіз.

Зертханалық жұмыстарды орындау және есеп беру бойынша үлгілер

**ЗЕРТХАНАЛЫҚ ЖҰМЫСҚА ЕСЕП БЕРУ ҮЛГІСІ**

**ТИТУЛ БЕТІ**

Науайы мемлекеттік педагогикалық институты

Физика-технология факультеті

“Физика және астрономия” кафедрасы

Атом, ядро және элементар бөлшектер физикасы пәнінен

—зертханалық жұмысына

**ЕСЕП БЕРУ**

**Орынадады:** “Физика және астрономия” бағыты

3-курс талапкері \_\_\_\_\_

**Қабылладады:** \_\_\_\_\_

Оқытушының аты-жөні (колы)

Науайы-202\_\_\_\_\_

**1-Үлгі: Зертханалық жұмыс № 16. Радиоактивті сәулелердің әртүрлі**

**ортадағы жұтылу коэффициентін виртуалды тәжірибеде анықтау**

1. Зертханалық жұмыстың мақсаты:

2. Зертханалық жұмысты орындау үшін қажетті құрал-жабдықтар: \_\_\_\_\_

3. Зертханалық жұмыстың түсіндірме жазбасы негізінде таңдалған зат үшін тәжірибе нәтижелері алынады. Есеп беруде таңдалған зат түрі көрсетіледі.

4. Алынған нәтижелер 1-кестеге түсіріледі.

5. 1-кесте негізінде компьютерлік бағдарлама негізінде әртүрлі заттар үшін жұтылу коэффициенттерін салыстыру диаграммасы сыйылады.

6. Таңдалған заттар үшін жұтылу коэффициенттері зат материалының әртүрлі қалындығында қалай өзгеретіні зерттеледі. Алынған нәтижелер 2-кестеге түсіріледі және компьютерлік бағдарлама негізінде заттан өтетін сәулелену активтілігінің қалындық бойынша өзгеру графигі сыйылады.

**16-зертханалық жұмыстың есеп беру үлгісі**

1. Зертханалық жұмысты өткізуден мақсат: әртүрлі заттардағы гамма-сәулеленудің жұтылу коэффициентін, зат арқылы өтетін гамма-сәулеленудің интенсивтілігін материалдың қалындығына қарай өзгеруін анықтау және ақпараттық-коммуникациялық технологиялар негізінде талапкерлерде гамма-сәулеленудің қасиеттері туралы білім және дағдыларын қалыптастырудан тұрады.

2. Виртуалды зертханалық жұмысын орындау үшін есеп кітапшасына тәжірибелік құрылғысының жалпы кескіні сыйылады.

3. Зертханалық жұмысты орындау үшін мұғалім көрсеткен жұтатын материалдың түрі тышқанша көмегінде таңдалып, оның қалындығы белгілеп алынады. Тышқанша көмегінде «Бастау» пернесін басу арқылы виртуалды

зертханалық күрылғы іске косылады. Бұл жағдайда контейнер саңылауының алдындағы экран қозғалады және детектор зат арқылы өтетін сәулеленудің карқындылығын санайды. Виртуалды зертханалық жұмыста санау күрылғысы берілген шарттардагы белсенділікті (1 секундтағы ыдыраулар санын) көрсетеді. Көзден шыгарылатын  $I_0$  сәулелену белсенділігін анықтау үшін жұтатын материалдың қалындығы 0-ге келтіріледі.

4. Бір заттың көрсетілген қалындығына өлшеулер 3 рет қайталанады және алынған нәтижелер 1-кестеге түсіріледі. Бұл өлшеулерде топ талапкерлері шағын топтарда жұмыс істейді. Мысалы, топқа өлшеу материалдары ретінде темір (Fe), корғасын (Pb) және құм (негізінен Si) берілді делік. Әртүрлі материалдар үшін жұтылу коэффициенттері төмендегі формула бойынша аныкталады:

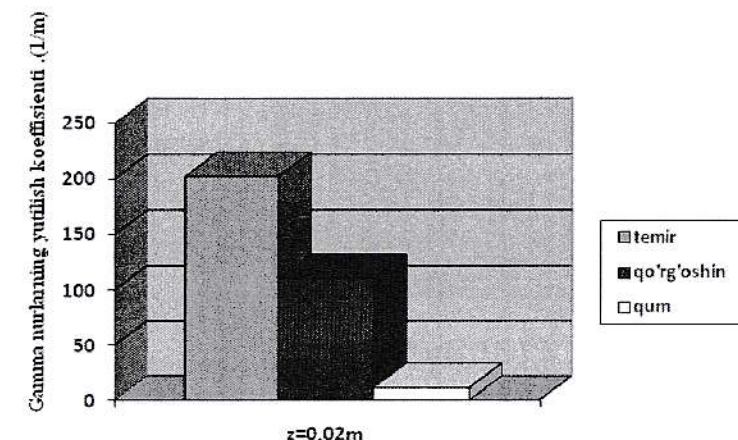
$$I = I_0 e^{-\mu z} \Rightarrow \mu = [\ln(I_0/I)]/z$$

Натурал логарифмдер кестесі қосымшада келтірілген.

3-кесте

Материал түрі	Z, (м)	Өлшеулер			Есептеулер								
		I <sub>0</sub> , (имп/сек п/с)	I, (имп/сек)	1	2	3	1	2	3	μ, (1/м)	μ <sub>o·π</sub> , (1/м)	Δμ <sub>o·π</sub>	ε, (%)
Темір	0,02	2000	32	36	37	206	201	199	202	2,7	1,33		
Корғасын	0,02	2000	201	240	231	115	106	108	110	3,7	3,36		
Құм	0,02	2000	1599	1598	1620	11	12	11	11,3	0,43	3,8		

5. 3-кесте негізінде қалындығы бірдей ( $z=\text{const}$ ) әртүрлі заттардагы гамма-сәулелердің жұтылу коэффициенттері диаграмма түрінде сзызылып, салыстырылады. Қарастырылып отырган заттар бойынша тәжірибе нәтижелері негізінде төмендегі диаграмма алынған (1-сурет).



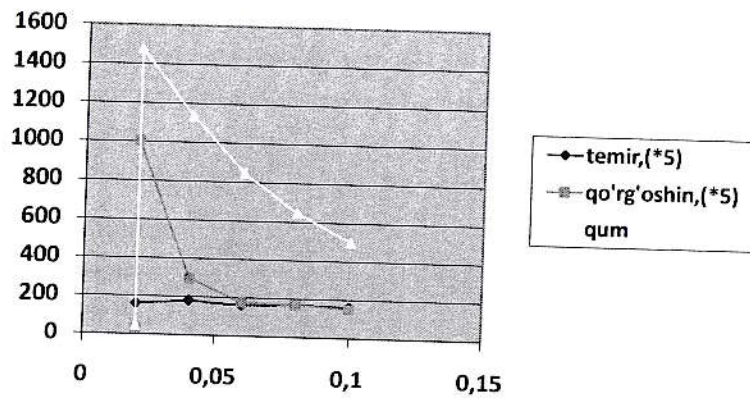
1-сурет

6. Таңдалған материалдың қалындығы өзгертіліп, әртүрлі қалындықтар үшін алынған нәтижелер 3-кестеде келтірілген және берілген сәулелену белсенділігінің материалдың қалындығына байланыс графикі ( $I = f(z)$ ) сзызылған (1-сурет).

4-кесте

Z, (м)	0,02	0,04	0,06	0,08	0,01
I, (имп/сек)					
Темір	32	36	32	34	32
Корғасын	201	59	35	34	30
Құм	1476	1137	846	647	500

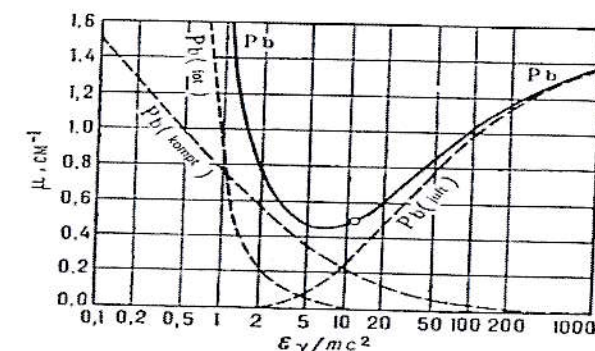
6-суреттегі графикте темір мен корғасының байланыс сзызықтары көріні үшін 5 есе үлкейтілген күйде сзызылған.



2-сурет

7. Виртуалды тәжірибеде алынған нәтижелер нақты эксперимент нәтижелерімен және теориялық мәліметтермен салыстырылып, соңғы қорытындылар жасалады:

Заттардың гамма-сәулелерінің заттарда жұтылуы қурделі процесс екендігі белгілі, ол негізінен фотоэффект, Комpton эффектісі және электрон-позитрондың жұптардың пайда болуымен байланысты. Осы процестердің кайсысы жұтылу кезінде орын алу ықтималдығы гамма сәулелерінің энергиясына байланысты. Мысалы, төмен энергияларда негізінен фотоэффект, Комpton эффектісі байқалады, жоғары энергияларда электрон-позитрон жұбының түзілуі байқалады. 3-суретте эксперименталды зерттеудерде анықталған қорғасындағы гамма-сәулелердің жұтылу коэффициентінің сәулелену энергиясына тәуелділігі көрсетілген.



3-сурет

Зерттелетін виртуалды зертханалық жұмыстың бір кемшілігі – түсетін гамма-сәулелену энергиясының нақтыланбауы. Дегенмен, қорғасын үшін алынған нәтижелер белгілі бір энергия диапазонындағы нақты тәжірибе нәтижелерімен сәйкес келетінін көреміз.

8. Талапкерлер виртуалды зертханалық жұмыста алынған өлшеу нәтижелері бойынша әртүрлі заттардағы гамма-сәулелердің жұтылуы туралы алынған мәліметтерді талдайды және тест сұрақтарына жауап жазады.

**2-Үлгі: Зертханалық жұмыс №17. Альфа бөлшектерінің ауда еркін жүгіру қашықтығын виртуалды тәжірибеде анықтау**

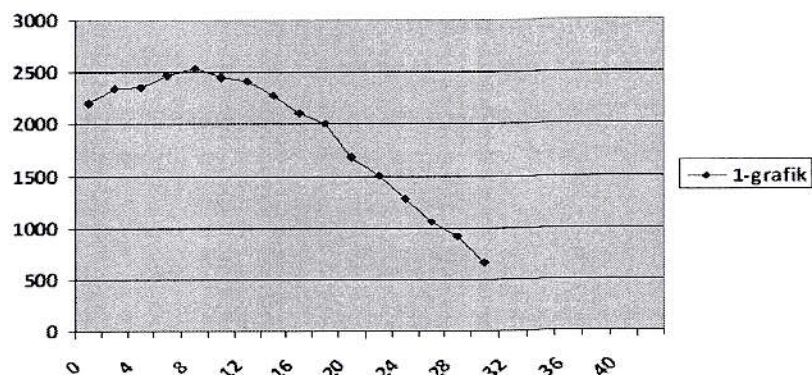
1. Детекторда тіркелетін импульстар санының альфа-радиактивті кез және сцинтиляциялық есептегіш арасындағы қашықтықка байланысының нәтижелері 1-кестеге түсіріледі.

1-кесте

$x, m$	$\Omega$ салы с. бір	$N$					$\langle N(x) \rangle$	$\langle N(x) \rangle - \langle N_{\delta} \rangle$	$\frac{\langle N(x) - \langle N_{\delta} \rangle \rangle}{\Omega}$
		1	2	3	4	5			
0	0,500	1143	113 <sub>8</sub>	1111	1083	1123	1119	1100	2200
2	0,465	1086	108 <sub>3</sub>	1053	1110	1105	1107	1088	2339
4	0,425	1082	100 <sub>8</sub>	1053	983	971	1019	1000	2352
6	0,395	1011	100 <sub>9</sub>	990	997	967	994	975	2468
8	0,360	922	924	904	981	935	933	914	2538
10	0,325	753	841	846	793	852	817	798	2455
12	0,300	757	709	722	760	779	745	726	2420
14	0,274	629	694	645	649	606	644	625	2281
16	0,250	538	546	516	572	552	544	525	2100
18	0,229	490	479	484	469	466	477	458	2000

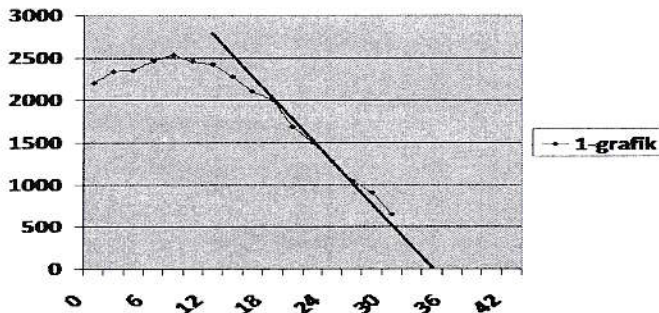
20	0,210	391	369	375	370	357	372	353	1680
22	0,195	306	304	299	338	314	312	293	1502
24	0,184	247	263	255	251	262	255	236	1282
26	0,165	197	209	185	185	191	193	174	1054
28	0,142	155	147	139	156	150	149	130	915
30	0,135	111	102	104	116	107	108	89	659
40	(fon)	20	19	18	19	21	19	0	0

Детекторға тіркелген импульстар санының қашықтыққа байланыс графигі (1-график)



1-графикті пайдалана отырып, графикке өткізілген жанаманың X осімен қиылышу нүктесі ретінде альфа-бөлшектердің экстраполяцияланған жүгіру қашықтығын анықтаймыз:

$$R_1 \approx 40 \text{ mm}.$$



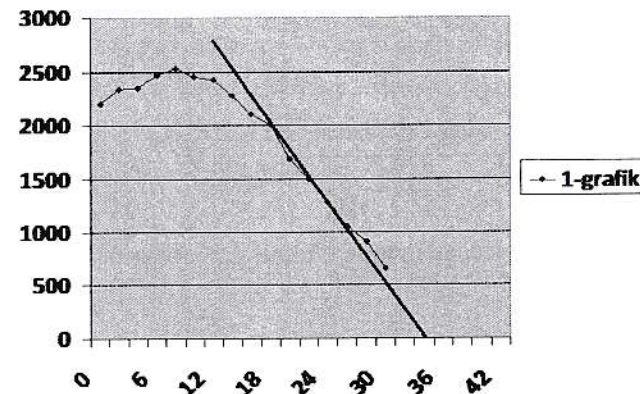
Альфа бөлшектердің көз үстіне қапталған плёнкадағы жүгіру қашықтығын есепке алған күйде келтірілген экстраполяцияланған жүгіру қашықтығы ( $R'_l$ ) ді анықтаймыз:

$$R'_l = R_l + \Delta R_l,$$

бұлжерде,  $\Delta R_l = l_0 C$  және  $l_0 = 1,7$  мкм,  $TiO_2$ -плёнка қалындығы,  $C = (3,4 \pm 0,1) \cdot 10^3$ ,

$$\begin{aligned} R'_l &= 34,9 \cdot 10^{-3} + 1,7 \cdot 10^{-6} \cdot 3,4 \cdot 10^3 = 34,9 \cdot 10^{-3} + 5,78 \cdot 10^{-3} = 40,68 \cdot 10^{-3} \text{ м} \\ &= 40,68 \text{ мм} \approx 4,07 \text{ см} \end{aligned}$$

3-Улгі: Зертханалық жұмыс № 18. Альфа бөлшектер энергиясын виртуалды тәжірибеде анықтау



1-сурет.

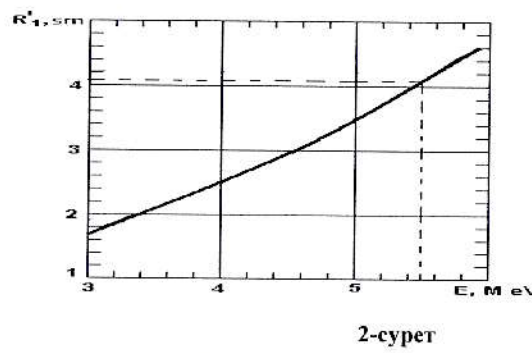
2-улгіде альфа бөлшектердің көз үстіне қапталған плёнкадағы жүгіру қашықтығын есепке алған күйде келтірілген экстраполяцияланған жүгіру қашықтығы ( $R'_l$ ) төмендегідей анықталған еді:

$$R'_l = R_l + \Delta R_l,$$

бұлжерде,  $\Delta R_l = l_0 C$  және  $l_0 = 1,7$  мкм,  $TiO_2$ -плёнка қалындығы,  $C = (3,4 \pm 0,1) \cdot 10^3$ .

$$\begin{aligned} R'_l &= 34,9 \cdot 10^{-3} + 1,7 \cdot 10^{-6} \cdot 3,4 \cdot 10^3 = 34,9 \cdot 10^{-3} + 5,78 \cdot 10^{-3} = 40,68 \cdot 10^{-3} \text{ м} \\ &= 40,68 \text{ мм} \approx 4,07 \text{ см} \end{aligned}$$

Бұл тәжірибеде 1-суреттегі экстраполяцияланған жүгіру қашықтығының альфа-бөлшектердің энергияға тәуелділік графигінен көзден шығып кеткен альфа бөлшектерінің энергиясын анықтаймыз:  $E_{\text{жкм}} = 5,48 \text{ Мээ}$  (2-сурет).



2-сурет

Гейгер-Неттол занына сүйене отырып, біз альфа-бөлшек энергиясының теориялық мәнін есептейміз:

$$\log_{10} \tau = \frac{148}{\sqrt{E}} - 53,6$$

Бұл формулада плутоний-238 изотопының нақты тәжірибелерде жартылай ыдырау периоды  $T_{1/2}=87,75$  жыл екендігін есепке алсак,

$$\tau = \frac{T_{1/2}}{\ln 2} = \frac{87,75}{0,693} = 126,6 \text{ жыл} = 126,6 \cdot 31536000 \text{ сек} = 3992457600 \text{ сек}$$

ге тен және

$$E_{meop} = \left( \frac{148}{\log_{10} \tau + 53,6} \right)^2 = \left( \frac{148}{9,6012403 + 53,6} \right)^2 = \left( \frac{148}{63,2} \right)^2 = 2,34177215^2 \\ = 5,48389681 M\text{ээ}$$

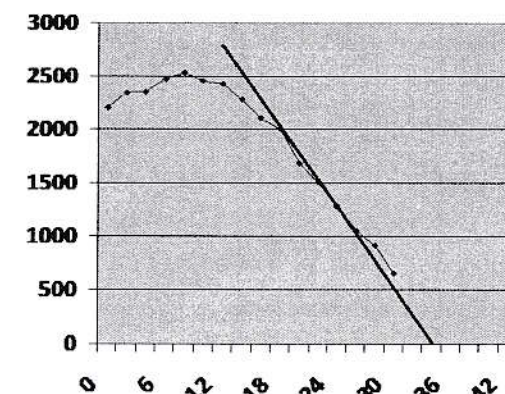
Жоғарыда алынған нәтижелер негізінде энергияны анықтаудың салыстырмалы қателігін есептейміз.

$$\varepsilon = \frac{E_{meop} - E_{жсп}}{E_{meop}} \cdot 100\% = \frac{5,483 - 5,48}{5,483} \cdot 100\% = 0,05\%$$

#### 4-Үлгі: Зертханалық жұмыс № 19. Радиоактивті плутоний-238 изотопының жартылай ыдырау периодын виртуалды тәжірибеде анықтау

2-үлгідегі кесте және графикден пайдалана отырып, графикке еткізілген жанаманың X осімен киылышу нүктесі ретінде альфа-бөлшектердің экстраполяцияланган жүргіру қашықтығын анықтаймыз:

$$R_1 \approx 40 \text{ mm}.$$



1-grafik

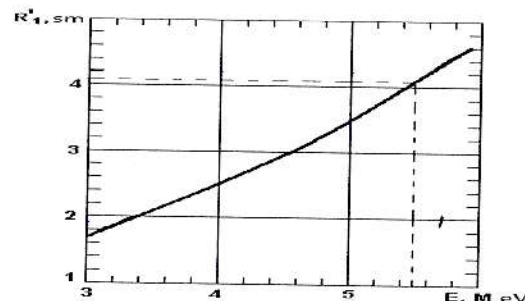
1-сурет

Альфа бөлшектердің көз үстіне қапталған плёнкадағы жүгіру қашықтығын есепке алған күде келтірілген экстраполяцияланған жүгіру қашықтығы ( $R'_1$ ) ді анықтаймыз:

$$R'_1 = 34,9 \cdot 10^{-3} + 1,7 \cdot 10^{-6} \cdot 3,4 \cdot 10^3 = 34,9 \cdot 10^{-3} + 5,78 \cdot 10^{-3} = 40,68 \cdot 10^{-3} \text{ м}$$

$$= 40,68 \text{ мм} \approx 4,07 \text{ см}$$

3-үлгідегі экстраполяцияланған жүгіру қашықтығының альфа-бөлшектер энергиясына байланыстырылған графигінен көзден шығатын альфа-бөлшектердің энергиясын анықтаймыз:  $E_{\text{мен}} = 5,48 \text{ Мээ}$  (2-сурет).



2-сурет

Альфа-бөлшек энергиясының тәжірибелік мәніне сүйене отырып, плутоний-238 изотопының жартылай ыдырау периоды анықталады:

$$\log_{10} \tau = \frac{148}{\sqrt{5,48}} - 53,6 = \frac{148}{2,34} - 53,6 = 9,6224667$$

бұдан орташа жасау уақыты үшін тәмендегі нәтижеге ие боламыз:

$$\tau = 4192438774,1465 \text{ сек} = \frac{4192438774,1465}{31536000} = 132,94 \text{ жыл}$$

Осылан негізделіп, плутоний-238 изотопының жартылай ыдырау периоды үшін тәмендегі нәтижені аладыз:

$$T_{1/2} = \tau \cdot \ln 2 = 132,94 \cdot 0,693 = 92,1 \text{ жыл}$$

$$\varepsilon = \frac{T_{1/2(\text{жыл})} - T_{1/2(\text{оригинал})}}{T_{1/2(\text{жыл})}} \cdot 100\% = \frac{87,75 - 92,1}{87,75} \cdot 100\% = 4,95\%$$

## ЗЕРТХАНАЛЫҚ ЖУМЫСТАР БОЙЫНША МУ-TEST БАҒДАРЛАМАСЫНДАГЫ ТЕСТЕР

### 1. Фотонның массасы қандай формуламен анықталады?

- a)  $m = \rho \cdot v$
- b)  $m = 2E/v^2$
- c)  $m = h\nu/c^2$
- d)  $m = h\nu \cdot \lambda$

### 2. Фотоэффект құбылысында фототоктың қаныгу бөлігі жарыққа ... байланысты.

- a) ағынына;
- b) ағынына және жиілігіне;
- c) толқын ұзындығына;
- d) металдың шығу жұмысына.

### 3. Фотоэффект құбылысында фотозелектрондардың жылдамдығы (кинетикалық энергиясы) жарыққа ... байланысты.

- a) ағынына
- b) жиілігіне
- c) металдың шығу жұмысына
- d) жарық ағынына да, жарық жиілігіне де.

### 4. Фотоэффекттің қызыл шекарасы нені білдіреді?

- a) Фототок күшінің мәні нелге тең болған жағдайды;
- b) Жарық фотонының энергиясы металдың шығу жұмысынан кіші болған жағдайды;
- c) Металл бетінен түсетін жарық жиілігі металдың шығу жұмысымен тәмендегі шартты орындаған жағдайды, яғни  $h\nu = A$ ;
- d) Фотонның энергиясы металдың шығу жұмысынан үлкен болған жағдайды.

### 5. Фотоэффект құбылысында фотозелектрондардың ұстайтын кернеу жарық жиілігіне ...

- a) байланысты емес;
- b) квадрат байланыста;
- c) Сызықты байланыста;
- d) Күрделі көрініске байланысты.

**6. ... фотоэлементтердің фотосезімталдығы ең үлкен болады.**

- a) Вакуумды;
- b) Газ толтырылған;
- c) Жартылай еткізгішті;
- d) Барлық фотоэлементтердің.

**7. Фотоэффект құбылсыныда жарық фотоны металға түскенде, ол оған қалай әсер етеді?**

- a) Металл иондарымен өзара жеке әсерлеседі, яғни металл иондарымен жүтылады;
- b) металдағы бос электрондардың бірімен өзара жеке әсерлеседі және оған жүтылады;
- c) Металл иондық торлармен өзара әсерлеседі және өз энергиясын береді;
- d) металл бетіне түсіп, шашырап кетеді;
- f) Металдағы барлық электрондармен өзара әсерлесіп, оларға өз энергиясын береді.

**8. Фотоэлементтердің сапасы катод бетінің сапасына байланысты ма?**

- a) Иә, бұл байланысты, ейткені әртүрлі фотокатодтардың шығу жұмыстары әртүрлі; катодтың беті негұрлым таза болса, шығу жұмысы соғұрлым анық болады;
- b) Жоқ, байланысты емес, ейткені катодтың бетінде отырган атомдар оның жұмысын өзгерте алмайды;

с) Оиша байланысты емес, себебі фототоктың мәні фотоэлектрондардың жылдамдығына, фотоэлектрондардың сапасы фототоктардың мәніне байланысты;

d) Жоқ, байланысты емес, себебі фотоэлементтердің сапасы фотокатодтардың шығу жұмысына емес, жоғары немесе төмен вакуумға байланысты.

**9. Газ толтырылған фотоэлементтерді жасау үшін қандай газдар қолданылады және олардың максаты қандай?**

- a) Оттегі, сутегі, азот, ейткені олардың электронды жақындығы аз;
- b) Инертті газдар: неон, аргон, гелий, ейткені олар оңай иондалады;
- c) Тек сутегі газы пайдаланылады, ейткені оның атомында бір электрон бар;
- d) Тек оттегі, ейткені оны алу арзан.

**10. Вакуумды және газ толтырылған фотоэлементтер ... бойынша ерекшеленеді.**

- a) Фототоктың шамасы;
- b) Фотосезімталдық;
- c) Ұстагыш потенциал мәнінің шамасы;
- d) Фотоэлектрондар бұлтының пайда болуы.

**11. Тәжірибелерде фотокатодтың қызыл шекарасы 300 нм болатыны анықталды. Осы фотокатодтан электронның шығу жұмысы қанша ЭВ екендігі анықталсын.**

- a) 1,6; b) 3; c) 4,1; d) 4,8.

**12. Қандай кернеуде фототоктың мәні нөлге тең болады?**

- a) Кернеу нөлге тең болғанда;
- b) Кернеу теріс болғанда;
- c) Кернеу он болғанда;
- d) Кернеу мәні ұстагыштың потенциалдық мәніне тең болғанда.

**13. Жарық ағыны жоғарылағанда фотоэффекттің вольт-амперлік сипаттамасы қалай өзгереді?**

- a) Вольт-амперлік сипаттама өзгермейді;
- b) Вольт-амперлік сипаттаманың қанығу бөлігі төмендейді;
- c) Вольт-амперлік сипаттаманың қанығу бөлігі артады;
- d) Вольт-амперлік сипаттаманың негізгі бөлігіндегі өзгеріс болады.

**14. Фотоэффекттің вольт-амперлік сипаттамасы (ВАС) жиілікке...**

- a) қарай өседі, оның соңында өзгеріс байқалмайды;
- b) ВАС соңы жиіліктің жоғарылауымен солға ығысады, қанығу тогы дерлік өзгермейді;
- c) ВАС қанығу бөлігі де, оның соңы да жиілікке пропорционалды өзгеріп барады.

**15. Жарықтың қанығу фототогы ... тәуелді.**

- a) Жиілігіне;
- b) Ағымына;
- c) Спектрлік кұрамына;
- d) Табиги немесе поляризацияланғандығына.

**16. Эйнштейн тендеуі (фотоэффект үшін) қай жағдайда дұрыс жазылғанын анықтаңыз.**

a)  $h\nu = \frac{mv^2}{2} + A$ ; b)  $h\nu_0 = A + \frac{mv^2}{2}$ ; c)  $h\nu = \frac{mv_{max}^2}{2} + A$ ; d)  $h\nu_0 = \frac{mv_{max}^2}{2} + A_0$ .

**17. Фотоэффект кезінде фотокатод материалы өзгермесе, фотоэлектронның кинетикалық энергиясы неге тәуелді?**

- a) Электрондың шығу жұмысына;
- b) электрондарға берілетін кернеуге;
- c) жарық жиілігіне;
- d) Жарық ағынына.

**18. Жарықтың шағылыстыратын бетке түсіретін қысымы (барлық басқа жағдайлар өзгермегендеге) абсолютты қара денеге көрсететін қысымнан .... болады.**

- a) 2 есе үлкен;
- b) 2 есе аз;
- c) 4 есе үлкен;
- d) 4 есе аз.

**19. Жарықтың қатты денеге түсіретін қысымын сезіну мен олшеудегі негізгі тәжірибелік қындықтар қандай?**

- a) Жарық қысымы молекулалардың қысымынан аз болғандығы;
- b) Радиометриялық асерді жою кезінде;
- c) Жоғары вакуум құрудың қындығында;
- d) Лебедев бұралу таразында серпімділігі жоғары болған сымды табу қындығында.

**20. Максвеллдің электромагниттік толқындар теориясына негізінде жарықтың қысымы неге тең?**

- a) бірлік ауданға тұра келген жарық энергиясына;
- b) бірлік ауданға түсегін электромагниттік толқын энергиясына;
- c) көлем бірлігіндегі электромагниттік толқын энергиясына;
- d) Жарық қарқындылығына.

**21. Лебедев тәжірибелерінде радиометриялық эффект қалай жоғалады?**

- a) Шенберлер жінішке етіп жасалған;
- b) Шенберлердің бірі қара түске боялған;
- c) Конвекция ағыны жойылған;
- d) Шенберлер жалғанатын құрылғы шыныдан жасалған.

**22. Лебедев тәжірибелерінде қандай физикалық шамалар абсолютті олшенген?**

- a) Жарықтың қысым күші бұрама таразы(шыныдан жасалған құрылғы) ның бұралу бұрышы шенберлерінің ауданы;
- b) Бұрама таразының бұралу бұрышы;
- c) Таразы ілінген сымның бұралу моменті;

d) Бұрама таразыға түсетін жарық қуаты.

23. Жарық қысымы астрофизикалық құбылыстарда қалай көрінеді?

- a) Күннен түсетін жарық қысымының әсерінен кометаның құйрық пішіні өзгереді;
- b) Кометалардың құйрығының көлемі өзгереді;
- c) Кометалардың пішіні өзгереді;
- d) Кометалардың пішіні де, массасы да өзгереді.

24. Жарық қысымын ... теориясы негізінде түсіндіруге болады.

Дұрыс және толық жауапты көрсетіңіз.

- a) Электромагниттік толқын;
- b) фотондар;
- c) Электромагниттік толқын және фотондар;
- d) кванттар.

25. Заттардың сәулелену қабілеті деп неңі айтады?

- a) Заттың бетінен уақыт бірлігінде бөлінетін энергия;
- b) Заттың бірлік бетінен уақыт бірлігіндегі сәулелену энергиясы;
- c) Заттың бетінен бөлінетін қуат;
- d) Энергетикалық жарқырау.

26. Абсолюттік қара дененің сәулеле жүту қабілеті ... тең.

- a) нөлге;              b) бірге;              c) екіге;              d) бірге тең емес.

27. Тепе-тендік сәулеленудің ... спектрі бар.

- a) сзықты; b) катынас;    c) жол – жол;    d) сзықты және катынас.

28. Тепе-тендік сәулелену қасиеті сәулеленетін денелердің табиғатына

- a) тәуелді; b) байланысты емес; c) аса байланысты емес; d) ішінара тәуелді.

29. Неліктен абсолют қара денелердің сәулеле шығару қабілеті бірдей температурадағы барлық басқа денелердің сәулеле шығару қабілетінен жогары?

- a) Өйткені, сәулеле жүту қабілеті бірге тең;
- b) Өйткені, сәулеле жүту қабілеті нөлге тең;
- c) Өйткені, сәулеле жүту қабілеті бірден аз;
- d) Өйткені, сәулеле жүту қабілеті бірден жогары.

30. Абсолютті қара дененің интегралдық сәулелену қабілетінен спектрлік сәулелену қабілетімен қалай байланысты?

- a)  $R_0 = \int_0^{\infty} r_0 d\lambda$ ; b)  $R = \int_0^{\infty} r d\lambda$ ;
- c)  $R_0 = \int_0^{\infty} r_0 dT$  d)  $R = \int_0^{\infty} r dT$ .

31. Абсолютті қара дененің энергетикалық тығыздығы оның температурасына ... түрінде байланысты.

- a)  $R_0 = \sigma T^4$ ; b)  $R \sim T^5$ ; c)  $R_0 \sim \sigma T^4$ ; d)  $R \sim T^2$ .

32.  $r_0(\lambda, T)$  қысығы иелеген ауданның физикалық мағынасы қандай?

- a) Бет сәулелену энергиясын білдіреді;
- b) Бет интегралды сәулелену энергиясын білдіреді;
- c) Бет сәулелену қуатын білдіреді;
- d) Бет спектрлік сәулелену қабілетін білдіреді.

33.  $r_0(\lambda, T)$  қысығының қай белгілі Рэйлей-Джинс формуласы негізінде түсіндіріледі?

- a) Қисық сзықтың ұзын  $\lambda$  ға тұра келген белгілі;
- b) Қисық сзықтың қысқа  $\lambda$  ға тұра келген белгілі;
- c) Қисық сзықтың максимум нүктесі;



d) Қисық сзықты Рэйлей-Джинс формуласы негізінде түсіндіріп болмайды.

**34. Абсолютті қара дененің температурасын 1000 К нең 2000 К ге дейін арттырганда оның сәулелену қабілеті қалай өзгереді?**

- a) 4 есе артады; b) 8 есе артады; c) 8 есе төмендейді; d) 16 есе артады.

**35. «Ультракүлгін жою» ... білдіреді.**

- a) Сәулелену энергиясының нөлге ұмтылуын;  
b) Сәулелену қуатының шексіздікке ұмтылуын;  
c) Сәулелену энергиясының шексіздікке ұмтылуын;  
d) Сәулелену қуатының нөлге тең болып қалуын.

**36. Кирхгофтың ашылмаған универсал функциясының физикалық мәні неде?**

- a) Заттардың сәулелену қабілетін білдіреді;  
b) Абсолютті қара дененің сәулелену қабілетін білдіреді;  
c) Абсолютті қара дененің сәулелену қуатын білдіреді;  
d) Заттардың сәулелену энергиясын білдіреді.

**37. Абсолютті қара дененің таралу функциясының максимумының биктігін сипаттайтын толқын ұзындығы (яғни  $\lambda_{\text{мак}}$ ) температурамен ... коріністе байланысады.**

$$a) \lambda_{\text{мак}} = \sigma T^4; \quad b) \lambda_{\text{мак}} = \frac{c}{T^2}; \quad c) \lambda_{\text{мак}} = \frac{b}{T}; \quad d) \lambda_{\text{мак}} = \frac{c}{T^4};$$

**38. Классикалық теория бойынша қара дененің сәулелену спектріндегі энергияның таралу заны формуласын анықтаңыз.**

$$a) r_{\theta,\lambda,T} = \frac{8\pi v^2}{c^3} kT dv; \quad b) r_{\theta,\lambda,T} = r_{\theta,\lambda,T} \frac{c}{v^2};$$

$$c) r_{\theta,\lambda,T} = \frac{2\pi h v^3}{c^2} e^{hv/kT}; \quad d) \lambda_{\text{мак}} \cdot T = \text{const}$$

**39. Стефан-Больцман заны Планк формуласынан қалай шыгарылады?**

- a) Спектрлік сәулелену қабілеті өрнегін жиілік бойынша 0-ден  $\infty$ -ке дейін интегралдау нәтижесінде шыгарылады;

b)  $r_{\theta,\lambda,T}$  ның өрнегінен жиілік бойынша дифференциал алу нәтижесінде келтіріп шыгарылады;

c)  $r_{\theta,\lambda,T}$  ның өрнегінен толқын ұзындығы бойынша интегралдау нәтижесінде келтіріп шыгарылады;

d)  $r_{\theta,\lambda,T}$  ның өрнегінде  $T$  бойынша интегралдау нәтижесінде келтіріп шыгарылады.

**40. Планк формуласынан Вин заны қалай шыгарылады?**

a) Спектрлік сәулеленудің өрнегі толқын ұзындығы бойынша 0-ден  $\infty$ -ке дейінгі интегралдау нәтижесінде шыгарылады;

b) Спектрлік сәулелену қабілеті өрнегінен  $\lambda$ -ға қатысты дифференциалды алу нәтижесінде шыгарылады;

c) Спектрлік сәуле шығару қабілеті өрнегінен толқын ұзындығы бойынша дифференциал алып, шыққан нәтижені нөлге теңестіру арқылы шыгарылады;

d)  $r_{\theta,\lambda,T}$  ның өрнегінде  $T$  бойынша интегралдау нәтижесінде келтіріп шыгарылады.

**41. Планк формуласы кашан және қандай жағдайда тепе-тендік сәулелену спектріндегі энергияның таралуы үшін алынған классикалық өрнекке ауысады?**

$$a) \frac{hv}{kT} \gg 1; \quad b) \frac{hv}{kT} \ll 1; \quad c) \frac{hv}{kT} \approx i; \quad d) \frac{hv}{kT} \approx 1.$$

**42. Рентген түтігінің ... рентгендік сәулеленуі генерацияланады.**

a) катодында;

b) анодында;

c) антикатодында;

d) катодында және анодында.

**43. Тормоздалу рентген сәулеленуі нeden тұрады?**

a) Антикатодтан генерацияланған электрондар ағынынан тұрады;

b) Антикатод атомдары арасында электрондардың қозғалысы нәтижесінде генерацияланған электромагниттік толқындардан тұрады;

- c) Антикатод атомдары ішіне кіріп барған электрондардың әсерінен пайда болатын электромагниттік толқындардан тұрады;  
d) Катодтан шықкан электрондар ағынынан тұрады.

**44. Рентгендік сәулеленуге тән механизм қандай?**

- a) Электрондардың антикатод атомдары арасындағы тормоздалу есебіне электромагниттік толқындардың пайда болуынан тұрады;  
b) Электрондардың антикатод атомдары ішіне енуінен атом ішіндегі өзгерулер есебіне электромагниттік толқындардың пайда болуынан тұрады;  
c) Күшті электр өрісінің әсерінен электромагниттік толқындардың пайда болуынан тұрады;  
d) Катод пен антикатод арасына берілген жоғары кернеудің әсерінен электромагниттік толқындардың пайда болуынан тұрады.

**45. Рентген сәулелерінің минималды толқын ұзындығы оларды тудыратын анод кернеуінің мәніне қалай байланысты екендігін анықтаңыз.**

$$a) \frac{hc}{\lambda_0} = eU; b) \frac{hc}{\lambda} = \frac{1}{eU}; c) \frac{hc}{\Delta\lambda} = eU; d) \frac{hc}{\lambda_0} = \frac{U}{e}.$$

**46. Вульф — Брэгг шарты ... корінісінде болады.**

$$a) dsin\varphi = k\lambda; b) \frac{\sin\theta}{d} = k\lambda; c) 2dsin\theta = k\lambda; d) dsin\theta = \frac{k\lambda}{2};$$

**47. Тормоздалу рентген сәулелену спектрі ... болады.**

- a) сзықты;  
b) белгілі бір пішіндегі қатынас;  
c) жол-жол;  
d) қатынас спектрдің фонындағы сзықты спектрден тұрады.

**48. Рентгендік сәулелену ...**

- a) қатынас спектр фонындағы сзықты спектрден тұрады;  
b) қатынас спектрден тұрады;  
c) жол-жол спектрден тұрады;  
d) белгілі бір пішіндегі қатынас спектрден тұрады.

**49. Мозли заңының математикалық өрнегі... корініске ие.**

$$a) v = R(Z - \sigma)^2; b) \omega = R(Z - \sigma)^2; c) v = R(Z - \sigma); d) v = R'(Z - \sigma).$$

**50. Комптон эффектіндегі сәулелену жиілігі...**

- a) өзгермейді; b)  $\Delta\lambda$  ға артады; c)  $\Delta\lambda$  азаяды; d)  $v_0 + \Delta v$  ға артады.

**51. Комптон эффектісінде сәулелену жиілігінің өзгеру себебі неде?**

- a) Энергияның сакталу заңы; b) Импульстің сакталу заңы;  
c) Энергия мен импульстің сакталу заңы; d) Массаның сакталу заңы.

**52. Сәулеленудің затқа әсерінде Комптон эффектісі қандай жағдайларда пайда болады?**

- a) Ауыр заттармен өзара әсерлескенде;  
b) Металдармен өзара әсерлескенде;  
c) Жартылай өткізгіштермен өзара әсерлескенде;  
d) Женіл заттармен өзара әсерлескенде.

**53. Тормоздалу сәулелену спектрлерінің корінісі антикатод затына ...**

- a) байланысты; b) байланысты емес; c) ішінана тәуелді; d) катодтық затқа байланысты.

**54. Комптон эффектісінде энергияның сакталу заңының өрнегін анықтаңыз.**

$$a) \frac{hv}{\lambda} = \frac{hc}{\lambda'} + m_0v^2; b) hv' = hv + m_0v^2; c) hv = hv' + \frac{m_0v^2}{2}; d) h\Delta\lambda = \frac{\lambda_0 \sin 2\theta}{2}.$$

**55. Комптон диаграммасында  $m_0v$  ... білдіреді.**

- a) шашыраған фотон энергиясын; b) шашыраған электрон энергиясын;  
c) шашыраған фотон импульсын; d) шашыраған электрон импульсын.

**56. Рентген тұтігіне берілетін кернеу ... болуы керек.**

- a) 20 В дан үлкен; b) 20 В ға дейін; c) 20 кВ дан үлкен; d) 20 МВ дан кіші.

**57. Франк және Герц тәжірибесі атомның ... растайды.**

- a) импульс моментінің квантталғандығын;  
b) энергиясының квантталғандығын;

- c) спинінің квантталғандығын;  
d) магнит моментінің квантталғандығын.

**58. Атомдағы электронның қабылдай алатын энергиясының дискретті сипатта екендігін ... тәжірибесі растайды.**

- a) Штерн — Герлах; b) Девиссон — Джермер;  
c) Франк және Герц; d) Де — Бройль.

**59. Атомдағы электрон  $E_K = 7,7 \cdot 10^{-19}$  Дж энергиялы денгейден  $E_n = 4,4 \cdot 10^{-19}$  Дж энергиялы денгейге откенде шығарылатын электромагниттік сәулеленудің толқын үзындығы неше нм екендігі анықталсын.**

- a) 150; b) 300; c) 340; d) 600.

**60. Атомда электрон спинге не екендігін ... тәжірибесі растайды.**

- a) Франк және Герц; b) Девиссон — Джермер;  
c) Эренфест; d) Штерн — Герлах;

**61. Атомдар сутегі газы сәулелену спектрінің ... сериясы жақын инфрақызыл сәулелену саласында жатады.**

- a) Бальмер; b) Пашен; c) Лайман; d) Брекэт.

**62. Төмендегі формула ... Бальмер сериясының формуласы есептеледі.**

$$a) \frac{1}{\lambda} = R \left( \frac{1}{3^2} - \frac{1}{n^2} \right); \quad b) \frac{1}{\lambda} = R \left( \frac{1}{2^2} - \frac{1}{n^2} \right); \quad c) \frac{1}{\lambda} = R \left( \frac{1}{1^2} - \frac{1}{n^2} \right); \quad d) \nu = R \left( \frac{1}{5^2} - \frac{1}{n^2} \right)$$

$1/n^2$ :

**63. Бальмердің жалпыланған формуласы ..... көрінісінде болады.**

- a)  $\nu = R \left( \frac{1}{3^2} - \frac{1}{n^2} \right)$ ; b)  $\nu = R \left( \frac{1}{2^2} - \frac{1}{n^2} \right)$ ;  
c)  $\nu = R \left( \frac{1}{k^2} - \frac{1}{n^2} \right)$ , k < n; d)  $\nu = R \left( \frac{1}{n^2} - \frac{1}{k^2} \right)$ , k < n:

**64. Молекулаларда спектрлер ... болады.**

- a) сызықты; b) катынас; c) жол-жол; d) әрі катынас, әрі сызықты.

**My-test бағдарламасының жауаптары:**

1 - c	15 — b	29 - a	43 - b
2 — a	16 — d	30 - a	44 - b
3 - b	17 — b	31 - a	45 - a
4 - c	18 — a	32 - b	46 - c
5 - c	19 - b	33 - a	47 - b
6 - c	20 - c	34 - d	48 - a
7 - b	21 - a	35 - c	49 - a
8 - a	22 - b	36 - b	50 - c
9 - b	23 - a	37 - c	51 - a
10 - b	24 - c	38 - a	52 - d
11 - c	25 - b	39 - a	53 - b
12 - d	26 - b	40 - c	54 - c
13 - c	27 - b	41 - b	55 - d
14 - b	28 - b	42 - c	56 - c
57 - b	59 - d	61 - b	63 - c
58 - d	60 - d	62 - c	64 - c

## Қосымшалар

### Негізгі физикалық тұрақтылар

Вакуумдегі жарық жылдамдығы	$c = 2,99792 \cdot 10^8 \text{ м/с}$
Гравитациялық тұрақты	$\gamma = 6,672 \cdot 10^{-11} \text{ Н} \cdot \text{м}^2 / \text{кг}^2$
Идеал газдың мольдік көлемі	$(T_0 = 273,15 \text{ К}, p_0 = 1,01 \cdot 10^5 \text{ Па})$ $V_\mu = 0,0224138 \text{ м}^3 / \text{моль}$
Мольдік газ тұрақтысы (Универсал газ тұрақтысы)	$R = 8,314 \text{ Дж/(К} \cdot \text{моль)}$
Фарадей тұрақтысы	$F = 96485 \text{ Кл} / \text{моль}$
Аванадро тұрақтысы	$N_A = 6,02204 \cdot 10^{23} \text{ моль}^{-1}$
Больцман тұрақтысы	$k = 1,3806 \cdot 10^{-23} \text{ Дж/К}$
Протонның тыныштық массасы	$m_p = 1,67265 \cdot 10^{-27} \text{ кг}$
Электронның тыныштық массасы	$m_e = 9,10953 \cdot 10^{-31} \text{ кг}$
Нейтронның тыныштық массасы	$m_n = 1,67495 \cdot 10^{-27} \text{ кг}$
Протон мен электронның тыныштық массаларының қатынасы	$m_p/m_e = 1836,1515$
Электронның заряды	$e = 1,60219 \cdot 10^{-19} \text{ Кл}$
Вин тұрақтысы	$b = 0,0028978 \text{ м} \cdot \text{К}^{-1}$
Планк тұрақтысы	$h = 6,6262 \cdot 10^{-34} \text{ Дж} \cdot \text{с}$
Стефан-Больцман тұрақтысы	$\sigma = 5,67032 \cdot 10^{-8} \text{ Вт/(м}^2 \cdot \text{К}^4)$
Ридберг тұрақтысы	$R_\infty = 1,09737318 \cdot 10^7 \text{ м}^{-1}$
Бор магнетоны	$\mu_B = 9,27408 \cdot 10^{-24} \text{ Дж/Тл}$
Ядролық магнетон	$\mu_N = 5,05082 \cdot 10^{-27} \text{ Дж/Тл}$
Электронның магнит моменті	$\mu_e = 9,28483 \cdot 10^{-24} \text{ Дж/Тл}$
Протонның магнит моменті	$\mu_p = 1,4106171 \cdot 10^{-26} \text{ Дж/Тл}$
Масса атом бірлігі	$m_{\text{а.б}} = 1,6605655 \cdot 10^{-27} \text{ кг}$
Электронның массасы	$m_e = 9,09534 \cdot 10^{-31} \text{ кг}$ $m_e = 5,4858026 \cdot 10^{-41} \text{ м.а.б}$
Электрон зарядының массасына қатынасы	$\frac{e}{m_e} = 1,7588047 \cdot 10 \frac{\text{С}}{\text{кг}}$
Бор радиусы	$a_0 = 5,291771 \cdot 10^{-11} \text{ м}$
Еркін түсү үдеуі	$g = 9,80665 \text{ м/с}^2$
Судың максималь тұғыздығы	$\rho_{H_2O} = 999,973 \text{ кг/м}^3$ ( $t = 3,98^\circ \text{C}; \rho = 101325 \text{ Па}$ )

Қалыпты жағдайдағы атмосфера қысымы	$\rho_{\text{атм}} = 101325 \text{ Па}$
Қалыпты жағдайда ауада дыбыстың тарқалу жылдамдығы	$\vartheta = 331,46 \text{ м/с}$
Қалыпты жағдайда құргақ ауаның тұғыздығы	$\rho_{\text{ауа}} = 1,293 \text{ кг/м}^3$
Қалыпты жағдайда бір моль идеал газ мольдік көлемі	$V_m = 22,41383 \cdot 10^{-3} \text{ м} \cdot \text{моль}^{-1}$
Магнит тұрақтысы	$\mu_0 = 12,566371 \cdot 10^{-7} \frac{\text{Н}}{\text{м}}$
Электр тұрақтысы	$\varepsilon_0 = 8,854188 \cdot 10^{-12} \text{ Ф/м}$
Лошмидт тұрақтысы (саны)	$N_L = 2,68719 \cdot 10^{25} \text{ м}^{-3}$

### Атомдар және молекулалардың диаметрлері

Гелий (He)	$2 \cdot 10^{-10} \text{ м}$
Сүтегі (H <sub>2</sub> )	$2,3 \cdot 10^{-10} \text{ м}$
Оттегі (O <sub>2</sub> )	$3 \cdot 10^{-10} \text{ м}$
Азот (N <sub>2</sub> )	$3 \cdot 10^{-10} \text{ м}$

### Электрондардың металдан шығу жұмысы (эВ да)

W	4,5
W+Cs	1,6
W+Th	2,63
Pt+Cs	1,40
Pt	5,3
Ag	4,74
Li	2,4
Na	2,3
K	2,0
Cs	1,9
Zn	4,2

### Кейір радиоактив заттардың жартылай ыдырау периоды

Bi	5,02 тәулік	$^{222}_{86}\text{Ra}$	3,82 тәулік
Ir	75 тәулік	$^{90}_{38}\text{Si}$	28 жыл
$^{45}_{20}\text{Ca}$	164 тәулік	Th	$1,39 \cdot 10^{11}$ жыл
Na	15,3 сағат	$^{235}_{92}\text{U}$	$7,1 \cdot 10^8$ жыл

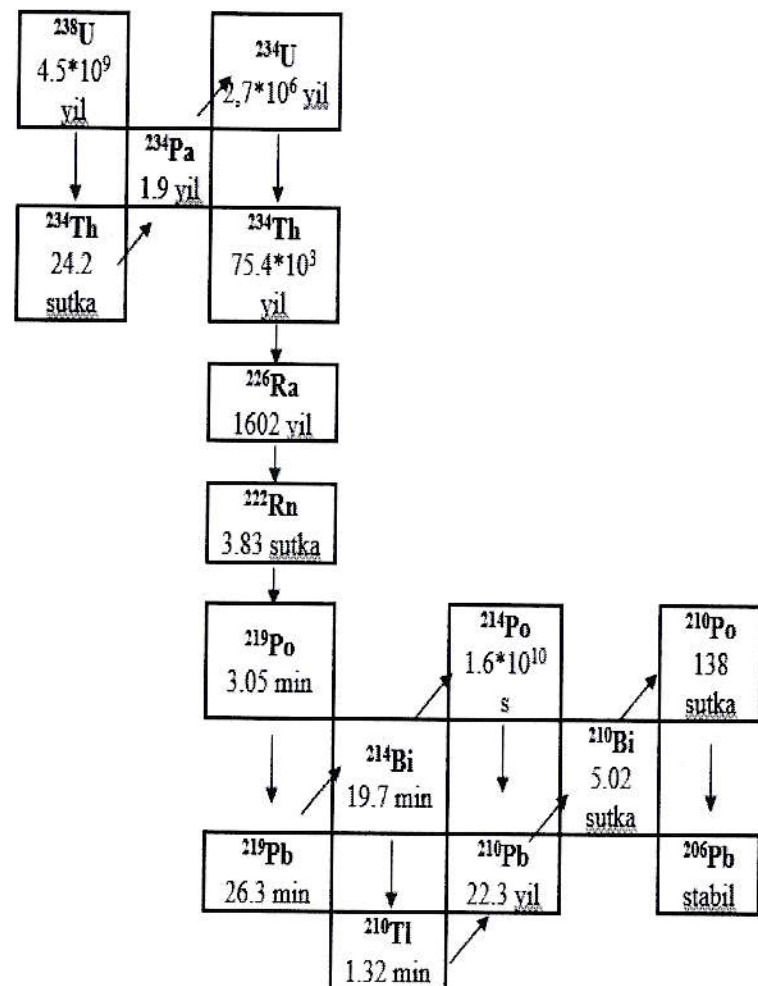


$^{133}\text{Ba}$	276,397(5)	$^{110}\text{Ag}$	884,695(16)	$^{56}\text{Co}$	3201,987(60)
$^{205}\text{Hg}$	279,189(6)	$^{88}\text{Y}$	898,048(19)	$^{56}\text{Co}$	3253,414(60)

### Жасанды түрде алынған радиоактивті элементтер

Элементтің химиялық нөмірі	Химиялық элементтің атауы және формуласы	Элементтің ін синтез жасалған жылы	Салыстырмалы турде мол жасайтын изотоптарының массалық саны	Салыстырмалы турде мол жасайтын изотоптарыныңжар тылай ыдырау периодтары
43	Технеций	Tc	1937	97
61	Прометий	Pm	1947	145
85	Астас	At	1940	210
87	Франций	Fr	1939	223
				2,6·10 <sup>6</sup> жыл
				18 жыл
				8 сағат 18 минут
				21 минут

$^{238}\text{U}$  табиғи радиоактив жанұясы



### Натурал логарифмдер кестесі

N	0	1	2	3	4	5	6	7	8	9
1,0	0,0000	0,0100	0,0198	0,0296	0,0392	0,0488	0,0583	0,0677	0,0770	0,0862
1,1	0,0953	0,1044	0,1133	0,1222	0,1310	0,1398	0,1484	0,1570	0,1655	0,1740
1,2	0,1823	0,1906	0,1989	0,2070	0,2151	0,2231	0,2311	0,2390	0,2469	0,2546
1,3	0,2624	0,2700	0,2776	0,2852	0,2927	0,3001	0,3075	0,3148	0,3221	0,3293
1,4	0,3365	0,3436	0,3507	0,3577	0,3646	0,3716	0,3784	0,3853	0,3920	0,3988
1,5	0,4055	0,4121	0,4187	0,4253	0,4318	0,4383	0,4447	0,4511	0,4574	0,4637
1,6	0,4700	0,4762	0,4824	0,4886	0,4947	0,5008	0,5068	0,5128	0,5188	0,5247
1,7	0,5306	0,5365	0,5423	0,5481	0,5539	0,5596	0,5653	0,5710	0,5766	0,5822
1,8	0,5878	0,5933	0,5988	0,6043	0,6098	0,6152	0,6206	0,6259	0,6313	0,6366
1,9	0,6419	0,6471	0,6523	0,6575	0,6627	0,6678	0,6729	0,6780	0,6831	0,6881
2,0	0,6931	0,6981	0,7031	0,7080	0,7129	0,7178	0,7227	0,7275	0,7324	0,7372
2,1	0,7419	0,7467	0,7514	0,7561	0,7608	0,7655	0,7701	0,7747	0,7793	0,7839
2,2	0,7885	0,7930	0,7975	0,8020	0,8065	0,8109	0,8154	0,8198	0,8242	0,8286
2,3	0,8329	0,8372	0,8416	0,8459	0,8502	0,8544	0,8587	0,8629	0,8671	0,8713
2,4	0,8755	0,8796	0,8838	0,8879	0,8920	0,8961	0,9002	0,9042	0,9083	0,9123
2,5	0,9163	0,9203	0,9243	0,9282	0,9322	0,9361	0,9400	0,9439	0,9478	0,9517
2,6	0,9555	0,9594	0,9632	0,9670	0,9708	0,9746	0,9783	0,9821	0,9858	0,9895
2,7	0,9933	0,9969	1,0006	1,0043	1,0080	1,0116	1,0152	1,0188	1,0225	1,0260
2,8	1,0296	1,0332	1,0367	1,0403	1,0438	1,0473	1,0508	1,0543	1,0578	1,0613
2,9	1,0647	1,0682	1,0716	1,0750	1,0784	1,0818	1,0852	1,0886	1,0919	1,0953
3,0	1,0986	1,1019	1,1053	1,1086	1,1119	1,1151	1,1184	1,1217	1,1249	1,1282
3,1	1,1314	1,1346	1,1378	1,1410	1,1442	1,1474	1,1506	1,1537	1,1569	1,1600
3,2	1,1632	1,1663	1,1694	1,1725	1,1756	1,1787	1,1817	1,1848	1,1878	1,1909
3,3	1,1939	1,1969	1,2000	1,2030	1,2060	1,2090	1,2119	1,2149	1,2179	1,2208
3,4	1,2238	1,2267	1,2296	1,2326	1,2355	1,2384	1,2413	1,2442	1,2470	1,2499

3,5	1,2528	1,2556	1,2585	1,2613	1,2641	1,2669	1,2698	1,2726	1,2754	1,2782
3,6	1,2809	1,2837	1,2865	1,2892	1,2920	1,2947	1,2975	1,3002	1,3029	1,3056
3,7	1,3083	1,3110	1,3137	1,3164	1,3191	1,3218	1,3244	1,3271	1,3297	1,3324
3,8	1,3350	1,3376	1,3403	1,3429	1,3455	1,3481	1,3507	1,3533	1,3558	1,3584
3,9	1,3610	1,3635	1,3661	1,3686	1,3712	1,3737	1,3762	1,3788	1,3813	1,3838
4,0	1,3863	1,3888	1,3913	1,3938	1,3962	1,3987	1,4012	1,4036	1,4061	1,4085
4,1	1,4110	1,4134	1,4159	1,4183	1,4207	1,4231	1,4255	1,4279	1,4303	1,4327
4,2	1,4351	1,4375	1,4398	1,4422	1,4446	1,4469	1,4493	1,4516	1,4540	1,4563
4,3	1,4586	1,4609	1,4633	1,4656	1,4679	1,4702	1,4725	1,4748	1,4770	1,4793
4,4	1,4816	1,4839	1,4861	1,4884	1,4907	1,4929	1,4951	1,4974	1,4996	1,5019
4,5	1,5041	1,5063	1,5085	1,5107	1,5129	1,5151	1,5173	1,5195	1,5217	1,5239
4,6	1,5261	1,5282	1,5304	1,5326	1,5347	1,5369	1,5390	1,5412	1,5433	1,5454
4,7	1,5476	1,5497	1,5518	1,5539	1,5560	1,5581	1,5602	1,5623	1,5644	1,5665
4,8	1,5686	1,5707	1,5728	1,5748	1,5769	1,5790	1,5810	1,5831	1,5851	1,5872
4,9	1,5892	1,5913	1,5933	1,5953	1,5974	1,5994	1,6014	1,6034	1,6054	1,6074
5,0	1,6094	1,6114	1,6134	1,6154	1,6174	1,6194	1,6214	1,6233	1,6253	1,6273
5,1	1,6292	1,6312	1,6332	1,6351	1,6371	1,6390	1,6409	1,6429	1,6448	1,6467
5,2	1,6487	1,6506	1,6525	1,6544	1,6563	1,6582	1,6601	1,6620	1,6639	1,6658
5,3	1,6677	1,6696	1,6715	1,6734	1,6752	1,6771	1,6790	1,6808	1,6827	1,6845
5,4	1,6864	1,6882	1,6901	1,6919	1,6938	1,6956	1,6974	1,6993	1,7011	1,7029
5,5	1,7047	1,7066	1,7084	1,7102	1,7120	1,7138	1,7156	1,7174	1,7192	1,7210
5,6	1,7228	1,7246	1,7263	1,7281	1,7299	1,7317	1,7334	1,7352	1,7370	1,7387
5,7	1,7405	1,7422	1,7440	1,7457	1,7475	1,7492	1,7509	1,7527	1,7544	1,7561
5,8	1,7579	1,7596	1,7613	1,7630	1,7647	1,7664	1,7681	1,7699	1,7716	1,7733
5,9	1,7750	1,7766	1,7783	1,7800	1,7817	1,7834	1,7851	1,7867	1,7884	1,7901
6,0	1,7918	1,7934	1,7951	1,7967	1,7984	1,8001	1,8017	1,8034	1,8050	1,8066
6,1	1,8083	1,8099	1,8116	1,8132	1,8148	1,8165	1,8181	1,8197	1,8213	1,8229

6,2	1,8245	1,8262	1,8278	1,8294	1,8310	1,8326	1,8342	1,8358	1,8374	1,8390
6,3	1,8405	1,8421	1,8437	1,8453	1,8469	1,8485	1,8500	1,8516	1,8532	1,8547
6,4	1,8563	1,8579	1,8594	1,8610	1,8625	1,8641	1,8656	1,8672	1,8687	1,8703
6,5	1,8718	1,8733	1,8749	1,8764	1,8779	1,8795	1,8810	1,8825	1,8840	1,8856
6,6	1,8871	1,8886	1,8901	1,8916	1,8931	1,8946	1,8961	1,8976	1,8991	1,9006
6,7	1,9021	1,9036	1,9051	1,9066	1,9081	1,9095	1,9110	1,9125	1,9140	1,9155
6,8	1,9169	1,9184	1,9199	1,9213	1,9228	1,9242	1,9257	1,9272	1,9286	1,9301
6,9	1,9315	1,9330	1,9344	1,9359	1,9373	1,9387	1,9402	1,9416	1,9430	1,9445
7,0	1,9459	1,9473	1,9488	1,9502	1,9516	1,9530	1,9544	1,9559	1,9573	1,9587
7,1	1,9601	1,9615	1,9629	1,9643	1,9657	1,9671	1,9685	1,9699	1,9713	1,9727
7,2	1,9741	1,9755	1,9769	1,9782	1,9796	1,9810	1,9824	1,9838	1,9851	1,9865
7,3	1,9879	1,9892	1,9906	1,9920	1,9933	1,9947	1,9961	1,9974	1,9988	2,0001
7,4	2,0015	2,0028	2,0042	2,0055	2,0069	2,0082	2,0096	2,0109	2,0122	2,0136
7,5	2,0149	2,0162	2,0176	2,0189	2,0202	2,0215	2,0229	2,0242	2,0255	2,0268
7,6	2,0281	2,0295	2,0308	2,0321	2,0334	2,0347	2,0360	2,0373	2,0386	2,0399
7,7	2,0412	2,0425	2,0438	2,0451	2,0464	2,0477	2,0490	2,0503	2,0516	2,0528
7,8	2,0541	2,0554	2,0567	2,0580	2,0592	2,0605	2,0618	2,0631	2,0643	2,0656
7,9	2,0669	2,0681	2,0694	2,0707	2,0719	2,0732	2,0744	2,0757	2,0769	2,0782
8,0	2,0794	2,0807	2,0819	2,0832	2,0844	2,0857	2,0869	2,0882	2,0894	2,0906
8,1	2,0919	2,0931	2,0943	2,0956	2,0968	2,0980	2,0992	2,1005	2,1017	2,1029
8,2	2,1041	2,1054	2,1066	2,1078	2,1090	2,1102	2,1114	2,1126	2,1138	2,1150
8,3	2,1163	2,1175	2,1187	2,1199	2,1211	2,1223	2,1235	2,1247	2,1258	2,1270
8,4	2,1282	2,1294	2,1306	2,1318	2,1330	2,1342	2,1353	2,1365	2,1377	2,1389
8,5	2,1401	2,1412	2,1424	2,1436	2,1448	2,1459	2,1471	2,1483	2,1494	2,1506
8,6	2,1518	2,1529	2,1541	2,1552	2,1564	2,1576	2,1587	2,1599	2,1610	2,1622
8,7	2,1633	2,1645	2,1656	2,1668	2,1679	2,1691	2,1702	2,1713	2,1725	2,1736
8,8	2,1748	2,1759	2,1770	2,1782	2,1793	2,1804	2,1815	2,1827	2,1838	2,1849
8,9	2,1861	2,1872	2,1883	2,1894	2,1905	2,1917	2,1928	2,1939	2,1950	2,1961

9,0	2,1972	2,1983	2,1994	2,2006	2,2017	2,2028	2,2039	2,2050	2,2061	2,2072
9,1	2,2083	2,2094	2,2105	2,2116	2,2127	2,2138	2,2148	2,2159	2,2170	2,2181
9,2	2,2192	2,2203	2,2214	2,2225	2,2235	2,2246	2,2257	2,2268	2,2279	2,2289
9,3	2,2300	2,2311	2,2322	2,2332	2,2343	2,2354	2,2364	2,2375	2,2386	2,2396
9,4	2,2407	2,2418	2,2428	2,2439	2,2450	2,2460	2,2471	2,2481	2,2492	2,2502
9,5	2,2513	2,2523	2,2534	2,2544	2,2555	2,2565	2,2576	2,2586	2,2597	2,2607
9,6	2,2618	2,2628	2,2638	2,2649	2,2659	2,2670	2,2680	2,2690	2,2701	2,2711
9,7	2,2721	2,2732	2,2742	2,2752	2,2762	2,2773	2,2783	2,2793	2,2803	2,2814
9,8	2,2824	2,2834	2,2844	2,2854	2,2865	2,2875	2,2885	2,2895	2,2905	2,2915
9,9	2,2925	2,2935	2,2946	2,2956	2,2966	2,2976	2,2986	2,2996	2,3006	2,3016

### ӘДЕБИЕТТЕР:

1. Лавренчик В.Н. Постановка физического эксперимента и статистическая обработка его результатов: -М.: Энергоатомиздат, 1996 г
  2. Фрауэнфельдер Г., Э.Хенли. Субатомная физика (пер. с англ)-М.: Мир, 1999 г
  3. Бегимқұлов У.Ш., Махмудова Х.М., Гадоев О.А., Камолов Ж., Фойибназарова Г.Н., Тошхонова Ж.А. Физикадан практикум, Оптика және кванттық физика. –Ташкент. “Мусықа” баспаханасы. 2007.
  4. Бессонов А.А., Дергобузов К.А. Физика атома и ядра: виртуальная лаборатория. –Челябинск. 2018.
  5. Худайбердиев Э.Н., Бисенова Б.Т. Умумий физика (Ядро физикасы)дан лаборатория ишлари. Әдістемелік қолданба. – Ташкент. “Таълим” баспаханасы. 2017.
  6. Мухин К.Н. Экспериментальная ядерная физика. Т.1-2. –Москва, Энергоатомиздат, 1993.
  7. Бекжонов Р.Б. Атом ядрои ва зарралар физикаси. –Ташкент, Ўқитувчи, 1995.
  8. Тешабоев С.Ш. Ядро ва элементар зарралар физикаси. –Ташкент, Ўқитувчи, 1992.
  9. Мўминов Т.М., Хушмуродов Ш.Х., Холикулов А.Б. Атом ядрои ва элементар зарралар физикаси маъruzга курси. – Самарқанд, 2001.
  10. Бекжонов Р.Б. Элементар ядро физикаси. –Ташкент, Ўқитувчи, 1982.
  11. Сивухин Д.В. Общей курс физики. –Москва, Наука, 1989.
  12. Наумов А.И. Физика атомного ядра и элементарных частиц. – Москва, Просвещение, 1984.
  13. Алфа, бета и гамма-спектроскопия. Под редакцией К.Зигбана. Вып. 1,2,3,4. Перевод с англ. –Москва, Атомиздат, 1969.
  14. Петрик Т.Б. и др. Лабораторный практикум по физике. Т-2. УПИ-УГТУ. –Екатеринбург-2009.
  15. Айзенберг И., Грайнер В. Модели ядер коллективные и одночастичные явления. Перевод с англ. канд. ф.-м. наук С.П.Камерджиева и Б.А.Тулупова. –Москва, 1975.
  16. Шпольский Э.В. Атом физикасы. I том, –Toshkent, O'qituvchi, 1970.
  17. Сивухин Д.В. Общий курс физики. Ч.1. –Москва, Наука, 1986.
  18. Тешабоев Қ.Т. Yadrovaelementarzarralarfizikasi. –Toshkent, O'qituvchi, 1992.
  19. Бекжонов Р., Ахмадхужаев Б. Atomfizikasi. –Toshkent, O'qituvchi, 1991.
  20. Савельев И.В. Курс общей физики в 4-х томах. Квантовая оптика. Атомная физика. Физика твердого тела. Физика атомного ядра и элементарных частиц. – М.: КноРус, 2012. – Т.3. – 368 с.
  21. Сивухин Д.В. Общий курс физики. Атомная и ядерная физика. – М.: ФИЗМАТЛИТ, МФТИ, 2006. – Т.5. – 784 с.
  22. Трофимова Т.И. Курс физики. – 20-е изд., стер. – М.: Академия, 2014. – 560 с.
  23. Яворский Б.М., Детлаф А.А. Курс физики. – 9-е изд., стер. – М.: Академия, 2014. – 720 с.
  24. <http://nuclearphys-edu.uz>
  25. [www.pedagog.uz](http://www.pedagog.uz)  
[www.ziyonet.uz](http://www.ziyonet.uz)  
[www.teachmen.csu.ru](http://www.teachmen.csu.ru)  
[www.edu.uz](http://www.edu.uz)
- 4089/30 -

O'ZBEKISTON RESPUBLIKASI OLIY TA'LIM,  
FAN VA INNOVATSIYALAR VAZIRLIGI  
CHIRCHIQ DAVLAT PEDAGOGIKA UNIVERSITETI  
AXBOROT RESURS MARKAZI

Худайбердиев Э.Н, Насридинов К.Р, Самандаров Л. К,  
Турабова Л.Х.

ЖАЗБАЛАР ҮШИН

**ЖАЛПЫ ФИЗИКА**  
**(АТОМ, ЯДРО ЖӘНЕ ЭЛЕМЕНТАР БӨЛШЕКТЕР**  
**ФИЗИКАСЫ)**  
**ЗЕРТХАНАЛЫҚ ЖҰМЫСТАР**  
**(оқуқұралы)**

60110700 – Физика және астрономия, қосымша математика

Редакторы: Х.Тахиров  
Техникалық редакторы: С.Меликузиев  
Корректор: М.Юнусова  
Беттеуші: А.Зиямұхамедов

Баспа лизензиясы: №2044

Пішімі 60x84 1/16 гарнитурасы Кеглі 14

Офсеттік әдіспен басылды. Шартты баспа табағы 13,2.  
Таралымы 100. Таспрыс №1546868

"Olmaliq kitob business" ӨШК дабасылды.

